

# Análisis de escenarios del barómetro de junio de 2025 (ECIS3514)

---

## Documentación técnica de la estimación electoral

Cómo citar este documento: Alaminos, Antonio y Alaminos-Fernández, Antonio F°. (2025). *Informe técnico de la estimación del Estudio 3514. Barómetro de junio 2025*. Documentación técnica de la estimación electoral. Departamento de Investigación. Centro de Investigaciones Sociológicas. Madrid.

### Índice

1) Modelo Analítico.....	2
2) Análisis distribucional y de asociación.....	8
3) Análisis de estructuras de inercia temporal y patrones de incertidumbre.....	54
5) Referencias .....	145

## 1 Modelo analítico

Cierto es que el Centro de Investigaciones Sociológicas nunca ha fallado en una predicción electoral; tan cierto, como lo es que el Centro de Investigaciones Sociológicas nunca ha acertado en una predicción electoral. Ambas afirmaciones son ciertas dado que el Centro de Investigaciones Sociológicas nunca hace predicciones electorales. Este informe técnico es un resumen de los análisis efectuados para la estimación del apoyo electoral que reciben los partidos políticos, coyunturalmente, en el momento de efectuarse la medición. Una estimación electoral publicada periódicamente por el Centro de Investigaciones Sociológicas en sus barómetros mensuales.

Desde 2019 todas las estimaciones son el resultado de aplicar un único modelo teórico de referencia (Modelo Bifactorial Inercia-Incertidumbre), un único método de especificación (metodología de escenarios) así como de un único sistema de operativización basado en estructuras motivacionales de los electores. En ese sentido, sus resultados son desde 2019 completamente comparables a lo largo del tiempo. Los análisis que aquí se presentan están diseñados para la detección, medición y sistematización del apoyo electoral, ya sea explícito o potencial, que reciben los partidos políticos en función de diferentes configuraciones de escenarios. Con dicha finalidad, se efectúa un estudio diagnóstico exhaustivo de las estructuras y patrones presentes en la encuesta de opinión pública.

No es un análisis exploratorio; por el contrario, se encuentra en todo momento monitorizado teóricamente, de tal modo que todos los resultados observables son interpretables en el marco analítico que establece el Modelo Bifactorial Inercia Incertidumbre. La acumulación en el tiempo de sucesivos diagnósticos ha permitido refinar los modelos estadísticos empleados, los algoritmos aplicados, así como las operaciones analíticas realizadas. En ese sentido, se presentan aquí aquellas más sustantivas para conocer y comprender el grado de equilibrio (interdependencia de las estimaciones) y estabilidad (consistencia) de los apoyos electorales que reciben los partidos en el momento de la recolección de datos. Este informe se estructura en varias partes. Una primera parte introductoria a la lógica del modelo y sus objetivos metodológicos.

El modelo bifactorial es una caja de herramientas analíticas, con aplicaciones particulares a la medición e incluso a la prospectiva. En el caso del Centro de Investigaciones Sociológicas solamente se publican las mediciones de coyuntura y no las especulaciones sobre posibles escenarios prospectivos. Tras una breve presentación teórica del modelo y algunas claves de interpretación se presenta el análisis empírico con varias secciones. Finalmente se incluyen un listado de referencias referidas al planteamiento

epistemológico, teórico y metodológico del modelo. Existen en la actualidad suficientes publicaciones sobre su aplicación para que se encuentre exhaustivamente documentado (ver listado de referencias).

### **1.1 Modelo Bifactorial Inercia Incertidumbre**

El Modelo Bifactorial Inercia-Incertidumbre fue propuesto en el año 2019 por los profesores Antonio Alaminos (Universidad de Alicante) y José Félix Tezanos (UNED), siendo en el momento de publicarse este informe el utilizado por el Centro de Investigaciones Sociológicas para realizar las mediciones del apoyo electoral que reciben los partidos políticos. El Modelo Bifactorial Inercia-Incertidumbre es un modelo de medición que constituye una propuesta teórica y metodológica importante en varios sentidos.

En primer lugar, pone de relieve y destaca la existencia de “borrosidad” en las decisiones de las personas. Una incertidumbre real que no puede ser obviada por la exigencia de respuestas únicas e imaginariamente definitivas sobre el estado de la opinión pública. El establecimiento de dicha premisa, el posible estado indeterminado del fenómeno objeto de medición, da forma al enfoque analítico aplicado desde el modelo. El modelo integra y sistematiza los efectos de dicha incertidumbre sobre la medición. Aproximar la realidad social como un objeto de estudio que no es rígido ni definitivo exige que parte de los instrumentos que se aplican para conocerla no puedan serlo.

Por ello, en la medida que se incorpora la incertidumbre y la inercia al proceso de medición, el modelo adquiere la aplicabilidad de una “caja de herramientas” analíticas, algo que se ejemplifica en este informe técnico. El enfoque empírico aplicado se basa en la metodología de escenarios, si bien orientados a la exploración del presente y no a la indagación sobre estados futuros. En el caso del Centro de Investigaciones Sociológicas, la medición del apoyo electoral que recibe un partido es una labor que va más allá de estimar un porcentaje o su intervalo de confianza. Implica una exploración y diagnóstico de los escenarios potenciales, considerando los más probables (voto directo) y evaluando los más improbables (voto alternativo).

El Modelo Bifactorial Inercia-Incertidumbre aplica el método de escenarios como herramienta de análisis y diagnóstico multifuncional. En ese sentido, una de sus aplicaciones en tanto que instrumento de medición es la estimación electoral, si bien este no se encuentra limitado a dicha finalidad. Su finalidad es esencialmente de diagnóstico, midiendo las tensiones internas existentes en términos de decisión

electoral por parte de los ciudadanos. Destaca por ello por su capacidad para monitorizar de forma empírica las dinámicas internas de los electorados tal y como se expresan a través de los escenarios. El Modelo Bifactorial considera que el estado de un fenómeno social en el momento de la medición es el resultado de una combinación entre la inercia del pasado y la novedad que aporte el presente o la expectativa de las personas sobre su comportamiento en el futuro.

El Modelo Bifactorial considera que dentro de un campo de posibilidad definido por los votos directos y los alternativos configurado por diferentes escenarios existe un subconjunto de probabilidad. Aquello que es más o menos probable dadas las condiciones de posibilidad existentes. No es una predicción sobre el futuro. Es una medición de los estados de opinión en el presente. Por ejemplo, en una predicción electoral se presupone la existencia en el futuro de una diana. Una “diana” que, en un formato de predicción paramétrica, plantea que el futuro ya está aquí. En ese sentido, el objetivo de una predicción es aproximarse al centro paramétrico de una diana que, insistimos, ya estaba preconfigurada en el pasado en el que habitaban quienes produjeron la predicción.

El Modelo Bifactorial Inercia-Incertidumbre enfoca la cuestión desde otra perspectiva. La diana futura no existe. Solo existe el presente, sus inercias y sus incertidumbres reales. El desafío que enfrenta el Modelo Bifactorial es diferente al de una predicción dado que su finalidad es estimar la “diana” que se preconfigura en el presente. En otras palabras, identificar dónde se ubican las probabilidades de cada partido y qué forma tiene su “diana”. Una “diana” a la que apuntarían las predicciones que se efectúan en el presente. No se trata de una “diana” preexistente en un futuro determinista. Es una “diana” que debe ser configurada y en sí misma estimada sobre un espacio de posibilidades. La aplicación al presente del método de escenarios parte de la premisa de que el presente no está completamente definido o decidido. Con mayor razón cuando se trata de medir en el presente la probabilidad de un comportamiento futuro. Preguntar a una persona qué haría en una circunstancia hipotética, unas elecciones, solamente puede recibir respuesta hipotéticas y abiertas al cambio.

Una apertura al cambio que puede ser de mayor o menor magnitud, afectar a unos partidos más que a otros, pero siempre existente. Así, la decisión sobre votar o qué votar alcanza un grado de certeza diferente según los electorados. Pero es una indecisión que es real y define el presente. En ese sentido, una medición del estado actual de los electorados mediante escenarios participa de todos los elementos que caracterizan al estudio de un fenómeno futuro.

La metodología de escenarios define un enfoque sistematizado utilizado para explorar y desarrollar múltiples opciones posibles en un contexto de incertidumbre. Herman Kahn y Anthony Wiener (1967) definieron los escenarios como "hipotéticas secuencias de eventos construidas con el propósito de focalizar la atención en causalidades y decisiones", poniendo el énfasis en la secuencia de eventos y su impacto potencial. En otra definición, Pierre Wack (1985), considera el método de escenarios como "la forma de pensar en realidades múltiples", subrayando la necesidad de reconocer y adaptarse a diversas pero posibles futuras realidades. Precisamente Wack enfatizó la utilidad de los escenarios para desafiar el pensamiento lineal y promover una planificación más flexible y adaptable. En su aplicación mediante el Modelo Bifactorial, la propuesta es considerar el presente como algo abierto y no cerrado en una única medición denotativa.

Por ello, la metodología de escenarios aplicada a la medición implica una reconceptualización en función del objeto. Reconoce que el presente no es un punto fijo, sino un espectro de posibilidades múltiples y divergentes; se asume que el presente es inherentemente incierto y que cualquier intento de medirlo precisa considerar múltiples variantes de actuación y de su interacción. Unos escenarios que involucran a diversos tipos de electores según su contribución a la incertidumbre global: es el caso de electores militantes, simpatizantes, afines o que realmente dudan entre diferentes partidos políticos (voto alternativo). Los escenarios son construidos a través de un proceso que generalmente incluye la identificación de factores clave, tendencias, y fuerzas impulsoras; el Modelo Bifactorial utiliza como base de para la identificación de los factores clave el Modelo Pentafactorial de motivación electoral propuesto por los profesores Alaminos y Alaminos Fernández (2012), integrando estos elementos en realidades coherentes; tras la especificación de escenarios se evalúan sus impactos potenciales. La especificación se encuentra abierta a la incorporación de nuevos factores, en la medida que tanto el tipo de elección como las variables disponibles condicionan la configuración de referencia. Finalmente, la implementación y optimización de los algoritmos en Python ha sido efectuada por Alaminos-Fernández. En este análisis se emplean siete escenarios de incertidumbre y tres estructuras de inercia (pasado, presente y expectativas actuales sobre el futuro). Los escenarios que operativizan los patrones de incertidumbre del presente análisis pivotan sobre los siguientes factores que los identifican. Escenario 1: escenario base; escenario 2: afinidad ideológica; escenario 3: imagen de partido; escenario 4: efecto de liderazgo (presidente preferido); escenario 5: afinidad ideológica en configuración de alta movilización; escenario 6: imagen de partido en configuración de alta movilización y finalmente escenario 7: efecto de liderazgo en configuración de alta movilización. Para una información más

detallada y exhaustiva se presentan al final del documento una relación de referencias teóricas y aplicadas.

## 1.2 Orientaciones básicas de análisis

En un primer apartado se muestran las distribuciones de las mediciones estimadas para cada partido en el conjunto de los escenarios; esto permite evaluar a) la concentración o dispersión de las estimaciones, así como b) la presencia de multimodalidad o c) discontinuidades que indican la existencia de funciones latentes discontinuas que se expresan dando lugar a estimaciones fragmentadas. Indirectamente es una medición de la mayor o menor fragilidad de los apoyos electorales. Por ejemplo, un partido cuya estimación sea unimodal y concentrada evidencia una escasa dependencia de los movimientos que experimenten el resto de los partidos. Expresado, en otros términos, en sus crecimientos o fracasos dependen en ese momento en concreto de sus propios pasos. Por el contrario, cuanto más dispersas o multimodales sean sus distribuciones mayor dependencia presentan respecto a las movilizaciones de los electorados de otros partidos. En este apartado se incluye la asociación observada entre las estimaciones de los partidos de ámbito nacional. No es pertinente comparar los estimados nacionales de partidos nacionales con los estimados de partidos autonómicos, debido a la falacia ecológica, las interdependencias no se mostrarían distorsionadas. Unas asociaciones que expresan tanto la relación interna entre los escenarios como evidencia la estructura latente que configura la existencia de dos bloques ideológicos.

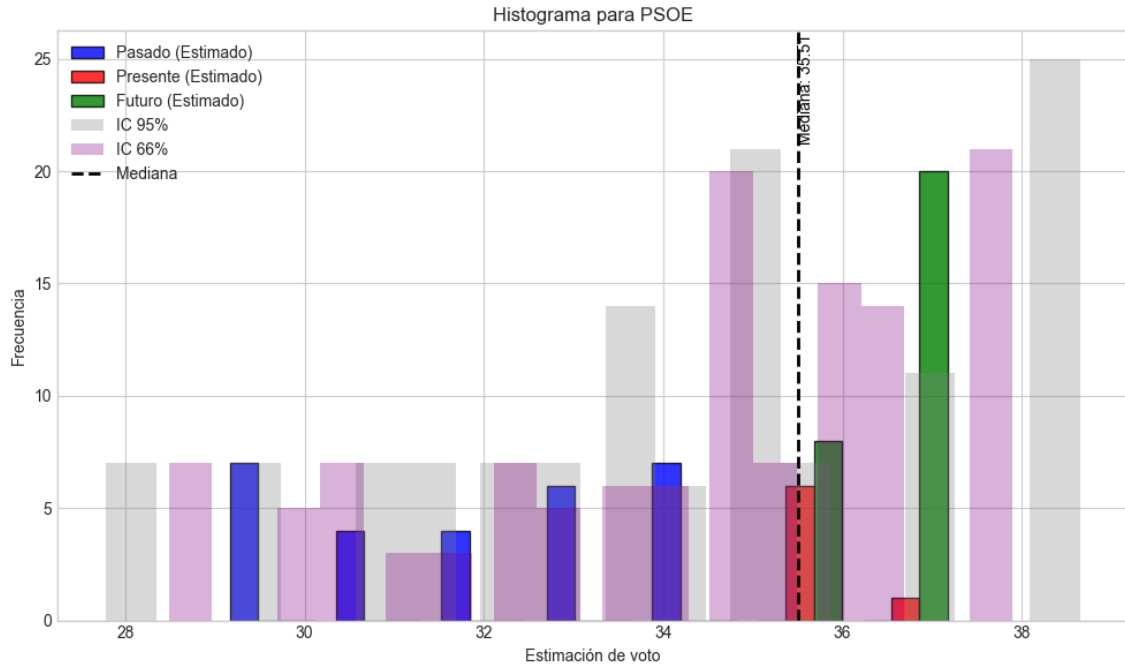
En un segundo apartado se evalúan en detalle de forma segmentada la secuencia de escenarios, descomponiendo los elementos de inercia y los patrones de incertidumbre. Se analizan las interacciones existentes entre las inercias y los patrones de incertidumbre, estableciendo si son aditivas o multiplicativas. En el caso de ser multiplicativas se evalúa si son de variabilidad creciente o decreciente en función de la inercia pasado-presente-futuro.

La variabilidad decreciente se interpreta como una mayor concentración y grado de decisión de los apoyos electorales en el presente y las expectativas. La variabilidad creciente significa que se incrementa la fragilidad y volatilidad de sus apoyos considerando la disposición a la movilización electoral. La varianza de las estimaciones se descompone en los componentes de inercia e incertidumbre. En definitiva, se estima en qué grado influyen la inercia (ocultación de voto o efecto de posición en el

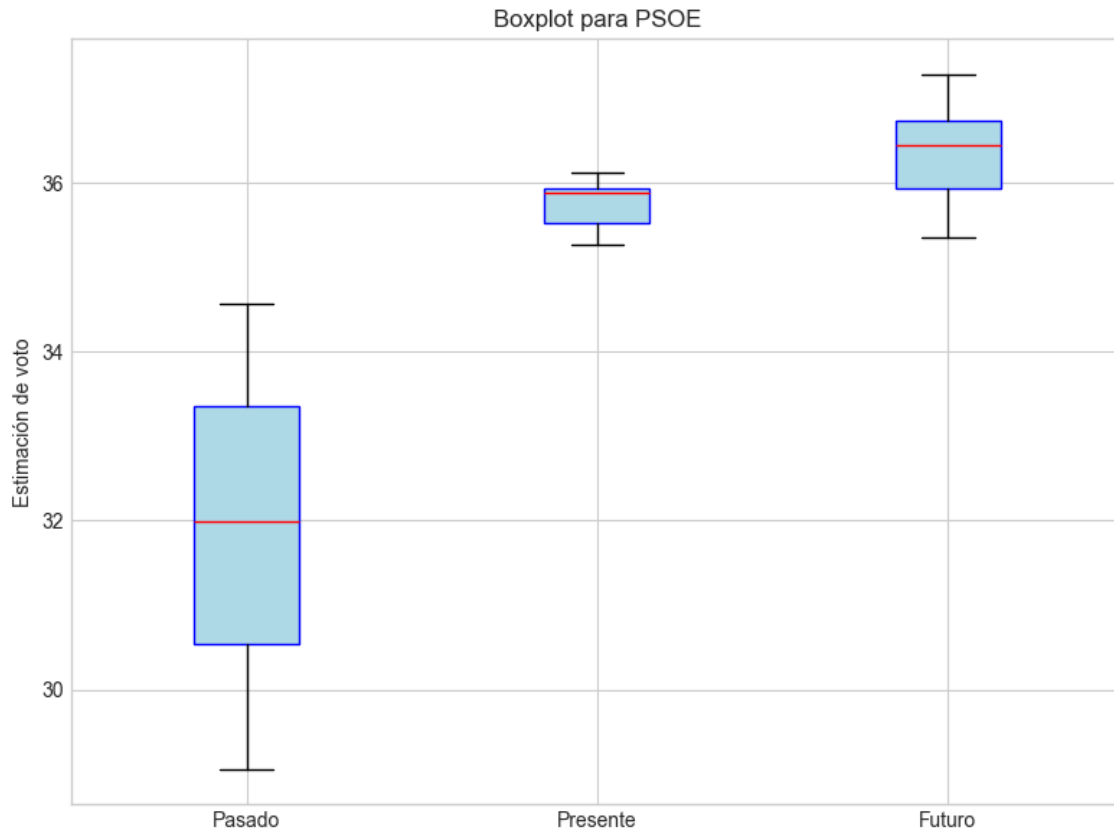
cuestionario) y los patrones de incertidumbre a la estimación final. La estructura de inercia muestra el efecto de la ocultación de voto, generalmente en los partidos de derecha o ultraderecha.

Los patrones de incertidumbre se evalúan por los "dientes de sierra", su amplitud y profundidad. Por ejemplo, los patrones de incertidumbre de un partido que presenta un voto estable y decidido tenderán a la horizontalidad, sin grandes zigzagueos. Por el contrario, un partido cuyo electorado se encuentre en estado de incertidumbre mostrara grandes "dientes de sierra". En la práctica, en la primera parte se evalúa la consistencia interna del conjunto de estimaciones (homogénea, no homogénea) y en la segunda parte la fuente de la variabilidad (inercia o incertidumbre). En ese sentido, un interés especial presenta los patrones medios de incertidumbre según escenarios. Este análisis se concentra en la mayor o menor dependencia de cada partido a las diferentes condiciones que configuran los escenarios. Un interés especial procede del análisis del error, dado que su posible no aleatoriedad muestra la interdependencia entre la inercia y los patrones de incertidumbre.

## 2 Análisis distribucional y correlacional de los escenarios



Histograma con Intervalos de Confianza para PSOE



Boxplot para PSOE

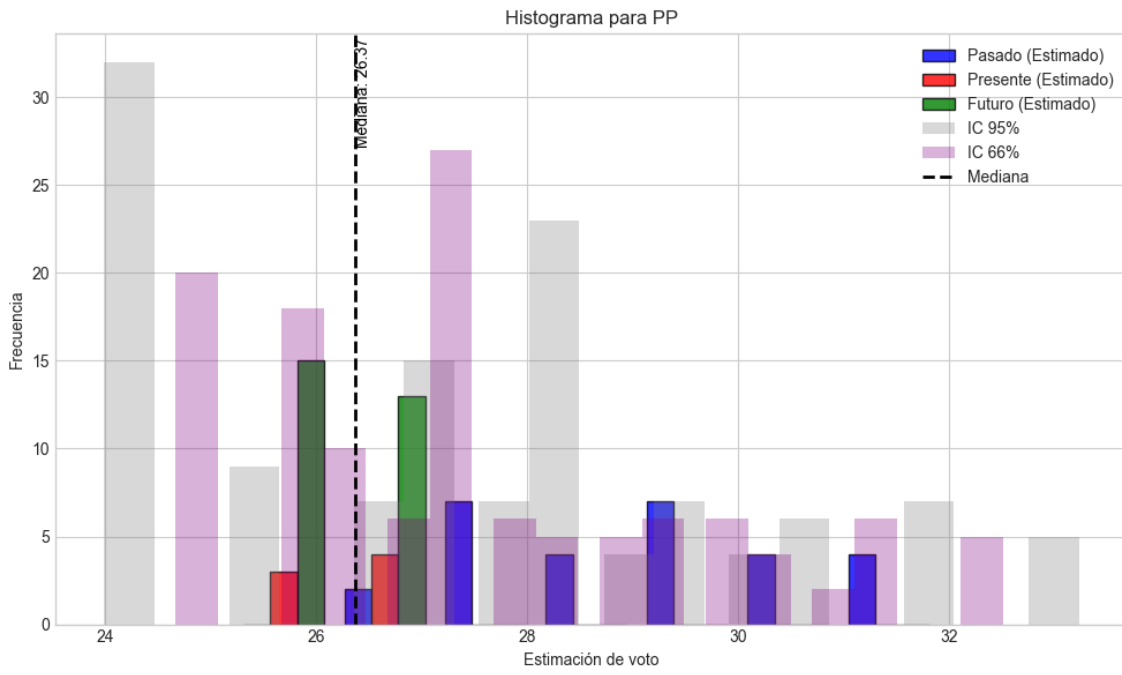
### Resultados para PSOE

Bloque	Media	Mediana	Media Total	Mediana Total
Pasado	32.0311	31.9875	34.3818	35.5052
Presente	35.7400	35.8892		
Futuro	36.3929	36.4409		

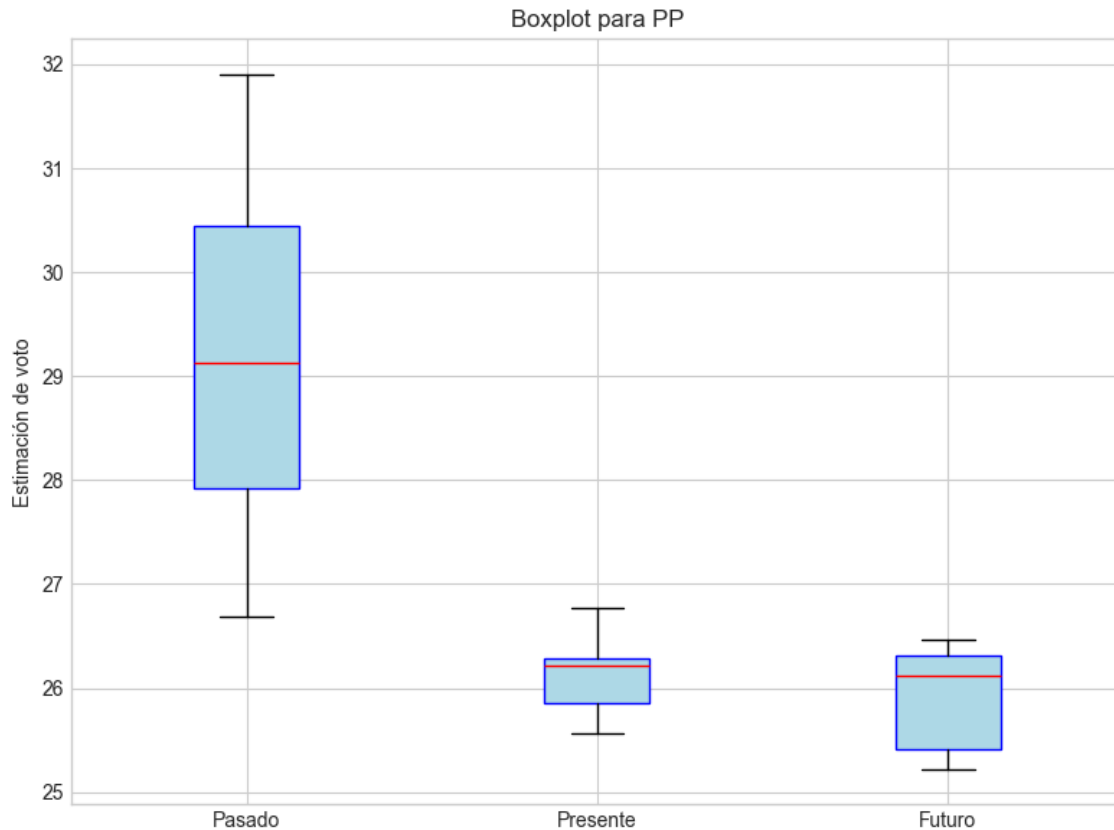
Interpretación de la dispersión: La dispersión es baja, los valores están muy concentrados en torno a la media. El rango intercuartílico es amplio, sugiriendo la presencia de valores atípicos o una distribución asimétrica.

### Estadísticas Descriptivas para PSOE

Indicador	Valor
Varianza	6.0490
Desviación estándar	2.4595
Coefficiente de Variación (CV)	0.0715
Asimetría (Skewness)	-0.7388
Curtosis	-0.7958
Rango Intercuartílico (IQR)	3.5220
Desviación absoluta de la mediana (MAD)	1.2180



Histograma con Intervalos de Confianza para PP



Boxplot para PP

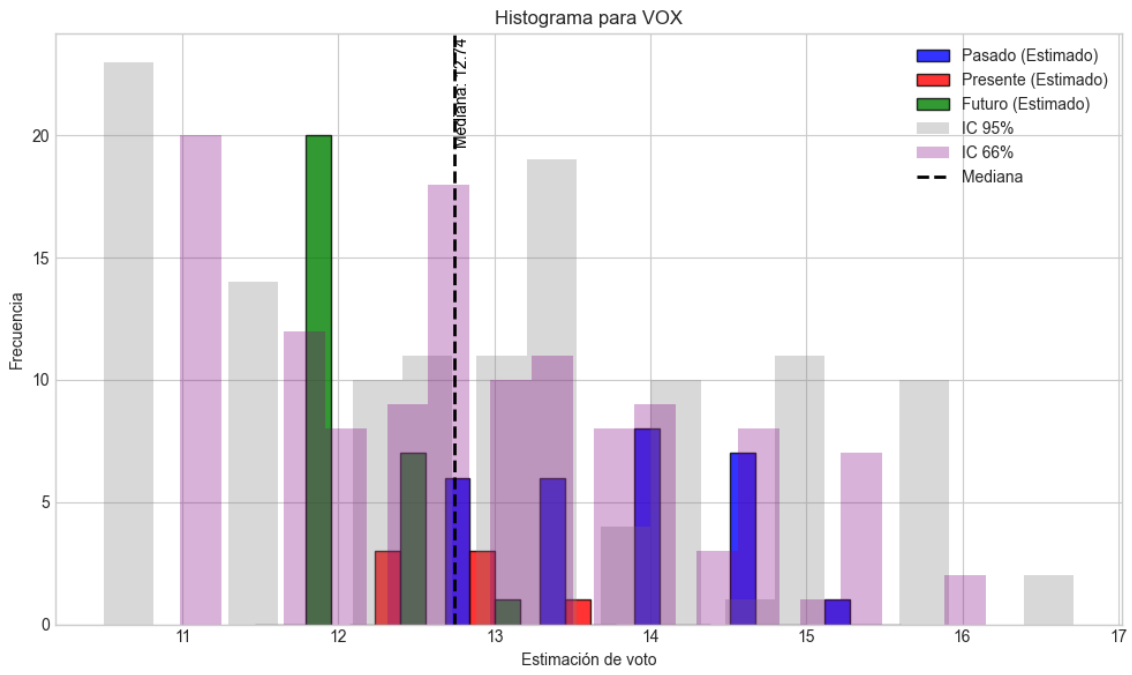
### Resultados para PP

Bloque	Media	Mediana	Media Total	Mediana Total
Pasado	29.1667	29.1291	27.4083	26.3675
Presente	26.1185	26.2137		
Futuro	25.9723	26.1232		

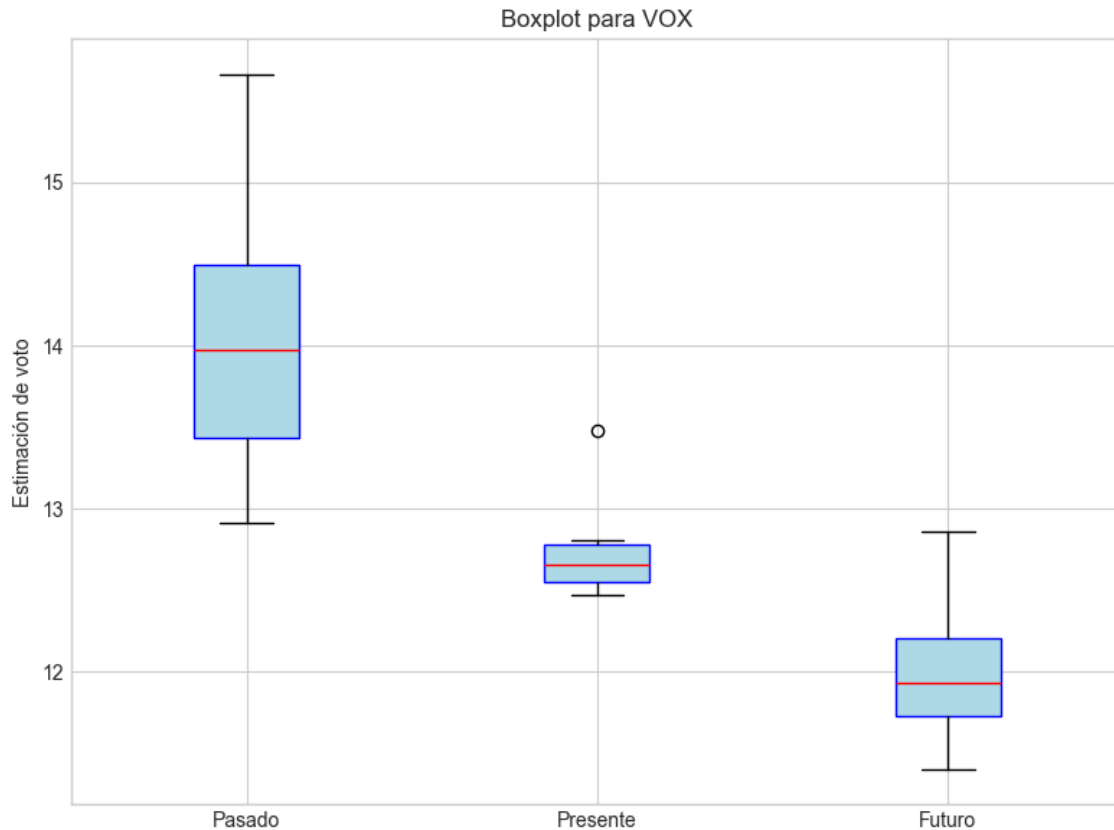
Interpretación de la dispersión: La dispersión es baja, los valores están muy concentrados en torno a la media. El rango intercuartílico es amplio, sugiriendo la presencia de valores atípicos o una distribución asimétrica.

### Estadísticas Descriptivas para PP

Indicador	Valor
Varianza	3.6125
Desviación estándar	1.9007
Coefficiente de Variación (CV)	0.0693
Asimetría (Skewness)	0.8634
Curtosis	-0.5463
Rango Intercuartílico (IQR)	2.5289
Desviación absoluta de la mediana (MAD)	0.9519



Histograma con Intervalos de Confianza para VOX



Boxplot para VOX

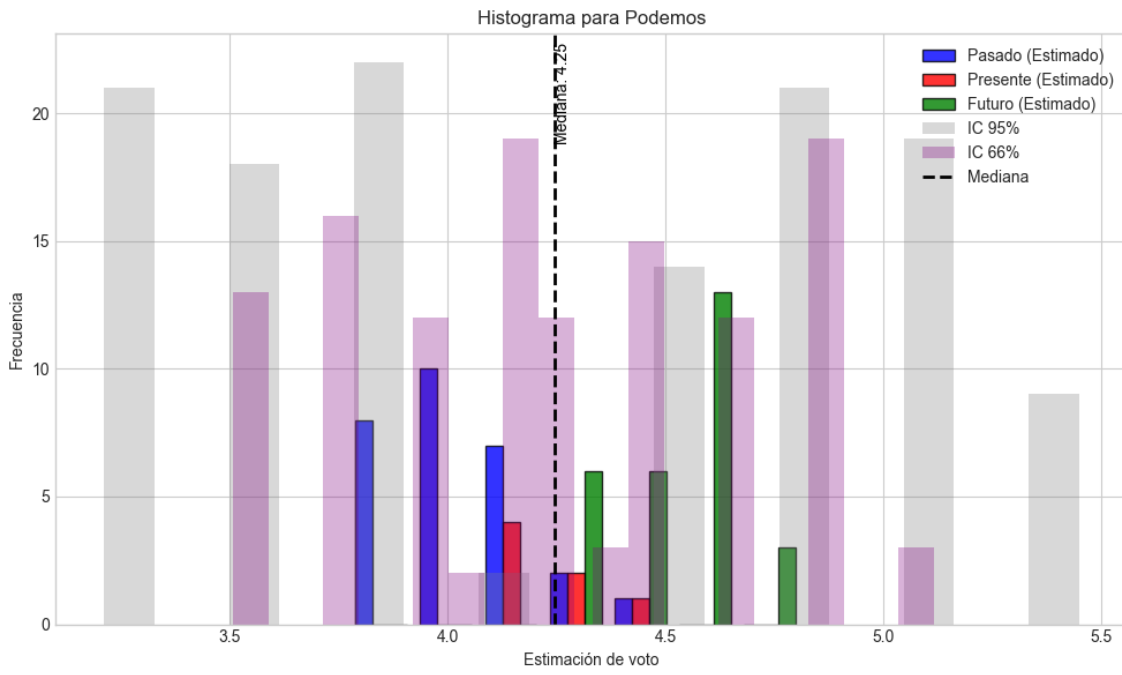
### Resultados para VOX

Bloque	Media	Mediana	Media Total	Mediana Total
Pasado	13.9851	13.9718	12.9395	12.7427
Presente	12.7499	12.6575		
Futuro	11.9413	11.9325		

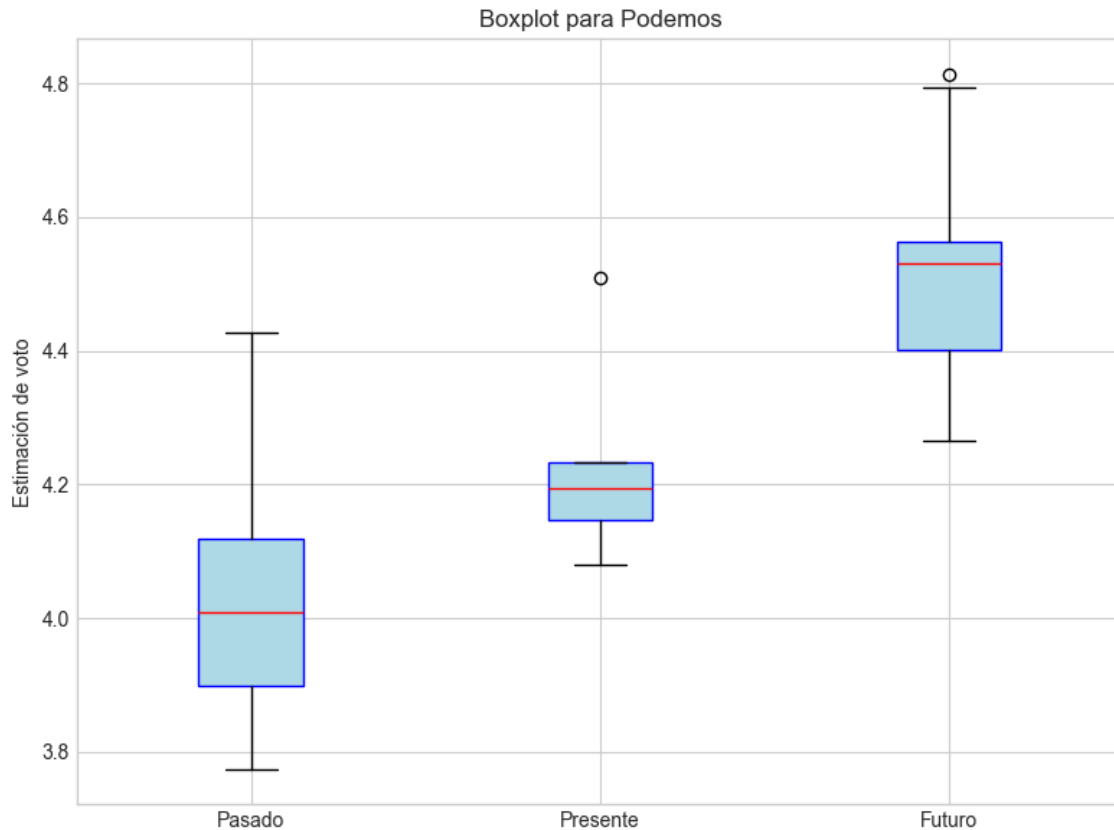
Interpretación de la dispersión: La dispersión es baja, los valores están muy concentrados en torno a la media. El rango intercuartílico es amplio, sugiriendo la presencia de valores atípicos o una distribución asimétrica.

### Estadísticas Descriptivas para VOX

Indicador	Valor
Varianza	1.2334
Desviación estándar	1.1106
Coefficiente de Variación (CV)	0.0858
Asimetría (Skewness)	0.4995
Curtosis	-0.8638
Rango Intercuartílico (IQR)	1.8491
Desviación absoluta de la mediana (MAD)	0.8311



Histograma con Intervalos de Confianza para Podemos



Boxplot para Podemos

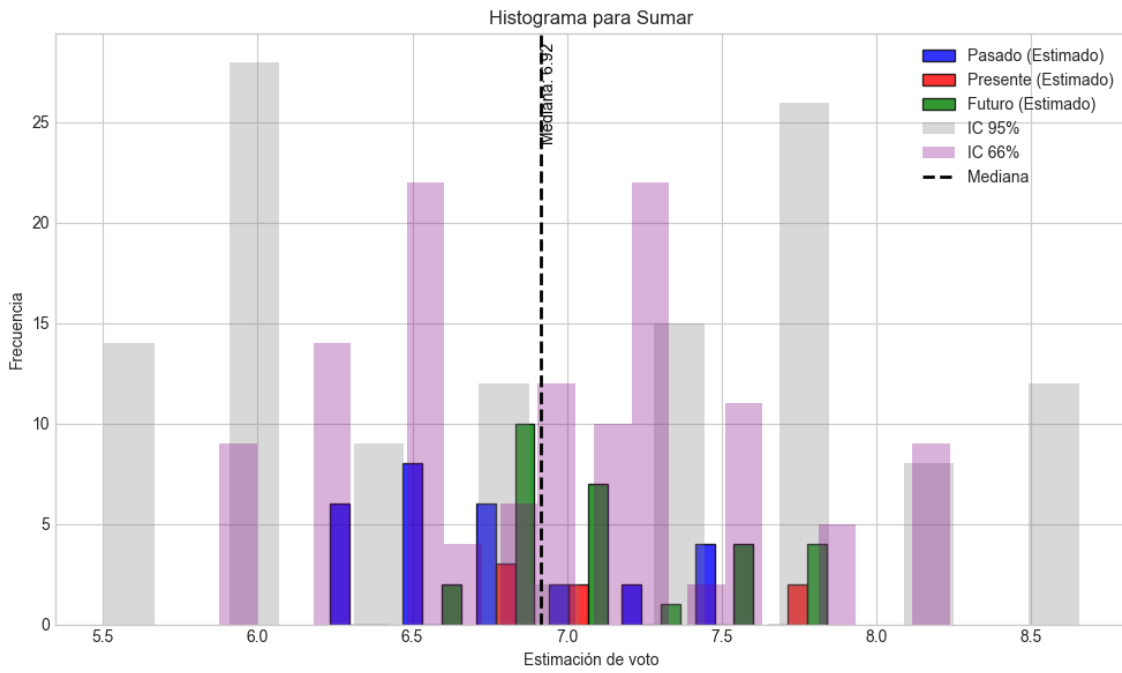
### Resultados para Podemos

Bloque	Media	Mediana	Media Total	Mediana Total
Pasado	4.0275	4.0087	4.2545	4.2451
Presente	4.2202	4.1943		
Futuro	4.4901	4.5300		

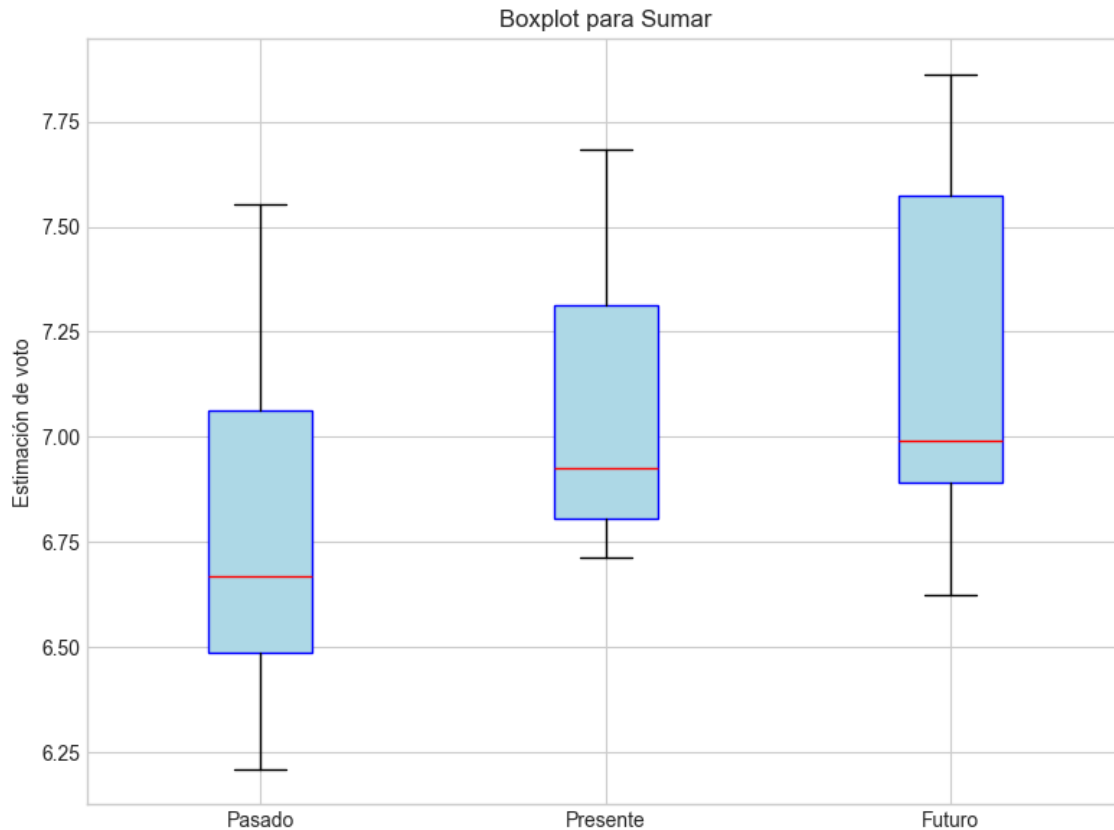
Interpretación de la dispersión: La dispersión es baja, los valores están muy concentrados en torno a la media. El rango intercuartílico es amplio, sugiriendo la presencia de valores atípicos o una distribución asimétrica.

### Estadísticas Descriptivas para Podemos

Indicador	Valor
Varianza	0.0705
Desviación estándar	0.2654
Coefficiente de Variación (CV)	0.0624
Asimetría (Skewness)	0.0992
Curtosis	-1.0095
Rango Intercuartílico (IQR)	0.4704
Desviación absoluta de la mediana (MAD)	0.2181



Histograma con Intervalos de Confianza para Sumar



Boxplot para Sumar

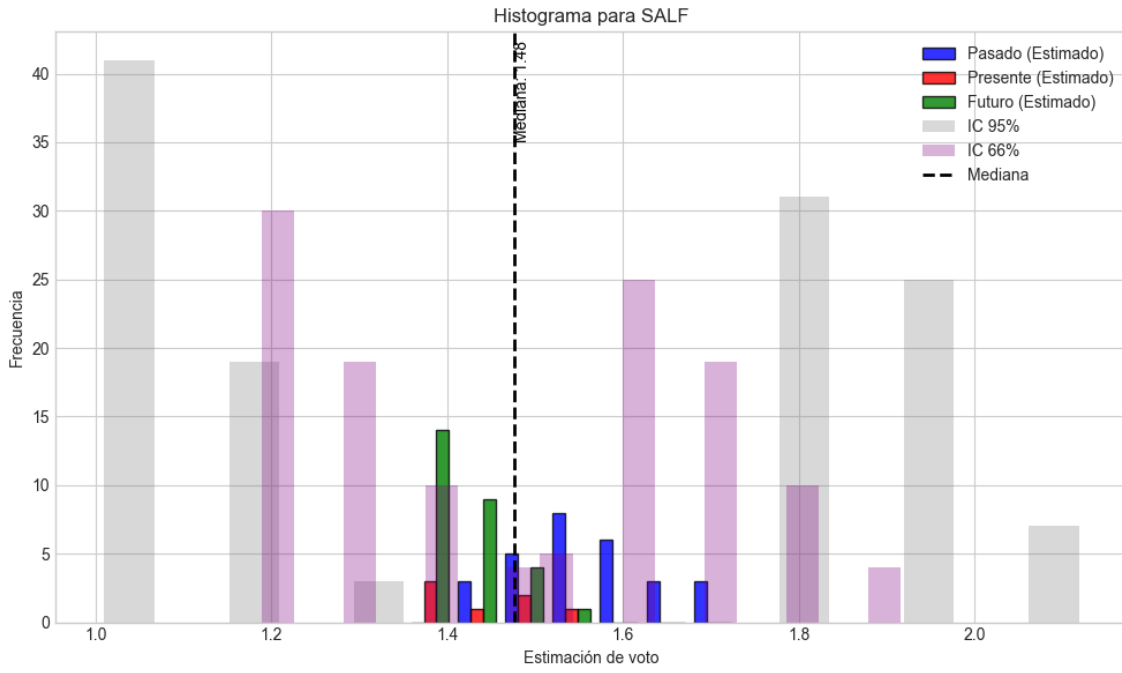
### Resultados para Sumar

Bloque	Media	Mediana	Media Total	Mediana Total
Pasado	6.7711	6.6692	6.9705	6.9153
Presente	7.0811	6.9278		
Futuro	7.1424	6.9903		

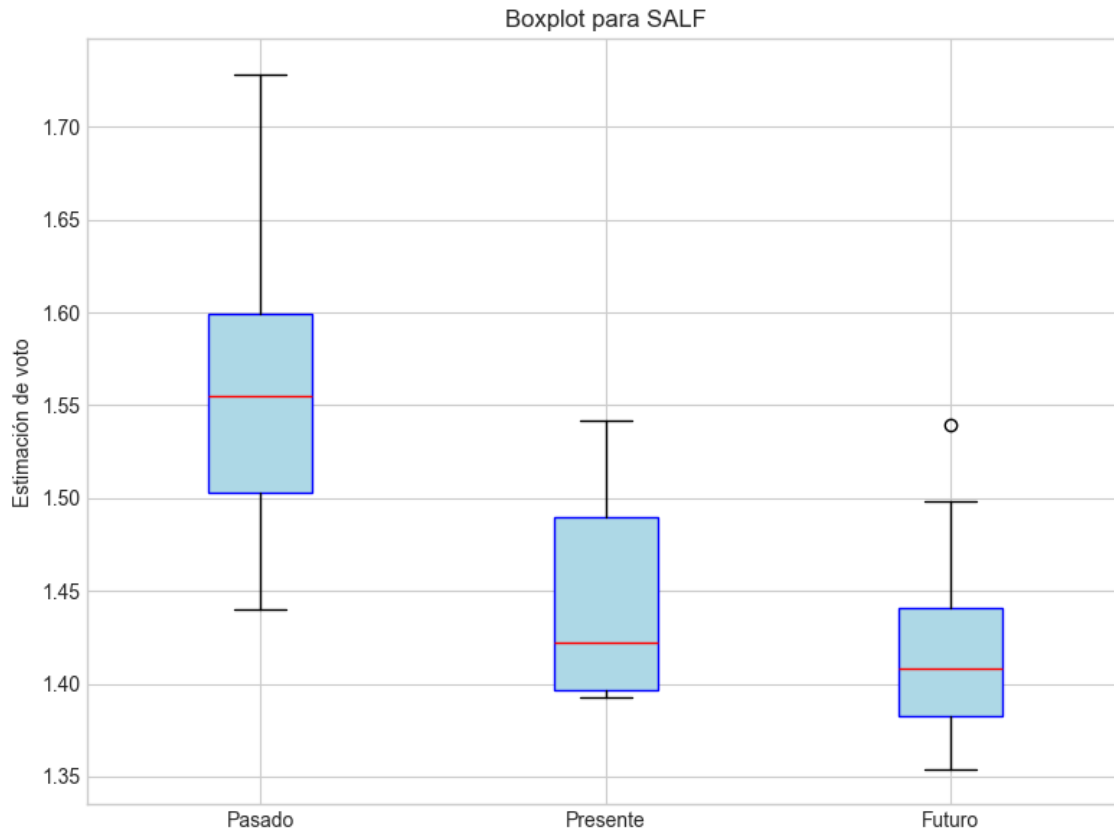
Interpretación de la dispersión: La dispersión es baja, los valores están muy concentrados en torno a la media. El rango intercuartílico es amplio, sugiriendo la presencia de valores atípicos o una distribución asimétrica.

### Estadísticas Descriptivas para Sumar

Indicador	Valor
Varianza	0.1774
Desviación estándar	0.4212
Coefficiente de Variación (CV)	0.0604
Asimetría (Skewness)	0.4037
Curtosis	-0.6520
Rango Intercuartílico (IQR)	0.5221
Desviación absoluta de la mediana (MAD)	0.2568



Histograma con Intervalos de Confianza para SALF



Boxplot para SALF

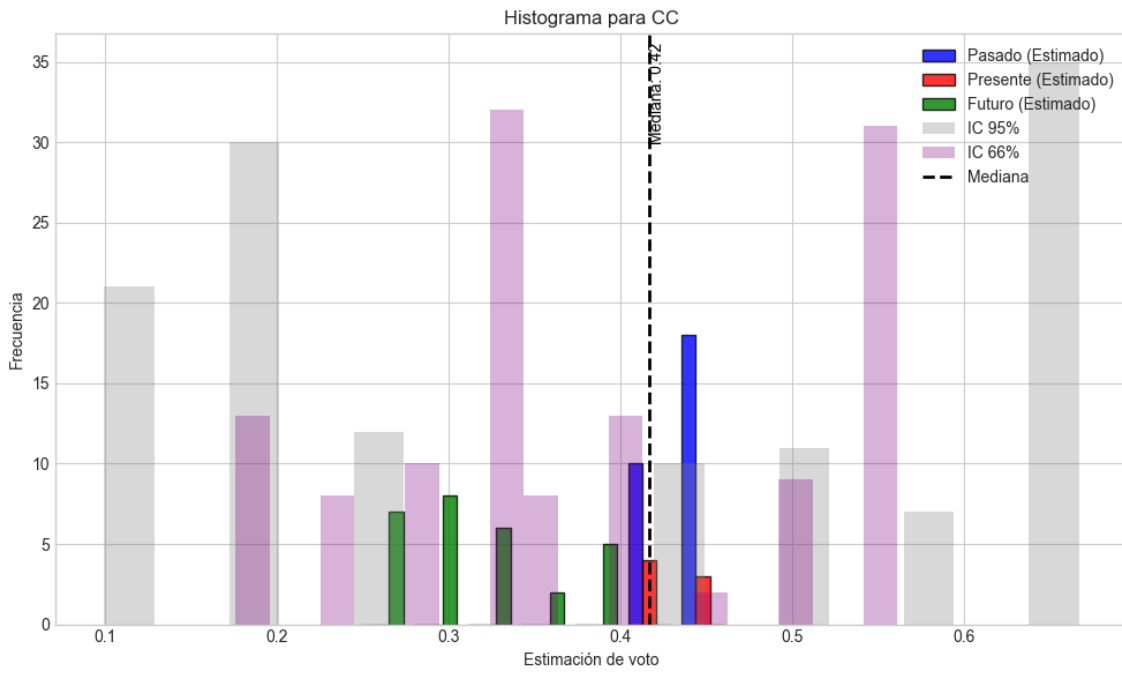
### Resultados para SALF

Bloque	Media	Mediana	Media Total	Mediana Total
Pasado	1.5575	1.5552	1.4828	1.4758
Presente	1.4471	1.4221		
Futuro	1.4169	1.4085		

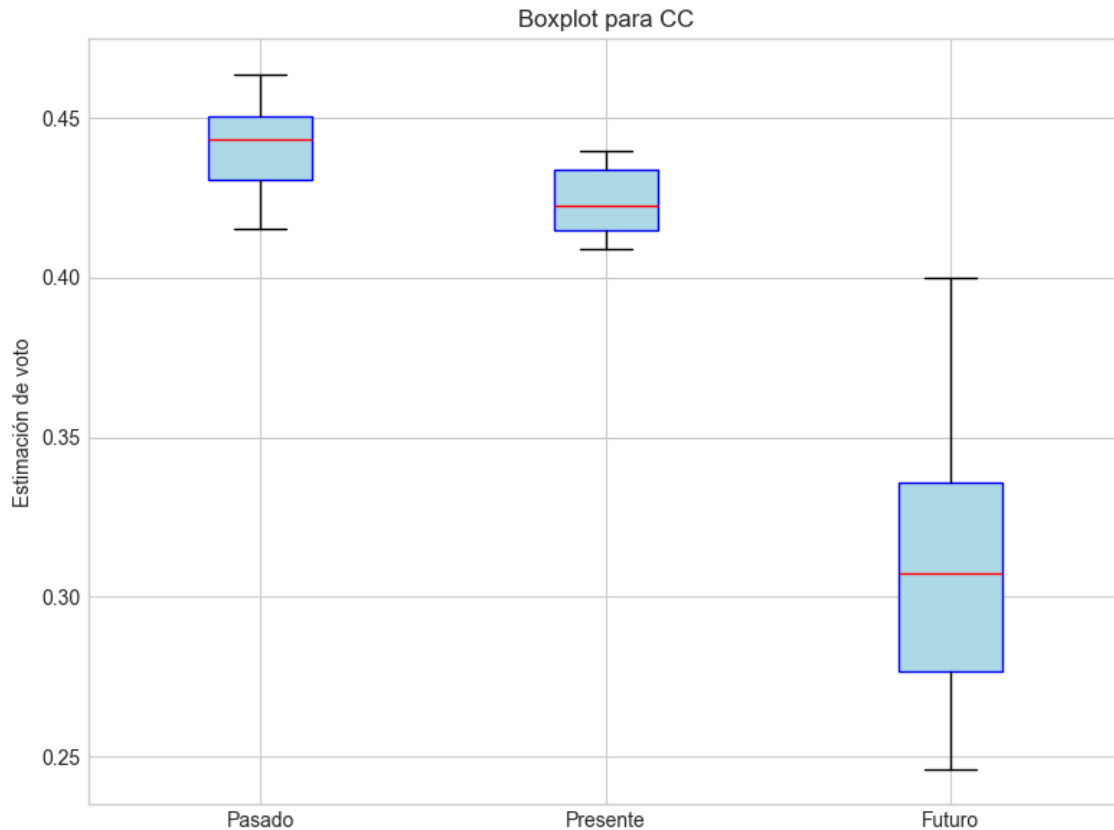
Interpretación de la dispersión: La dispersión es baja, los valores están muy concentrados en torno a la media. Los valores se encuentran en un rango intercuartílico controlado.

### Estadísticas Descriptivas para SALF

Indicador	Valor
Varianza	0.0086
Desviación estándar	0.0926
Coefficiente de Variación (CV)	0.0625
Asimetría (Skewness)	0.6730
Curtosis	-0.3144
Rango Intercuartílico (IQR)	0.1454
Desviación absoluta de la mediana (MAD)	0.0753



Histograma con Intervalos de Confianza para CC



Boxplot para CC

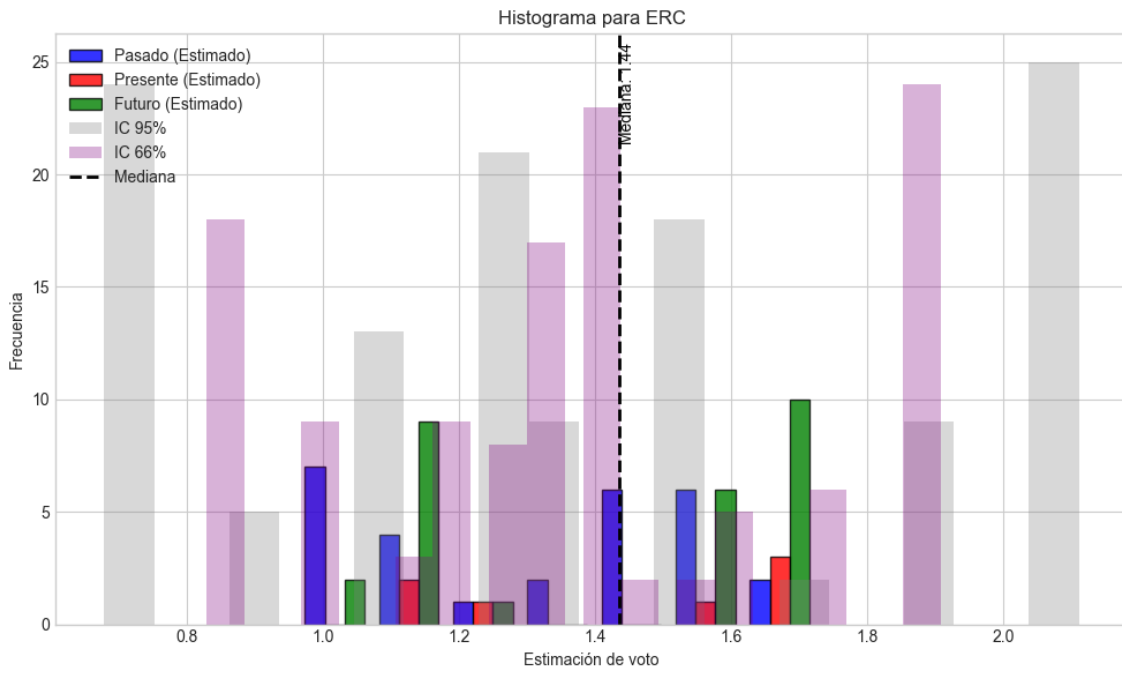
### Resultados para CC

Bloque	Media	Mediana	Media Total	Mediana Total
Pasado	0.4409	0.4431	0.3825	0.4168
Presente	0.4240	0.4225		
Futuro	0.3137	0.3072		

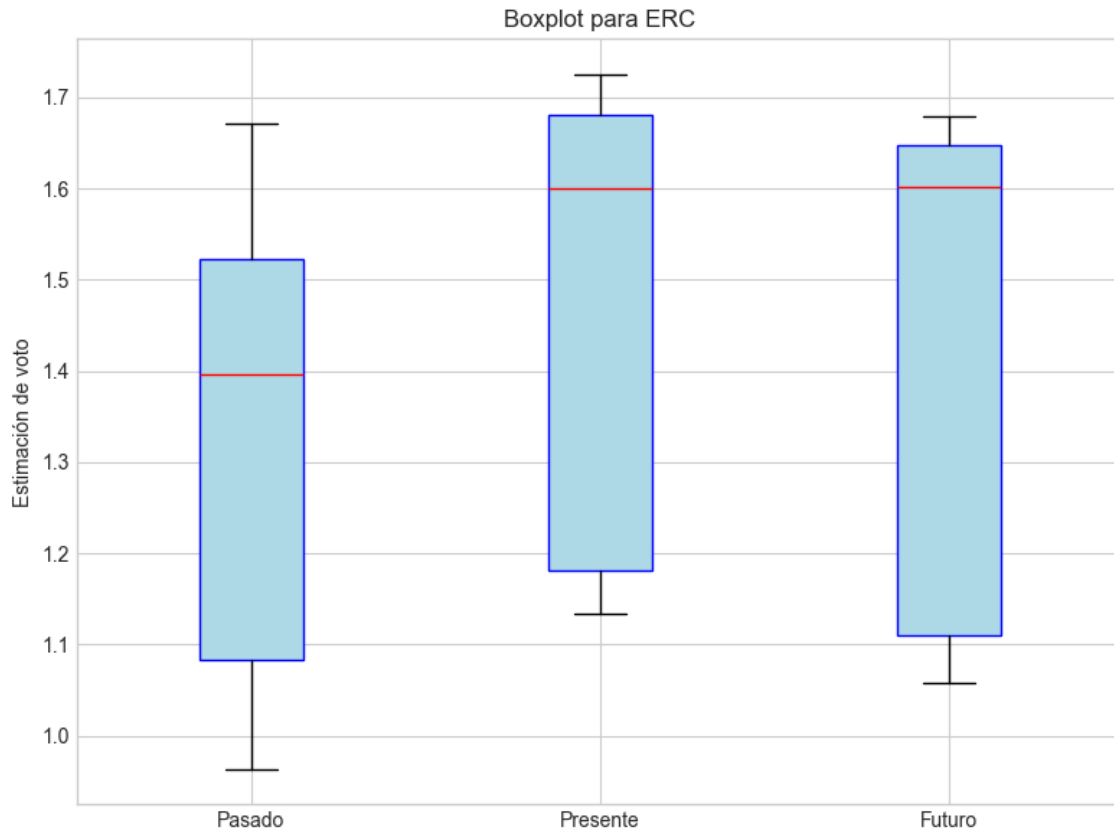
Interpretación de la dispersión: La dispersión es moderada. El rango intercuartílico es amplio, sugiriendo la presencia de valores atípicos o una distribución asimétrica.

### Estadísticas Descriptivas para CC

Indicador	Valor
Varianza	0.0050
Desviación estándar	0.0709
Coficiente de Variación (CV)	0.1853
Asimetría (Skewness)	-0.6177
Curtosis	-1.2116
Rango Intercuartílico (IQR)	0.1297
Desviación absoluta de la mediana (MAD)	0.0328



Histograma con Intervalos de Confianza para ERC



Boxplot para ERC

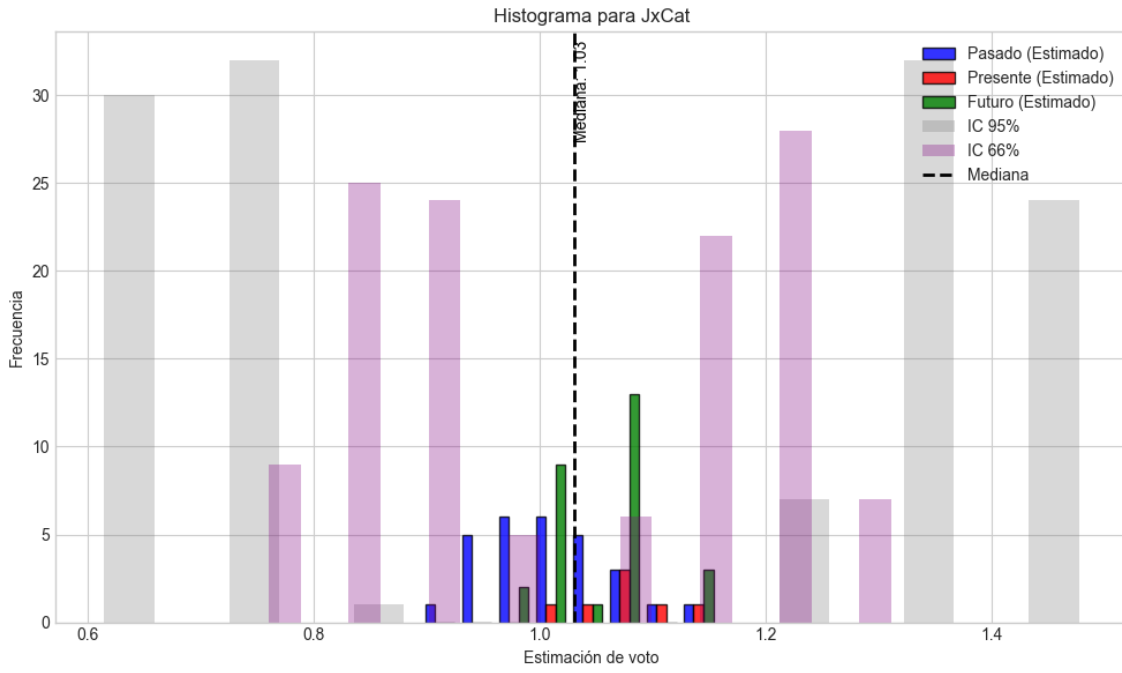
### Resultados para ERC

Bloque	Media	Mediana	Media Total	Mediana Total
Pasado	1.3169	1.3960	1.3751	1.4361
Presente	1.4548	1.5995		
Futuro	1.4134	1.6021		

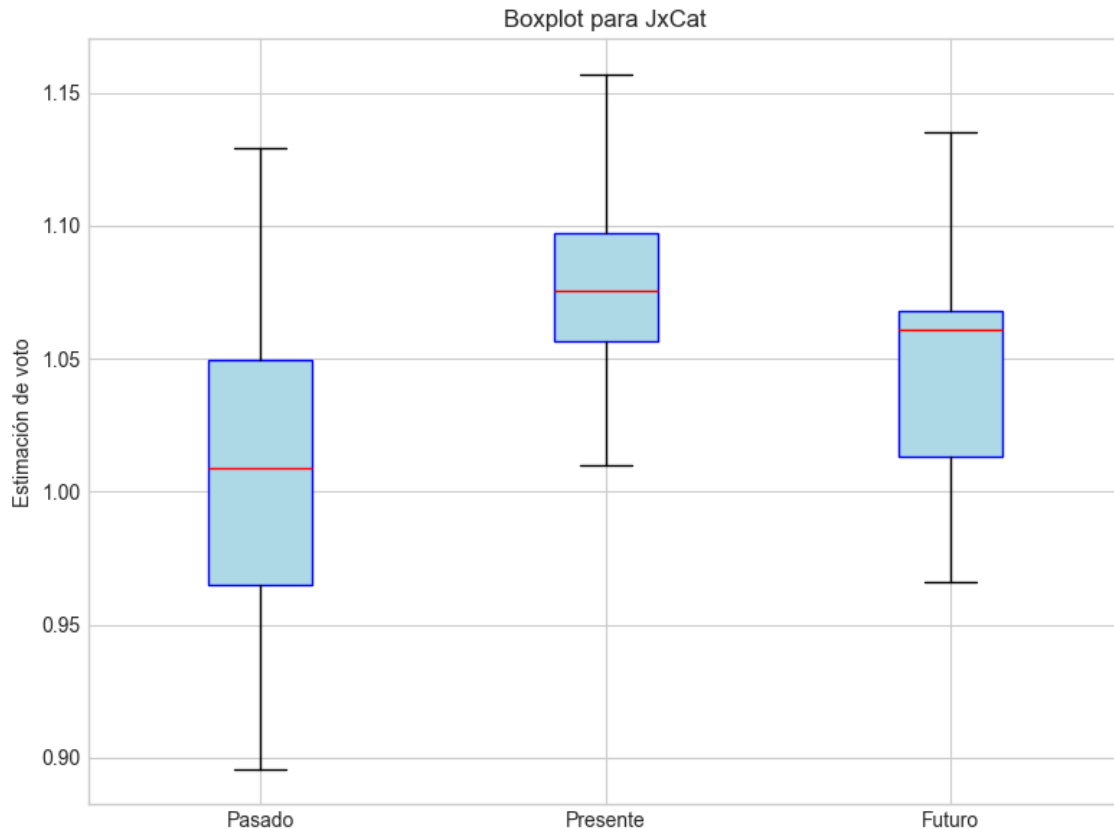
Interpretación de la dispersión: La dispersión es moderada. El rango intercuartílico es amplio, sugiriendo la presencia de valores atípicos o una distribución asimétrica.

### Estadísticas Descriptivas para ERC

Indicador	Valor
Varianza	0.0658
Desviación estándar	0.2566
Coefficiente de Variación (CV)	0.1866
Asimetría (Skewness)	-0.1563
Curtosis	-1.6786
Rango Intercuartílico (IQR)	0.5051
Desviación absoluta de la mediana (MAD)	0.2280



Histograma con Intervalos de Confianza para JxCat



Boxplot para JxCat

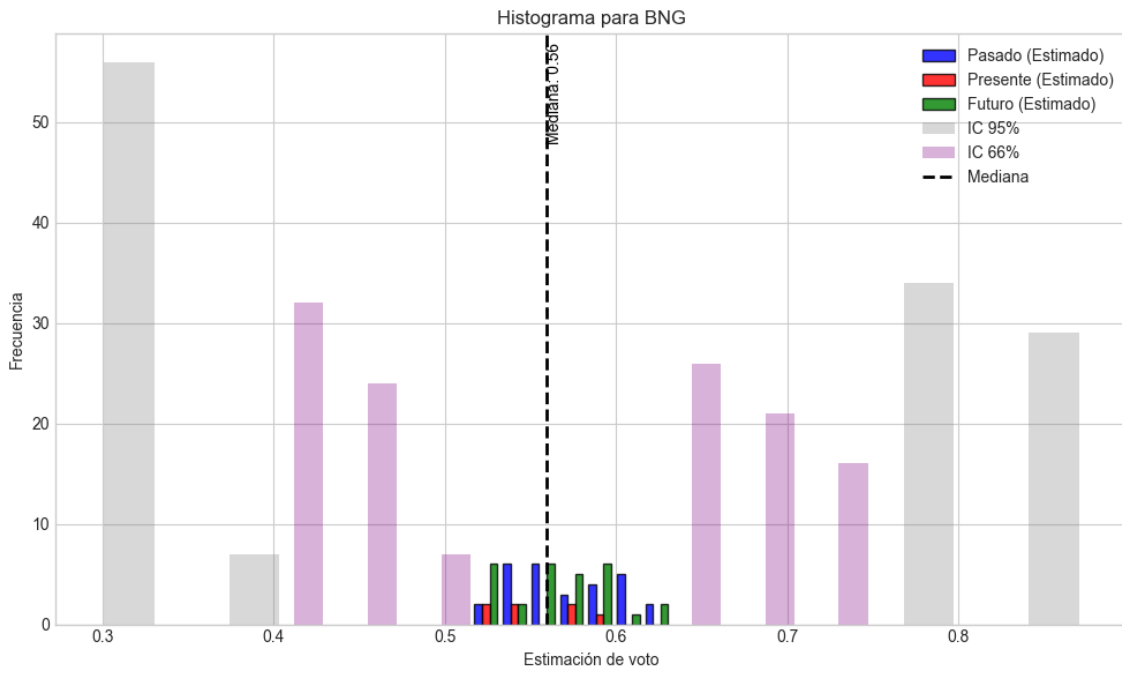
### Resultados para JxCat

Bloque	Media	Mediana	Media Total	Mediana Total
Pasado	1.0082	1.0088	1.0345	1.0309
Presente	1.0786	1.0757		
Futuro	1.0497	1.0610		

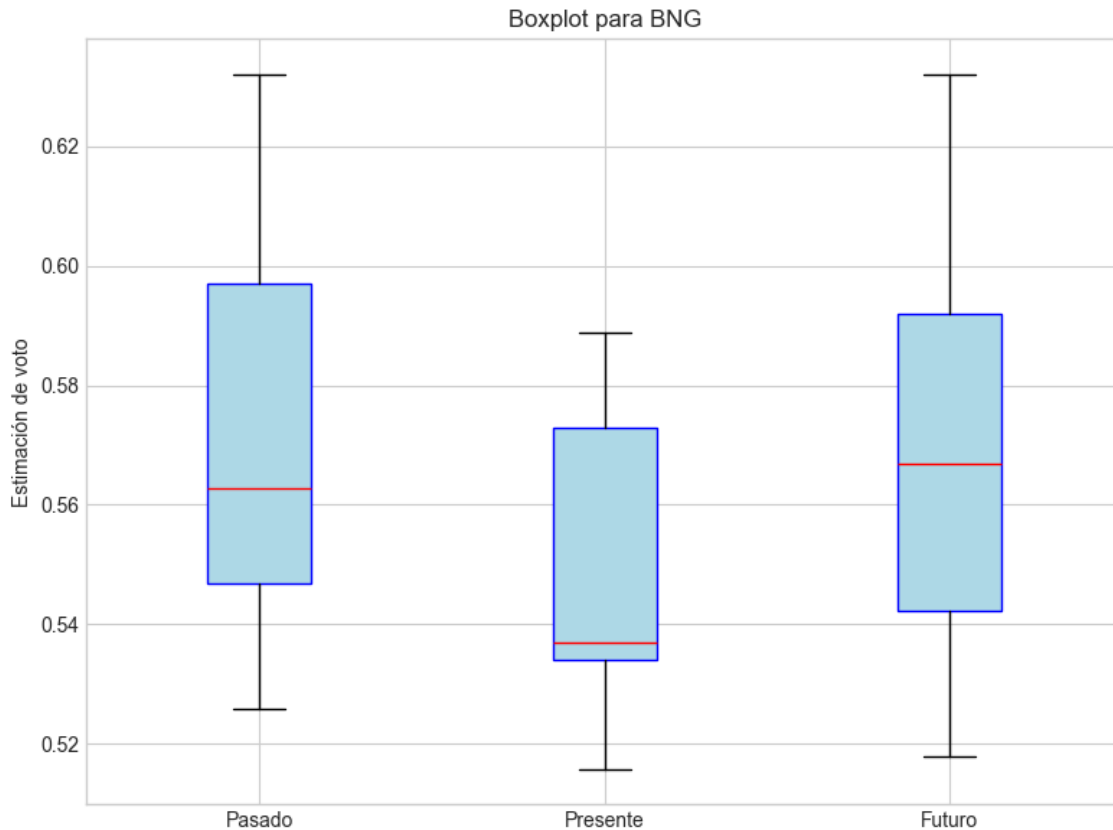
Interpretación de la dispersión: La dispersión es baja, los valores están muy concentrados en torno a la media. Los valores se encuentran en un rango intercuartílico controlado.

### Estadísticas Descriptivas para JxCat

Indicador	Valor
Varianza	0.0030
Desviación estándar	0.0543
Coefficiente de Variación (CV)	0.0525
Asimetría (Skewness)	-0.1307
Curtosis	-0.1763
Rango Intercuartílico (IQR)	0.0658
Desviación absoluta de la mediana (MAD)	0.0349



Histograma con Intervalos de Confianza para BNG



Boxplot para BNG

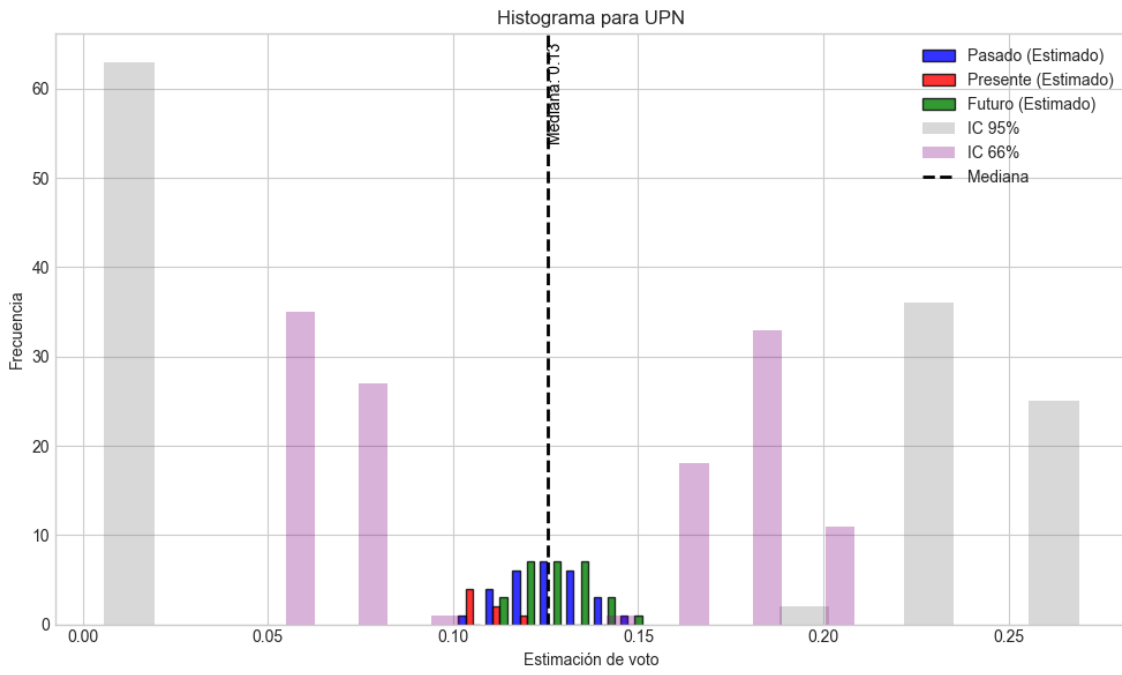
### Resultados para BNG

Bloque	Media	Mediana	Media Total	Mediana Total
Pasado	0.5720	0.5627	0.5674	0.5596
Presente	0.5508	0.5368		
Futuro	0.5670	0.5668		

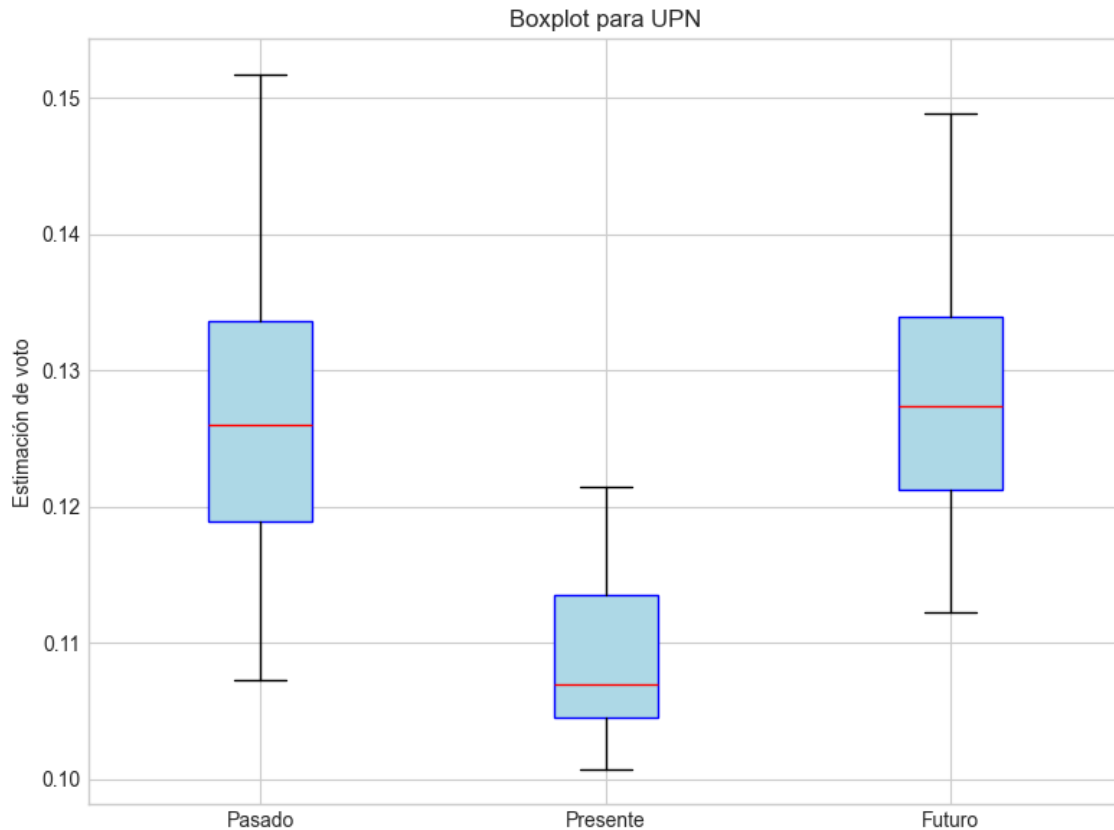
Interpretación de la dispersión: La dispersión es baja, los valores están muy concentrados en torno a la media. El rango intercuartílico es amplio, sugiriendo la presencia de valores atípicos o una distribución asimétrica.

### Estadísticas Descriptivas para BNG

Indicador	Valor
Varianza	0.0010
Desviación estándar	0.0310
Coefficiente de Variación (CV)	0.0546
Asimetría (Skewness)	0.2977
Curtosis	-0.8362
Rango Intercuartílico (IQR)	0.0501
Desviación absoluta de la mediana (MAD)	0.0231



Histograma con Intervalos de Confianza para UPN



Boxplot para UPN

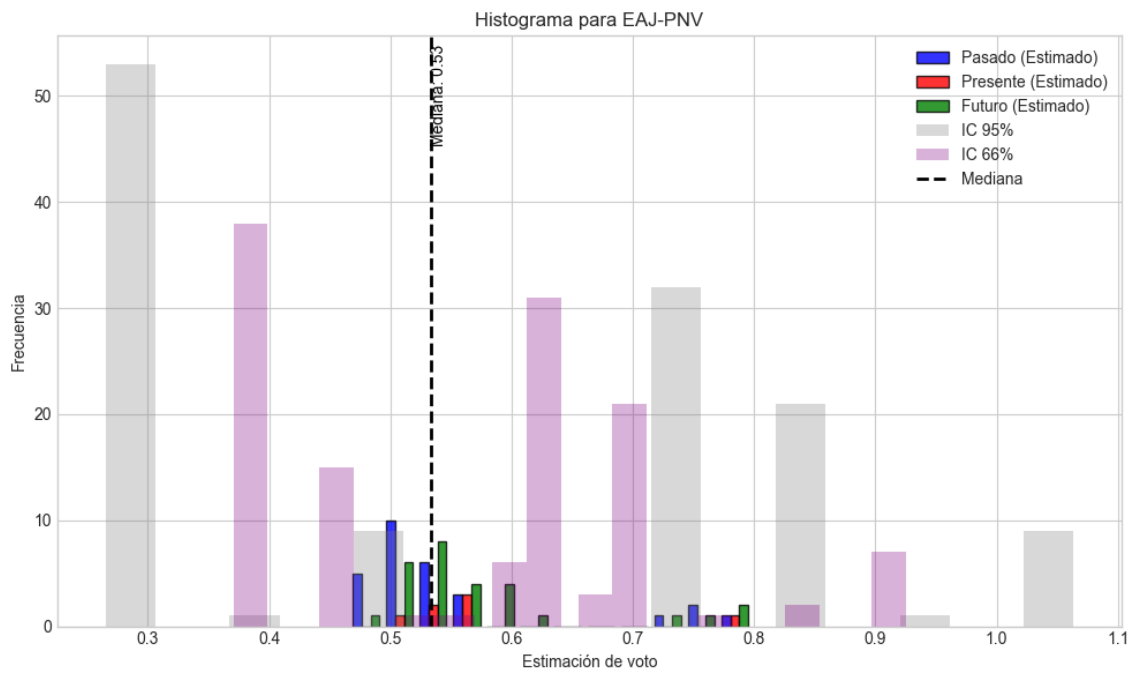
### Resultados para UPN

Bloque	Media	Mediana	Media Total	Mediana Total
Pasado	0.1261	0.1260	0.1250	0.1256
Presente	0.1093	0.1069		
Futuro	0.1278	0.1274		

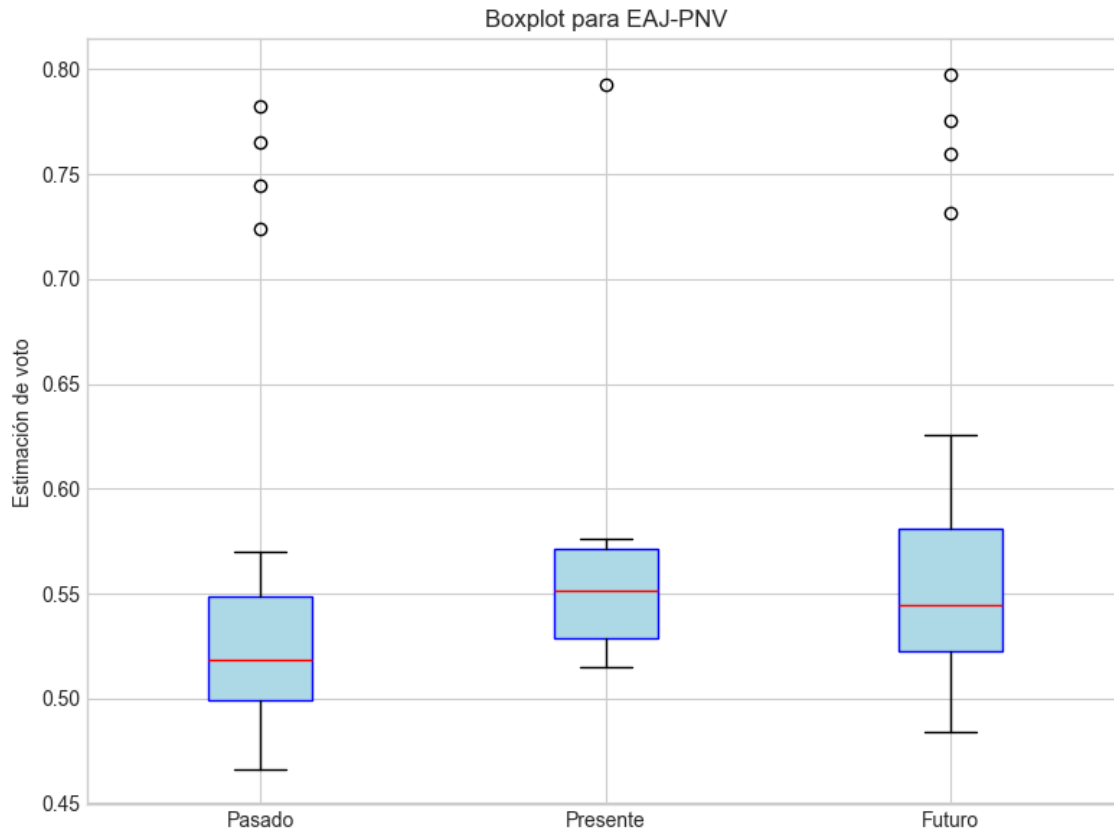
Interpretación de la dispersión: La dispersión es baja, los valores están muy concentrados en torno a la media. El rango intercuartílico es amplio, sugiriendo la presencia de valores atípicos o una distribución asimétrica.

### Estadísticas Descriptivas para UPN

Indicador	Valor
Varianza	0.0001
Desviación estándar	0.0113
Coefficiente de Variación (CV)	0.0906
Asimetría (Skewness)	0.0990
Curtosis	-0.4647
Rango Intercuartílico (IQR)	0.0165
Desviación absoluta de la mediana (MAD)	0.0081



Histograma con Intervalos de Confianza para EAJ-PNV



Boxplot para EAJ-PNV

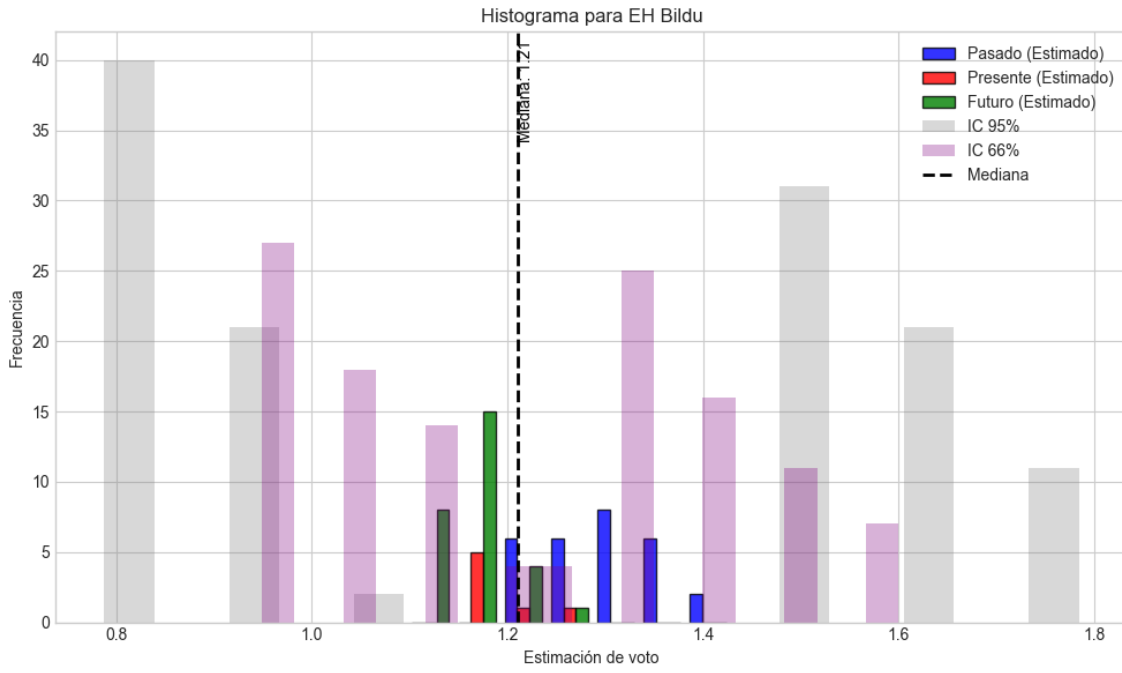
### Resultados para EAJ-PNV

Bloque	Media	Mediana	Media Total	Mediana Total
Pasado	0.5496	0.5186	0.5640	0.5334
Presente	0.5797	0.5512		
Futuro	0.5744	0.5445		

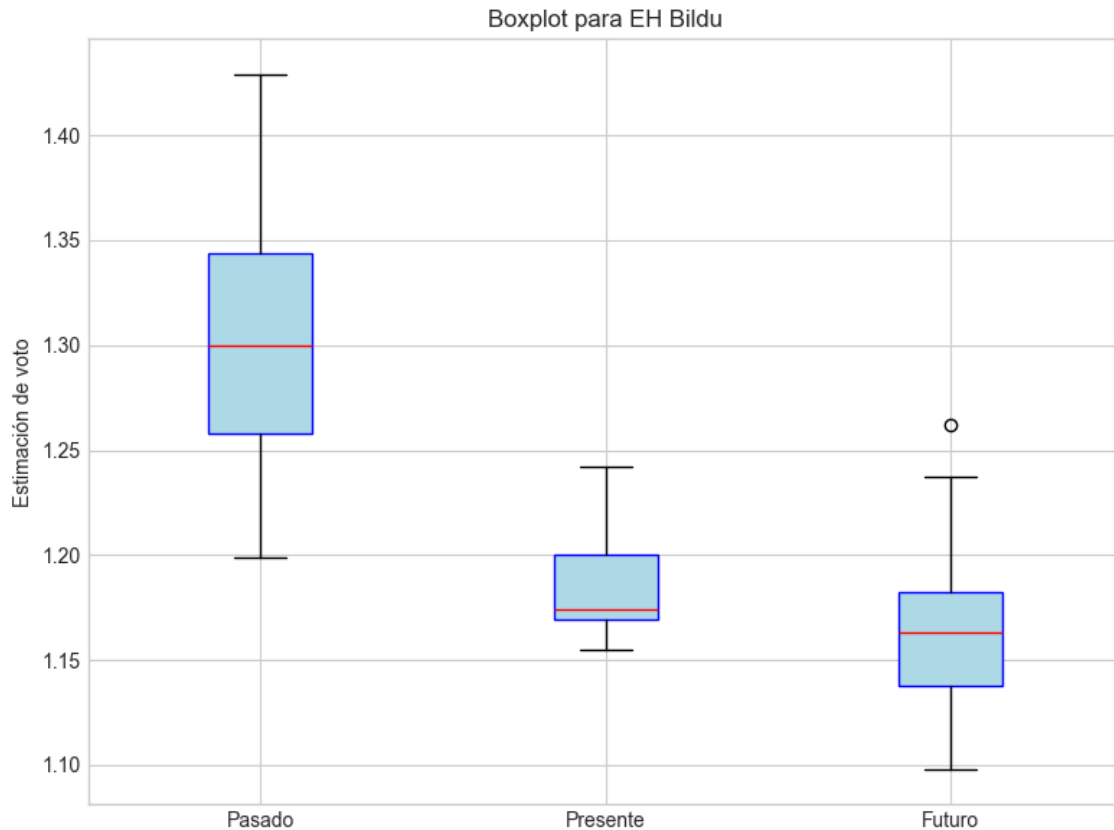
Interpretación de la dispersión: La dispersión es moderada. Los valores se encuentran en un rango intercuartílico controlado.

### Estadísticas Descriptivas para EAJ-PNV

Indicador	Valor
Varianza	0.0078
Desviación estándar	0.0882
Coefficiente de Variación (CV)	0.1564
Asimetría (Skewness)	1.6083
Curtosis	1.3789
Rango Intercuartílico (IQR)	0.0562
Desviación absoluta de la mediana (MAD)	0.0297



Histograma con Intervalos de Confianza para EH Bildu



Boxplot para EH Bildu

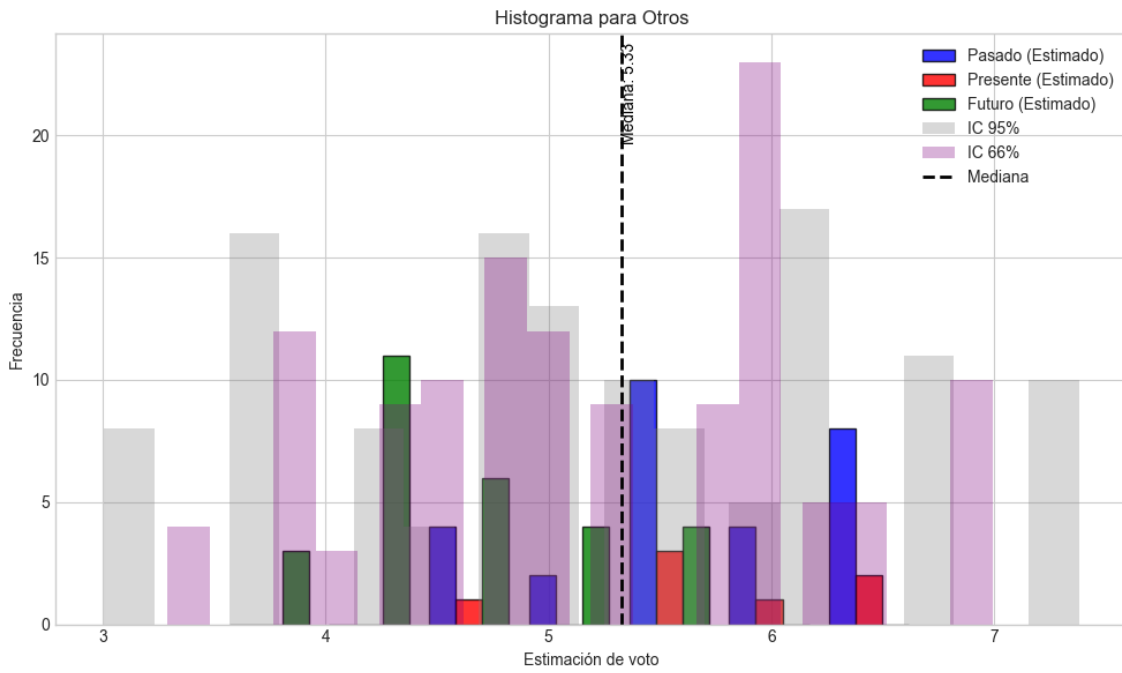
### Resultados para EH Bildu

Bloque	Media	Mediana	Media Total	Mediana Total
Pasado	1.3003	1.2998	1.2264	1.2102
Presente	1.1871	1.1741		
Futuro	1.1623	1.1633		

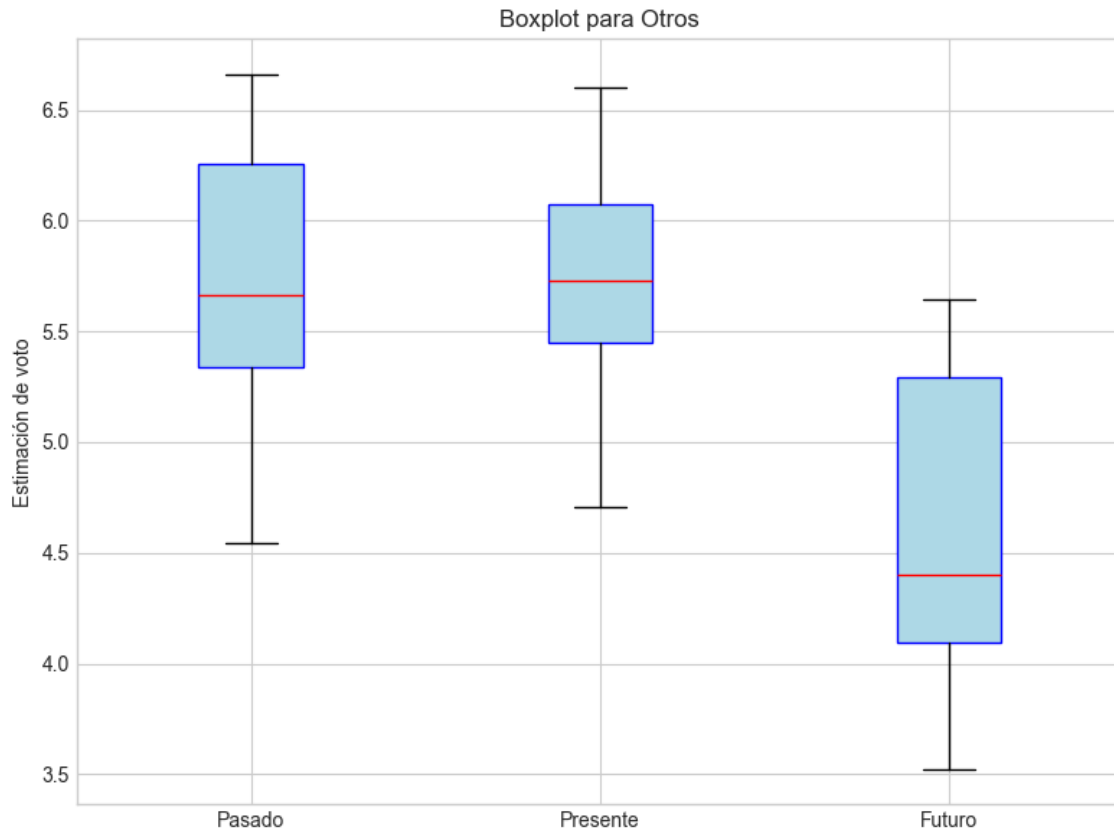
Interpretación de la dispersión: La dispersión es baja, los valores están muy concentrados en torno a la media. El rango intercuartílico es amplio, sugiriendo la presencia de valores atípicos o una distribución asimétrica.

### Estadísticas Descriptivas para EH Bildu

Indicador	Valor
Varianza	0.0068
Desviación estándar	0.0825
Coefficiente de Variación (CV)	0.0672
Asimetría (Skewness)	0.5268
Curtosis	-0.6368
Rango Intercuartílico (IQR)	0.1221
Desviación absoluta de la mediana (MAD)	0.0533



Histograma con Intervalos de Confianza para Otros



Boxplot para Otros

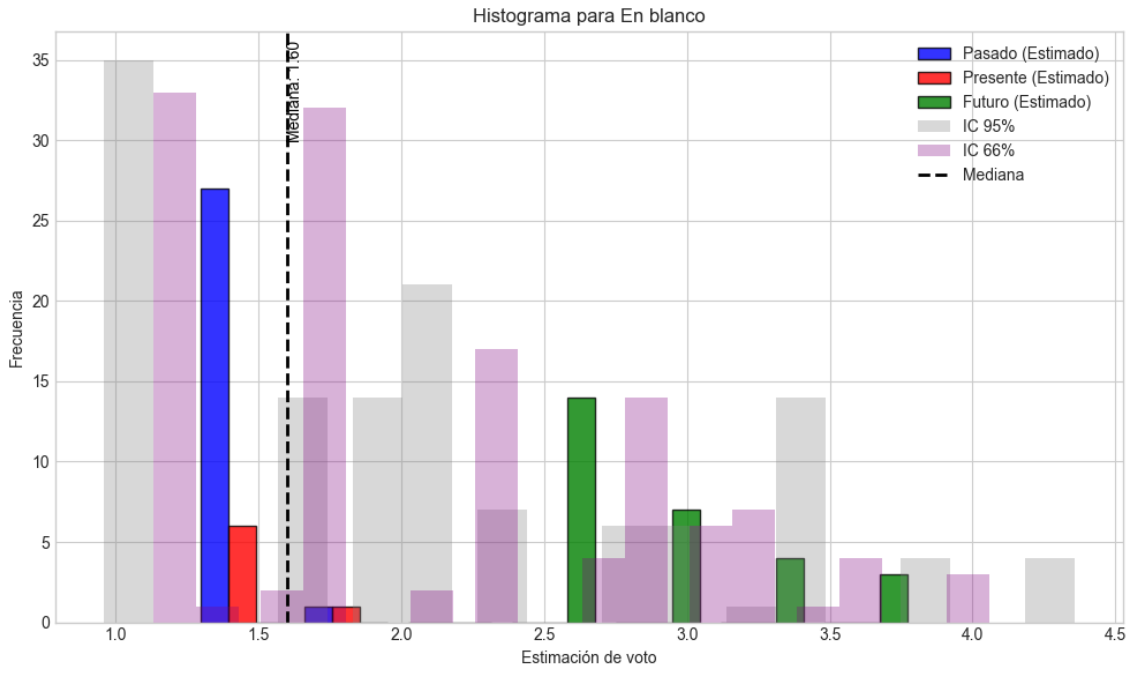
### Resultados para Otros

Bloque	Media	Mediana	Media Total	Mediana Total
Pasado	5.7083	5.6642	5.1964	5.3277
Presente	5.7252	5.7268		
Futuro	4.5523	4.4005		

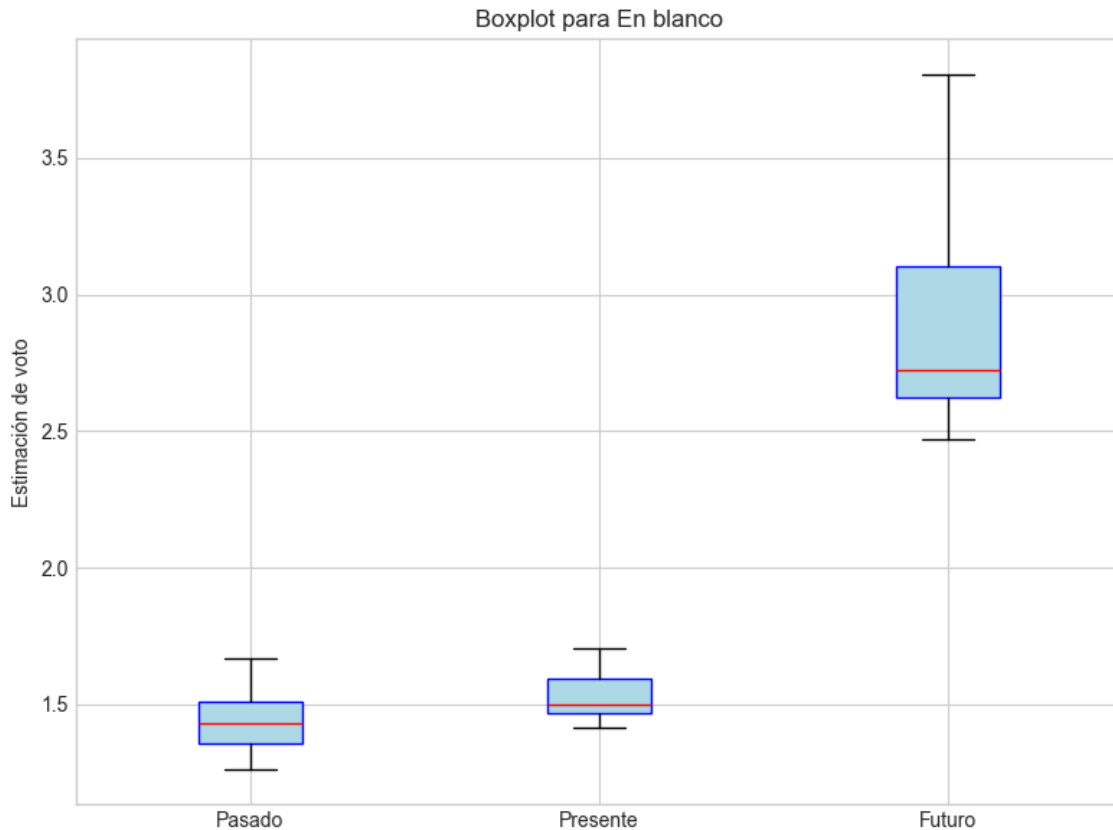
Interpretación de la dispersión: La dispersión es moderada. Los valores se encuentran en un rango intercuartílico controlado.

### Estadísticas Descriptivas para Otros

Indicador	Valor
Varianza	0.7194
Desviación estándar	0.8482
Coefficiente de Variación (CV)	0.1632
Asimetría (Skewness)	-0.0799
Curtosis	-0.9438
Rango Intercuartílico (IQR)	1.1975
Desviación absoluta de la mediana (MAD)	0.6527



Histograma con Intervalos de Confianza para En blanco



Boxplot para En blanco

### Resultados para En blanco

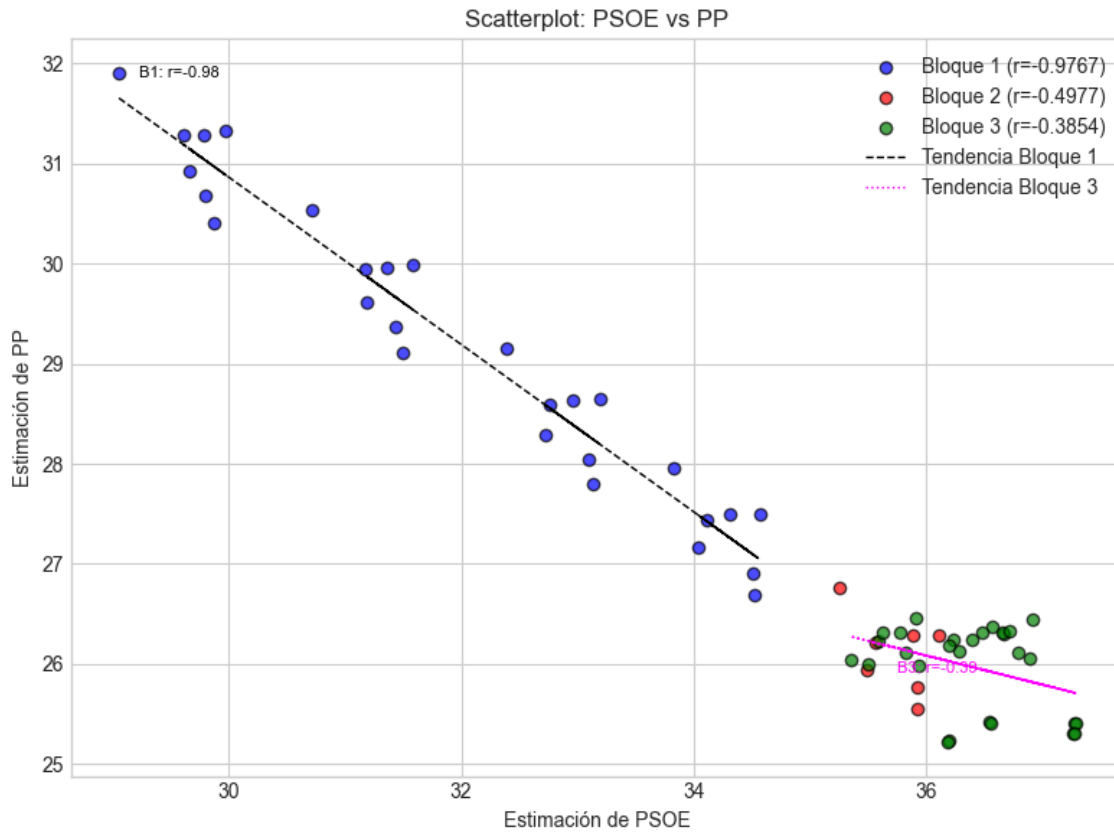
Bloque	Media	Mediana	Media Total	Mediana Total
Pasado	1.4385	1.4310	2.0913	1.6003
Presente	1.5338	1.5006		
Futuro	2.8835	2.7217		

Interpretación de la dispersión: La dispersión es alta, lo que indica gran variabilidad en los datos. El rango intercuartílico es amplio, sugiriendo la presencia de valores atípicos o una distribución asimétrica.

### Estadísticas Descriptivas para En blanco

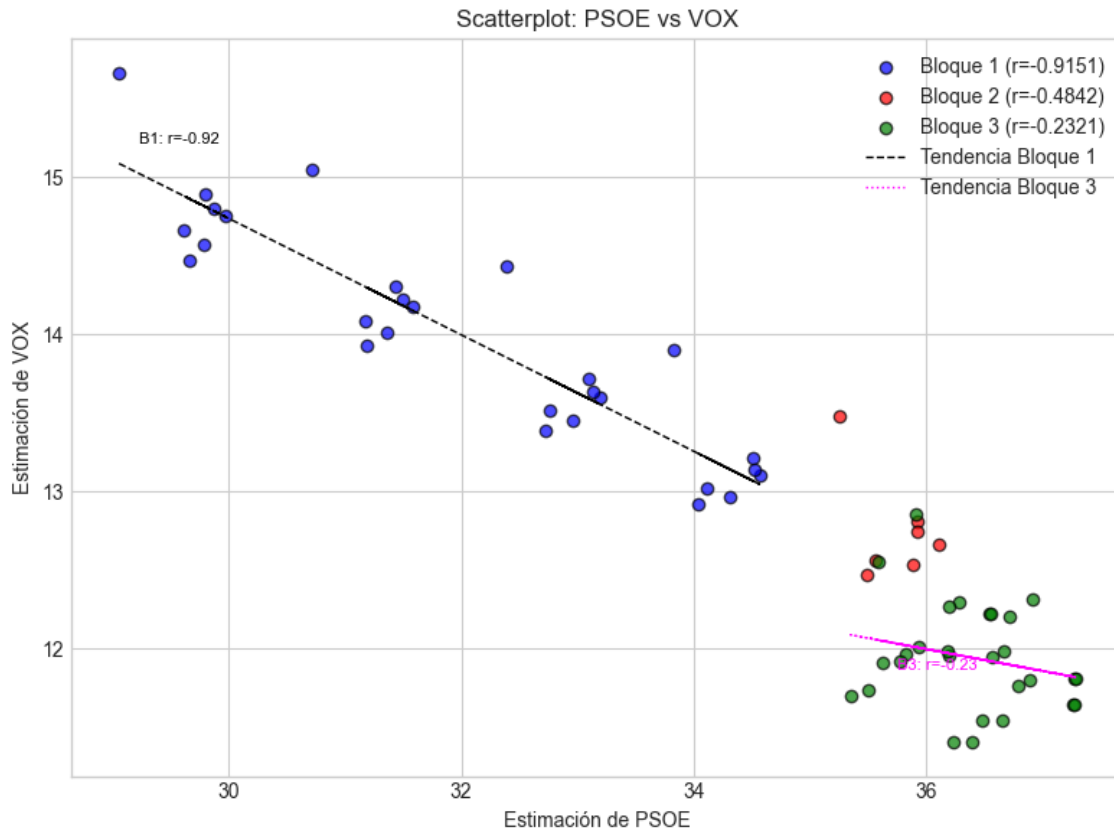
Indicador	Valor
Varianza	0.5814
Desviación estándar	0.7625
Coefficiente de Variación (CV)	0.3646
Asimetría (Skewness)	0.5647
Curtosis	-1.1003
Rango Intercuartílico (IQR)	1.2561
Desviación absoluta de la mediana (MAD)	0.2841

## Comparación entre partidos



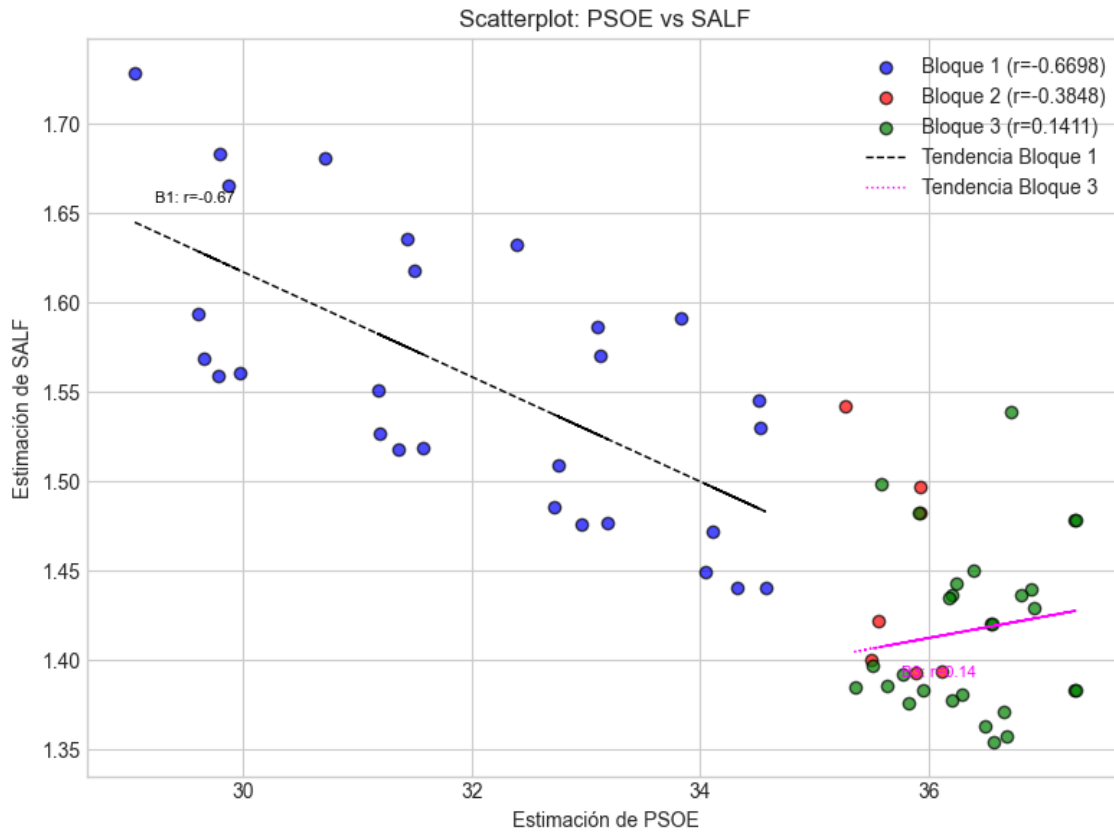
Scatterplot de PSOE vs PP con coeficientes de correlación:

- Bloque 1:  $r = -0.9767$  (Muy fuerte correlación con relación inversa)
- Bloque 2:  $r = -0.4977$  (Correlación moderada con relación inversa)
- Bloque 3:  $r = -0.3854$  (Débil correlación con relación inversa)



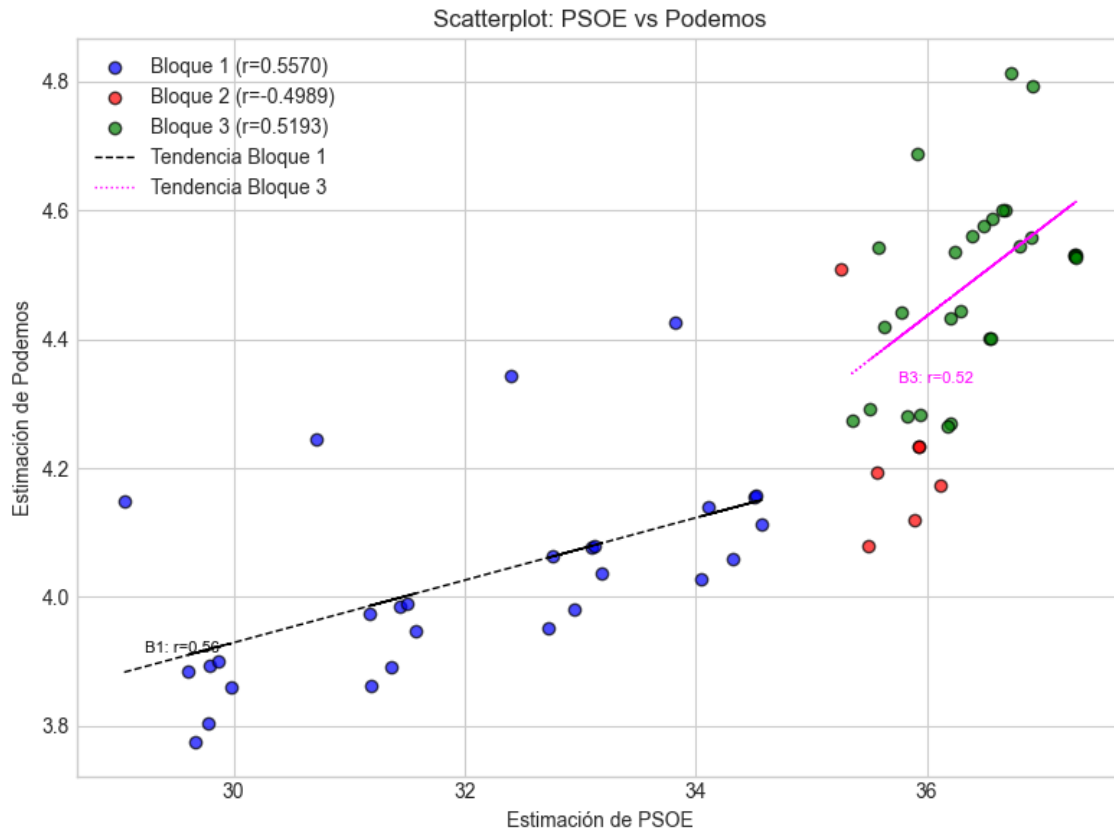
Scatterplot de PSOE vs VOX con coeficientes de correlación:

- Bloque 1:  $r = -0.9151$  (Muy fuerte correlación con relación inversa)
- Bloque 2:  $r = -0.4842$  (Correlación moderada con relación inversa)
- Bloque 3:  $r = -0.2321$  (Débil correlación con relación inversa)



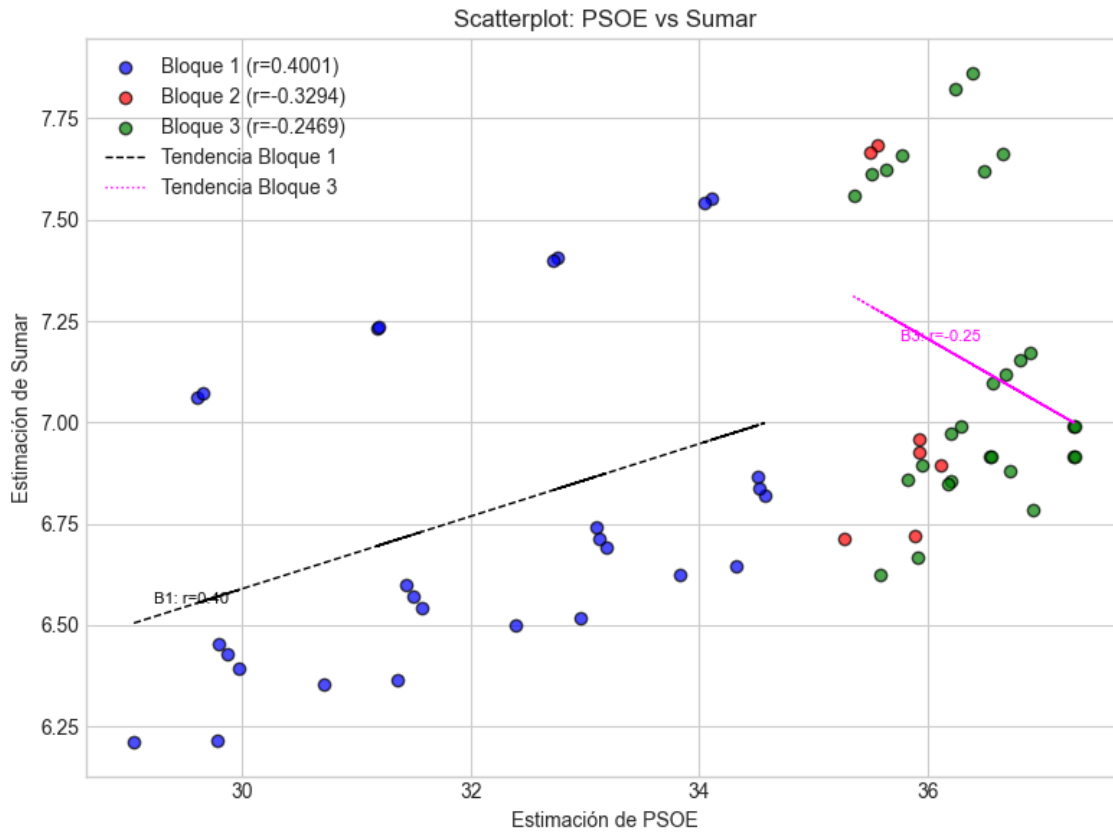
Scatterplot de PSOE vs SALF con coeficientes de correlación:

- Bloque 1:  $r = -0.6698$  (Fuerte correlación con relación inversa)
- Bloque 2:  $r = -0.3848$  (Débil correlación con relación inversa)
- Bloque 3:  $r = 0.1411$  (Muy débil o nula correlación con relación directa)



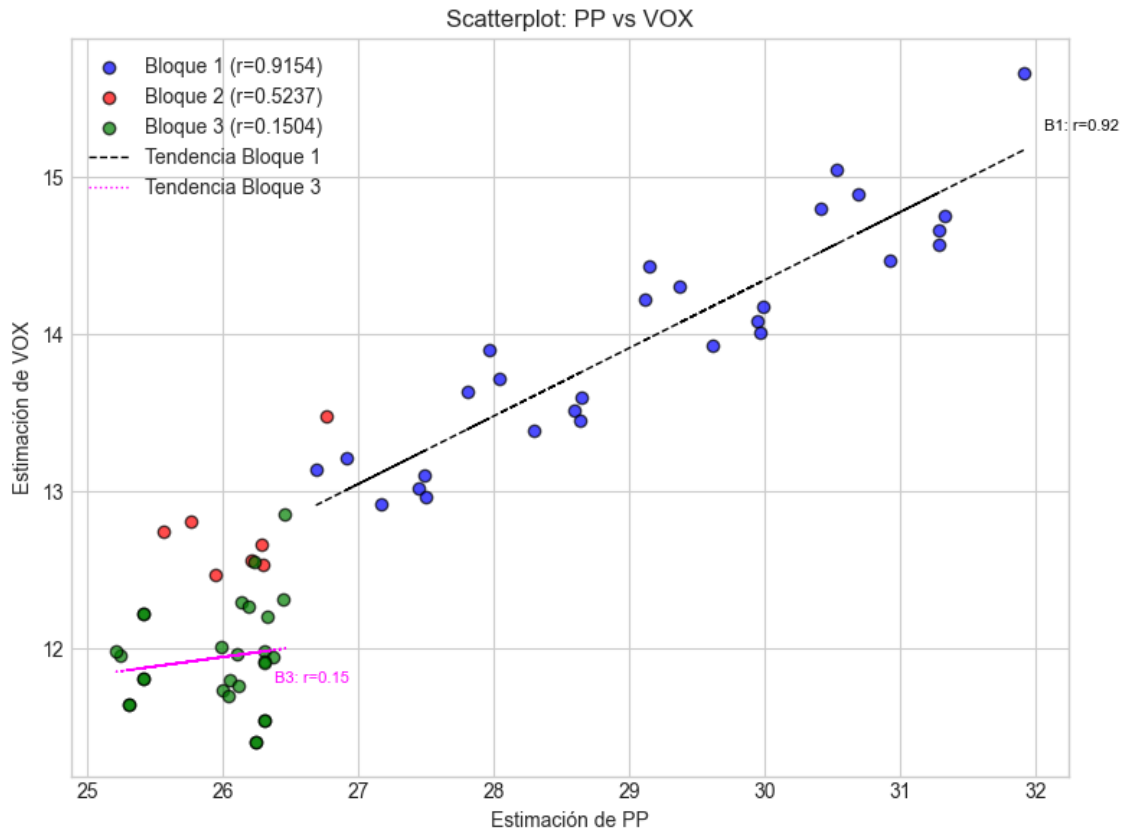
Scatterplot de PSOE vs Podemos con coeficientes de correlación:

- Bloque 1:  $r = 0.5570$  (Correlación moderada con relación directa)
- Bloque 2:  $r = -0.4989$  (Correlación moderada con relación inversa)
- Bloque 3:  $r = 0.5193$  (Correlación moderada con relación directa)



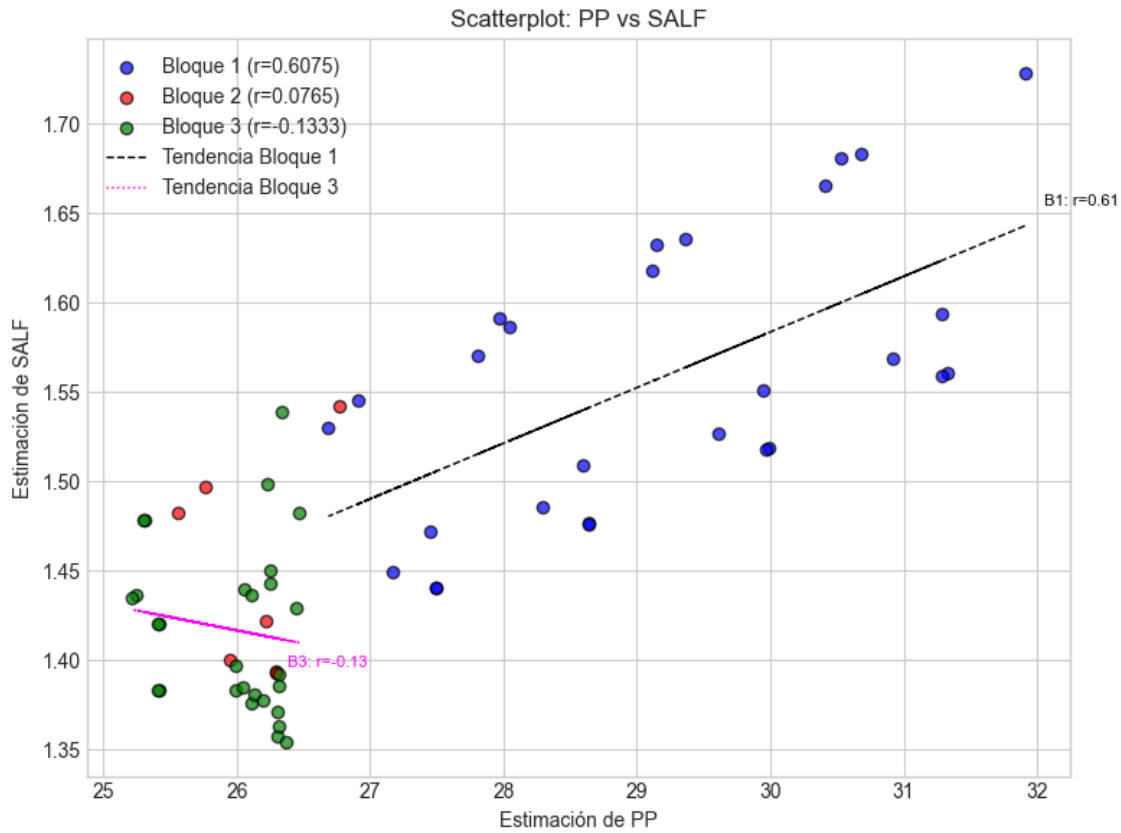
Scatterplot de PSOE vs Sumar con coeficientes de correlación:

- Bloque 1:  $r = 0.4001$  (Correlación moderada con relación directa)
- Bloque 2:  $r = -0.3294$  (Débil correlación con relación inversa)
- Bloque 3:  $r = -0.2469$  (Débil correlación con relación inversa)



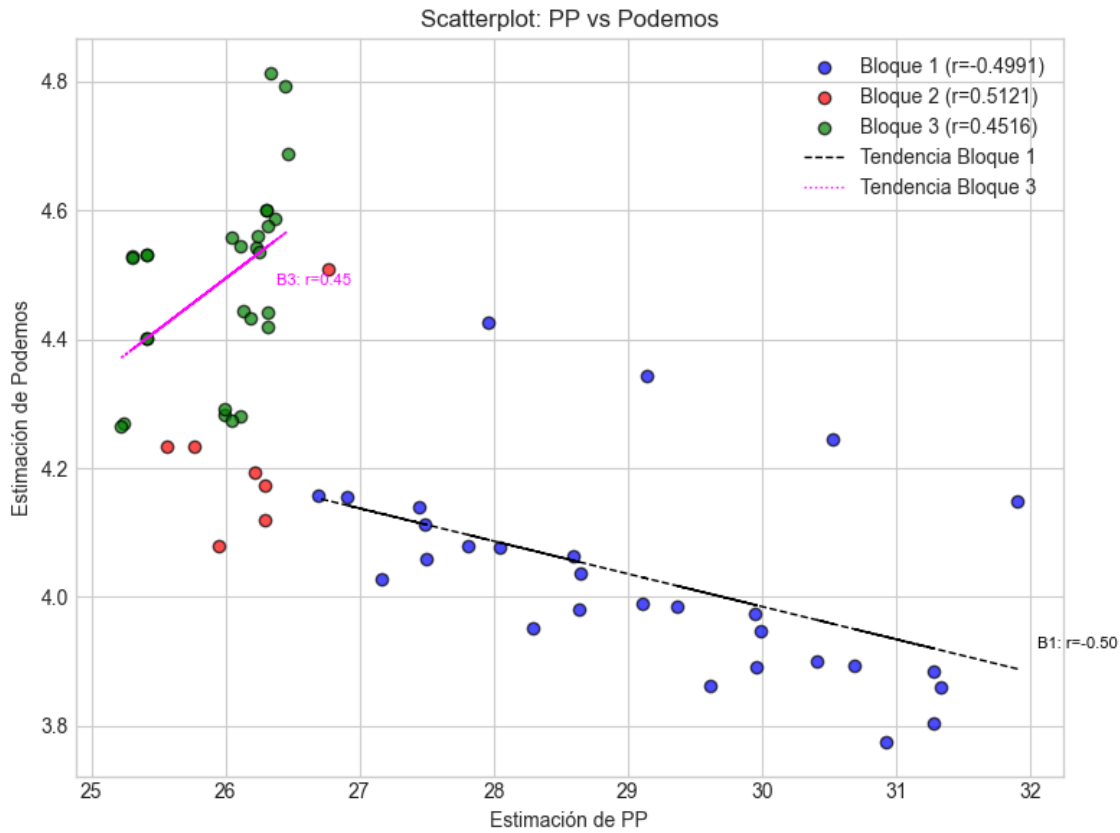
Scatterplot de PP vs VOX con coeficientes de correlación:

- Bloque 1:  $r = 0.9154$  (Muy fuerte correlación con relación directa)
- Bloque 2:  $r = 0.5237$  (Correlación moderada con relación directa)
- Bloque 3:  $r = 0.1504$  (Muy débil o nula correlación con relación directa)



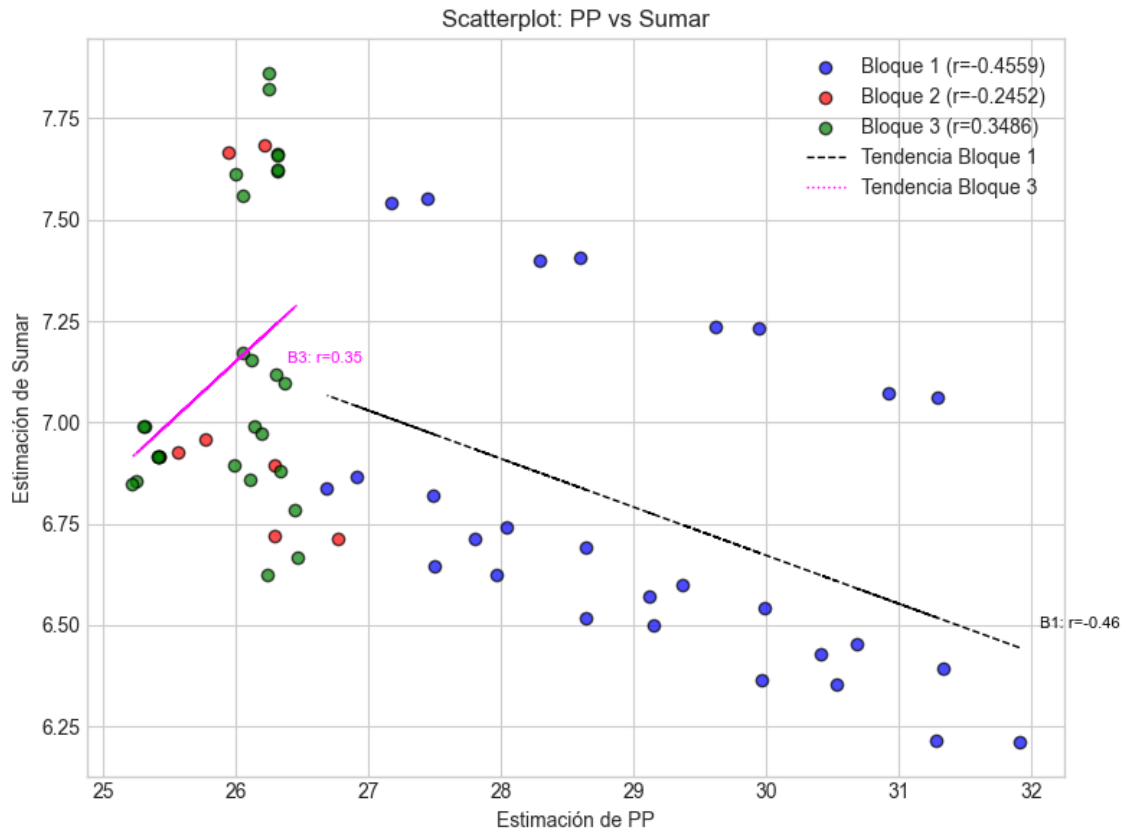
Scatterplot de PP vs SALF con coeficientes de correlación:

- Bloque 1:  $r = 0.6075$  (Fuerte correlación con relación directa)
- Bloque 2:  $r = 0.0765$  (Muy débil o nula correlación con relación directa)
- Bloque 3:  $r = -0.1333$  (Muy débil o nula correlación con relación inversa)



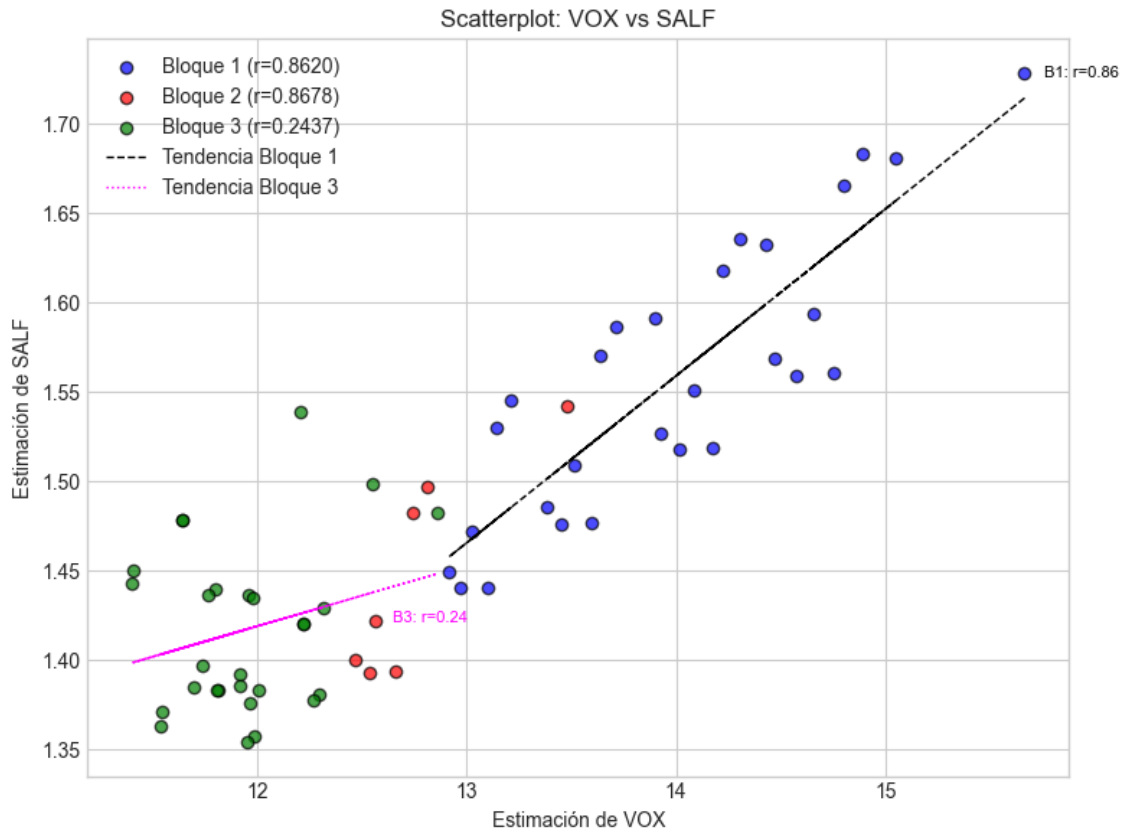
Scatterplot de PP vs Podemos con coeficientes de correlación:

- Bloque 1:  $r = -0.4991$  (Correlación moderada con relación inversa)
- Bloque 2:  $r = 0.5121$  (Correlación moderada con relación directa)
- Bloque 3:  $r = 0.4516$  (Correlación moderada con relación directa)



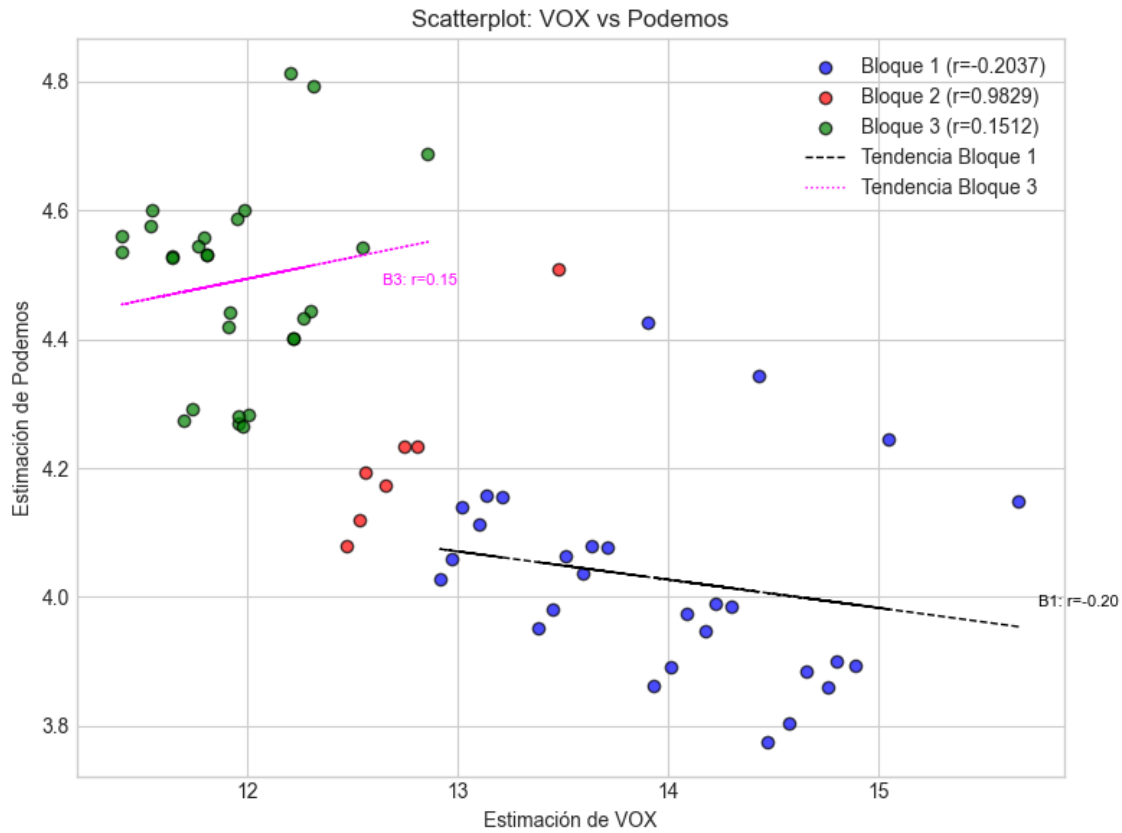
Scatterplot de PP vs Sumar con coeficientes de correlación:

- Bloque 1:  $r = -0.4559$  (Correlación moderada con relación inversa)
- Bloque 2:  $r = -0.2452$  (Débil correlación con relación inversa)
- Bloque 3:  $r = 0.3486$  (Débil correlación con relación directa)



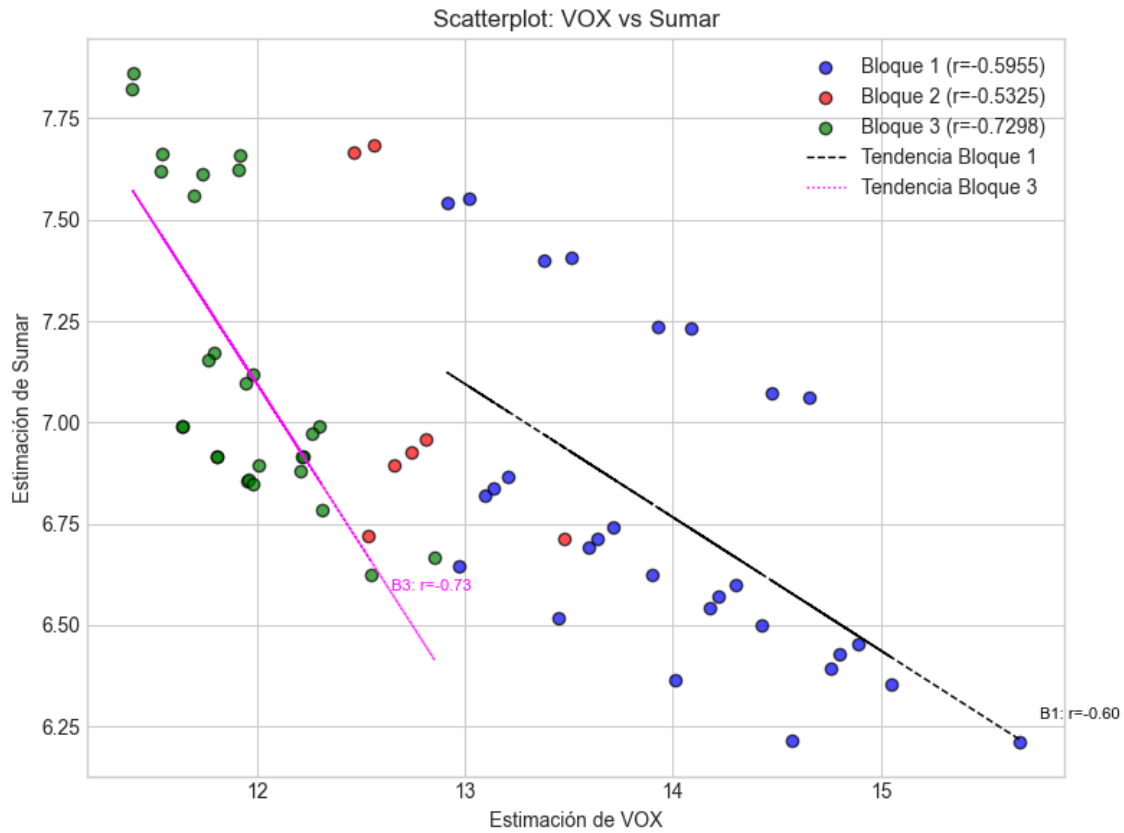
Scatterplot de VOX vs SALF con coeficientes de correlación:

- Bloque 1:  $r = 0.8620$  (Muy fuerte correlación con relación directa)
- Bloque 2:  $r = 0.8678$  (Muy fuerte correlación con relación directa)
- Bloque 3:  $r = 0.2437$  (Débil correlación con relación directa)



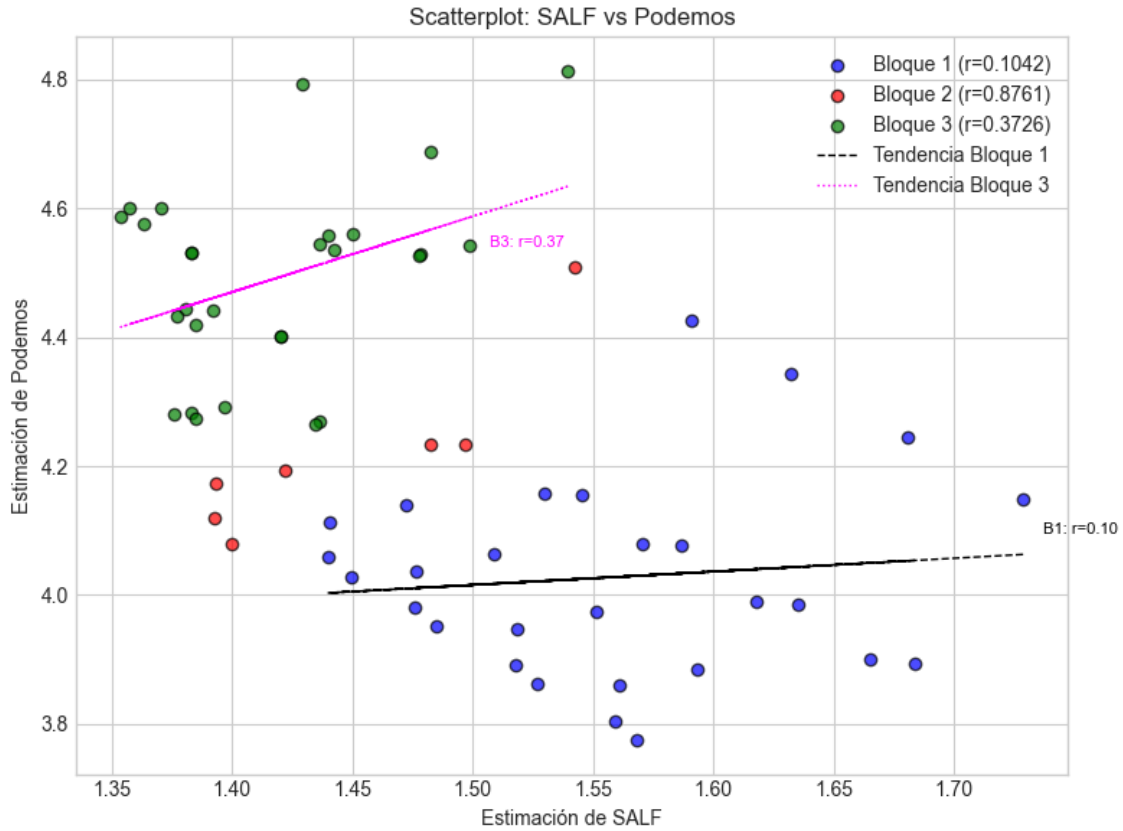
Scatterplot de VOX vs Podemos con coeficientes de correlación:

- Bloque 1:  $r = -0.2037$  (Débil correlación con relación inversa)
- Bloque 2:  $r = 0.9829$  (Muy fuerte correlación con relación directa)
- Bloque 3:  $r = 0.1512$  (Muy débil o nula correlación con relación directa)



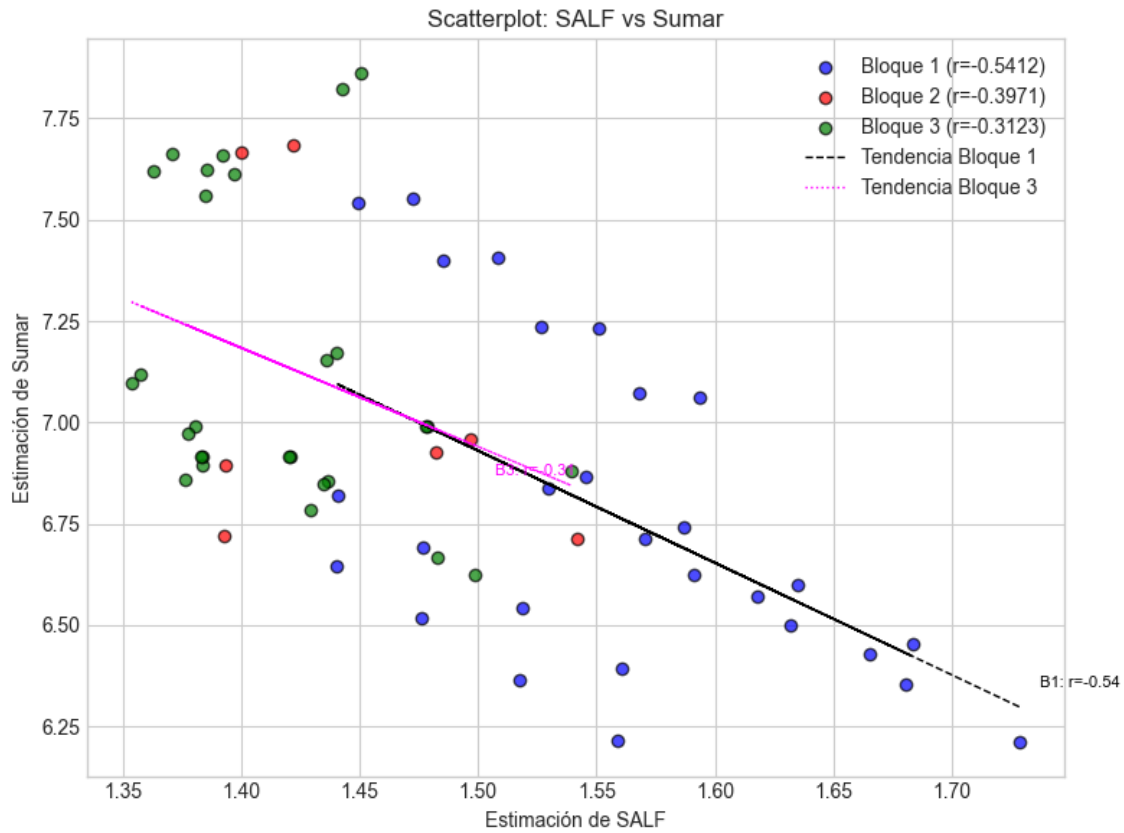
Scatterplot de VOX vs Sumar con coeficientes de correlación:

- Bloque 1:  $r = -0.5955$  (Correlación moderada con relación inversa)
- Bloque 2:  $r = -0.5325$  (Correlación moderada con relación inversa)
- Bloque 3:  $r = -0.7298$  (Fuerte correlación con relación inversa)



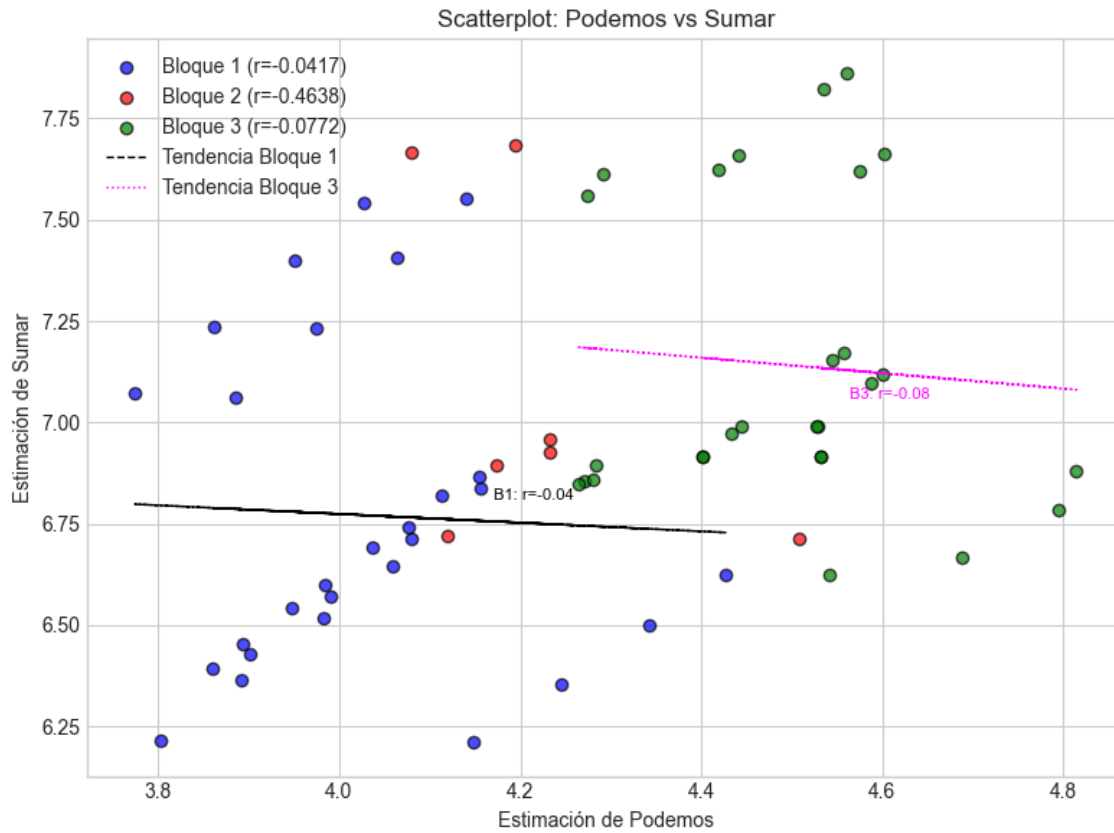
Scatterplot de SALF vs Podemos con coeficientes de correlación:

- Bloque 1:  $r = 0.1042$  (Muy débil o nula correlación con relación directa)
- Bloque 2:  $r = 0.8761$  (Muy fuerte correlación con relación directa)
- Bloque 3:  $r = 0.3726$  (Débil correlación con relación directa)



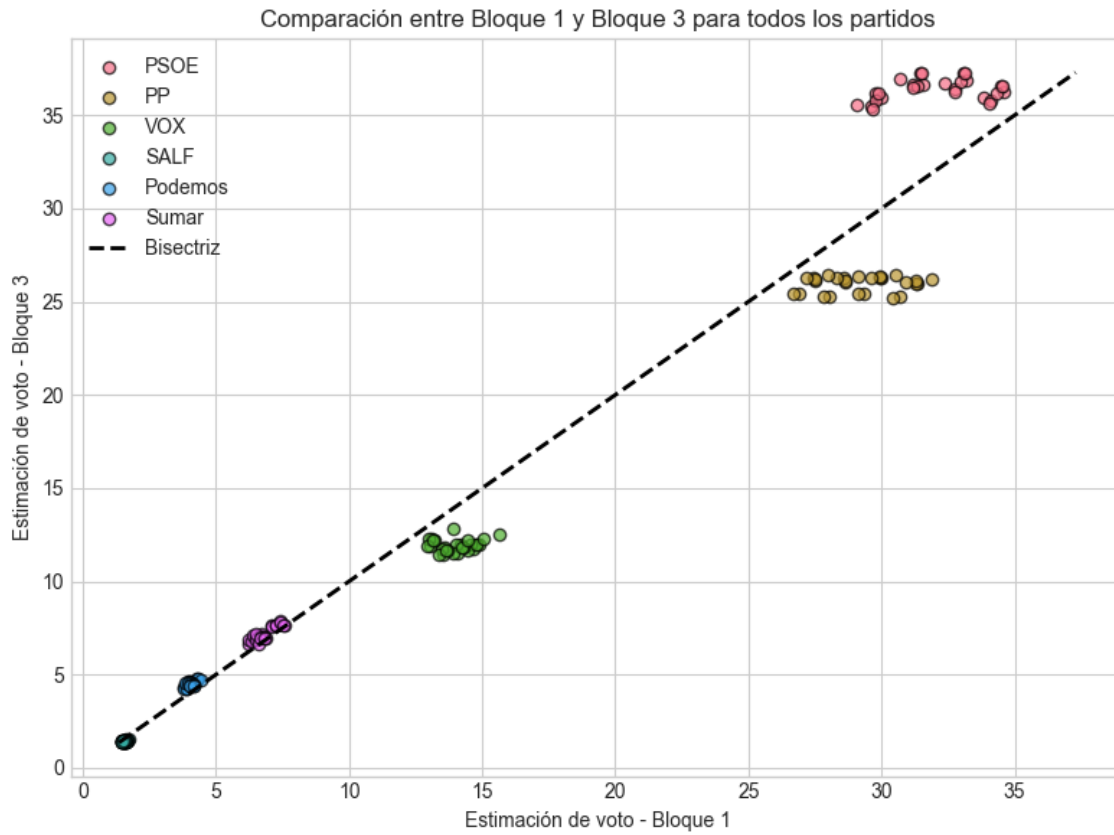
Scatterplot de SALF vs Sumar con coeficientes de correlación:

- Bloque 1:  $r = -0.5412$  (Correlación moderada con relación inversa)
- Bloque 2:  $r = -0.3971$  (Débil correlación con relación inversa)
- Bloque 3:  $r = -0.3123$  (Débil correlación con relación inversa)



Scatterplot de Podemos vs Sumar con coeficientes de correlación:

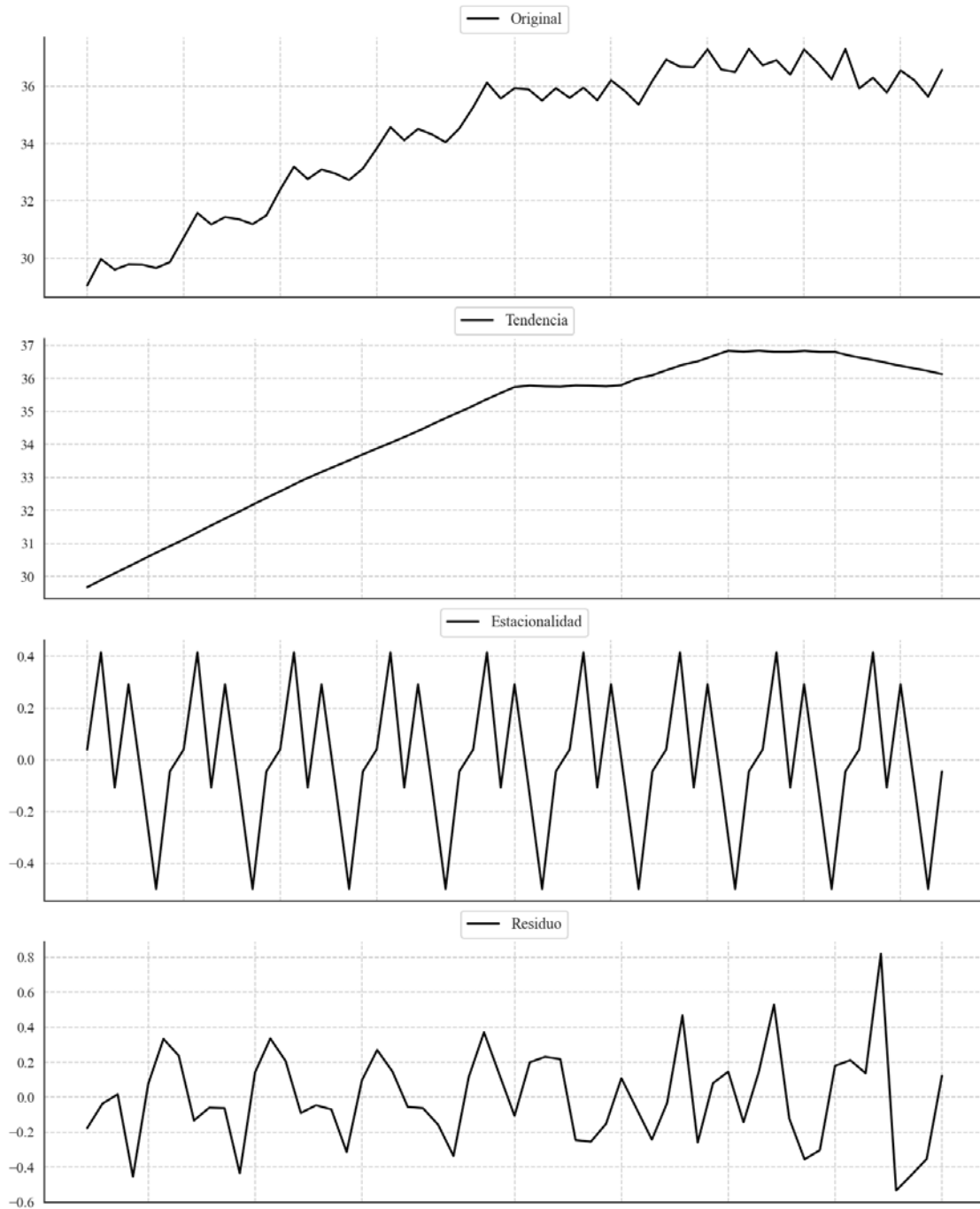
- Bloque 1:  $r = -0.0417$  (Muy débil o nula correlación con relación inversa)
- Bloque 2:  $r = -0.4638$  (Correlación moderada con relación inversa)
- Bloque 3:  $r = -0.0772$  (Muy débil o nula correlación con relación inversa)

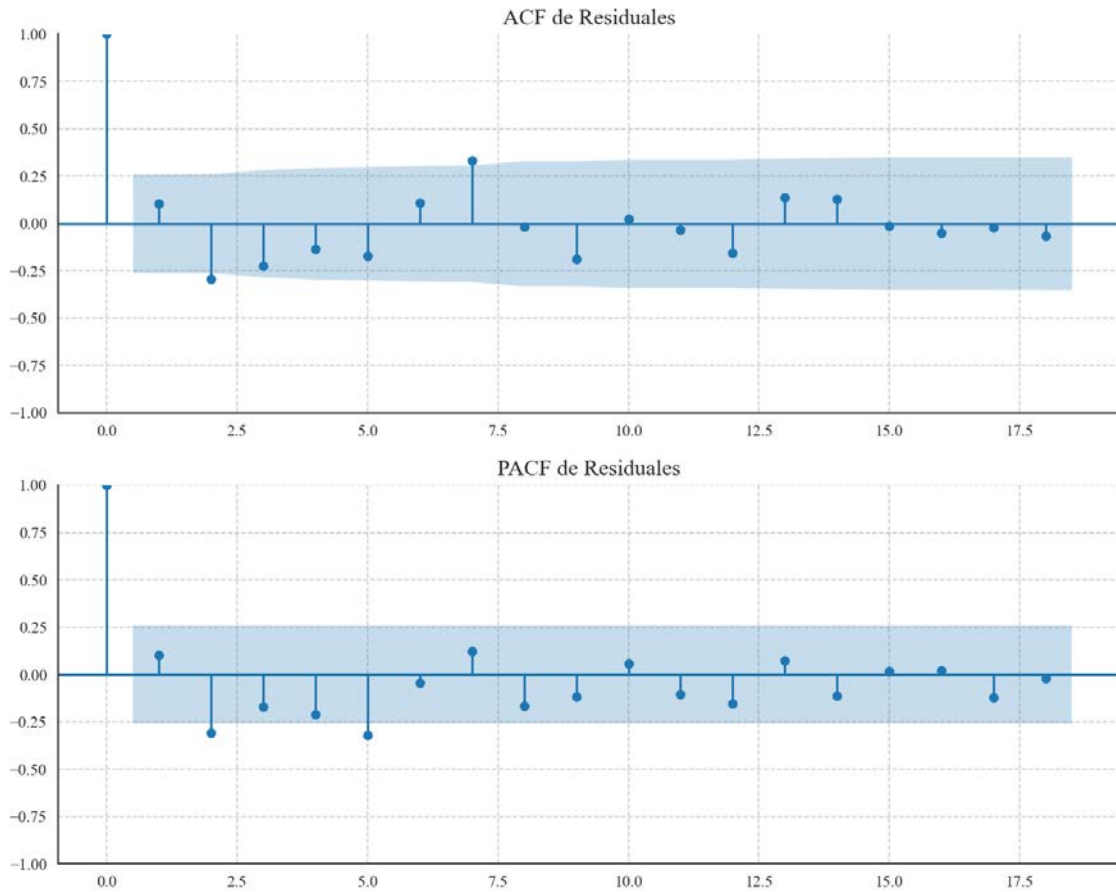


Scatterplot comparativo: Bloque 1 vs Bloque 3 para todos los partidos

### 3. Análisis de los componentes de inercia e incertidumbre

#### Gráficos para PSOE





### Análisis de Aleatoriedad del Error para PSOE

Estadística de Durbin-Watson: 1.7802

Prueba de Ljung-Box:

Estadísticos: 22.9148, p-valor: 0.0111

Prueba de Shapiro-Wilk: Estadístico=0.9802, p-valor=0.4729

Prueba de Dickey-Fuller aumentada: p-valor=0.0000

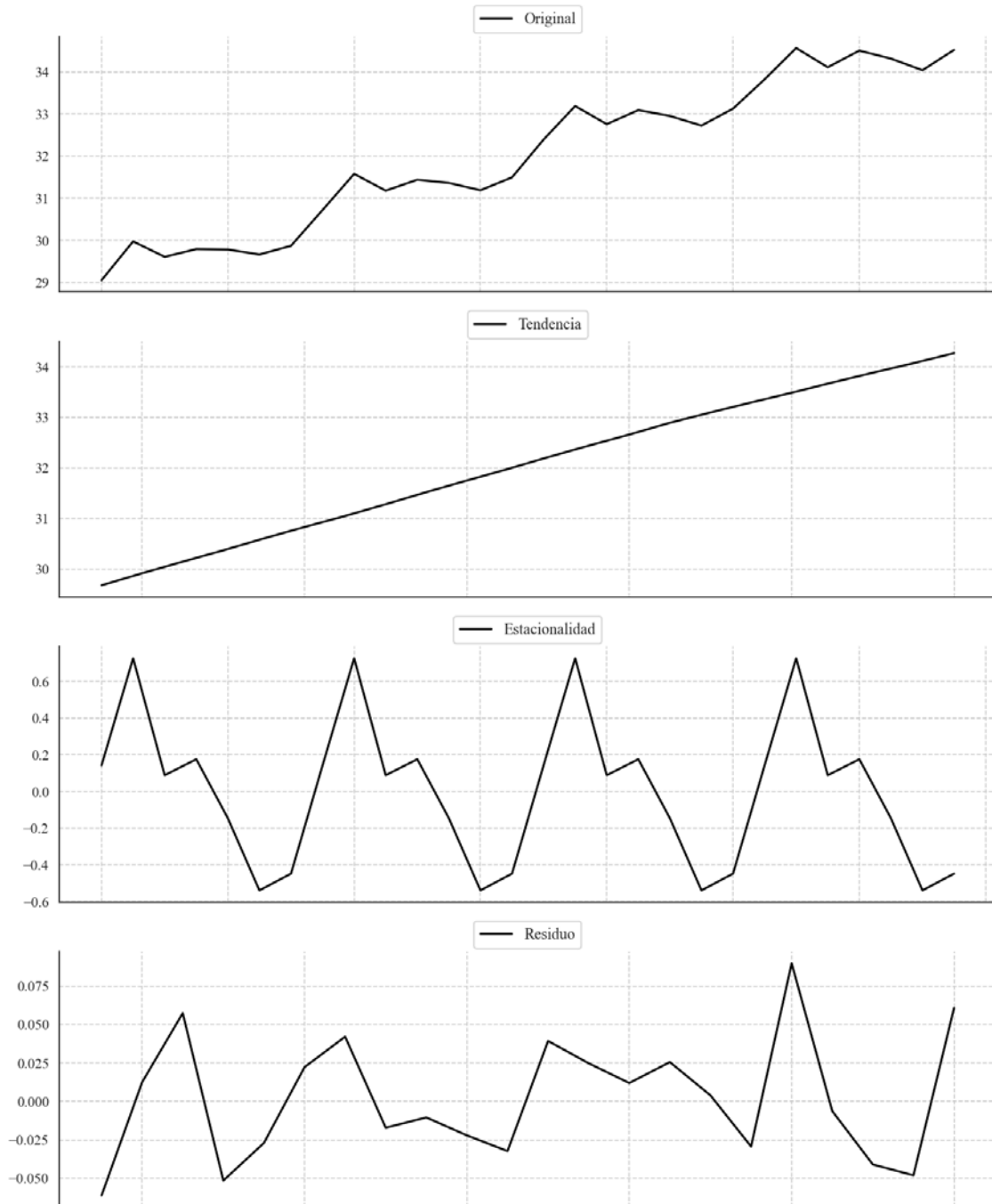
Estacionariedad: Estacionario

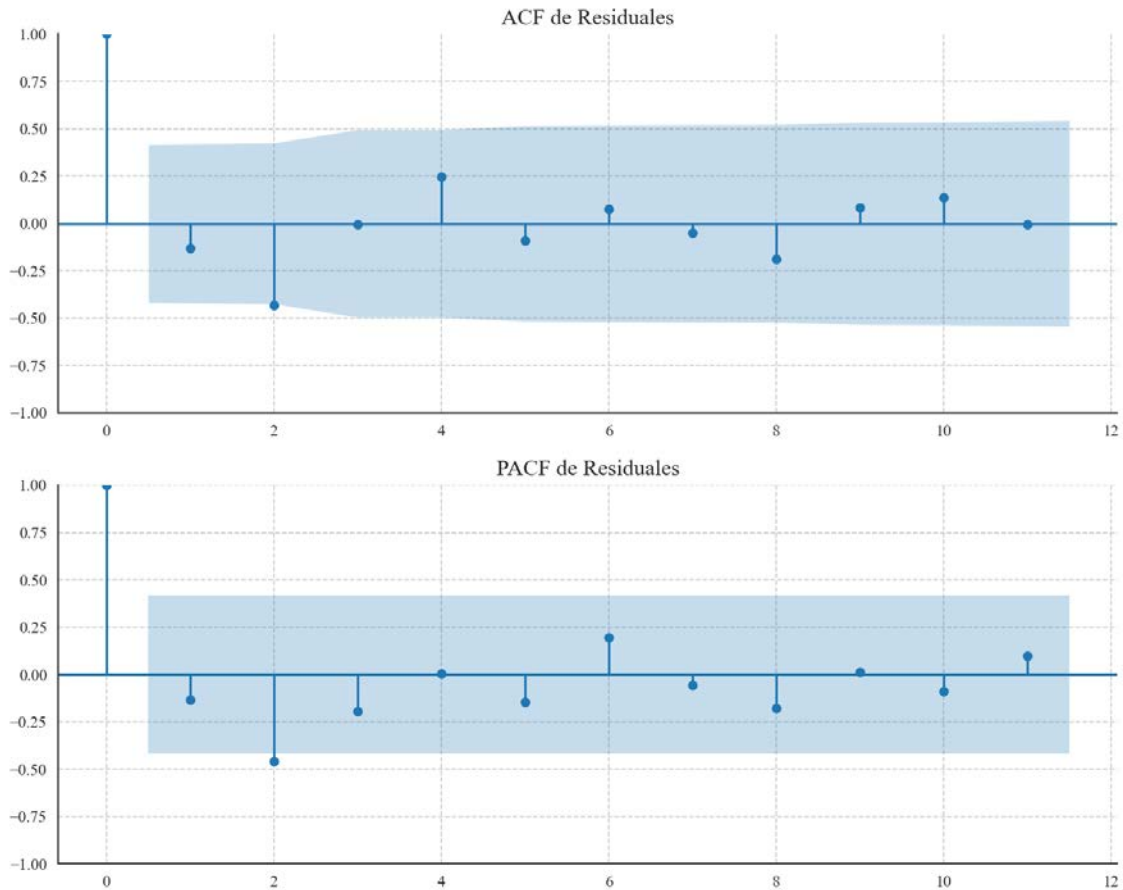
Se detectó heterocedasticidad en los residuos (Prueba de Breusch-Pagan significativa).

Los residuales no son aleatorios.

## Análisis de la Dinámica de Inercia Pasada para PSOE

### Gráficos para PSOE\_pasado





### Análisis de Aleatoriedad del Error para PSOE\_pasado

Estadística de Durbin-Watson: 2.0438

Prueba de Ljung-Box:

Estadísticos: 10.2346, p-valor: 0.4202

Prueba de Shapiro-Wilk: Estadístico=0.9727, p-valor=0.7725

Prueba de Dickey-Fuller aumentada: p-valor=0.0000

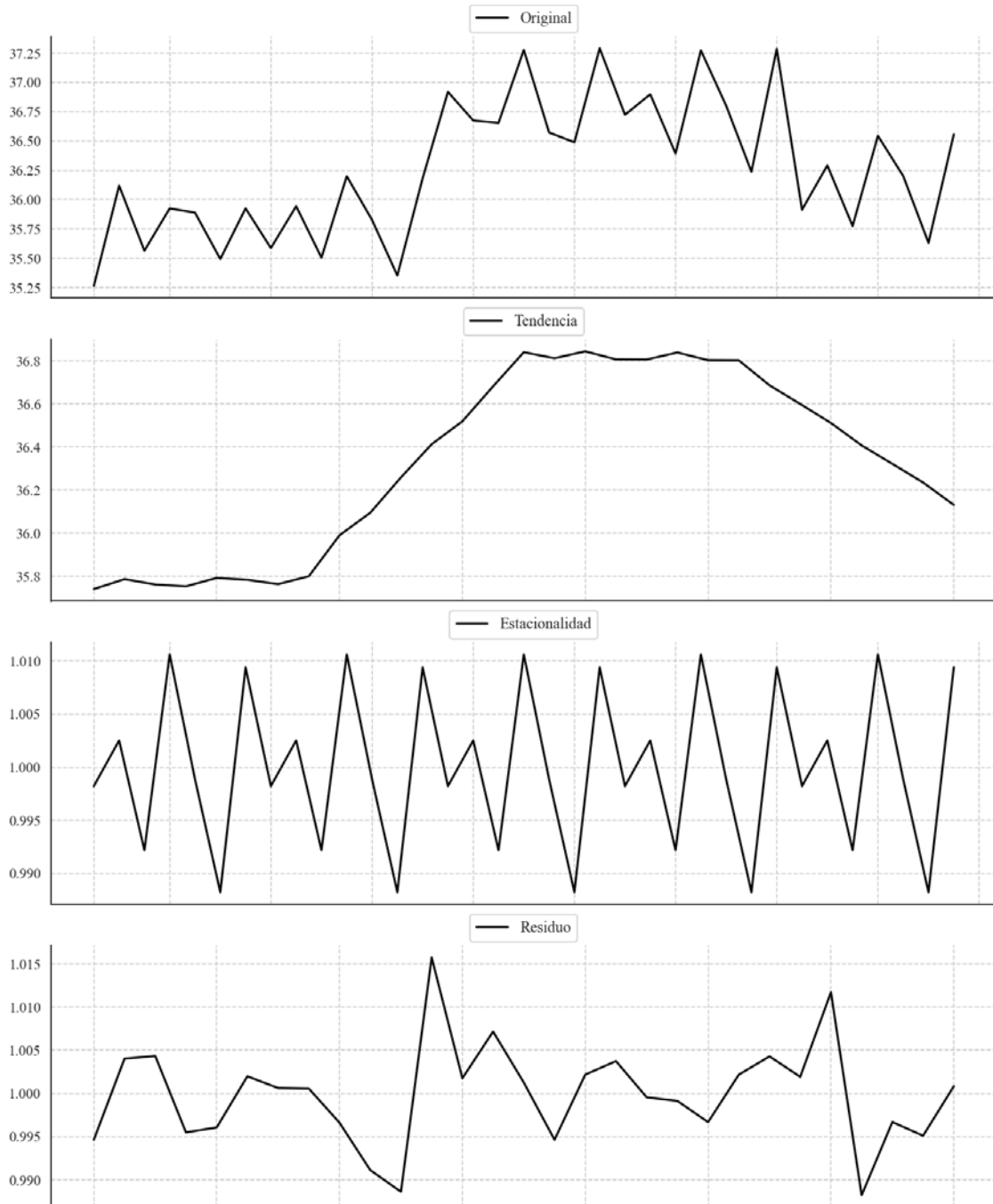
Estacionariedad: Estacionario

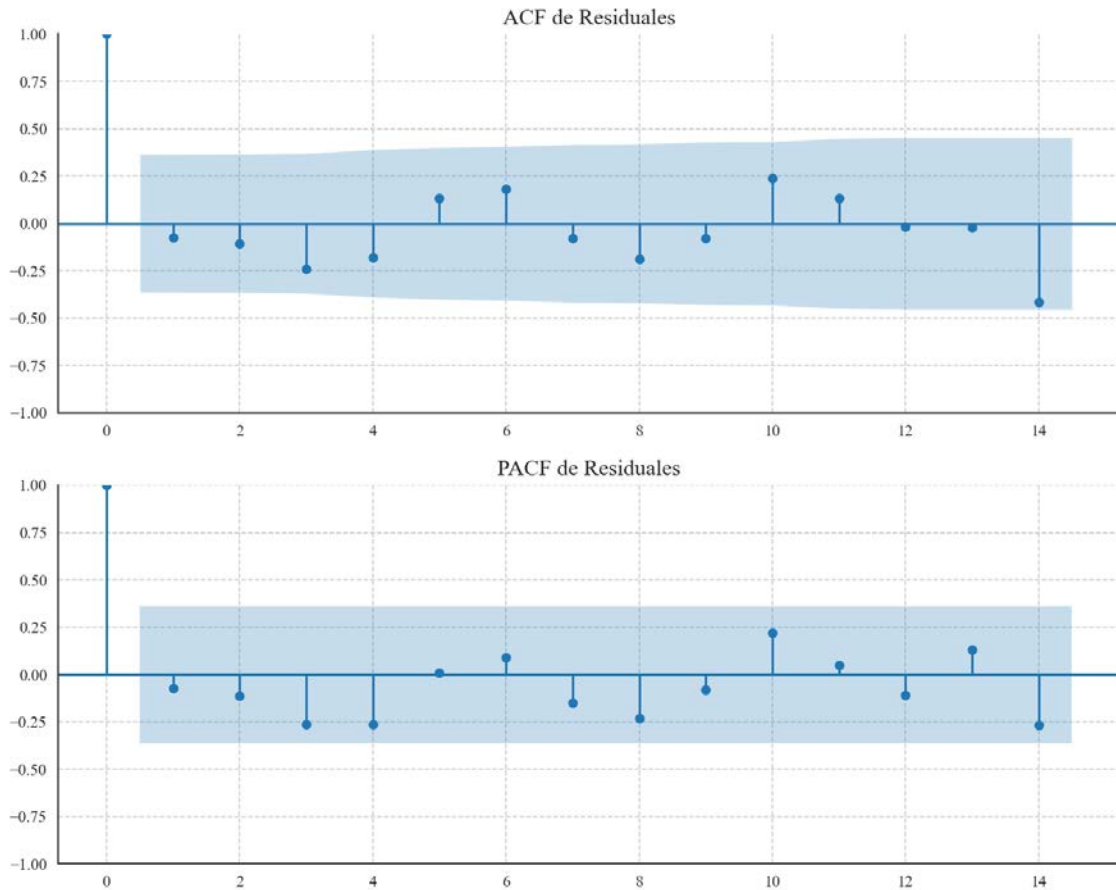
No se detectó heterocedasticidad significativa en los residuos.

Los residuos parecen ser aleatorios.

## Análisis de la Dinámica de Inercia Presente\_Futuro para PSOE

### Gráficos para PSOE\_futuro





### Análisis de Aleatoriedad del Error para PSOE\_futuro

Estadística de Durbin-Watson: 0.0001

Prueba de Ljung-Box:

Estadísticos: 10.4002, p-valor: 0.4061

Prueba de Shapiro-Wilk: Estadístico=0.9617, p-valor=0.3610

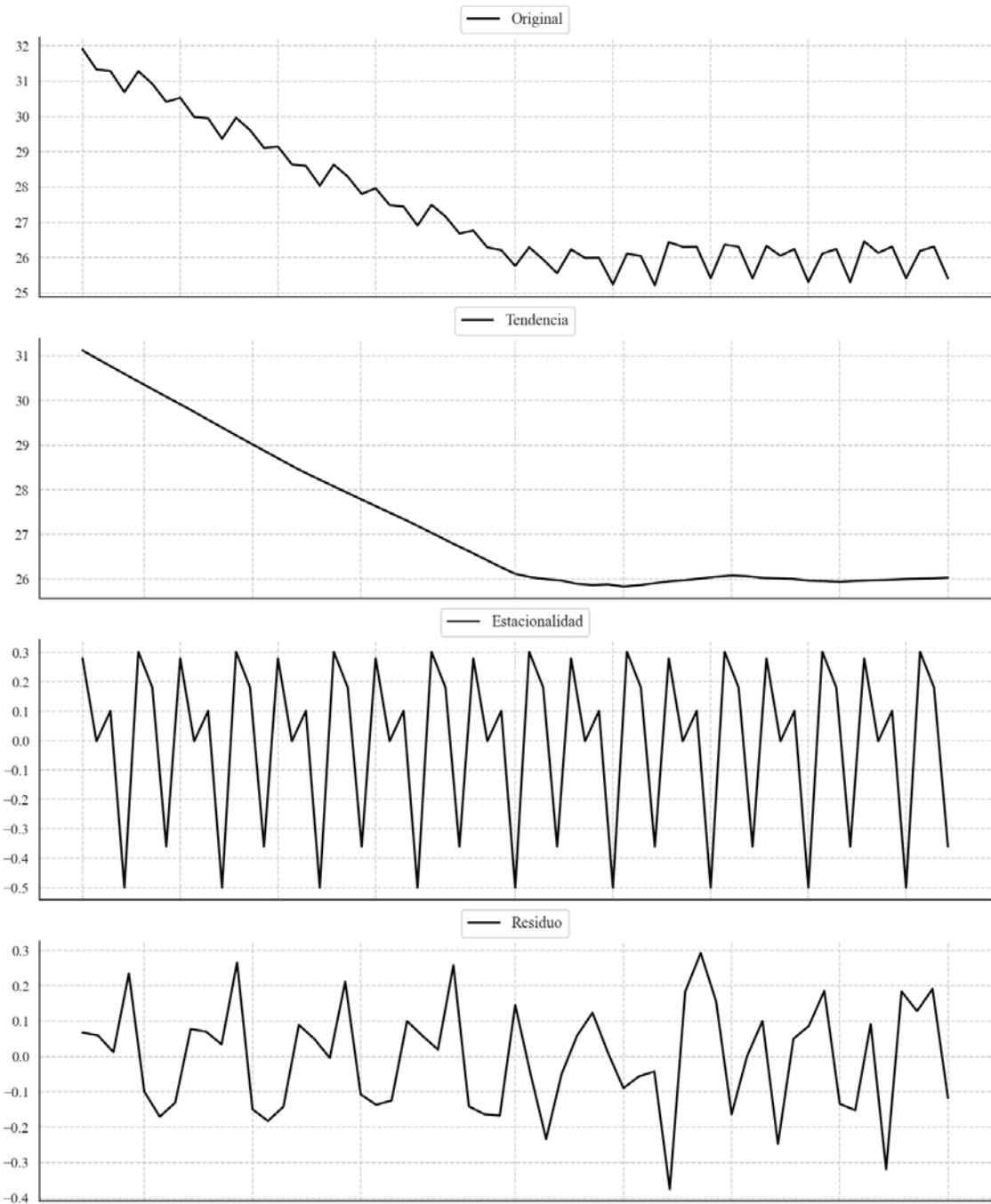
Prueba de Dickey-Fuller aumentada: p-valor=0.0000

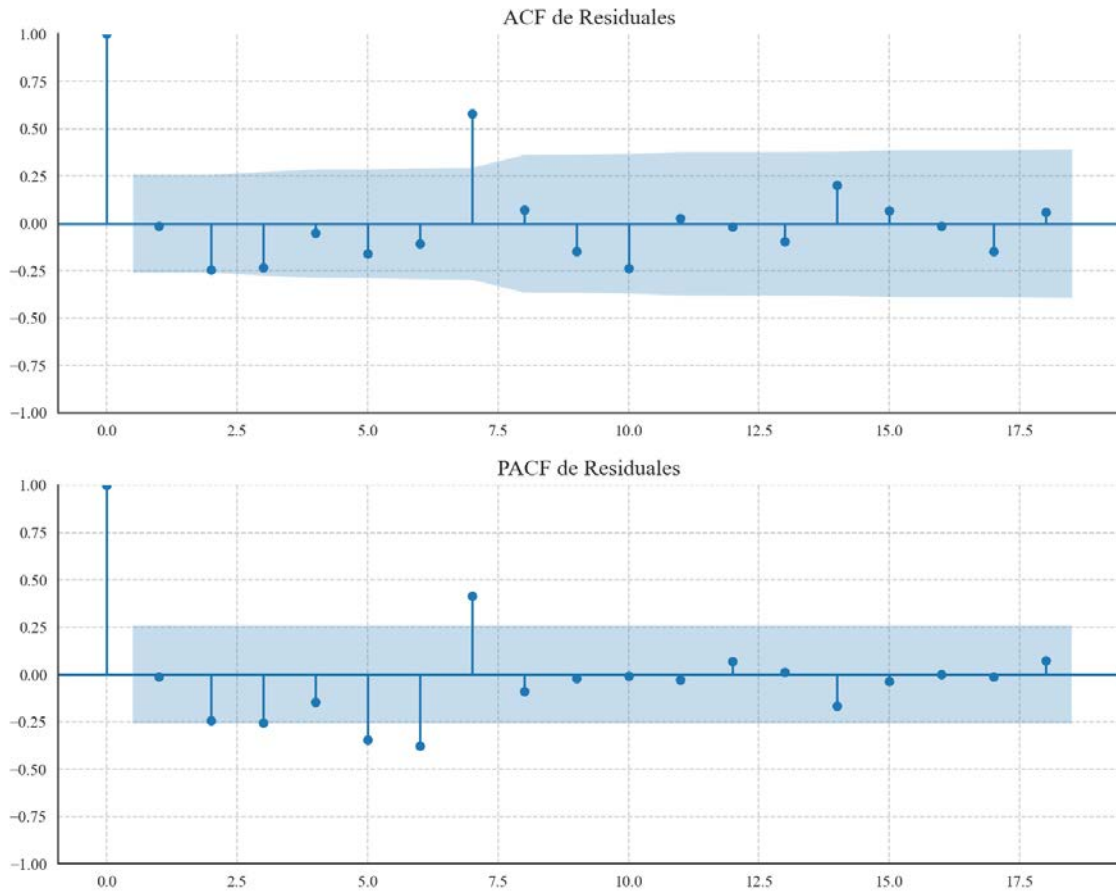
Estacionariedad: Estacionario

No se detectó heterocedasticidad significativa en los residuos.

Los residuales no son aleatorios.

### Gráficos para PP





### Análisis de Aleatoriedad del Error para PP

Estadística de Durbin-Watson: 2.0103

Prueba de Ljung-Box:

Estadísticos: 37.8871, p-valor: 0.0000

Prueba de Shapiro-Wilk: Estadístico=0.9778, p-valor=0.3745

Prueba de Dickey-Fuller aumentada: p-valor=0.0545

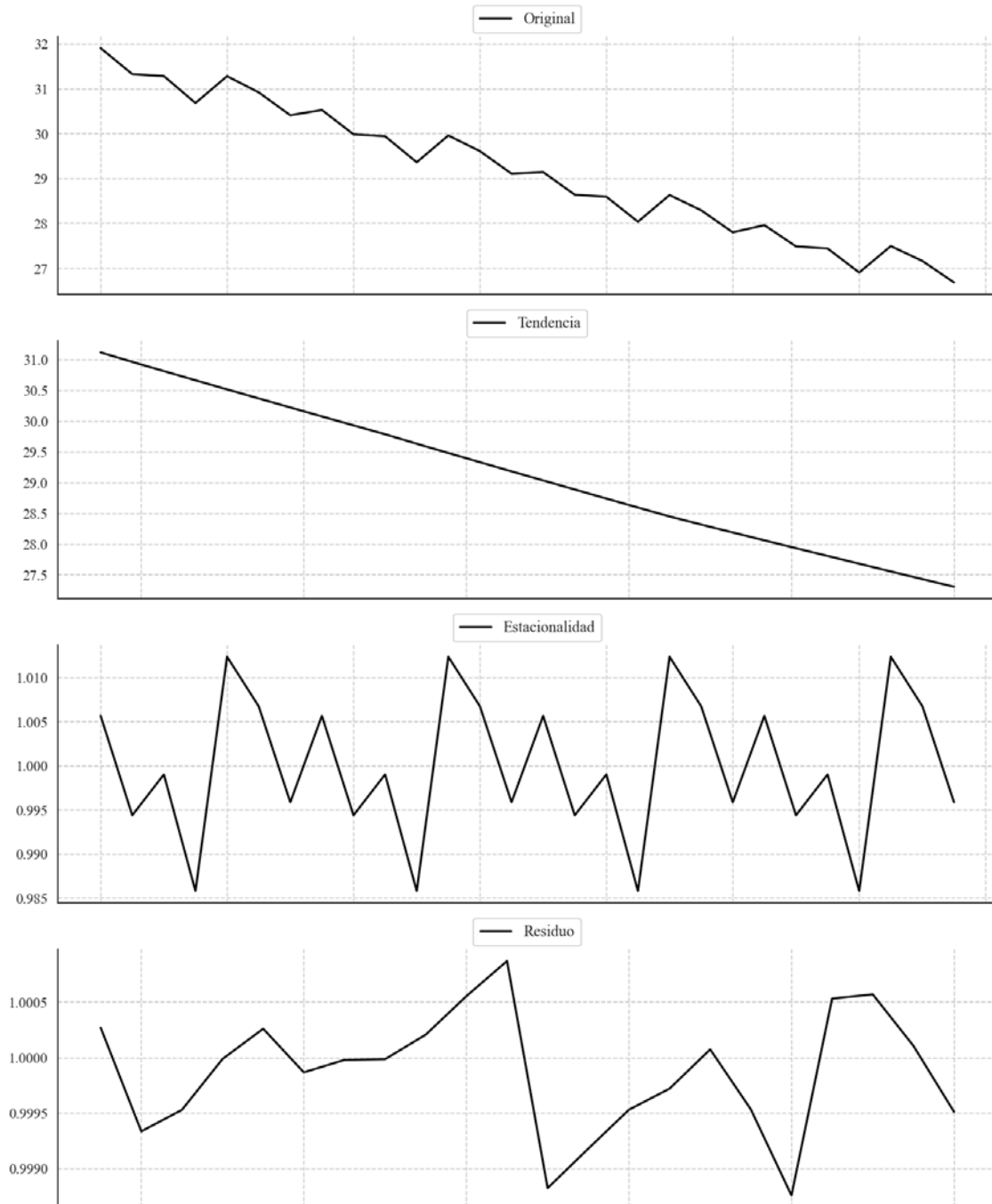
Estacionariedad: No Estacionario

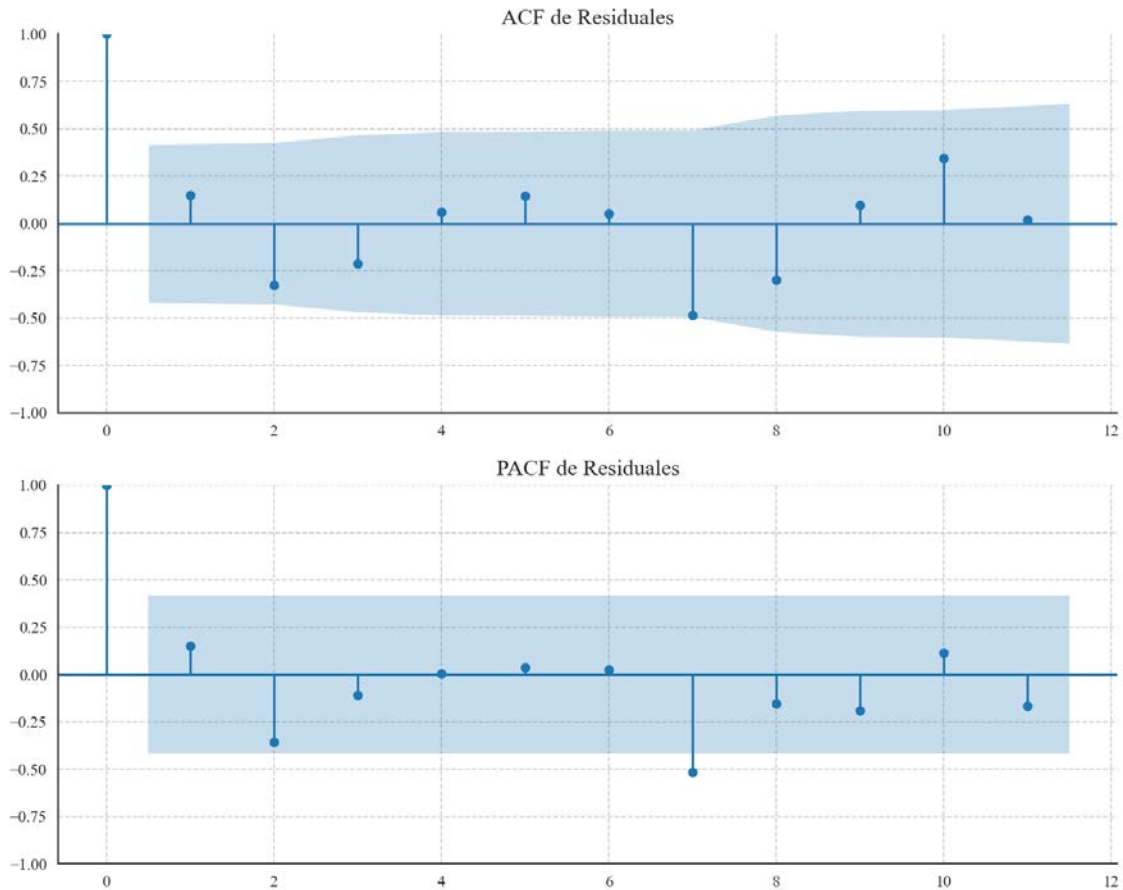
No se detectó heterocedasticidad significativa en los residuos.

Los residuales no son aleatorios.

## Análisis de la Dinámica de Inercia Pasada para PP

### Gráficos para PP\_pasado





### Análisis de Aleatoriedad del Error para PP\_pasado

Estadística de Durbin-Watson: 0.0000

Prueba de Ljung-Box:

Estadísticos: 22.6519, p-valor: 0.0121

Prueba de Shapiro-Wilk: Estadístico=0.9718, p-valor=0.7533

Prueba de Dickey-Fuller aumentada: p-valor=0.9571

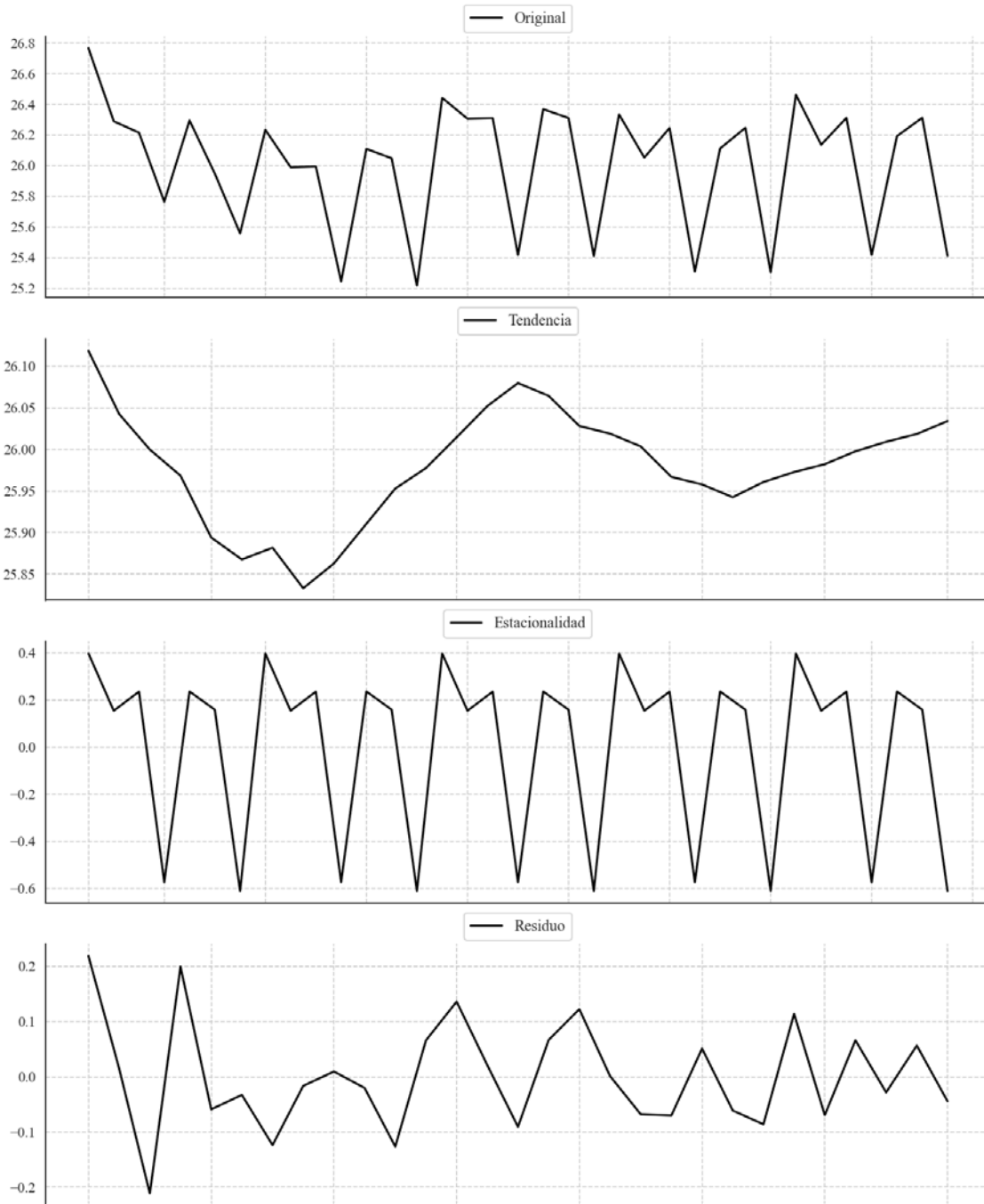
Estacionariedad: No Estacionario

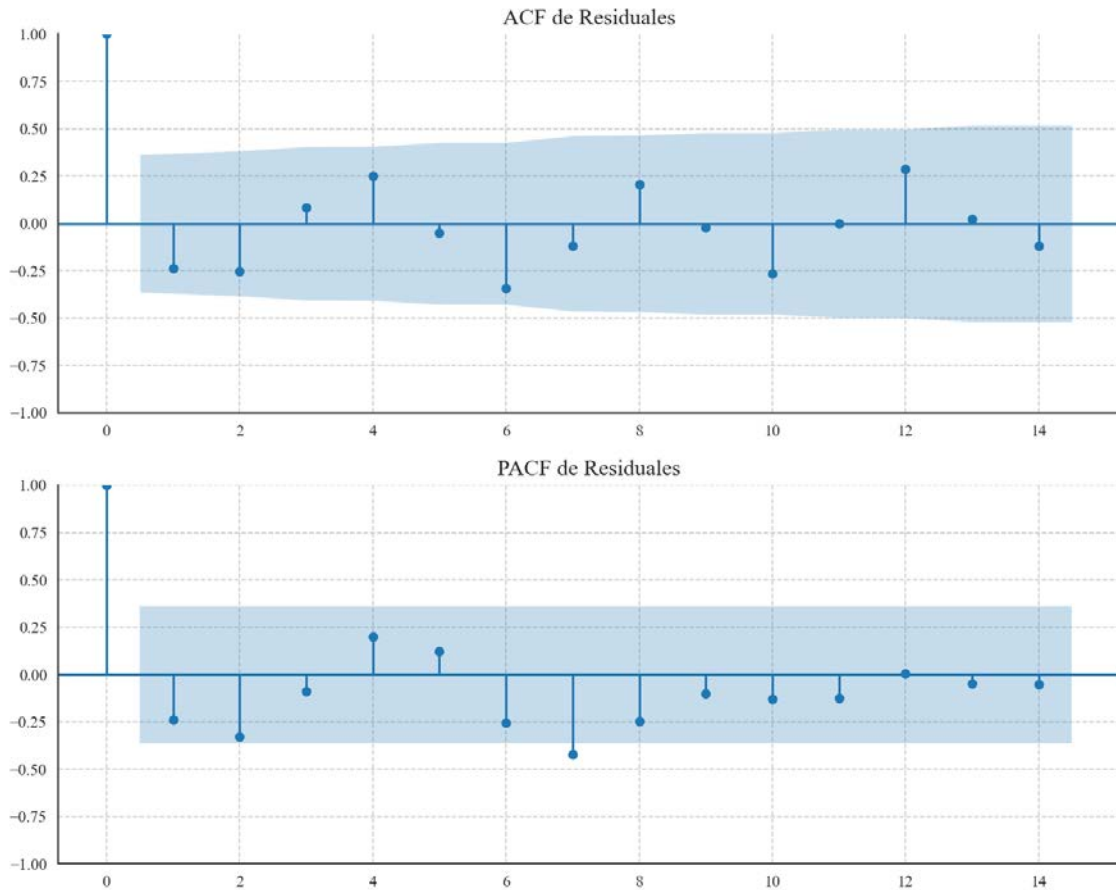
No se detectó heterocedasticidad significativa en los residuos.

Los residuales no son aleatorios.

## Análisis de la Dinámica de Inercia Presente\_Futuro para PP

### Gráficos para PP\_futuro





### Análisis de Aleatoriedad del Error para PP\_futuro

Estadística de Durbin-Watson: 2.2936

Prueba de Ljung-Box:

Estadísticos: 16.9475, p-valor: 0.0755

Prueba de Shapiro-Wilk: Estadístico=0.9782, p-valor=0.7906

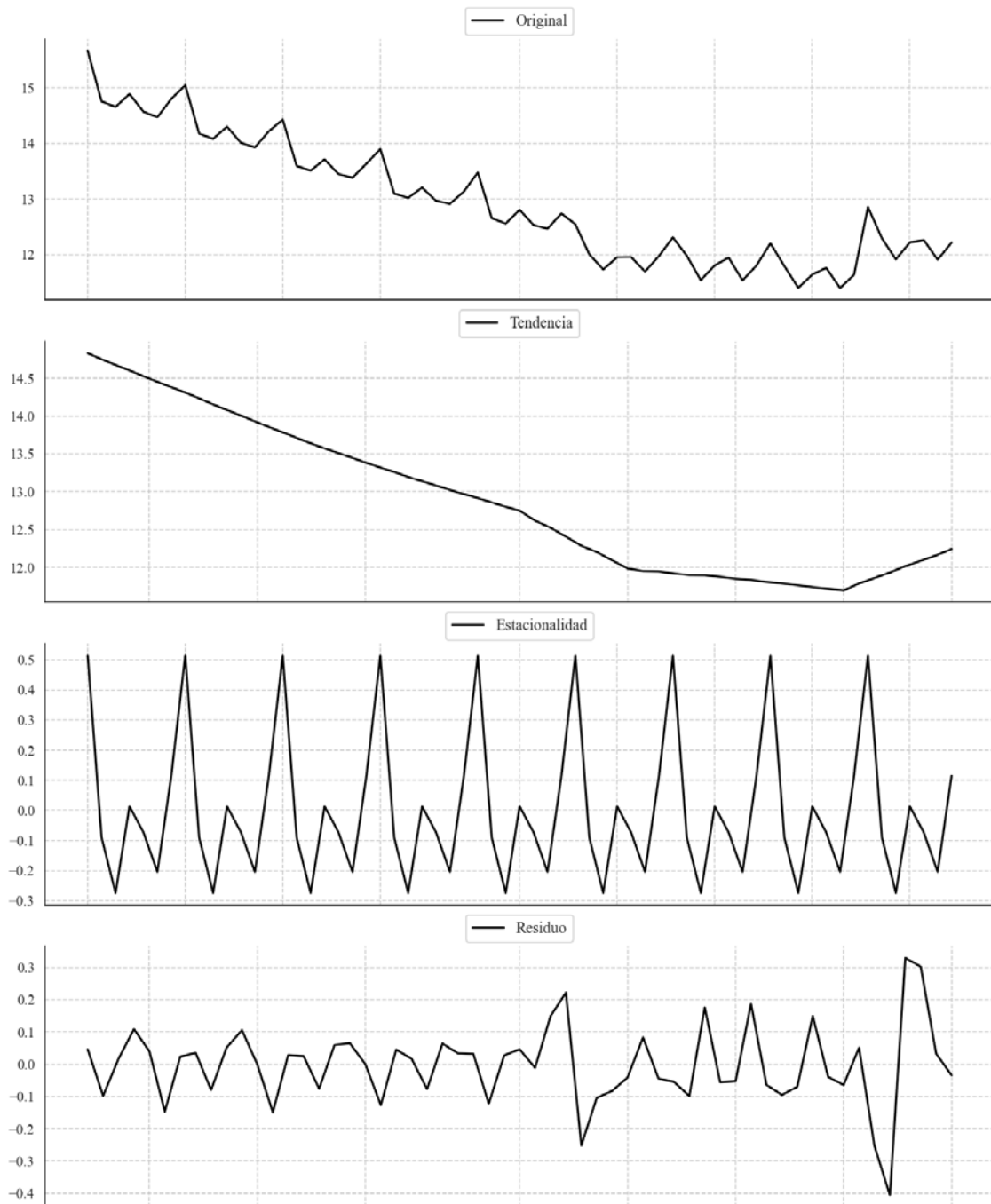
Prueba de Dickey-Fuller aumentada: p-valor=0.0203

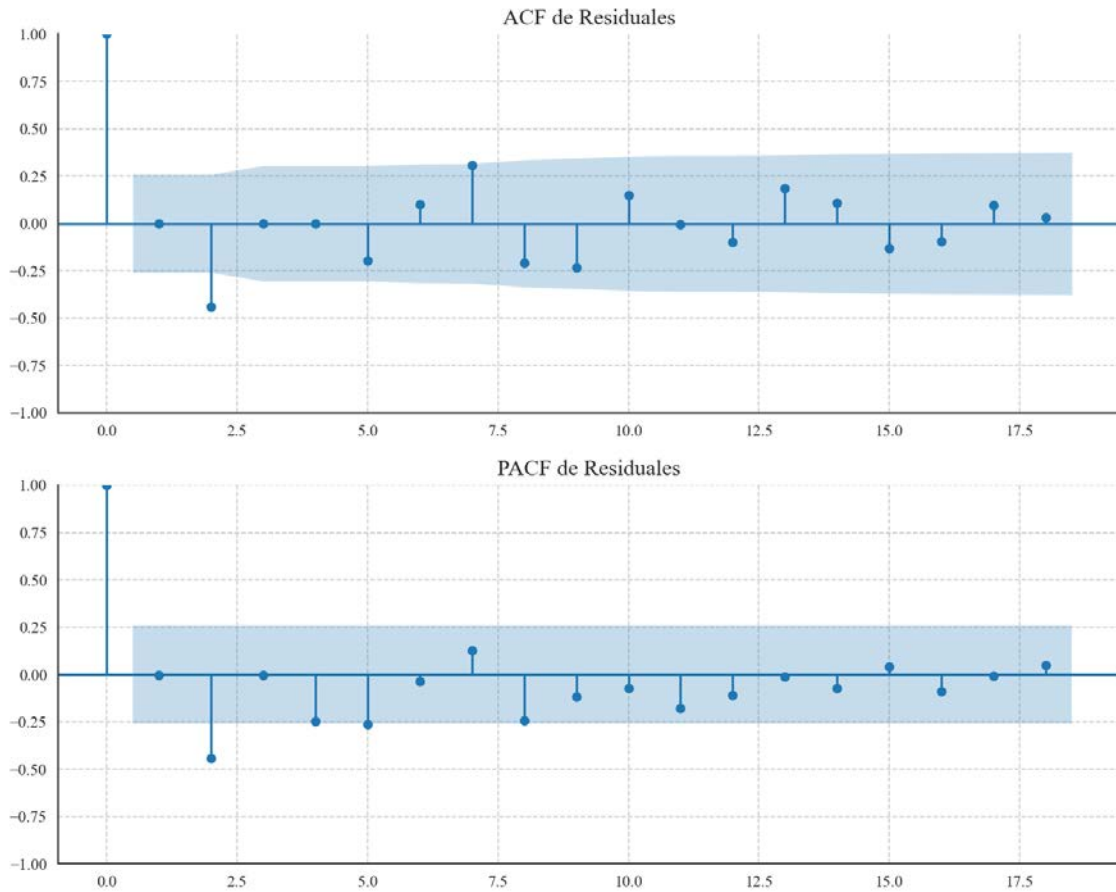
Estacionariedad: Estacionario

Se detectó heterocedasticidad en los residuos (Prueba de Breusch-Pagan significativa).

Los residuales parecen ser aleatorios.

## Gráficos para VOX





### Análisis de Aleatoriedad del Error para VOX

Estadística de Durbin-Watson: 2.0008

Prueba de Ljung-Box:

Estadísticos: 29.9995, p-valor: 0.0009

Prueba de Shapiro-Wilk: Estadístico=0.9592, p-valor=0.0522

Prueba de Dickey-Fuller aumentada: p-valor=0.0077

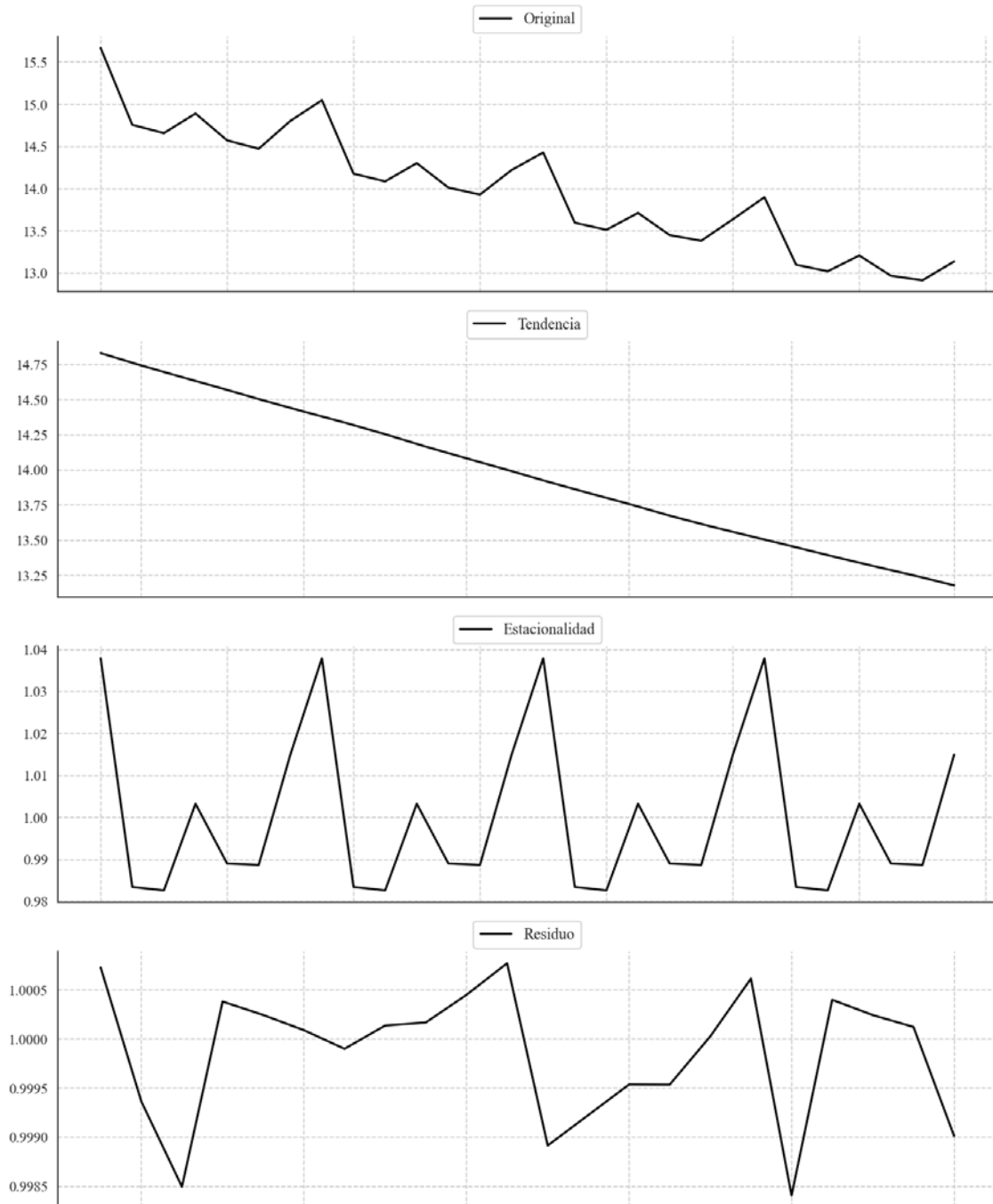
Estacionariedad: Estacionario

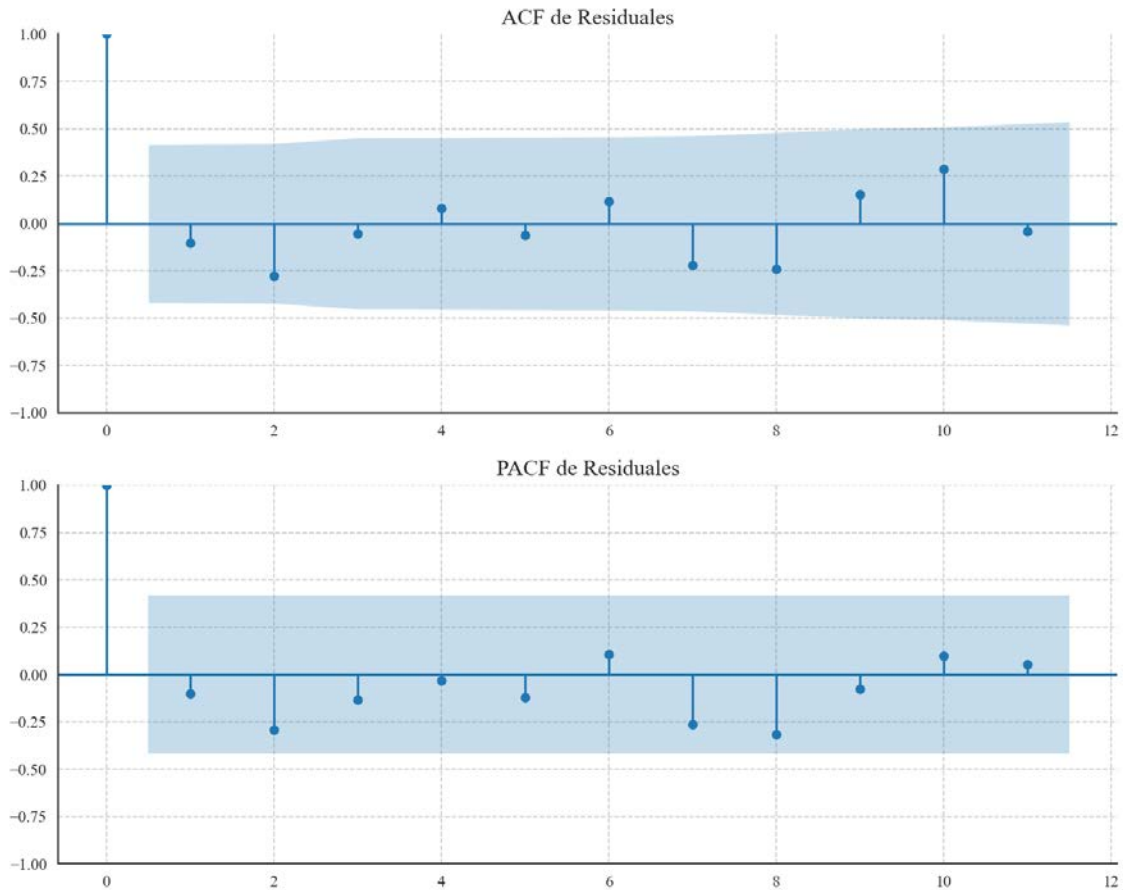
Se detectó heterocedasticidad en los residuos (Prueba de Breusch-Pagan significativa).

Los residuales no son aleatorios.

## Análisis de la Dinámica de Inercia Pasada para VOX

### Gráficos para VOX\_pasado





### Análisis de Aleatoriedad del Error para VOX\_pasado

Estadística de Durbin-Watson: 0.0000

Prueba de Ljung-Box:

Estadísticos: 11.6592, p-valor: 0.3085

Prueba de Shapiro-Wilk: Estadístico=0.9197, p-valor=0.0748

Prueba de Dickey-Fuller aumentada: p-valor=1.0000

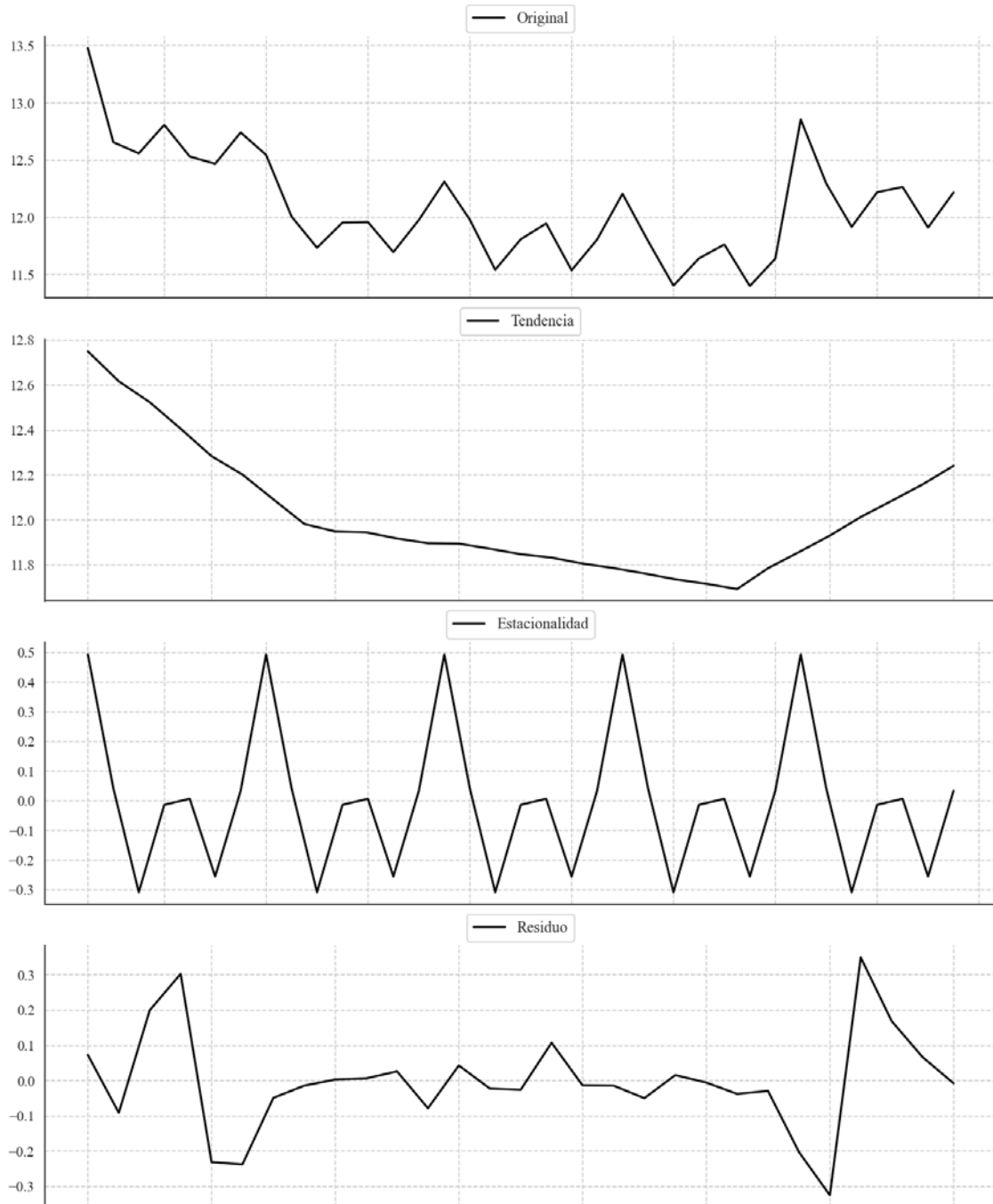
Estacionariedad: No Estacionario

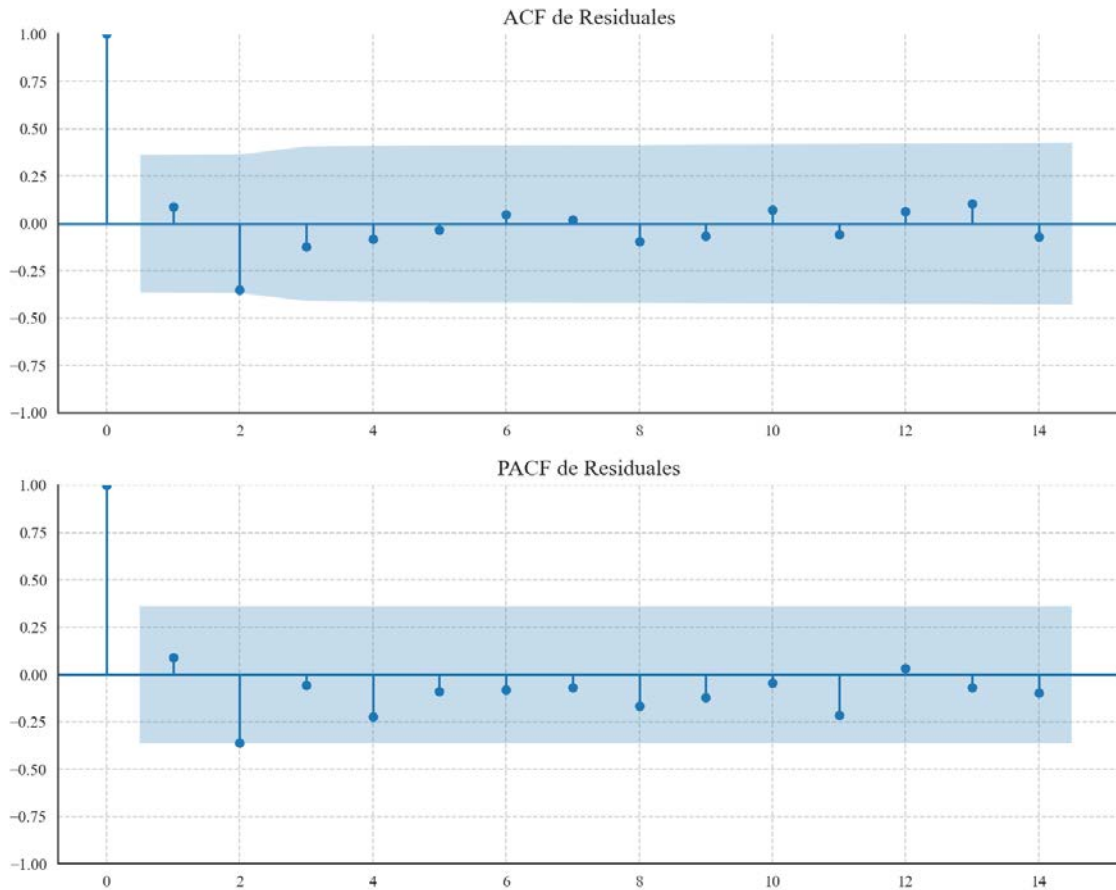
No se detectó heterocedasticidad significativa en los residuos.

Los residuales no son aleatorios.

## Análisis de la Dinámica de Inercia Presente\_Futuro para VOX

### Gráficos para VOX\_futuro





### Análisis de Aleatoriedad del Error para VOX\_futuro

Estadística de Durbin-Watson: 1.8132

Prueba de Ljung-Box:

Estadísticos: 6.0565, p-valor: 0.8105

Prueba de Shapiro-Wilk: Estadístico=0.9332, p-valor=0.0664

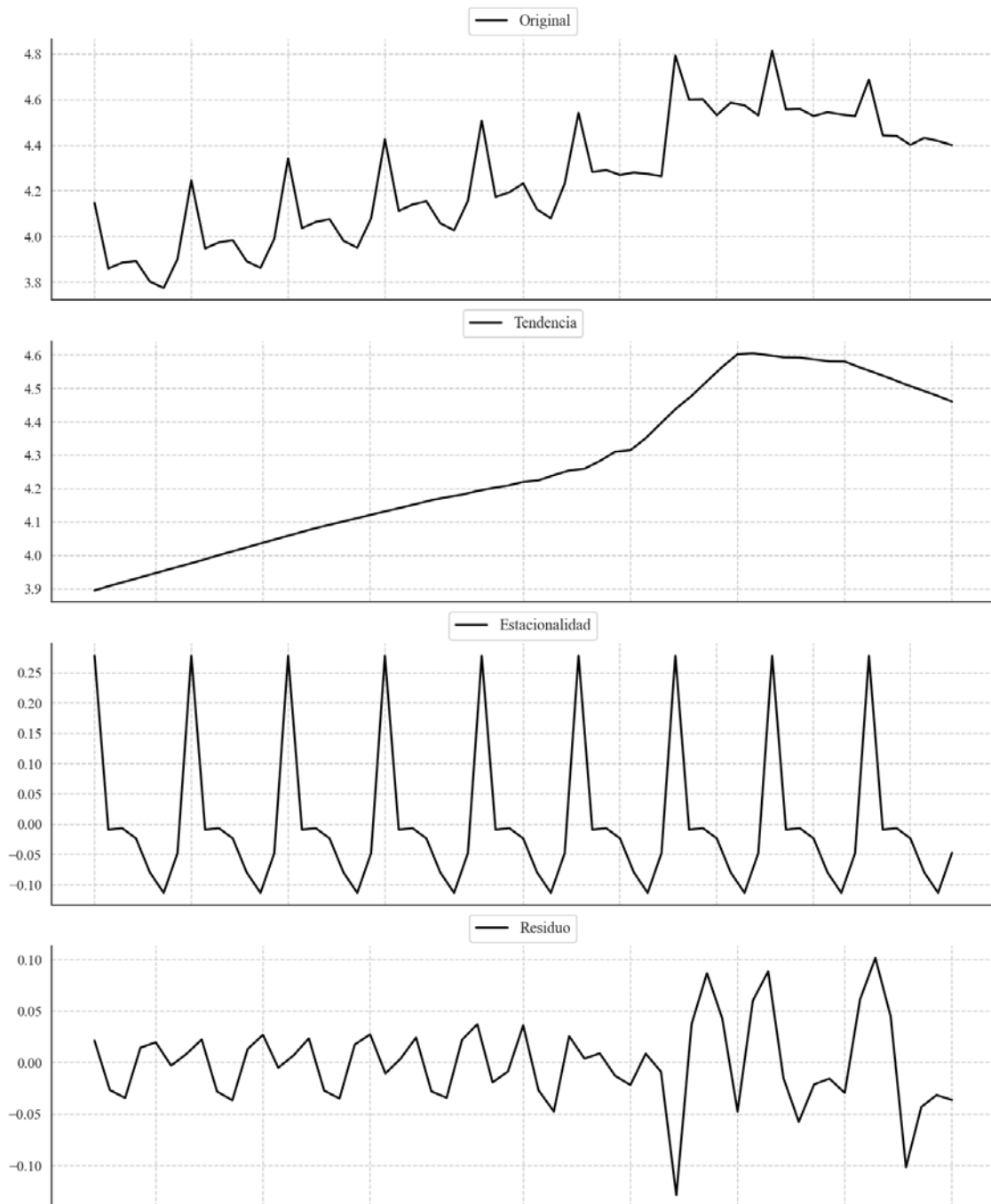
Prueba de Dickey-Fuller aumentada: p-valor=0.0001

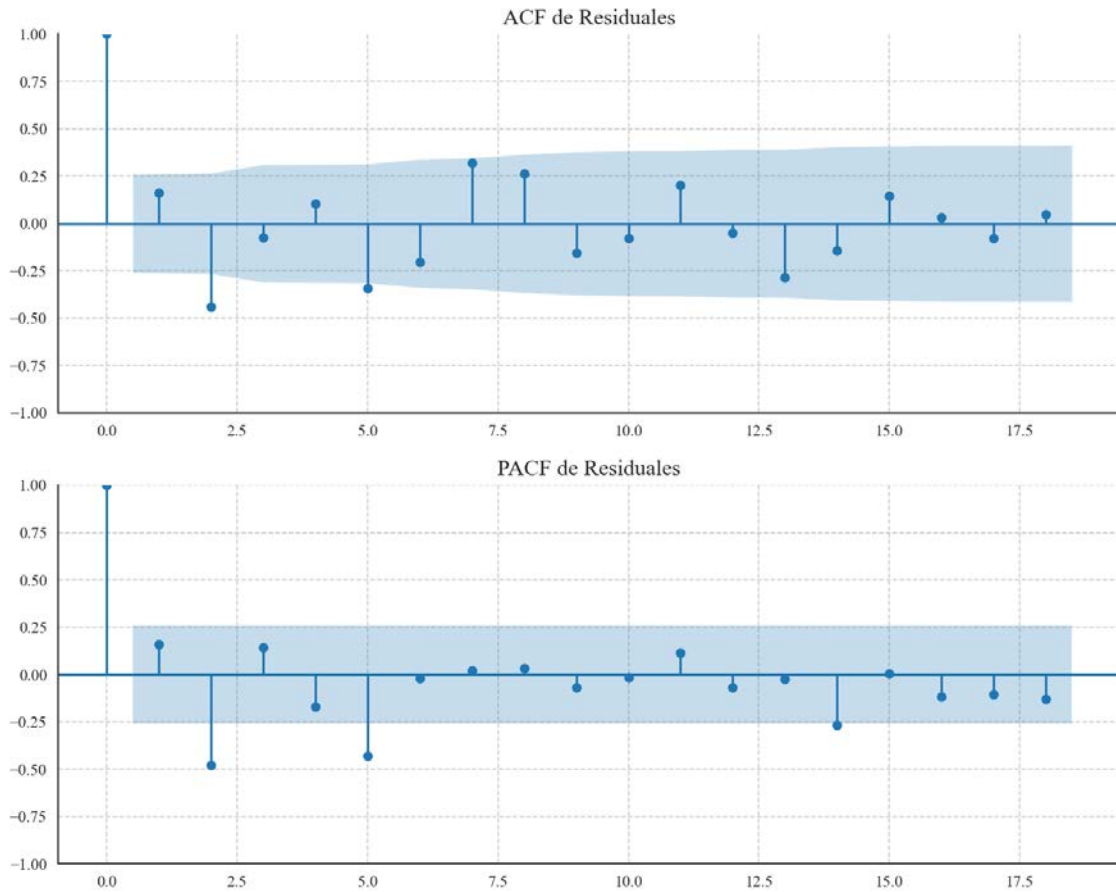
Estacionariedad: Estacionario

No se detectó heterocedasticidad significativa en los residuos.

Los residuos parecen ser aleatorios.

## Gráficos para Podemos





### Análisis de Aleatoriedad del Error para Podemos

Estadística de Durbin-Watson: 1.6623

Prueba de Ljung-Box:

Estadísticos: 38.4159, p-valor: 0.0000

Prueba de Shapiro-Wilk: Estadístico=0.9683, p-valor=0.1402

Prueba de Dickey-Fuller aumentada: p-valor=0.0000

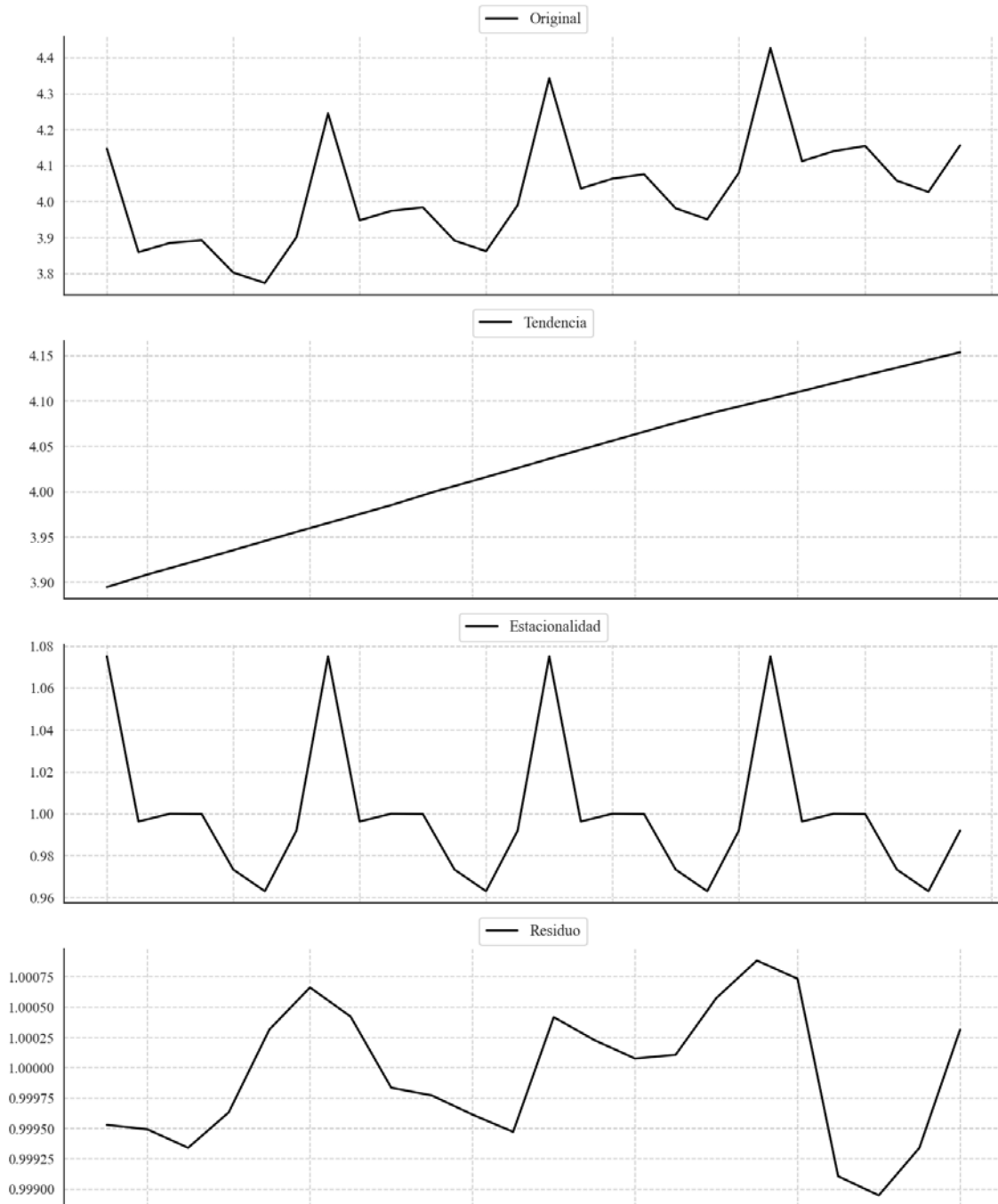
Estacionariedad: Estacionario

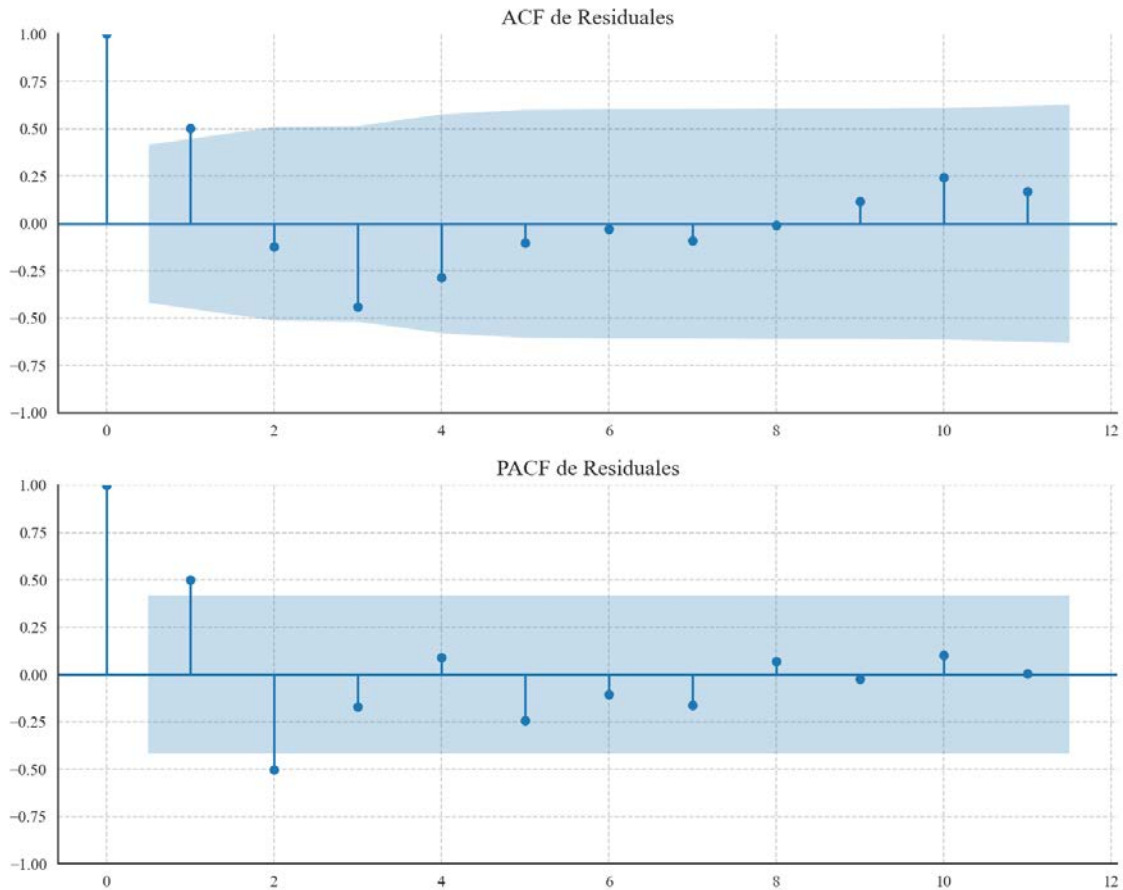
Se detectó heterocedasticidad en los residuos (Prueba de Breusch-Pagan significativa).

Los residuales no son aleatorios.

## Análisis de la Dinámica de Inercia Pasada para Podemos

### Gráficos para Podemos\_pasado





### Análisis de Aleatoriedad del Error para Podemos\_pasado

Estadística de Durbin-Watson: 0.0000

Prueba de Ljung-Box:

Estadísticos: 18.2555, p-valor: 0.0508

Prueba de Shapiro-Wilk: Estadístico=0.9626, p-valor=0.5429

Prueba de Dickey-Fuller aumentada: p-valor=0.0011

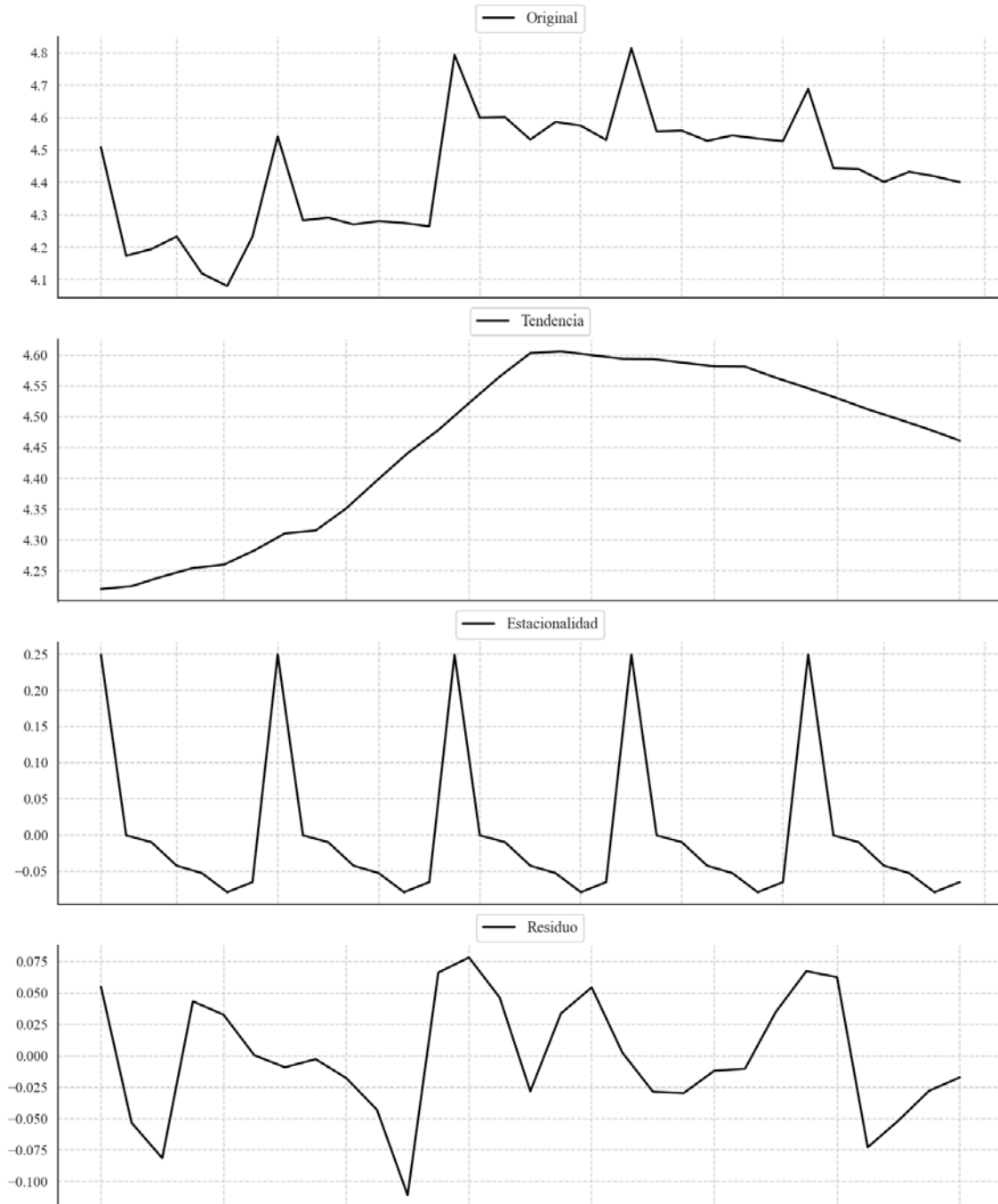
Estacionariedad: Estacionario

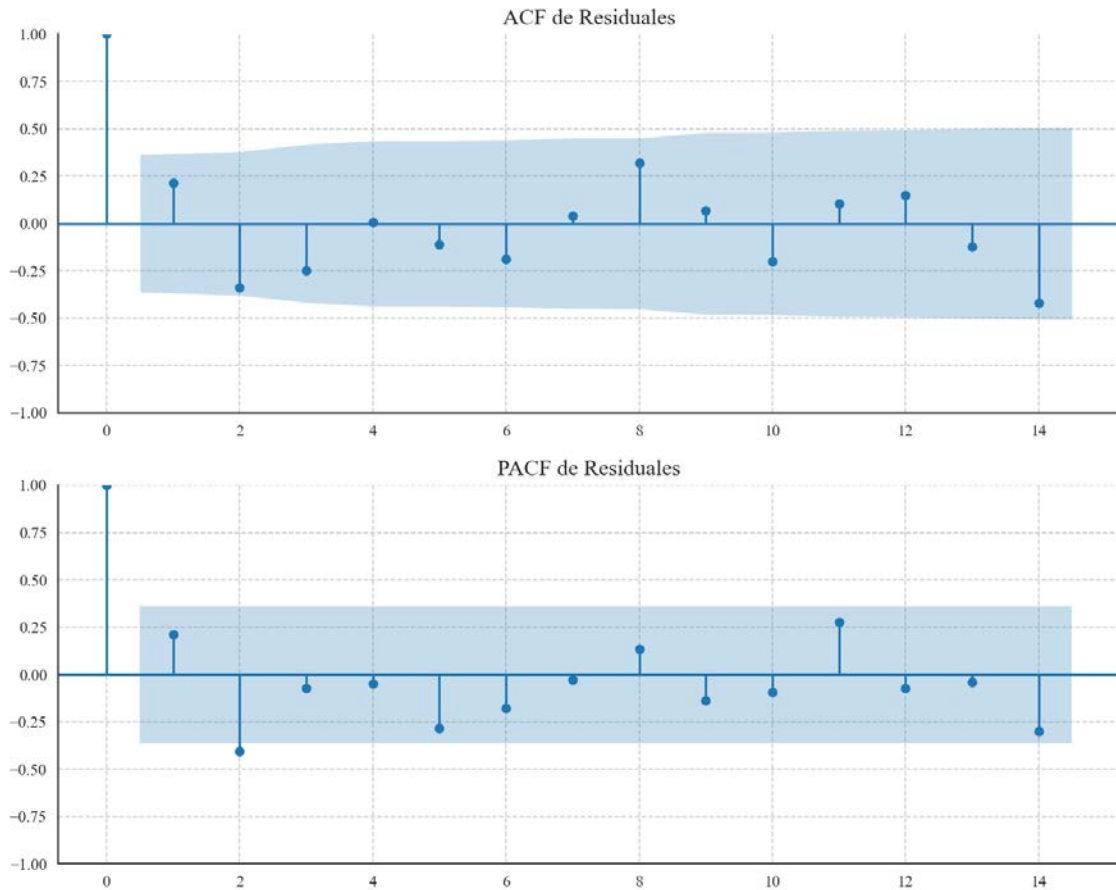
No se detectó heterocedasticidad significativa en los residuos.

Los residuales no son aleatorios.

## Análisis de la Dinámica de Inercia Presente\_Futuro para Podemos

### Gráficos para Podemos\_futuro





### Análisis de Aleatoriedad del Error para Podemos\_futuro

Estadística de Durbin-Watson: 1.5219

Prueba de Ljung-Box:

Estadísticos: 15.7999, p-valor: 0.1055

Prueba de Shapiro-Wilk: Estadístico=0.9625, p-valor=0.3781

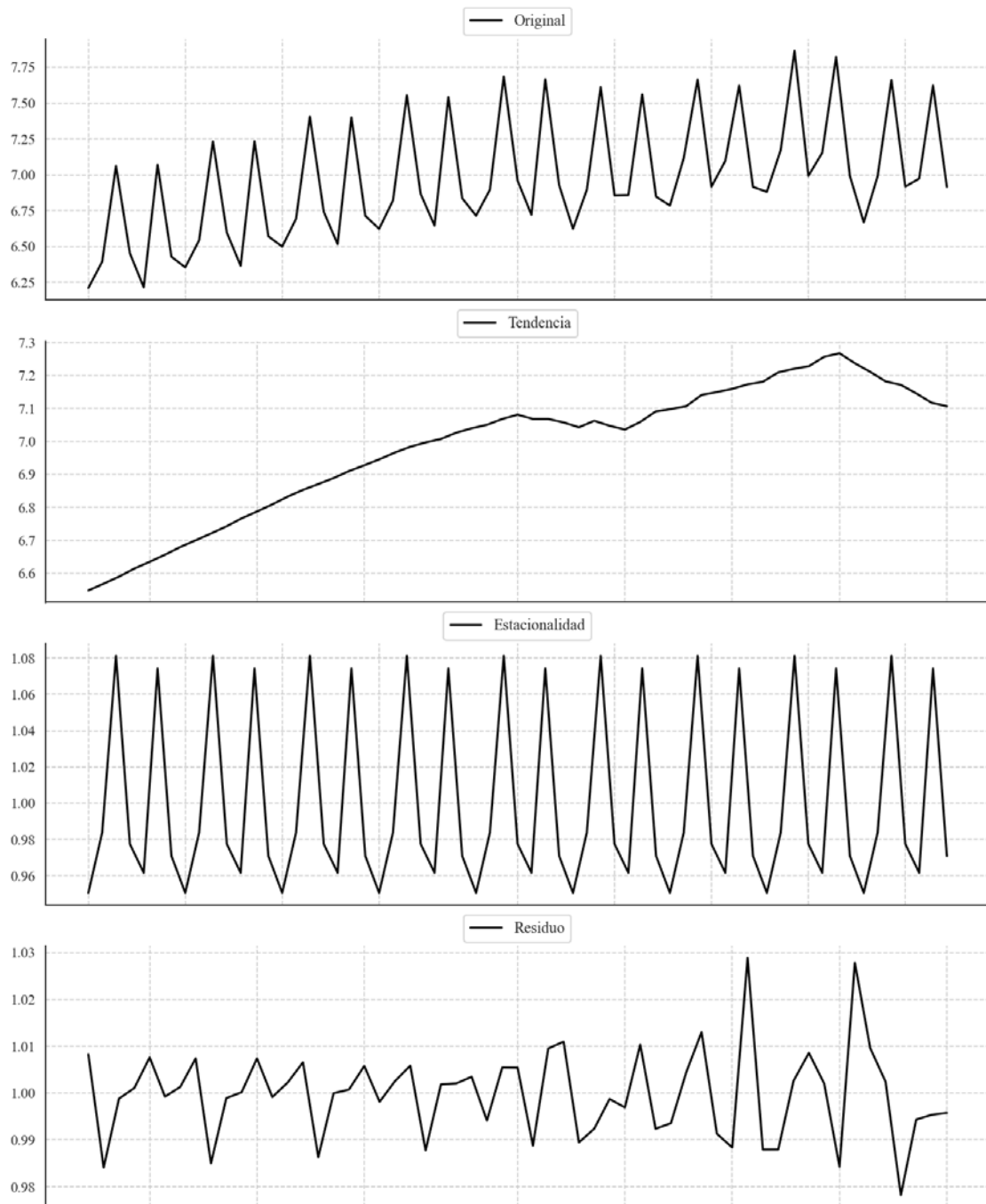
Prueba de Dickey-Fuller aumentada: p-valor=0.0000

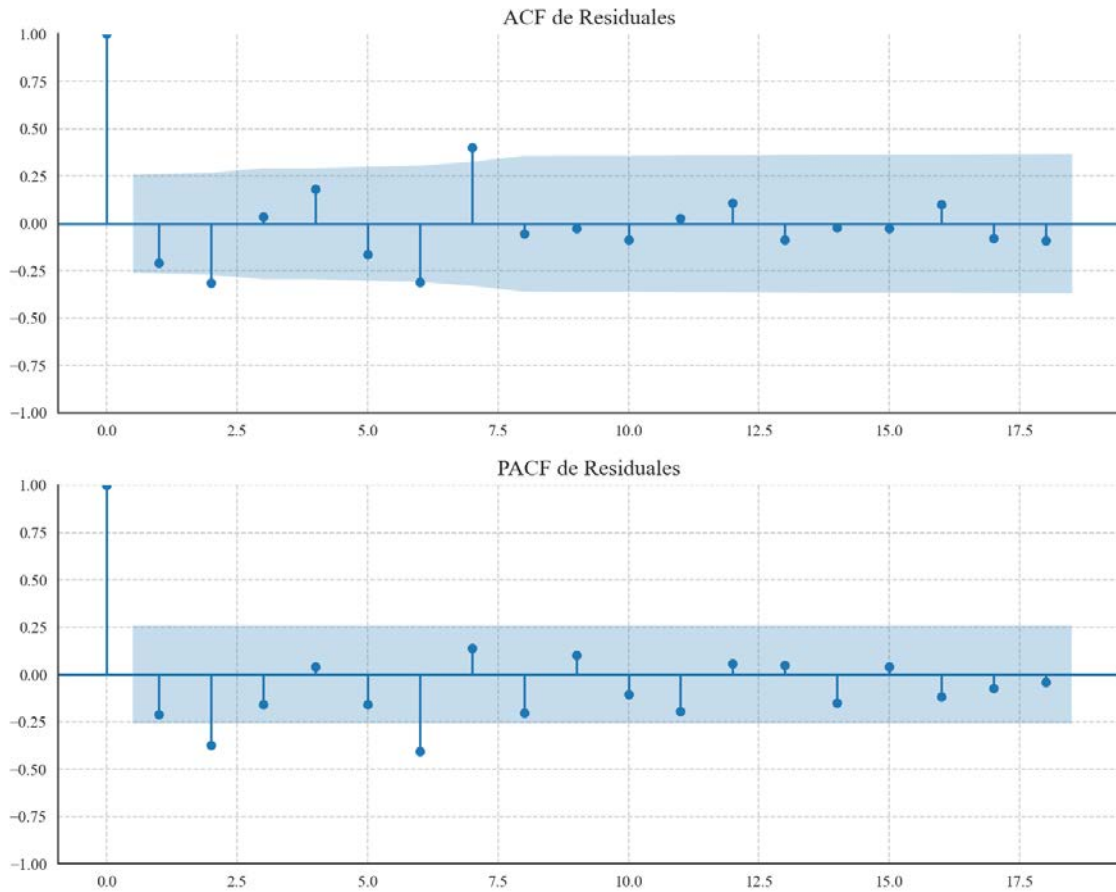
Estacionariedad: Estacionario

No se detectó heterocedasticidad significativa en los residuos.

Los residuos parecen ser aleatorios.

## Gráficos para Sumar





### Análisis de Aleatoriedad del Error para Sumar

Estadística de Durbin-Watson: 0.0002

Prueba de Ljung-Box:

Estadísticos: 30.4469, p-valor: 0.0007

Prueba de Shapiro-Wilk: Estadístico=0.9607, p-valor=0.0612

Prueba de Dickey-Fuller aumentada: p-valor=0.0001

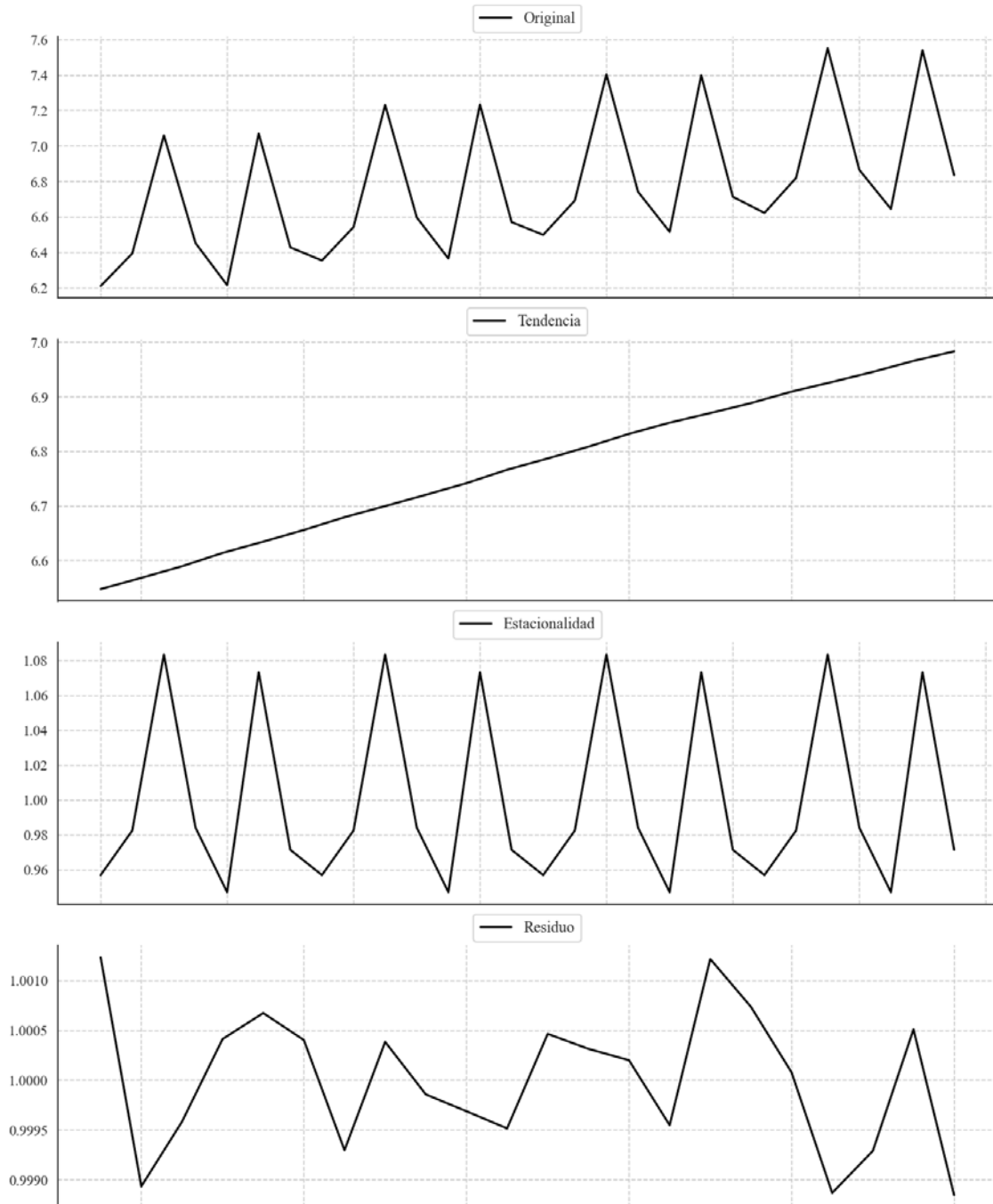
Estacionariedad: Estacionario

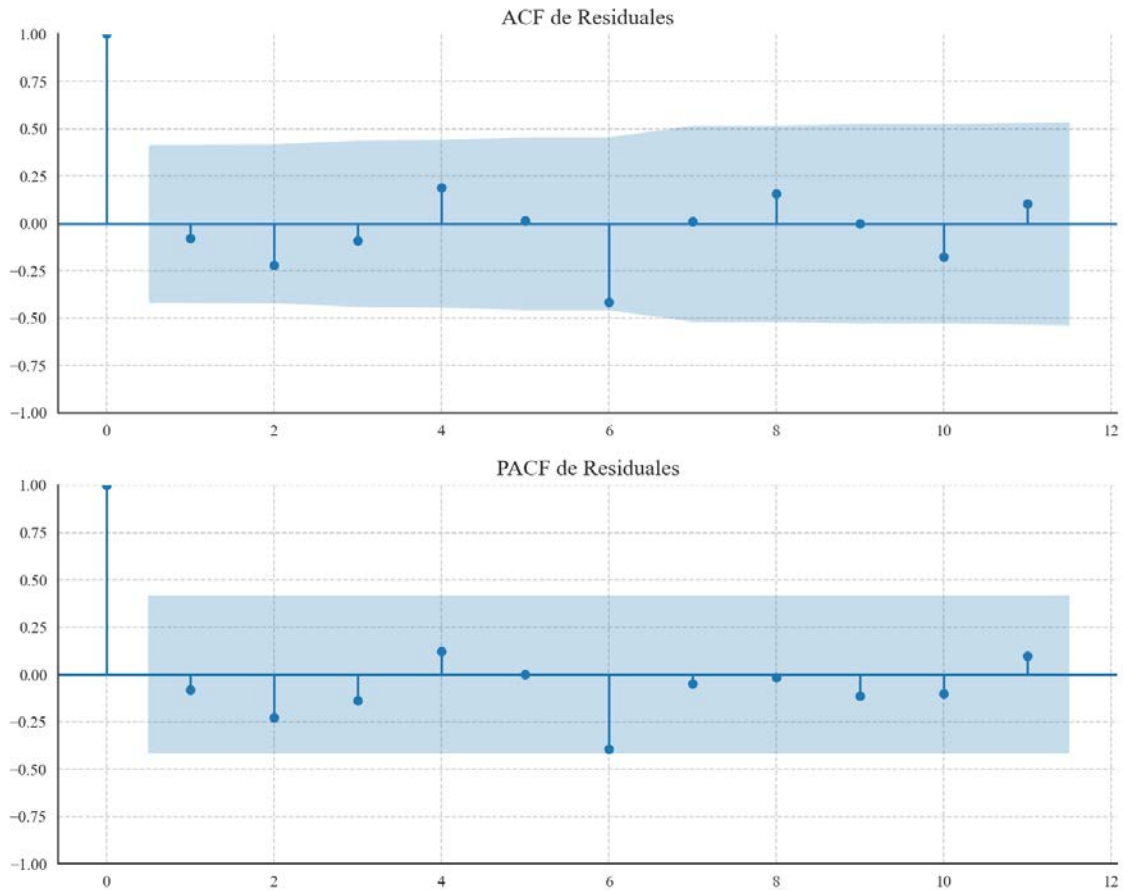
No se detectó heterocedasticidad significativa en los residuos.

Los residuales no son aleatorios.

## Análisis de la Dinámica de Inercia Pasada para Sumar

### Gráficos para Sumar\_pasado





### Análisis de Aleatoriedad del Error para Sumar\_pasado

Estadística de Durbin-Watson: 0.0000

Prueba de Ljung-Box:

Estadísticos: 10.6858, p-valor: 0.3825

Prueba de Shapiro-Wilk: Estadístico=0.9552, p-valor=0.3984

Prueba de Dickey-Fuller aumentada: p-valor=0.0000

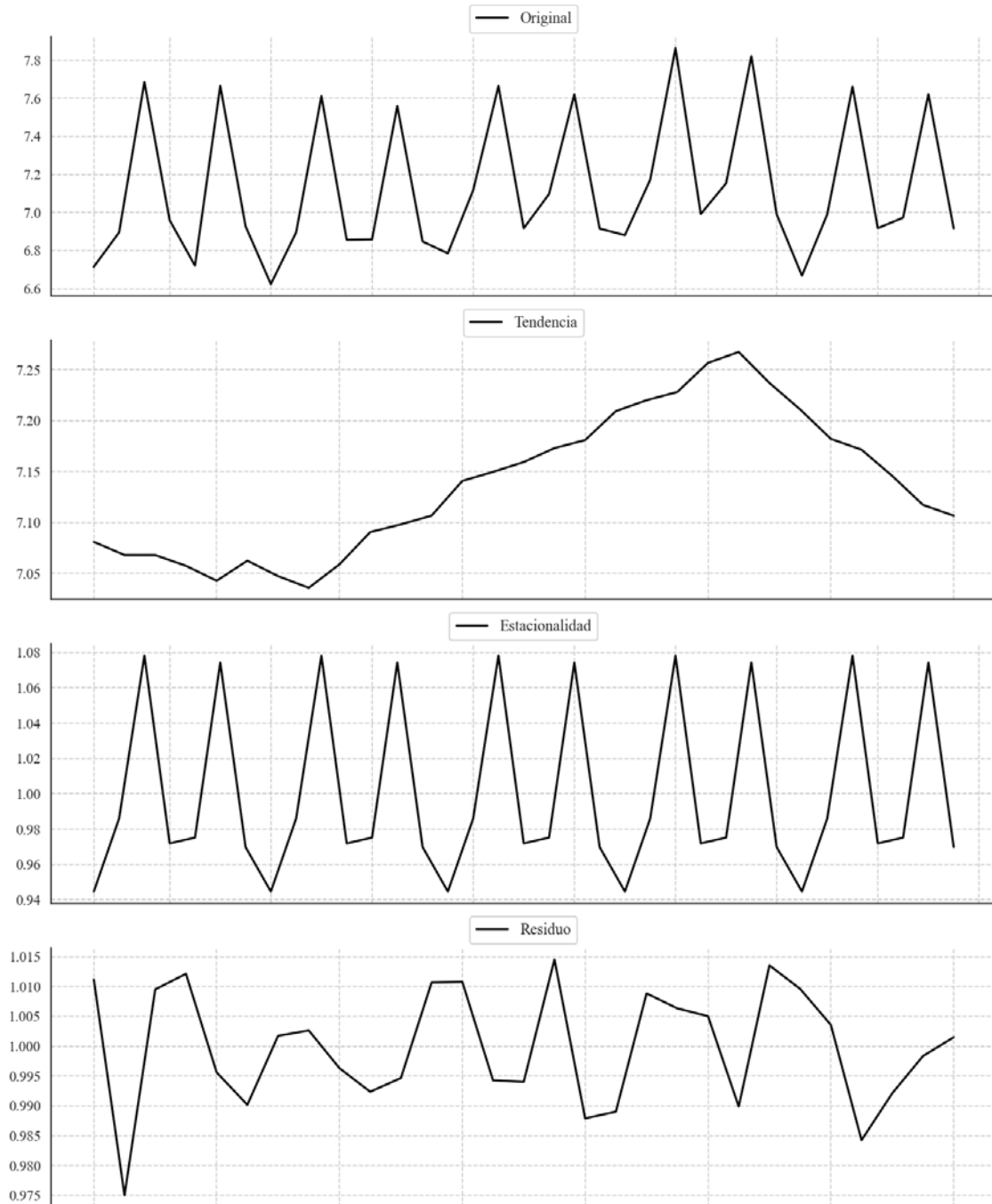
Estacionariedad: Estacionario

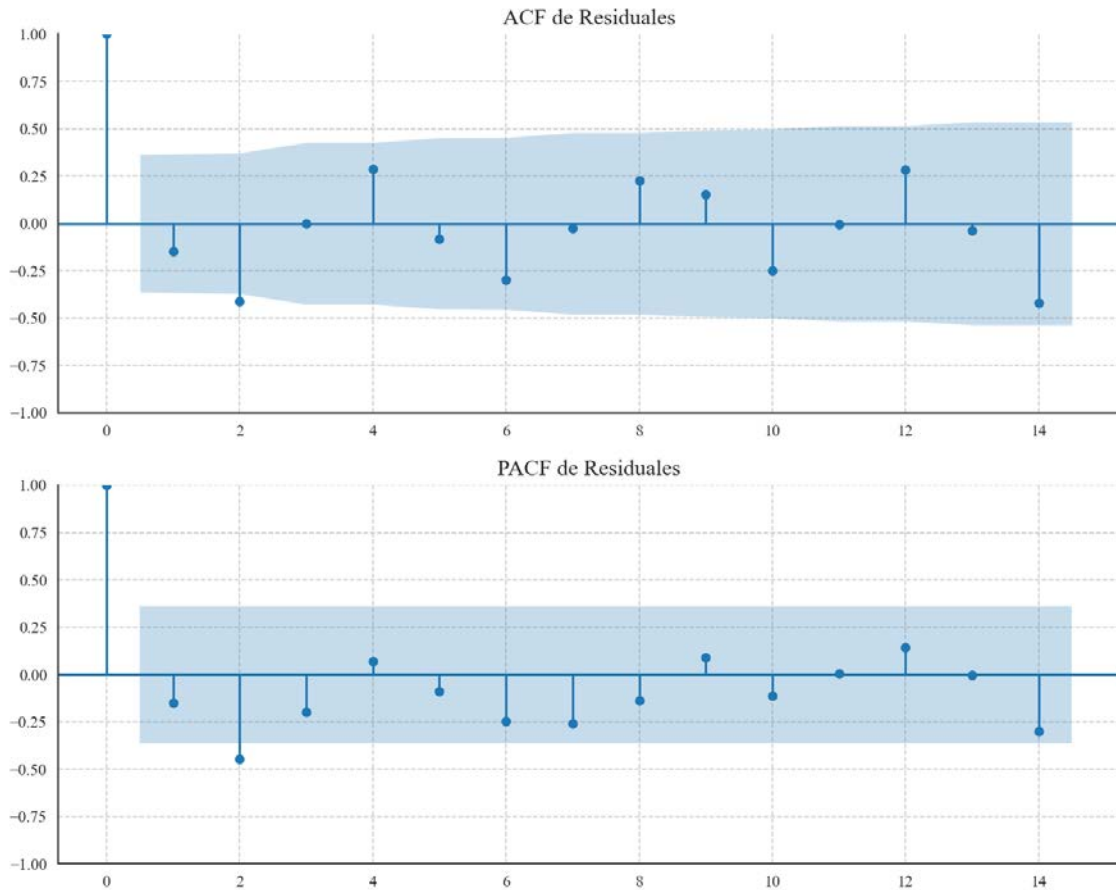
No se detectó heterocedasticidad significativa en los residuos.

Los residuales no son aleatorios.

## Análisis de la Dinámica de Inercia Presente\_Futuro para Sumar

### Gráficos para Sumar\_futuro





### Análisis de Aleatoriedad del Error para Sumar\_futuro

Estadística de Durbin-Watson: 0.0002

Prueba de Ljung-Box:

Estadísticos: 19.2897, p-valor: 0.0367

Prueba de Shapiro-Wilk: Estadístico=0.9524, p-valor=0.2112

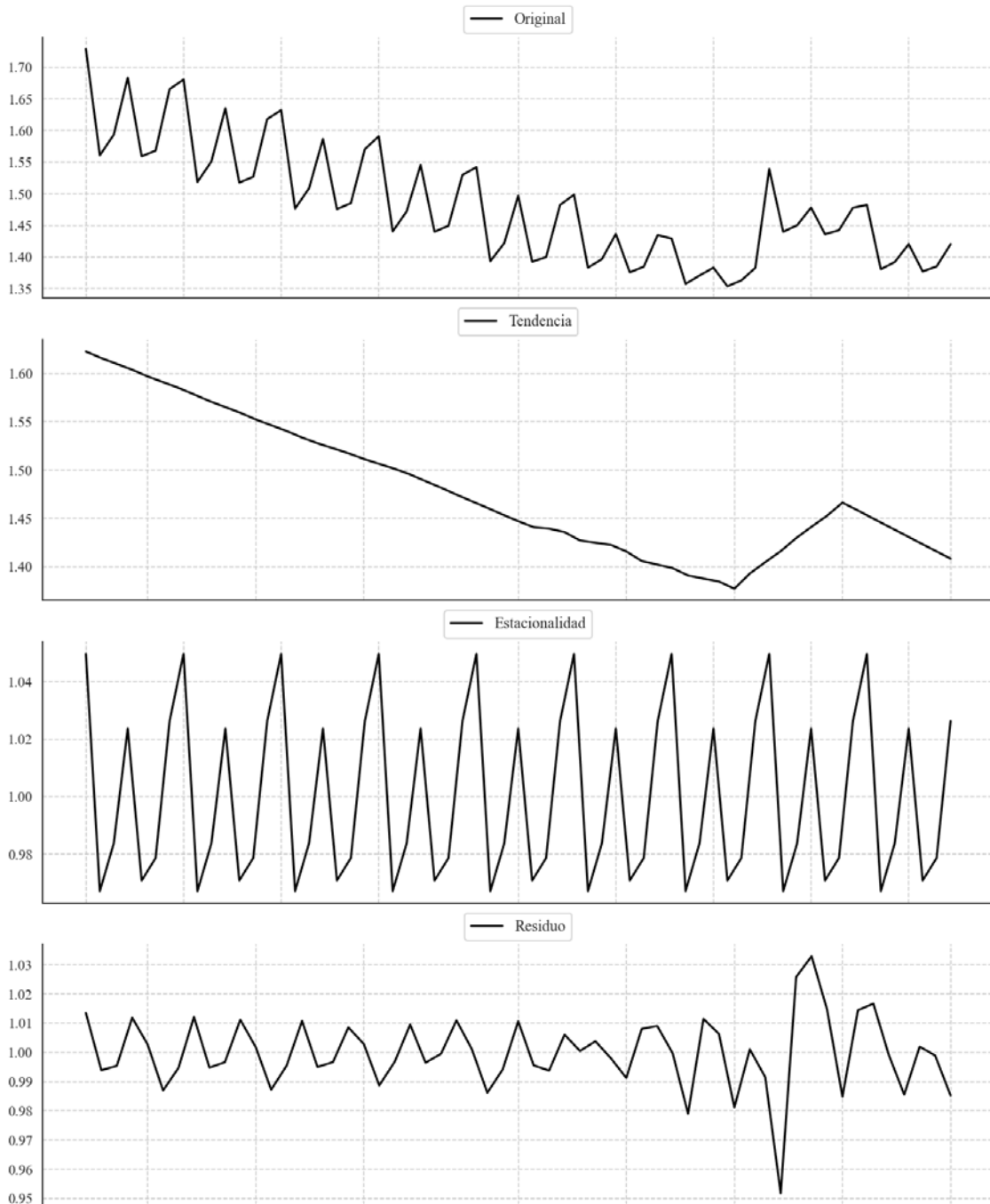
Prueba de Dickey-Fuller aumentada: p-valor=0.0000

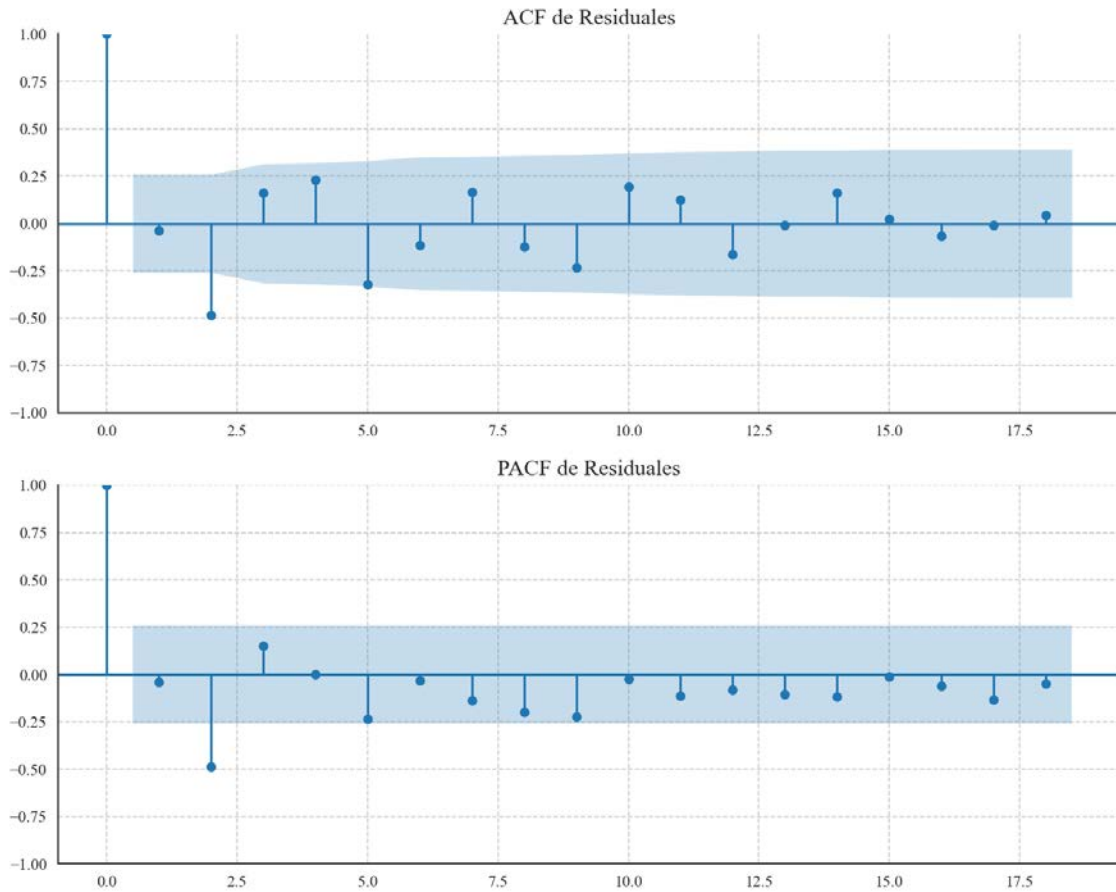
Estacionariedad: Estacionario

No se detectó heterocedasticidad significativa en los residuos.

Los residuales no son aleatorios.

### Gráficos para SALF





### Análisis de Aleatoriedad del Error para SALF

Estadística de Durbin-Watson: 0.0003

Prueba de Ljung-Box:

Estadísticos: 36.5391, p-valor: 0.0001

Prueba de Shapiro-Wilk: Estadístico=0.9481, p-valor=0.0161

Prueba de Dickey-Fuller aumentada: p-valor=0.0000

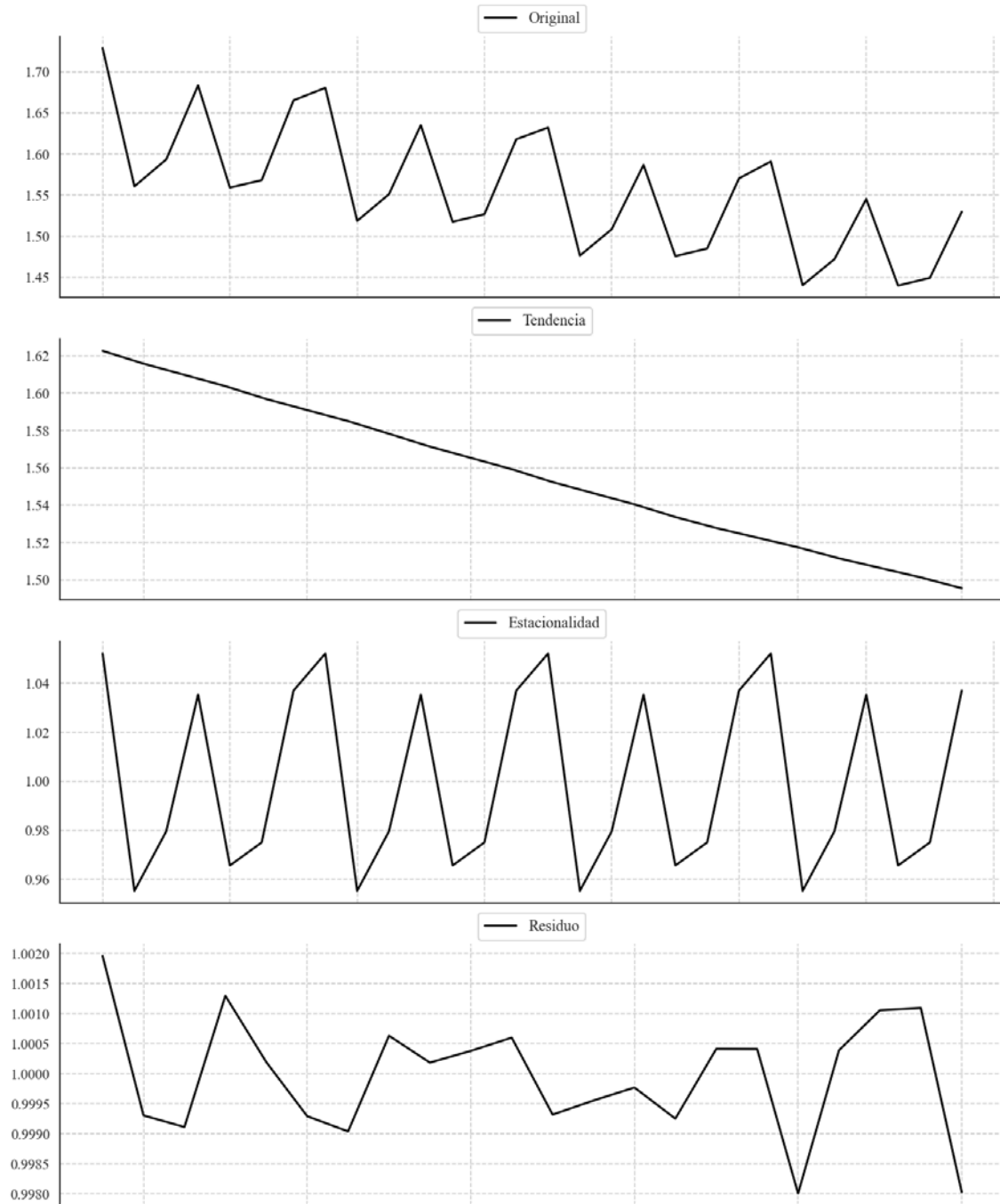
Estacionariedad: Estacionario

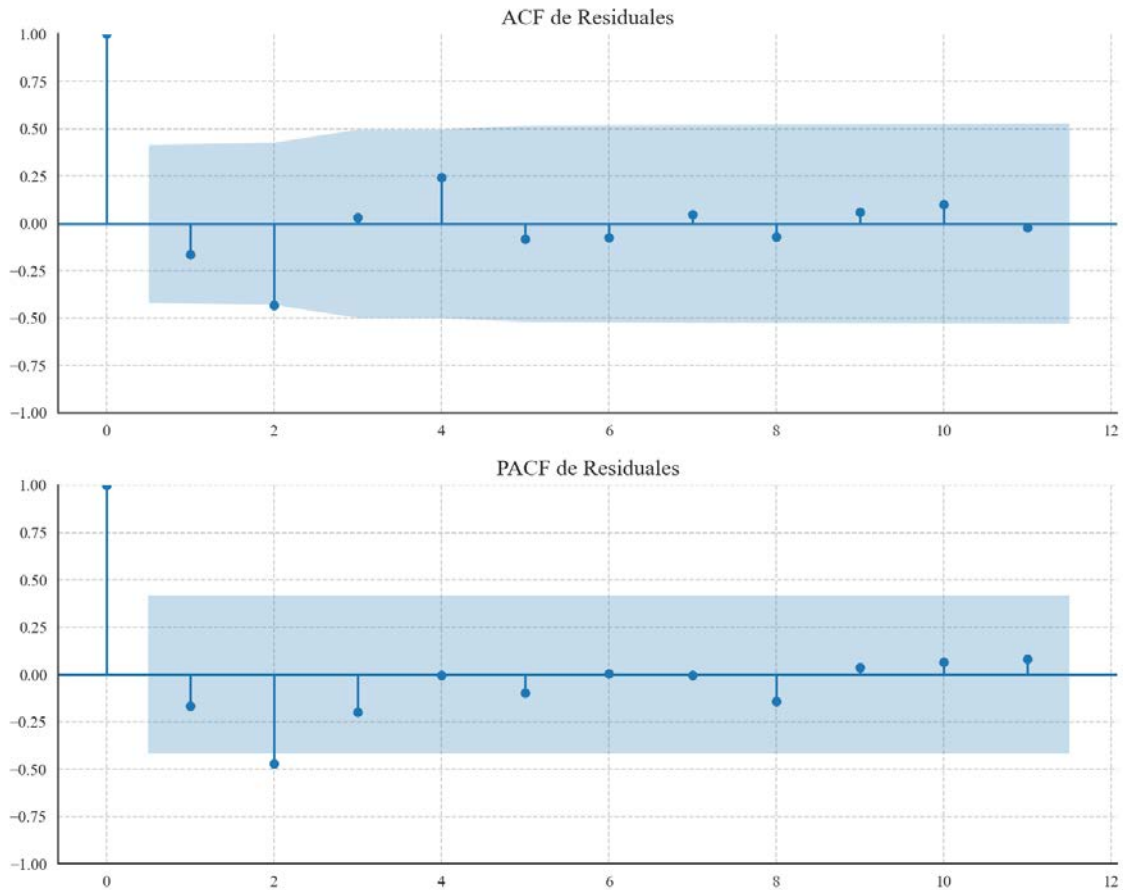
No se detectó heterocedasticidad significativa en los residuos.

Los residuales no son aleatorios.

## Análisis de la Dinámica de Inercia Pasada para SALF

### Gráficos para SALF\_pasado





### Análisis de Aleatoriedad del Error para SALF\_pasado

Estadística de Durbin-Watson: 0.0000

Prueba de Ljung-Box:

Estadísticos: 8.5632, p-valor: 0.5740

Prueba de Shapiro-Wilk: Estadístico=0.9675, p-valor=0.6521

Prueba de Dickey-Fuller aumentada: p-valor=0.0000

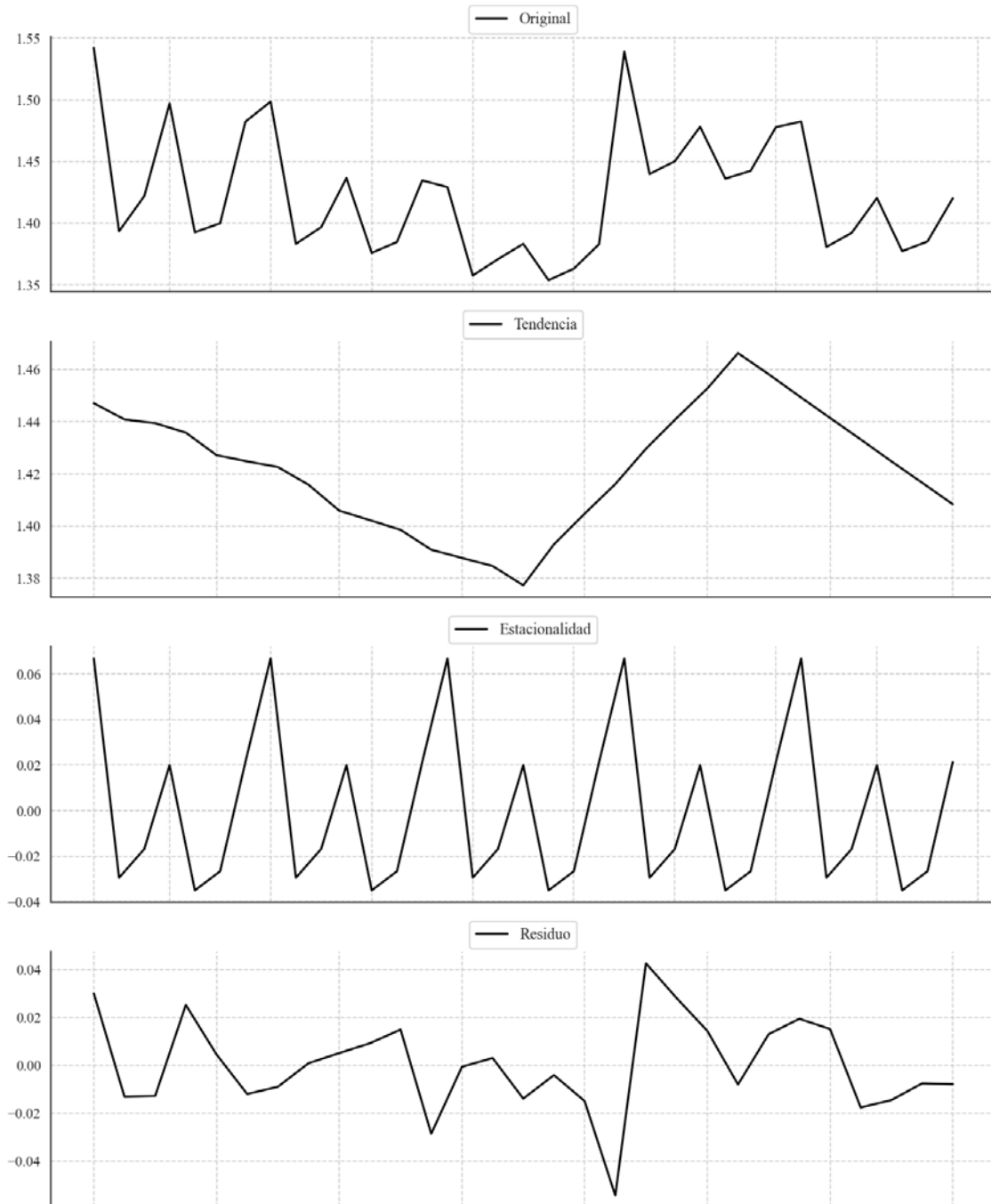
Estacionariedad: Estacionario

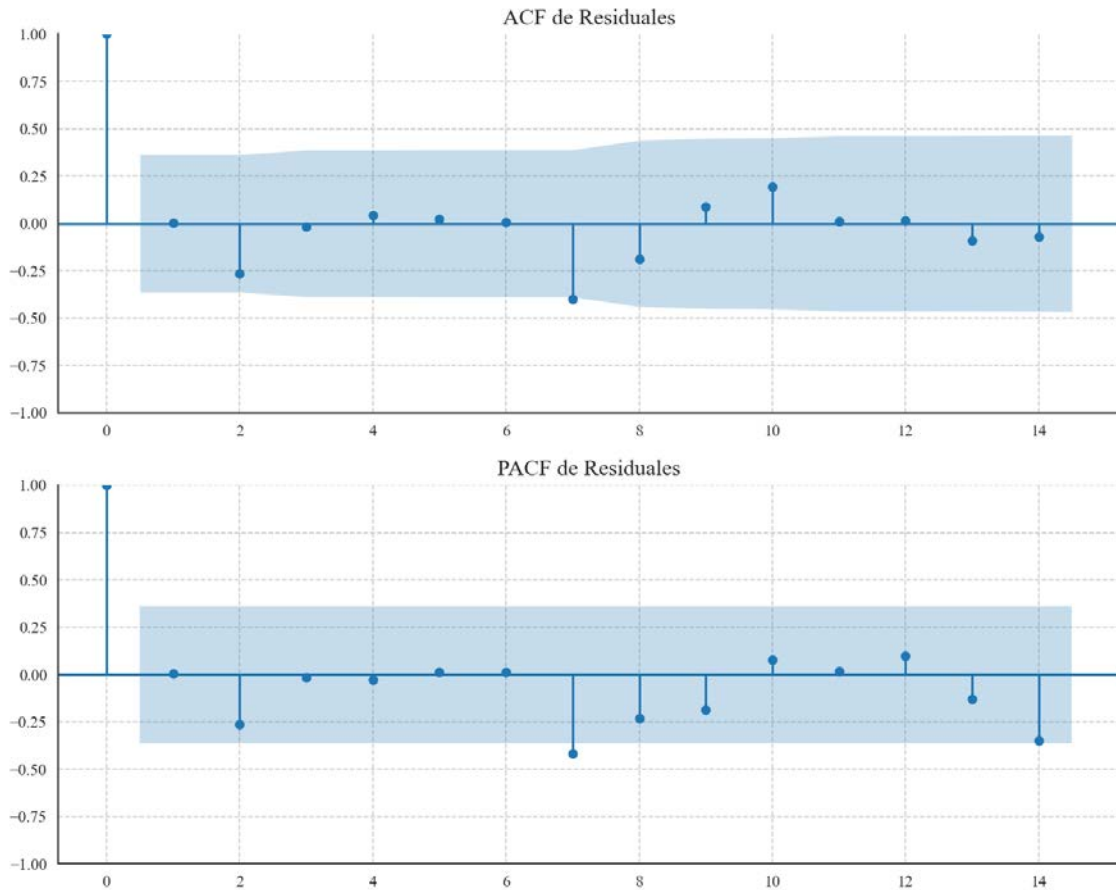
No se detectó heterocedasticidad significativa en los residuos.

Los residuales no son aleatorios.

## Análisis de la Dinámica de Inercia Presente\_Futuro para SALF

### Gráficos para SALF\_futuro





### Análisis de Aleatoriedad del Error para SALF\_futuro

Estadística de Durbin-Watson: 1.9037

Prueba de Ljung-Box:

Estadísticos: 12.5134, p-valor: 0.2522

Prueba de Shapiro-Wilk: Estadístico=0.9680, p-valor=0.5056

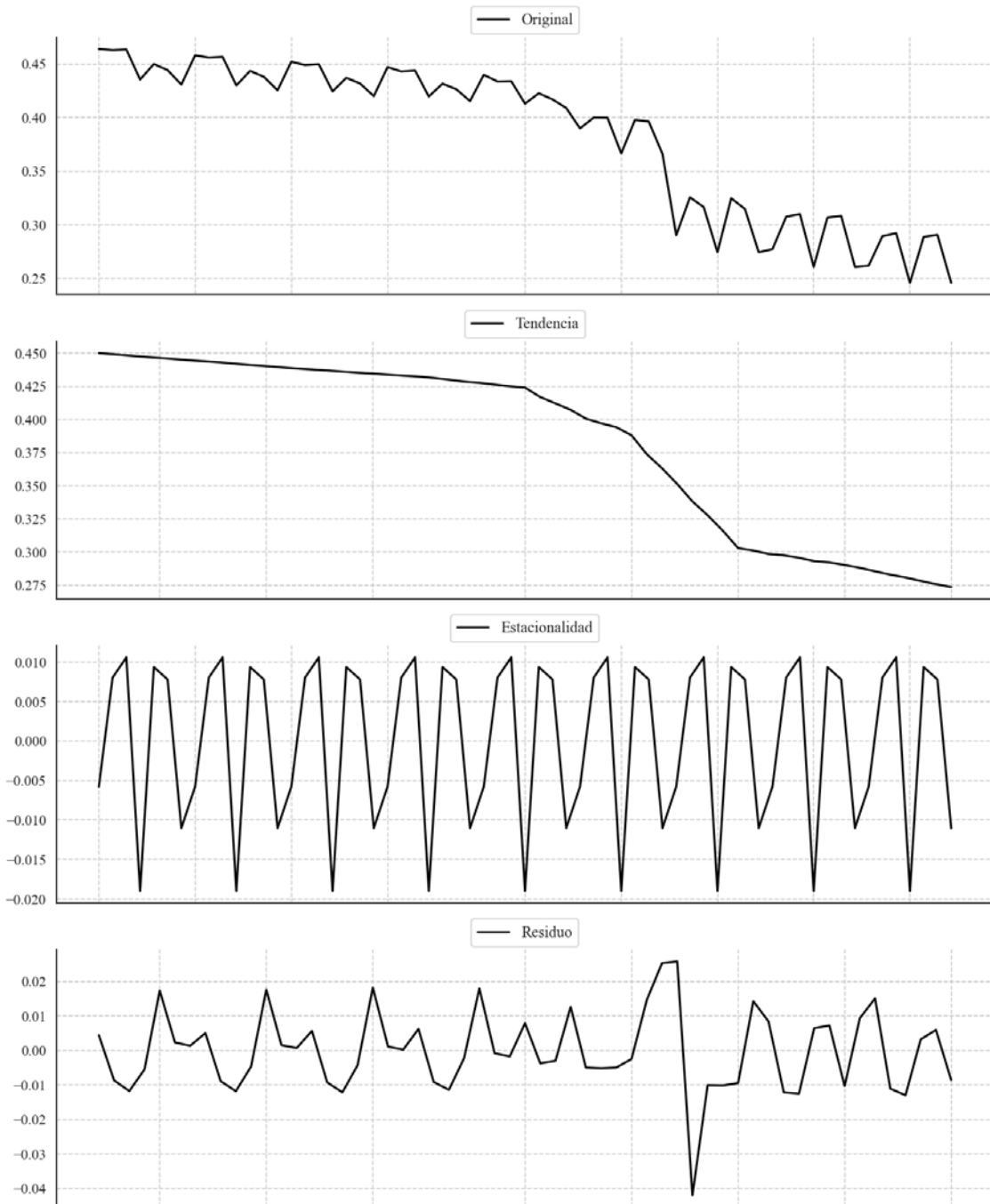
Prueba de Dickey-Fuller aumentada: p-valor=0.0000

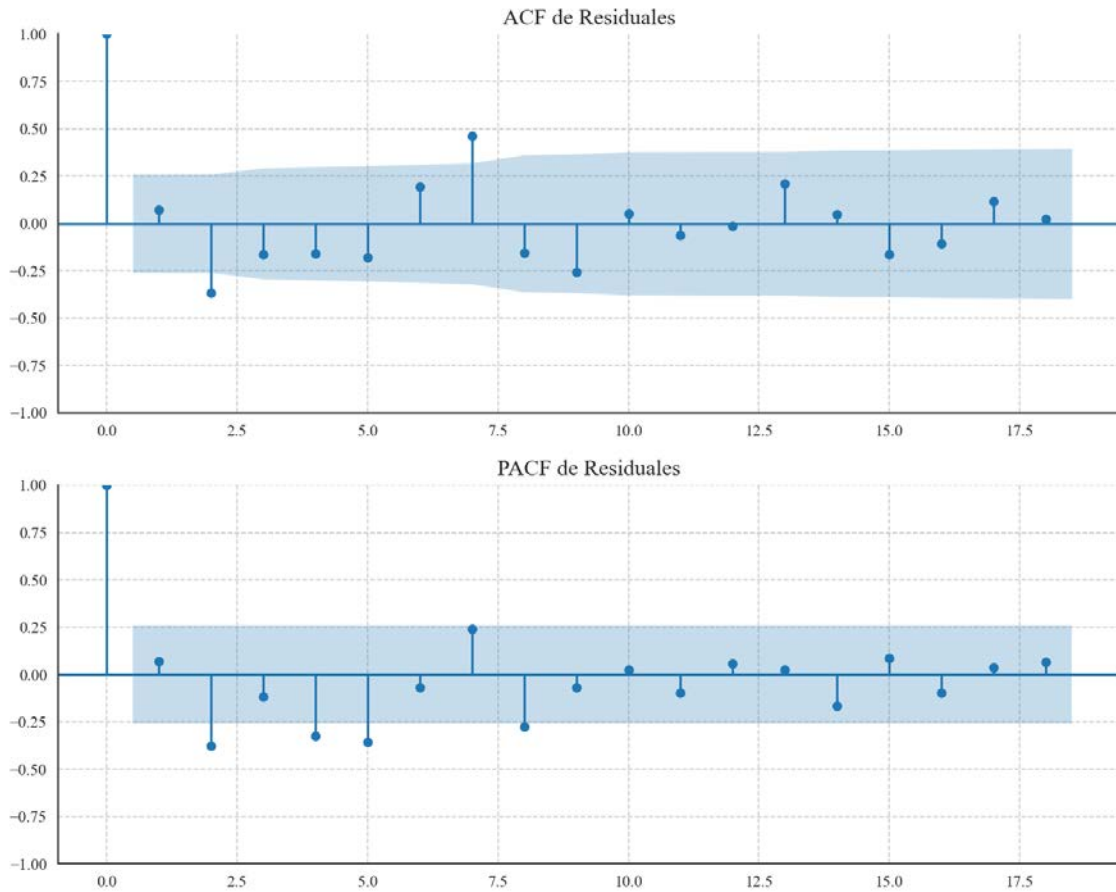
Estacionariedad: Estacionario

No se detectó heterocedasticidad significativa en los residuos.

Los residuos parecen ser aleatorios.

### Gráficos para CC





### Análisis de Aleatoriedad del Error para CC

Estadística de Durbin-Watson: 1.8454

Prueba de Ljung-Box:

Estadísticos: 37.2679, p-valor: 0.0001

Prueba de Shapiro-Wilk: Estadístico=0.9403, p-valor=0.0073

Prueba de Dickey-Fuller aumentada: p-valor=0.0067

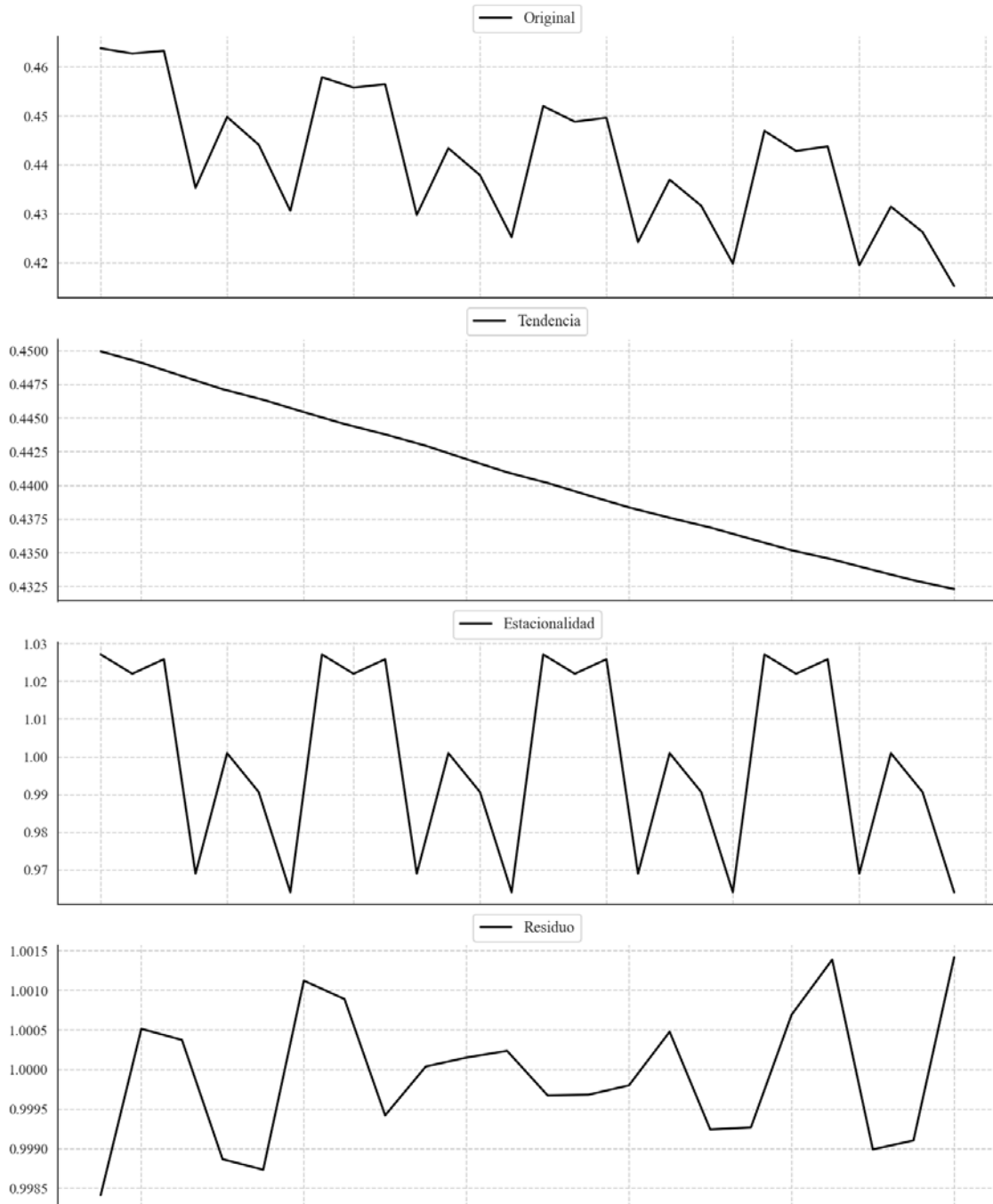
Estacionariedad: Estacionario

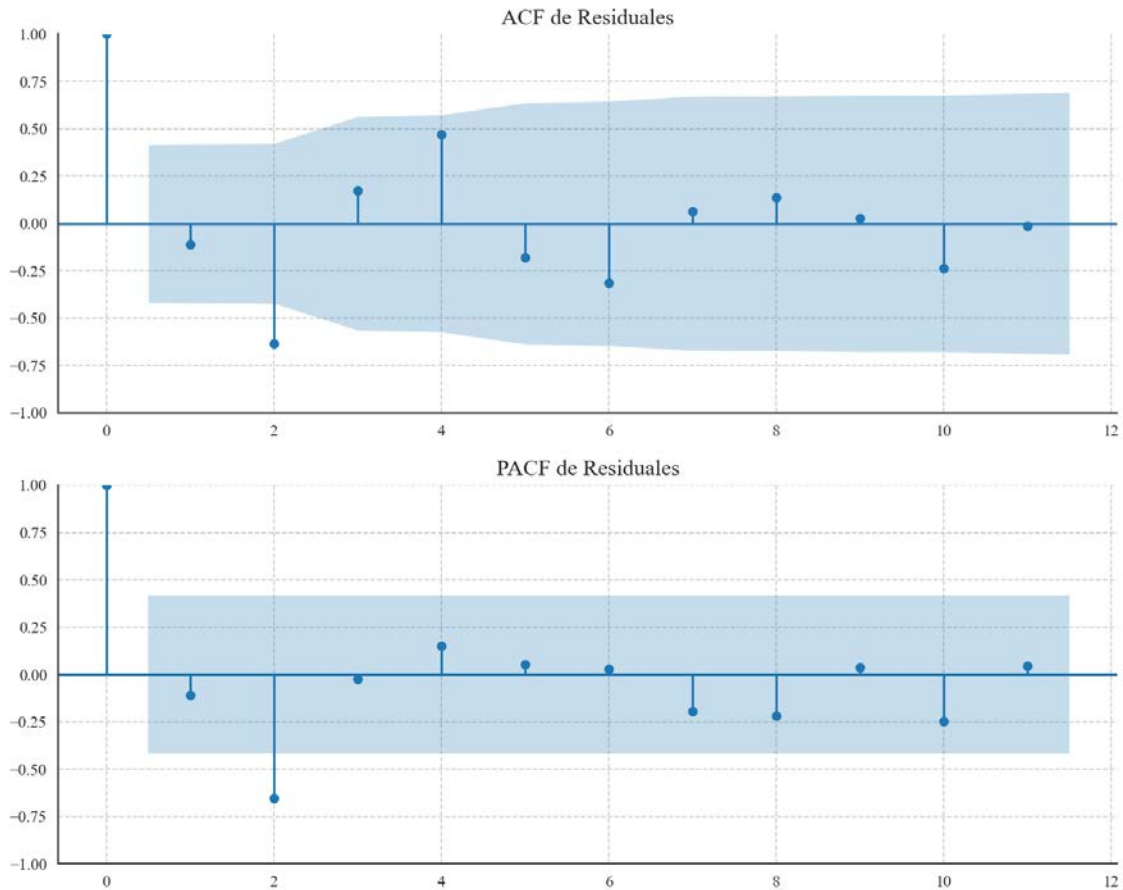
No se detectó heterocedasticidad significativa en los residuos.

Los residuales no son aleatorios.

## Análisis de la Dinámica de Inercia Pasada para CC

### Gráficos para CC\_pasado





### Análisis de Aleatoriedad del Error para CC\_pasado

Estadística de Durbin-Watson: 0.0000

Prueba de Ljung-Box:

Estadísticos: 25.7619, p-valor: 0.0041

Prueba de Shapiro-Wilk: Estadístico=0.9711, p-valor=0.7372

Prueba de Dickey-Fuller aumentada: p-valor=0.0000

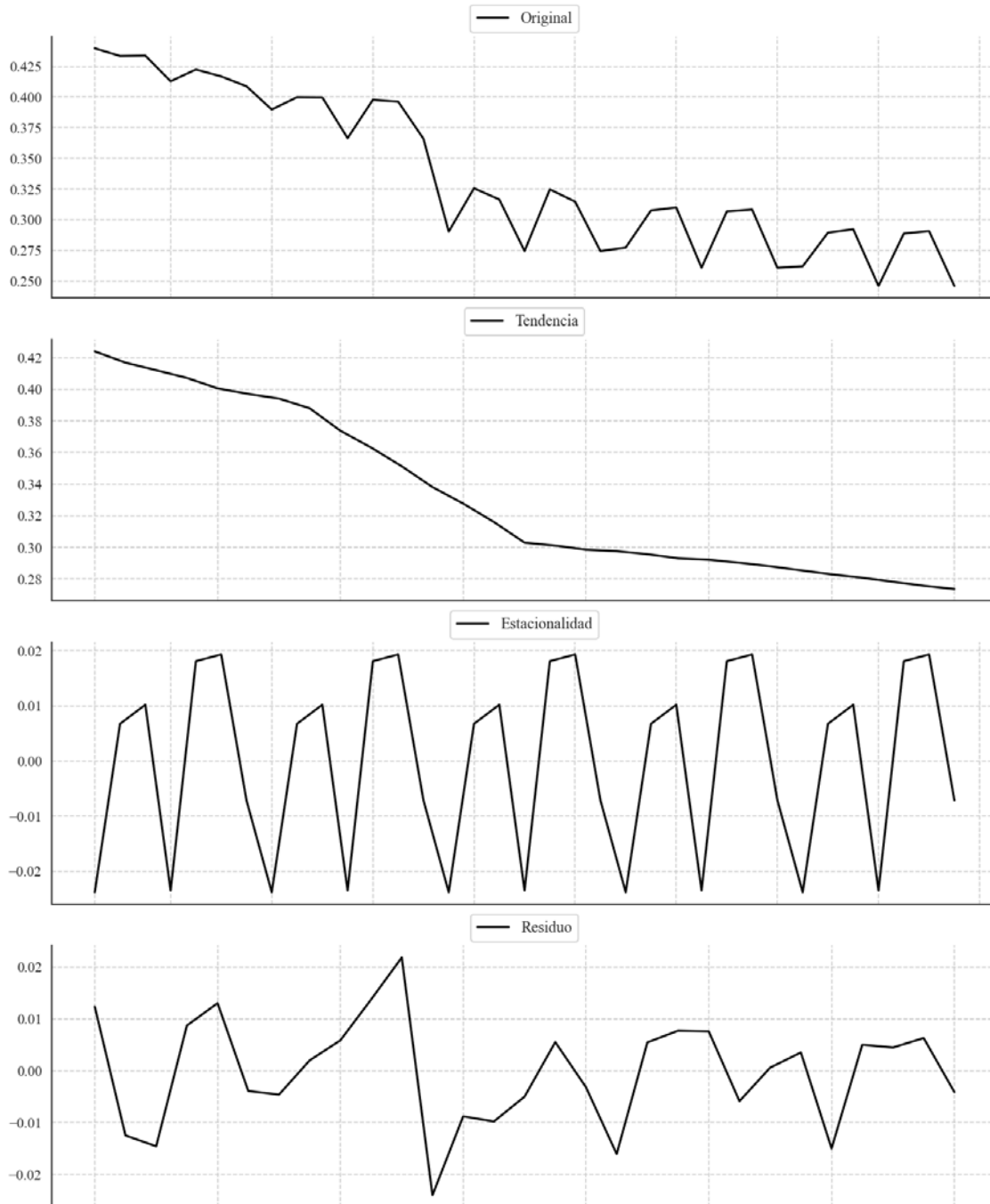
Estacionariedad: Estacionario

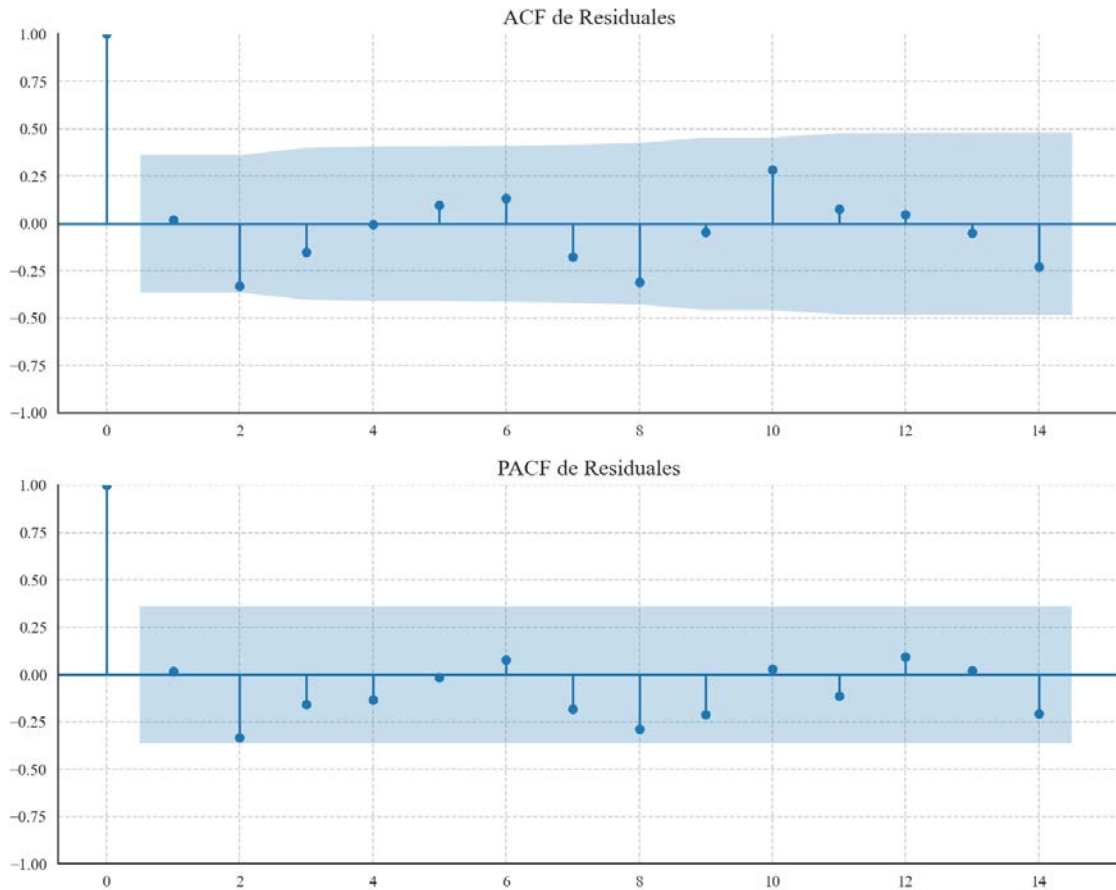
No se detectó heterocedasticidad significativa en los residuos.

Los residuales no son aleatorios.

## Análisis de la Dinámica de Inercia Presente\_Futuro para CC

### Gráficos para CC\_futuro





### Análisis de Aleatoriedad del Error para CC\_futuro

Estadística de Durbin-Watson: 1.9093

Prueba de Ljung-Box:

Estadísticos: 14.6929, p-valor: 0.1437

Prueba de Shapiro-Wilk: Estadístico=0.9788, p-valor=0.8073

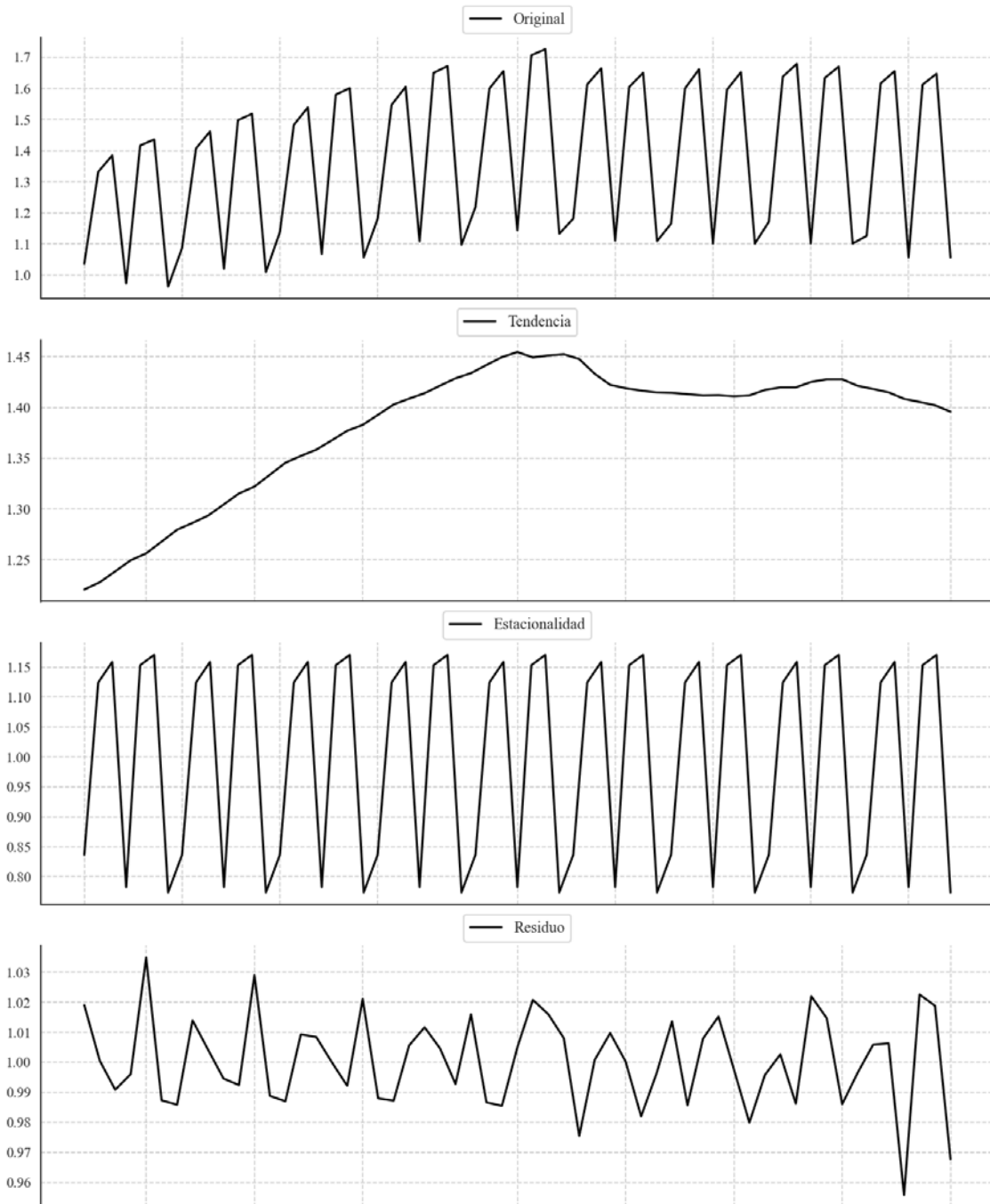
Prueba de Dickey-Fuller aumentada: p-valor=0.0000

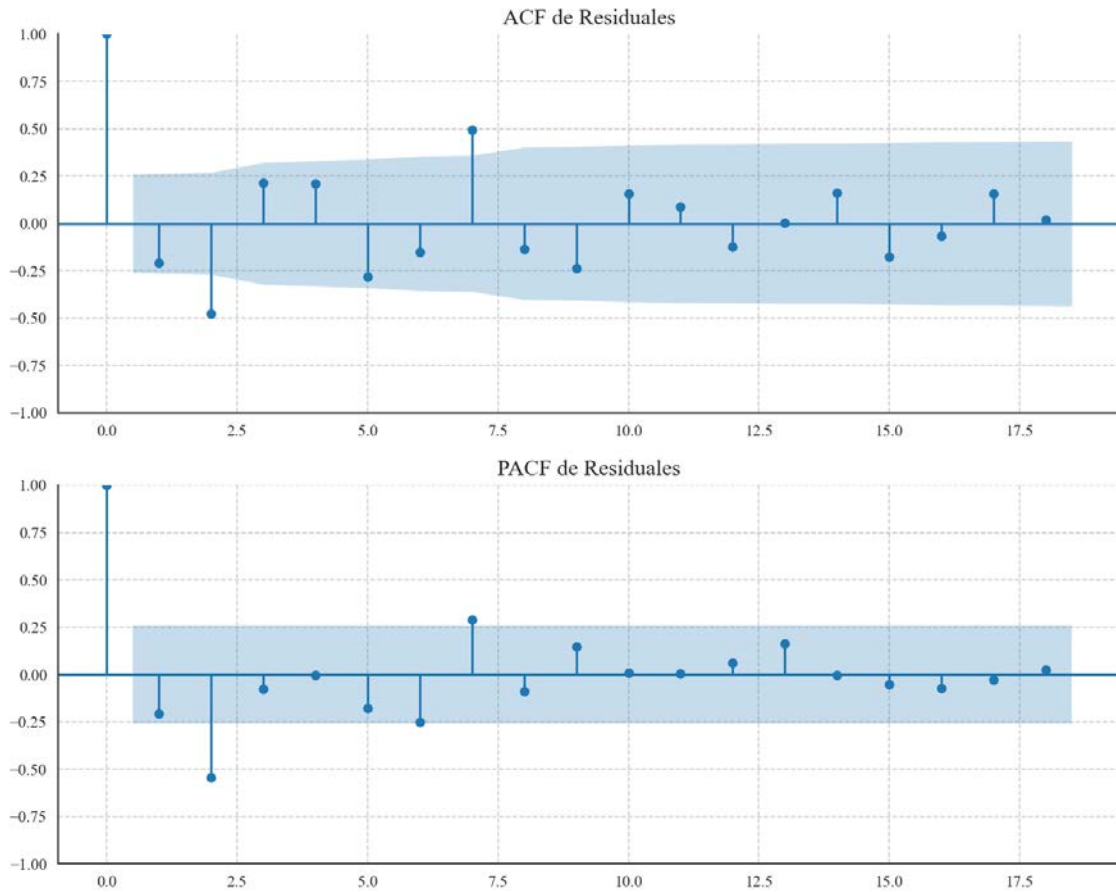
Estacionariedad: Estacionario

No se detectó heterocedasticidad significativa en los residuos.

Los residuales parecen ser aleatorios.

### Gráficos para ERC





### Análisis de Aleatoriedad del Error para ERC

Estadística de Durbin-Watson: 0.0005

Prueba de Ljung-Box:

Estadísticos: 52.1125, p-valor: 0.0000

Prueba de Shapiro-Wilk: Estadístico=0.9849, p-valor=0.6965

Prueba de Dickey-Fuller aumentada: p-valor=0.0198

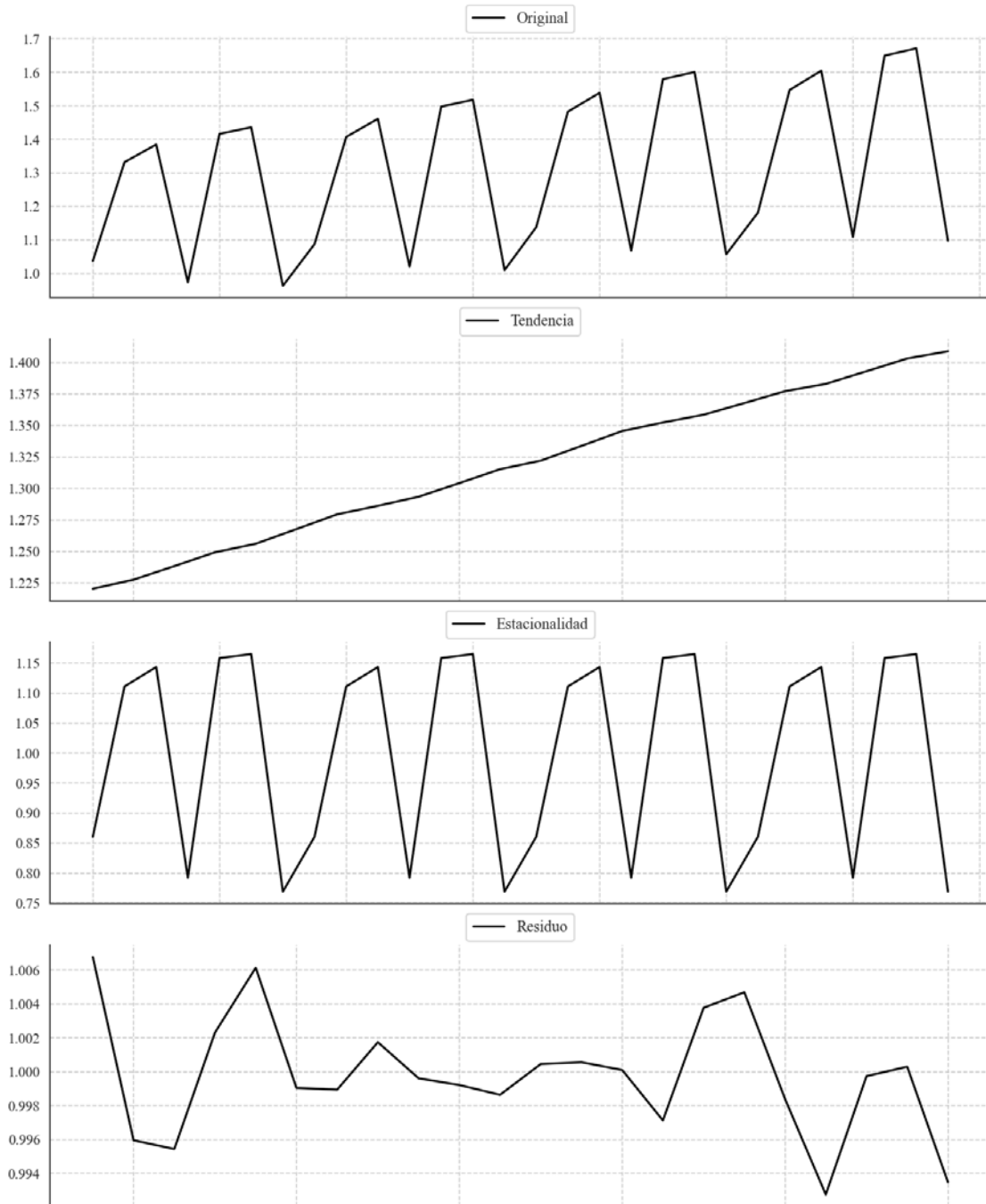
Estacionariedad: Estacionario

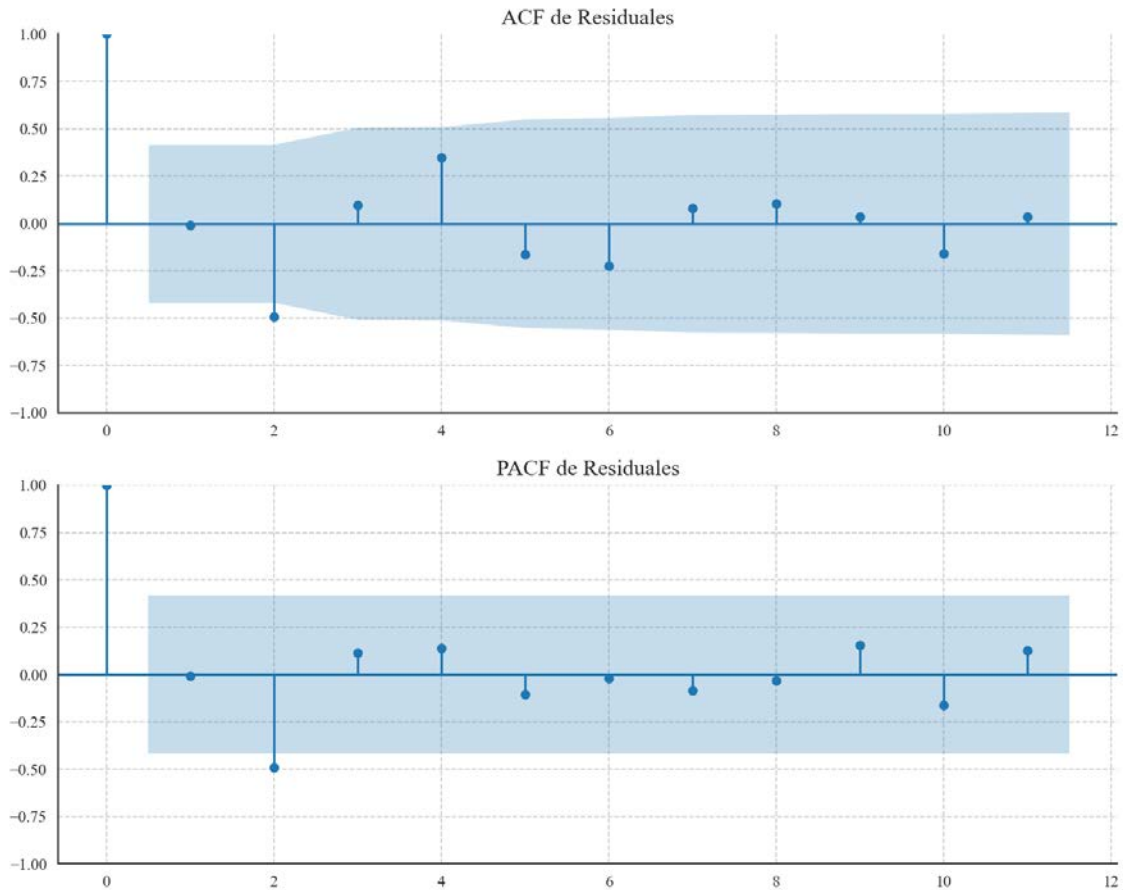
No se detectó heterocedasticidad significativa en los residuos.

Los residuales no son aleatorios.

## Análisis de la Dinámica de Inercia Pasada para ERC

### Gráficos para ERC\_pasado





### Análisis de Aleatoriedad del Error para ERC\_pasado

Estadística de Durbin-Watson: 0.0000

Prueba de Ljung-Box:

Estadísticos: 14.4753, p-valor: 0.1524

Prueba de Shapiro-Wilk: Estadístico=0.9695, p-valor=0.6999

Prueba de Dickey-Fuller aumentada: p-valor=0.6098

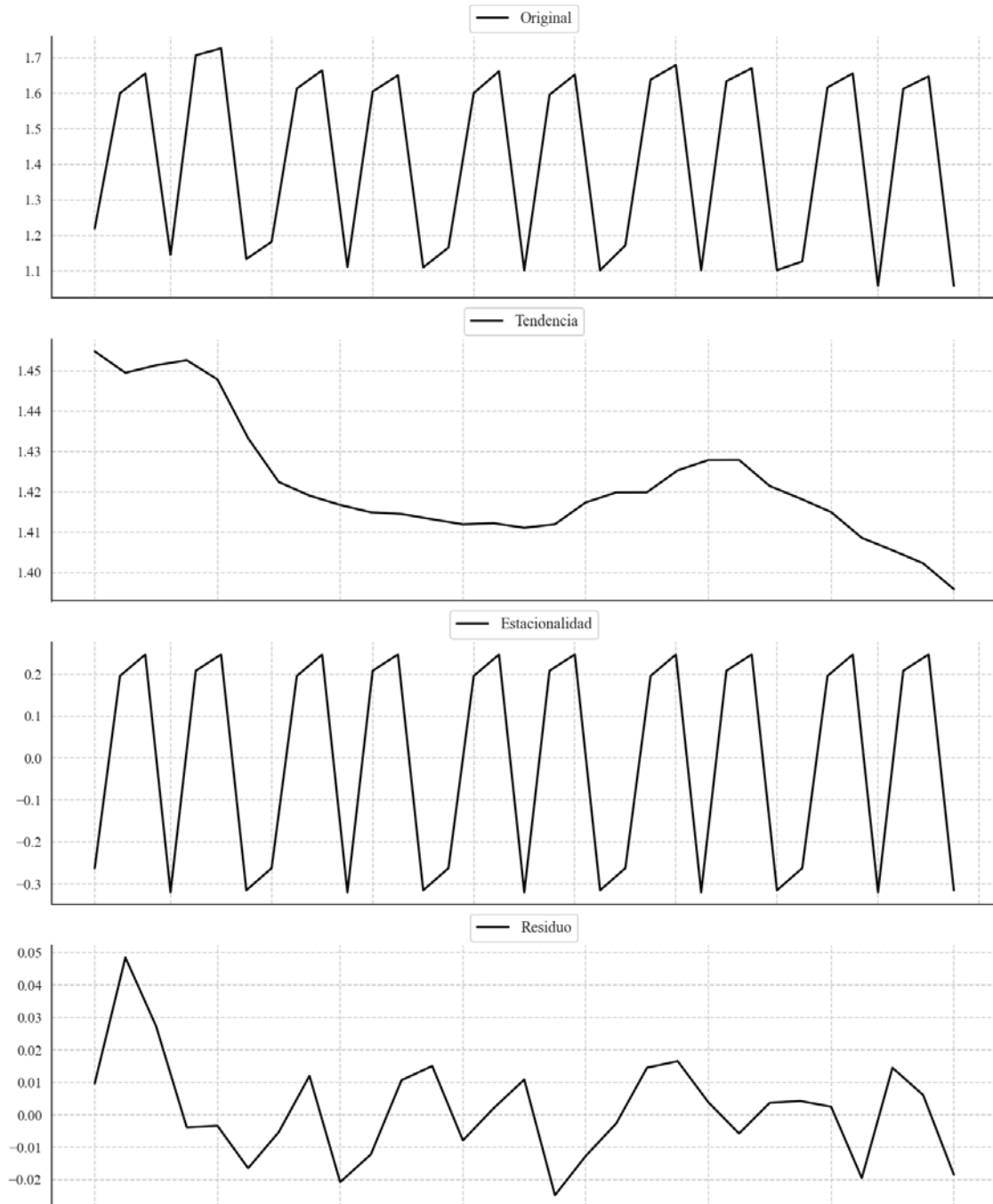
Estacionariedad: No Estacionario

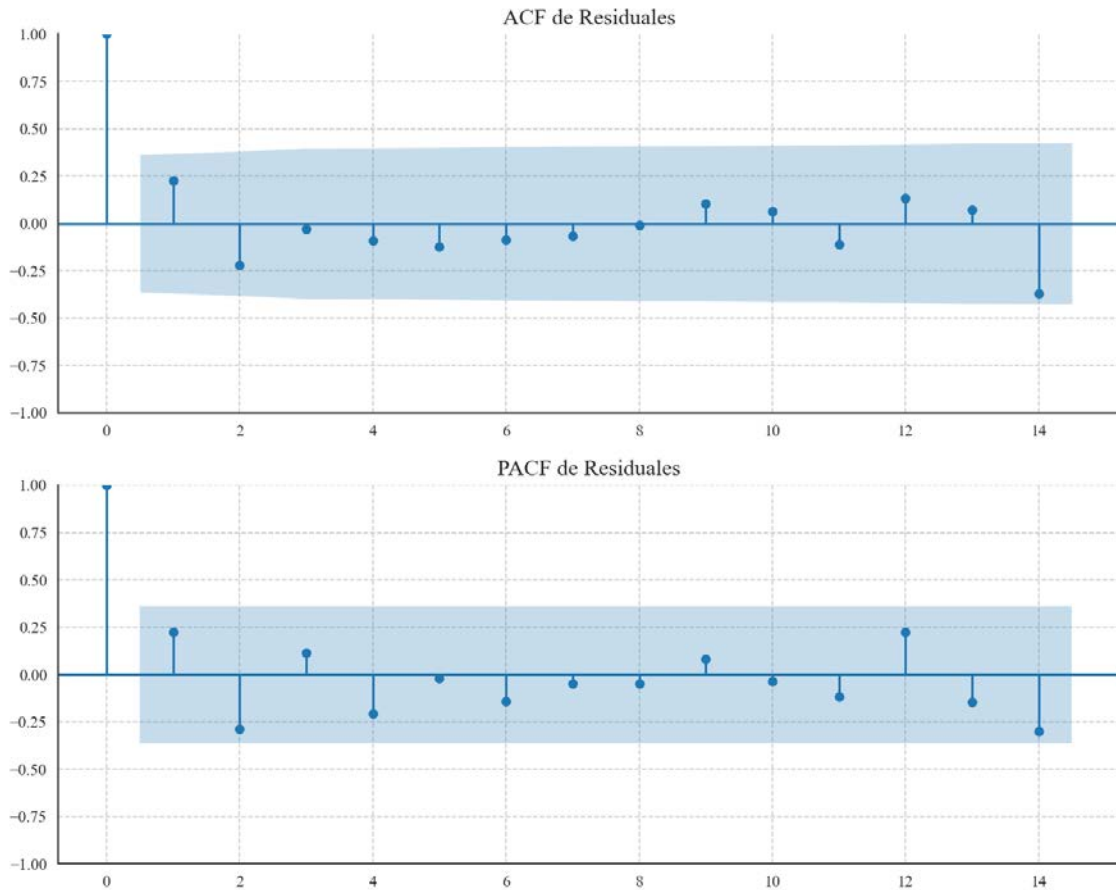
No se detectó heterocedasticidad significativa en los residuos.

Los residuales no son aleatorios.

## Análisis de la Dinámica de Inercia Presente\_Futuro para ERC

### Gráficos para ERC\_futuro





### Análisis de Aleatoriedad del Error para ERC\_futuro

Estadística de Durbin-Watson: 1.4658

Prueba de Ljung-Box:

Estadísticos: 5.3139, p-valor: 0.8692

Prueba de Shapiro-Wilk: Estadístico=0.9547, p-valor=0.2426

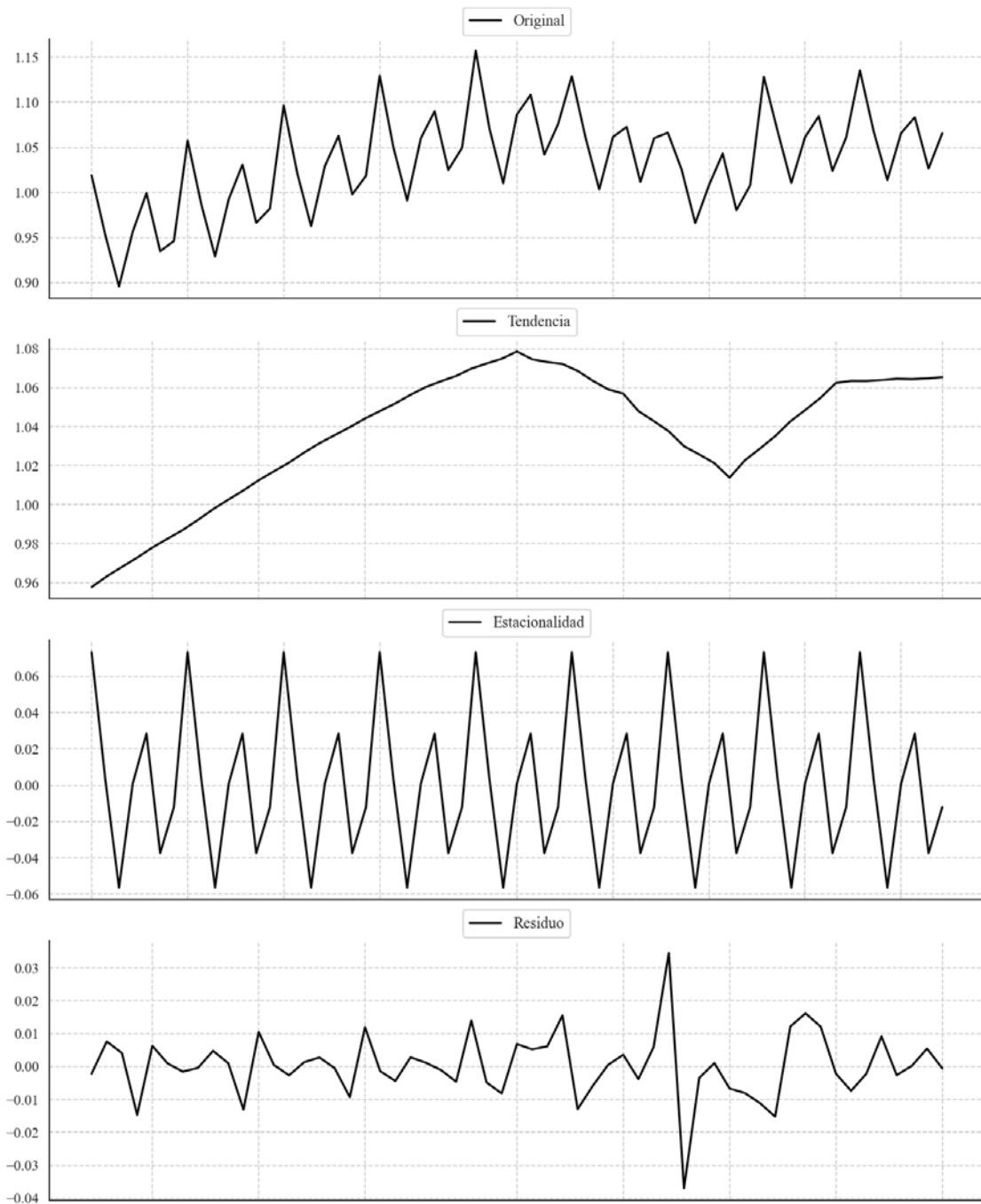
Prueba de Dickey-Fuller aumentada: p-valor=0.0000

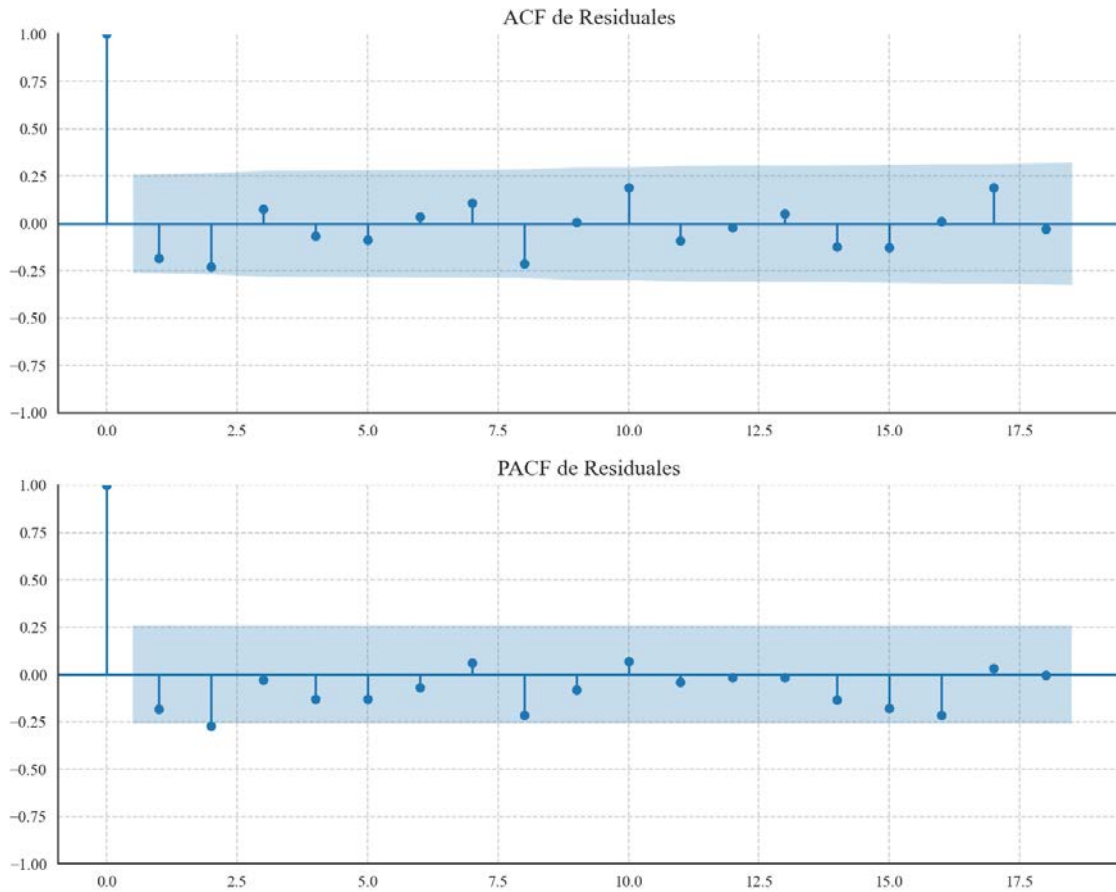
Estacionariedad: Estacionario

No se detectó heterocedasticidad significativa en los residuos.

Los residuales no son aleatorios.

## Gráficos para JxCat





### Análisis de Aleatoriedad del Error para JxCat

Estadística de Durbin-Watson: 2.3640

Prueba de Ljung-Box:

Estadísticos: 12.9050, p-valor: 0.2290

Prueba de Shapiro-Wilk: Estadístico=0.9322, p-valor=0.0033

Prueba de Dickey-Fuller aumentada: p-valor=0.0000

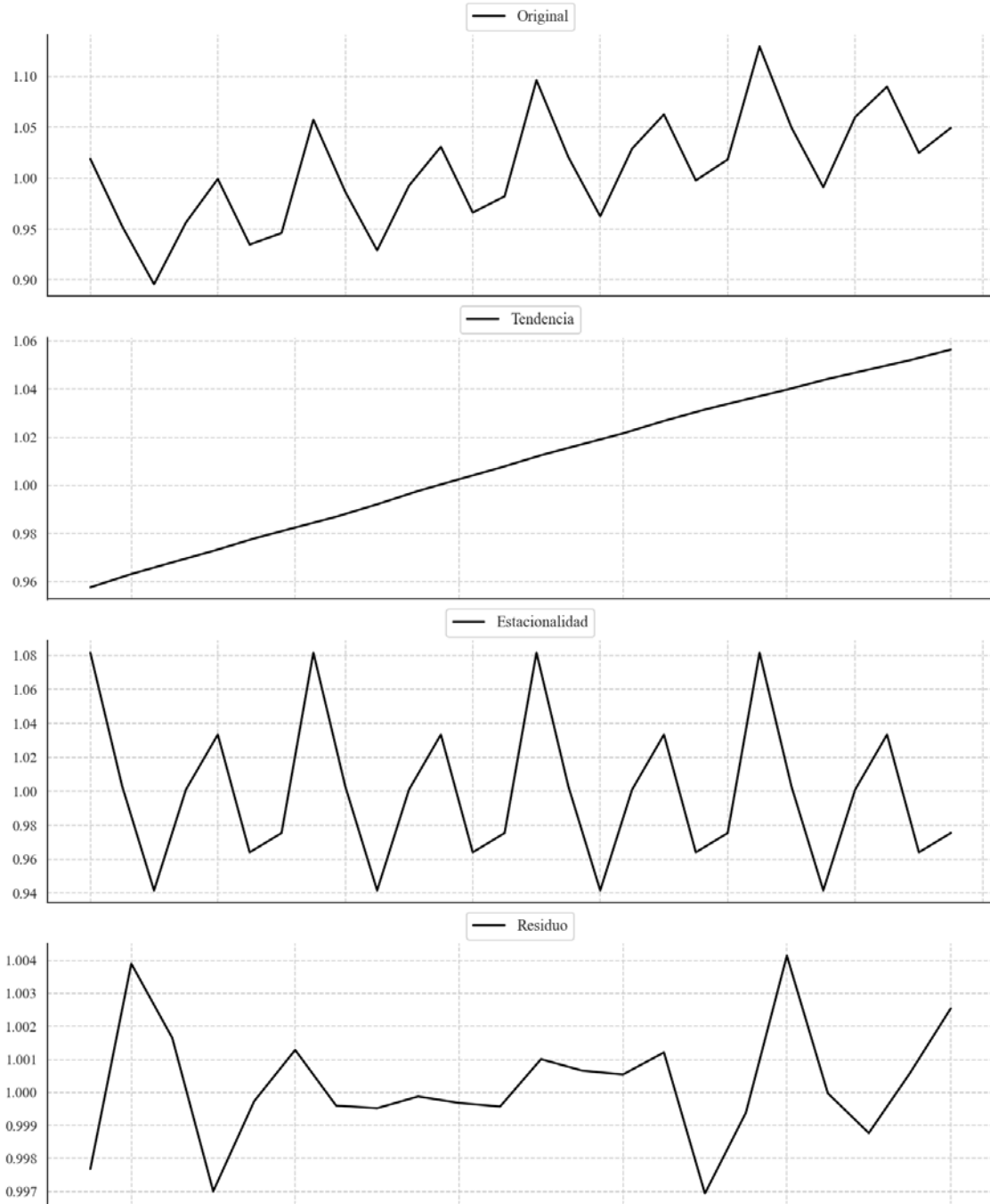
Estacionariedad: Estacionario

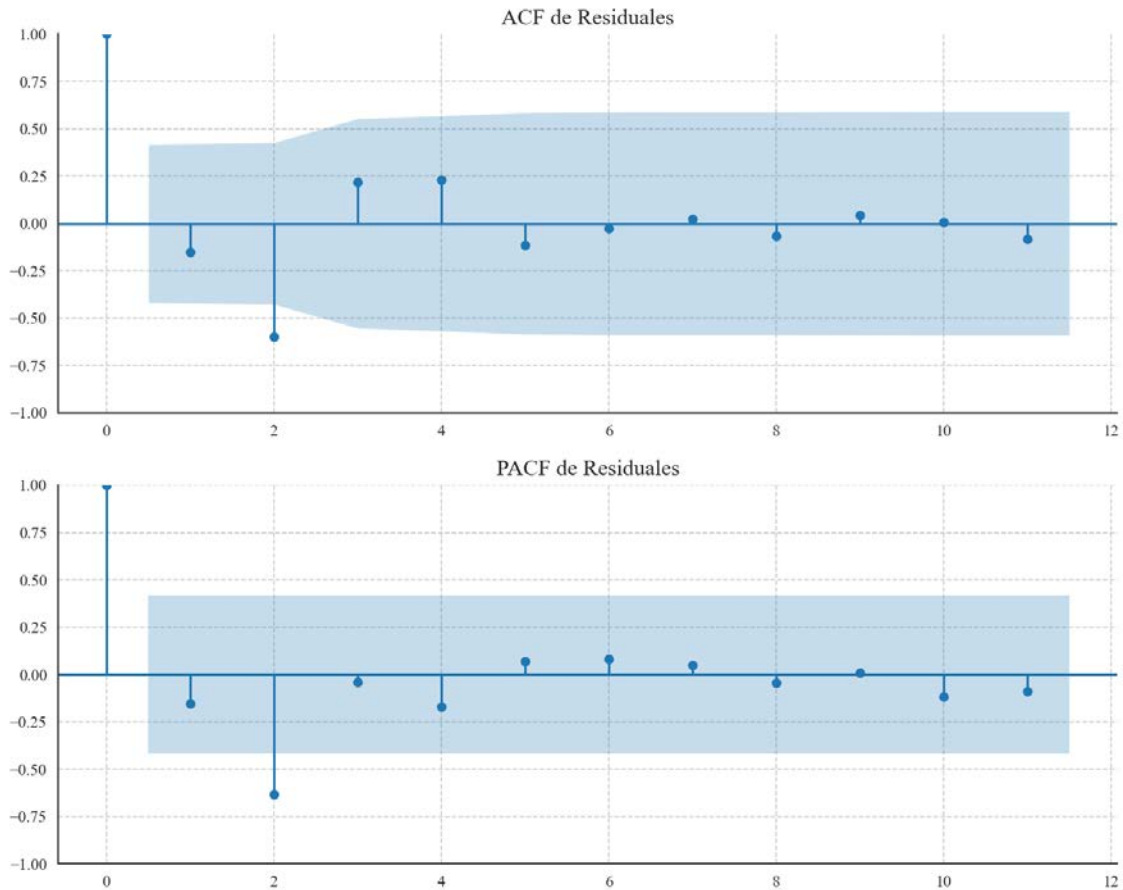
No se detectó heterocedasticidad significativa en los residuos.

Los residuales no son aleatorios.

## Análisis de la Dinámica de Inercia Pasada para JxCat

### Gráficos para JxCat\_pasado





### Análisis de Aleatoriedad del Error para JxCat\_pasado

Estadística de Durbin-Watson: 0.0000

Prueba de Ljung-Box:

Estadísticos: 13.5642, p-valor: 0.1938

Prueba de Shapiro-Wilk: Estadístico=0.9526, p-valor=0.3551

Prueba de Dickey-Fuller aumentada: p-valor=0.0000

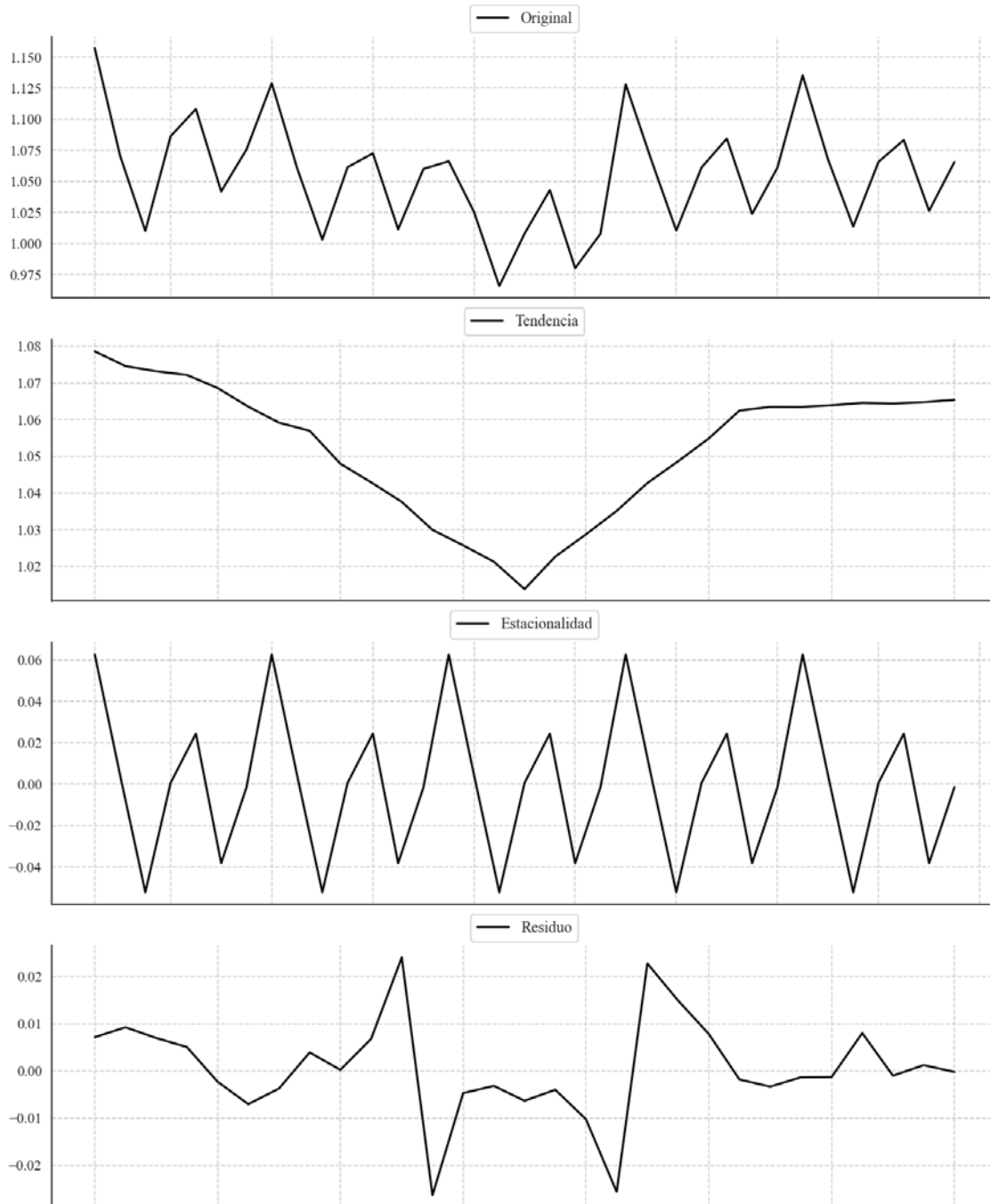
Estacionariedad: Estacionario

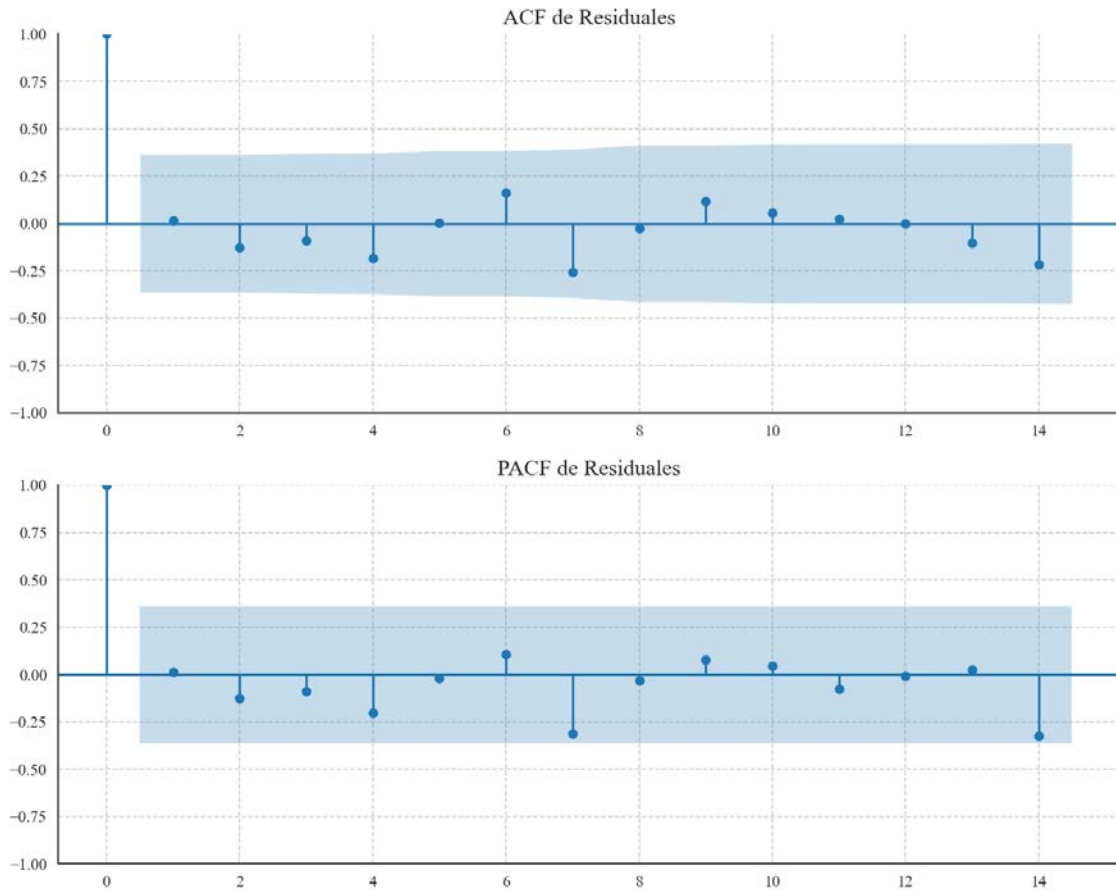
No se detectó heterocedasticidad significativa en los residuos.

Los residuales no son aleatorios.

## Análisis de la Dinámica de Inercia Presente\_Futuro para JxCat

### Gráficos para JxCat\_futuro





### Análisis de Aleatoriedad del Error para JxCat\_futuro

Estadística de Durbin-Watson: 1.9534

Prueba de Ljung-Box:

Estadísticos: 6.5177, p-valor: 0.7701

Prueba de Shapiro-Wilk: Estadístico=0.9261, p-valor=0.0435

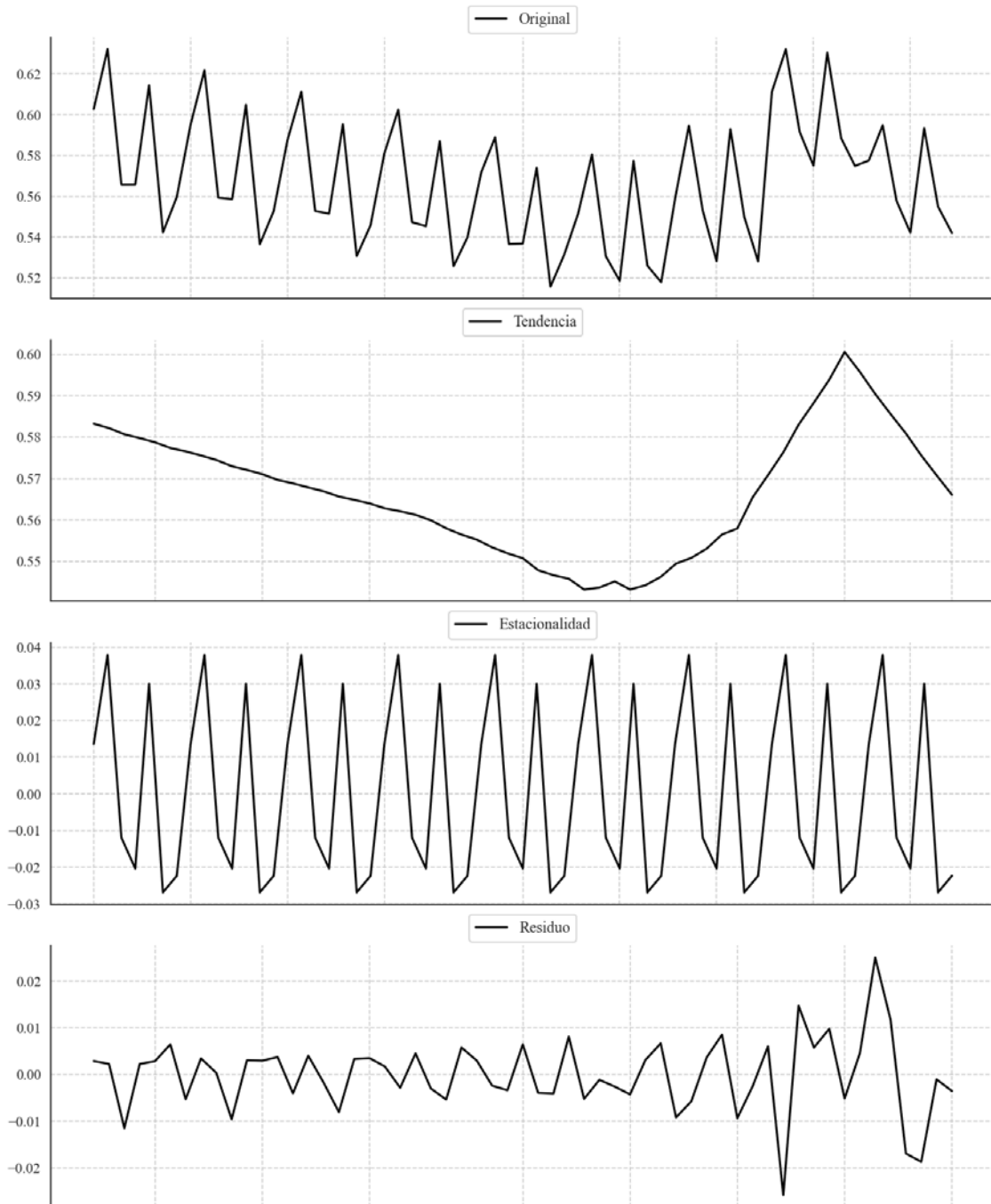
Prueba de Dickey-Fuller aumentada: p-valor=0.0000

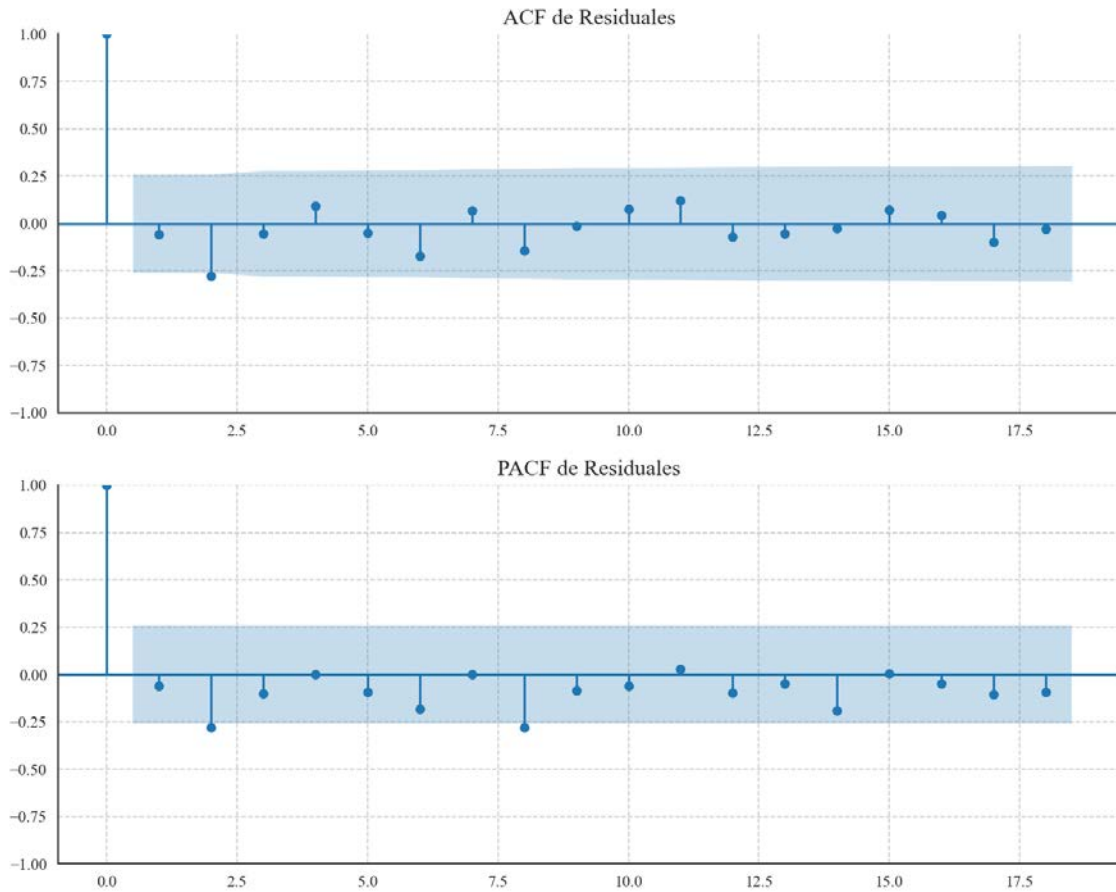
Estacionariedad: Estacionario

No se detectó heterocedasticidad significativa en los residuos.

Los residuales no son aleatorios.

## Gráficos para BNG





### Análisis de Aleatoriedad del Error para BNG

Estadística de Durbin-Watson: 2.1111

Prueba de Ljung-Box:

Estadísticos: 9.8133, p-valor: 0.4570

Prueba de Shapiro-Wilk: Estadístico=0.9522, p-valor=0.0249

Prueba de Dickey-Fuller aumentada: p-valor=0.0000

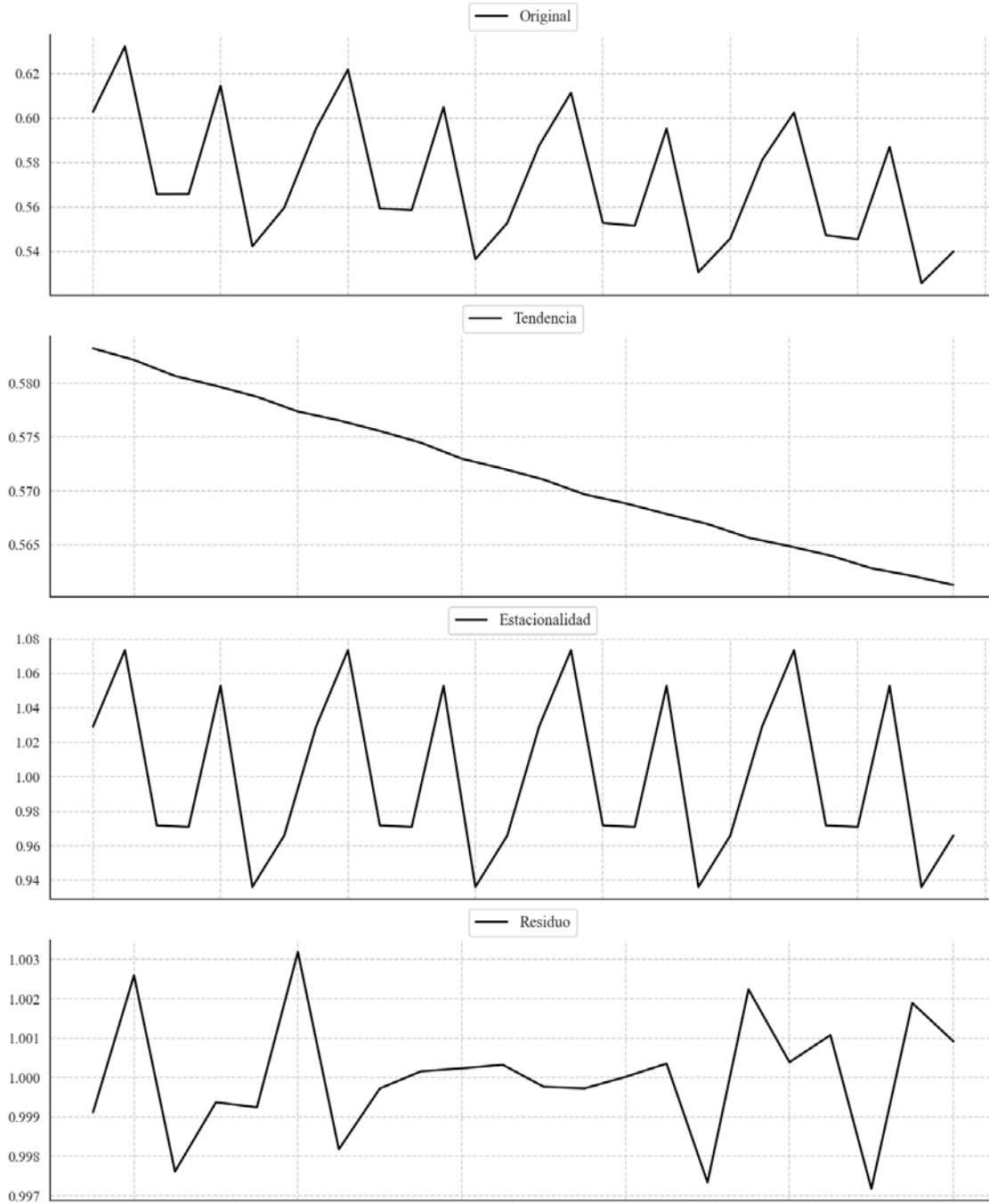
Estacionariedad: Estacionario

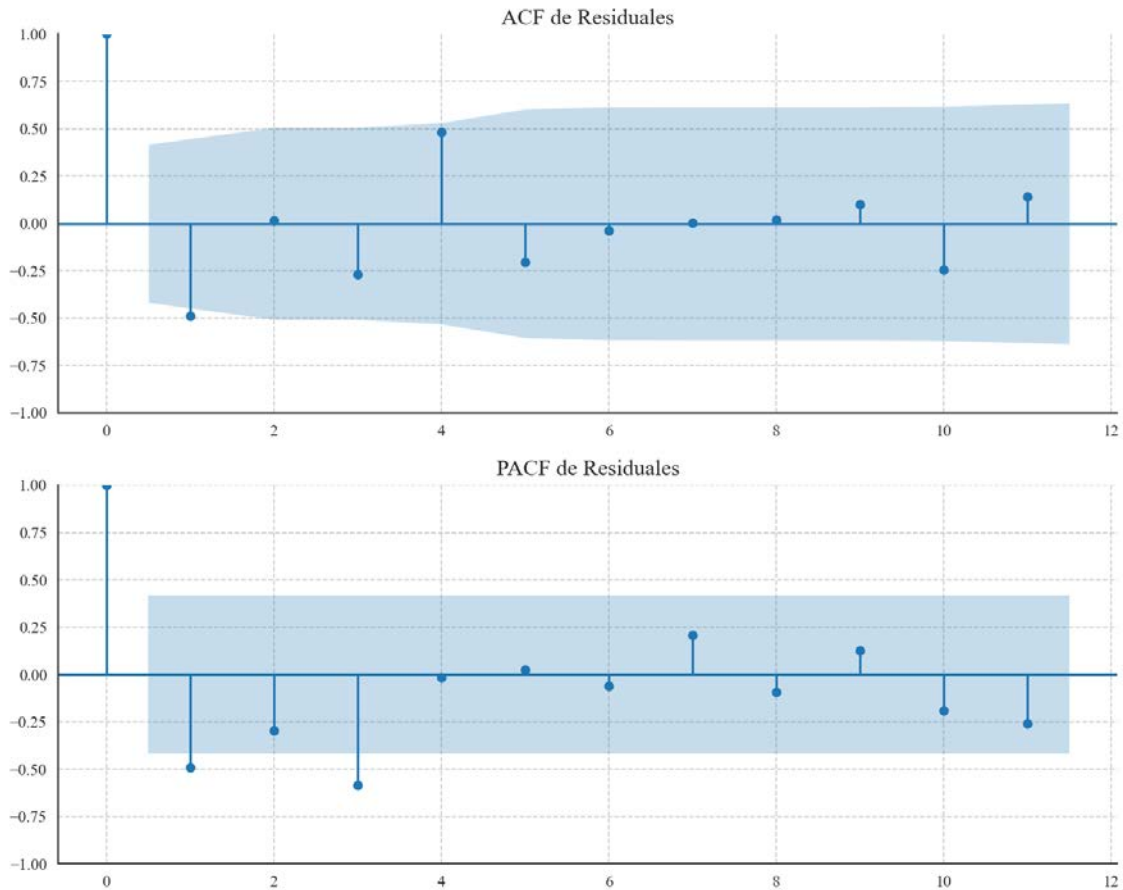
Se detectó heterocedasticidad en los residuos (Prueba de Breusch-Pagan significativa).

Los residuales no son aleatorios.

## Análisis de la Dinámica de Inercia Pasada para BNG

### Gráficos para BNG\_pasado





### Análisis de Aleatoriedad del Error para BNG\_pasado

Estadística de Durbin-Watson: 0.0000

Prueba de Ljung-Box:

Estadísticos: 19.3427, p-valor: 0.0361

Prueba de Shapiro-Wilk: Estadístico=0.9647, p-valor=0.5893

Prueba de Dickey-Fuller aumentada: p-valor=0.0235

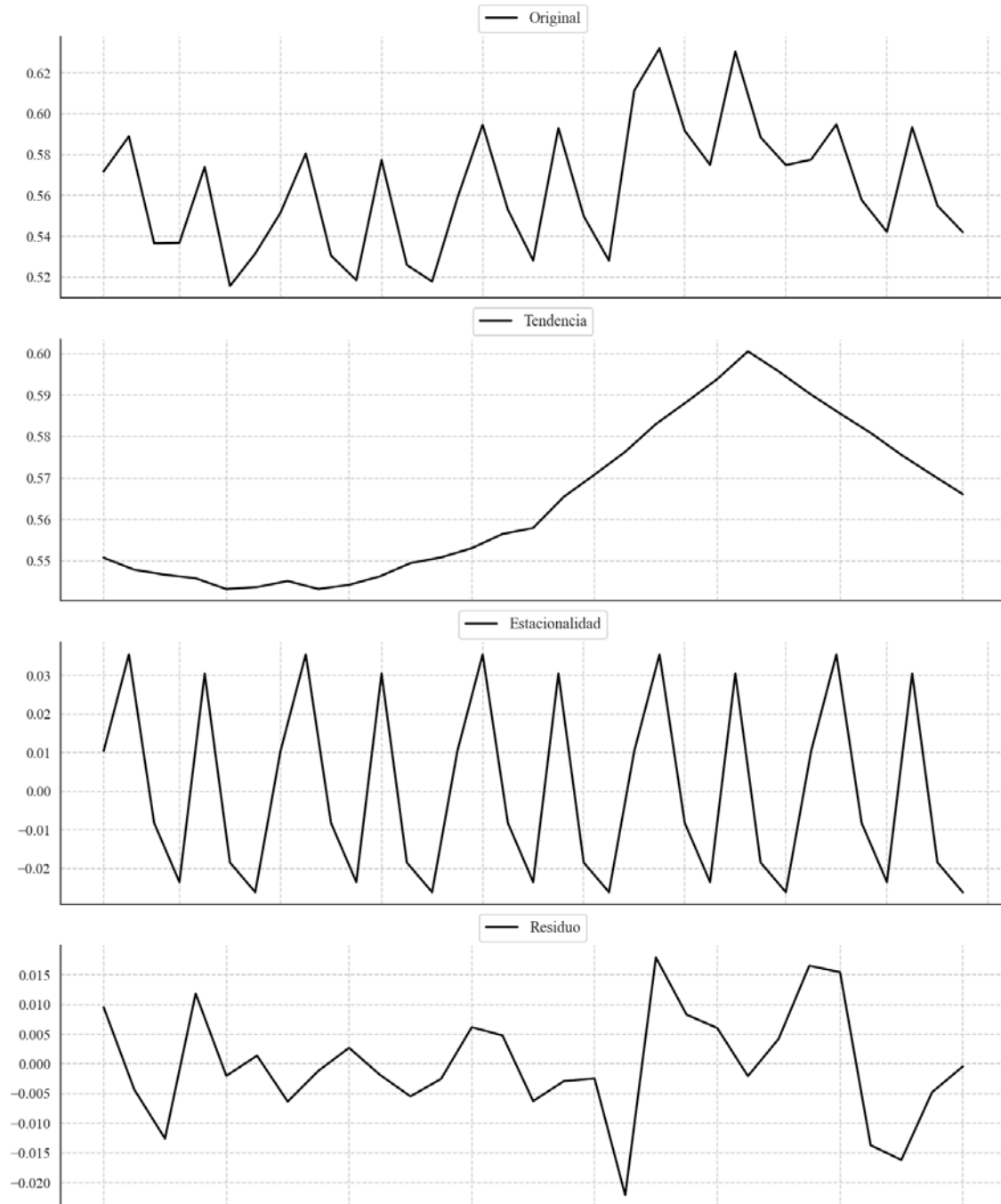
Estacionariedad: Estacionario

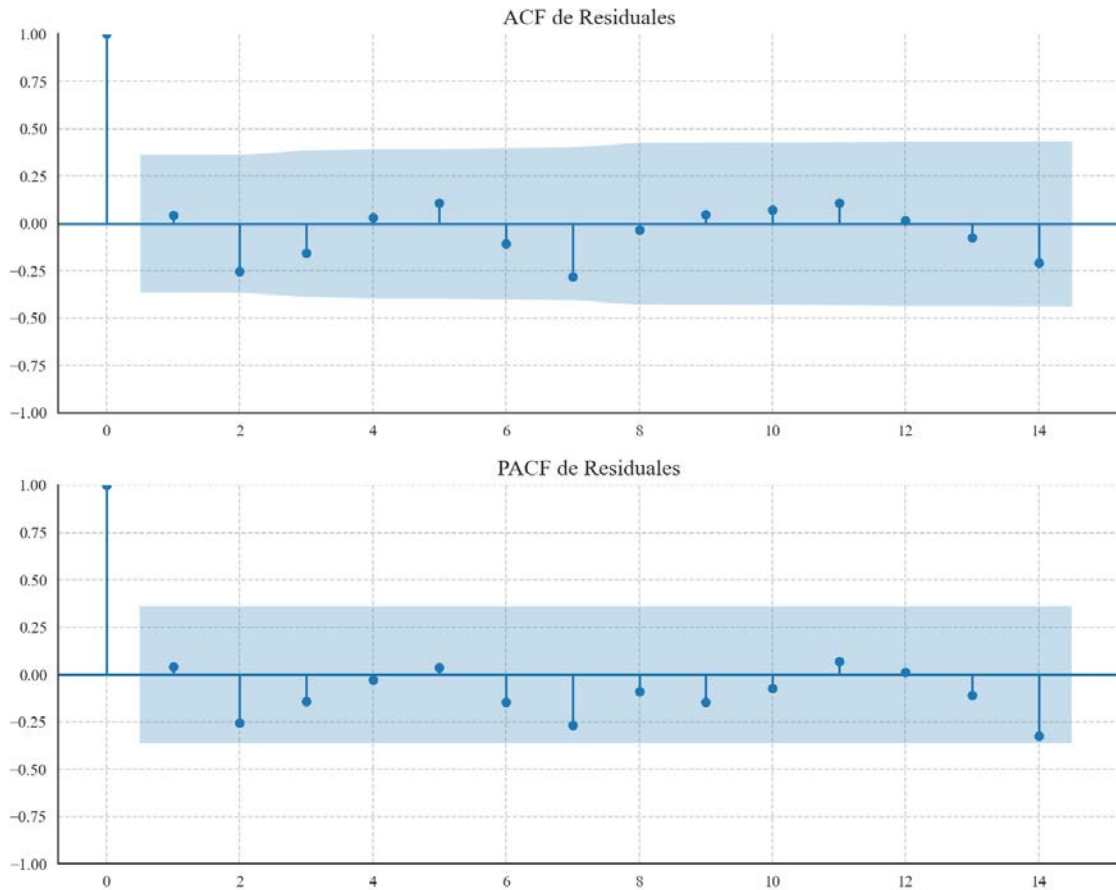
No se detectó heterocedasticidad significativa en los residuos.

Los residuales no son aleatorios.

## Análisis de la Dinámica de Inercia Presente\_Futuro para BNG

### Gráficos para BNG\_futuro





### Análisis de Aleatoriedad del Error para BNG\_futuro

Estadística de Durbin-Watson: 1.8764

Prueba de Ljung-Box:

Estadísticos: 7.5948, p-valor: 0.6683

Prueba de Shapiro-Wilk: Estadístico=0.9755, p-valor=0.7150

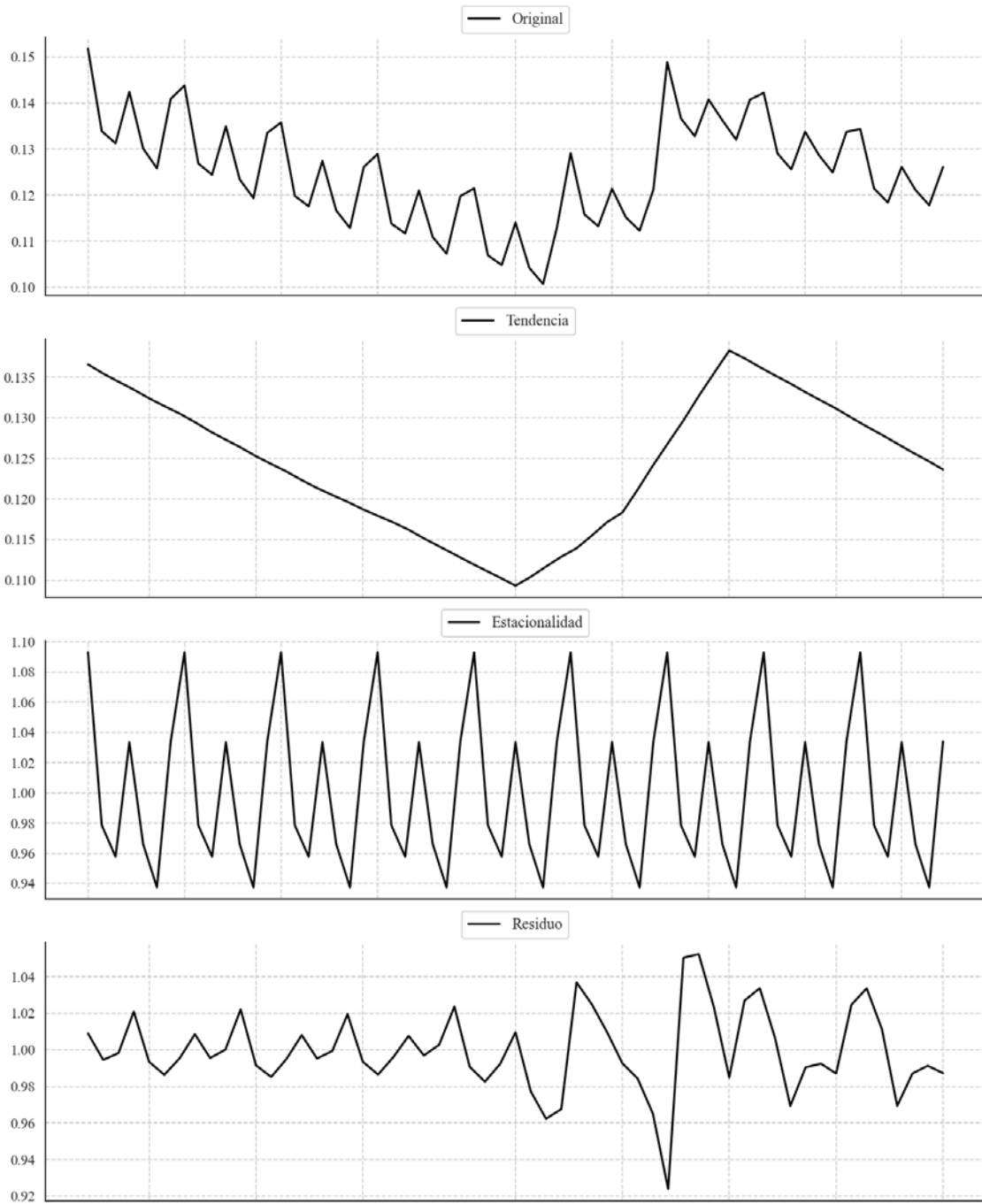
Prueba de Dickey-Fuller aumentada: p-valor=0.0000

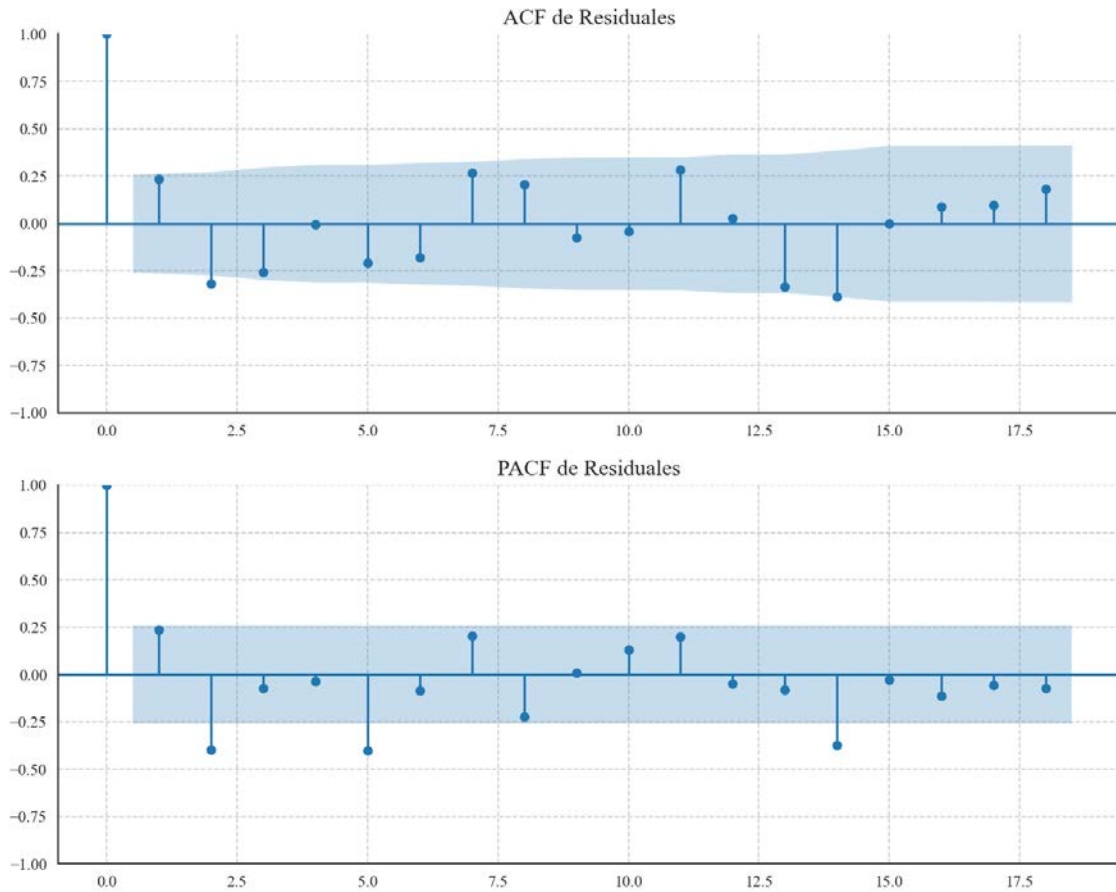
Estacionariedad: Estacionario

No se detectó heterocedasticidad significativa en los residuos.

Los residuales parecen ser aleatorios.

### Gráficos para UPN





### Análisis de Aleatoriedad del Error para UPN

Estadística de Durbin-Watson: 0.0008

Prueba de Ljung-Box:

Estadísticos: 26.7772, p-valor: 0.0028

Prueba de Shapiro-Wilk: Estadístico=0.9599, p-valor=0.0564

Prueba de Dickey-Fuller aumentada: p-valor=0.0000

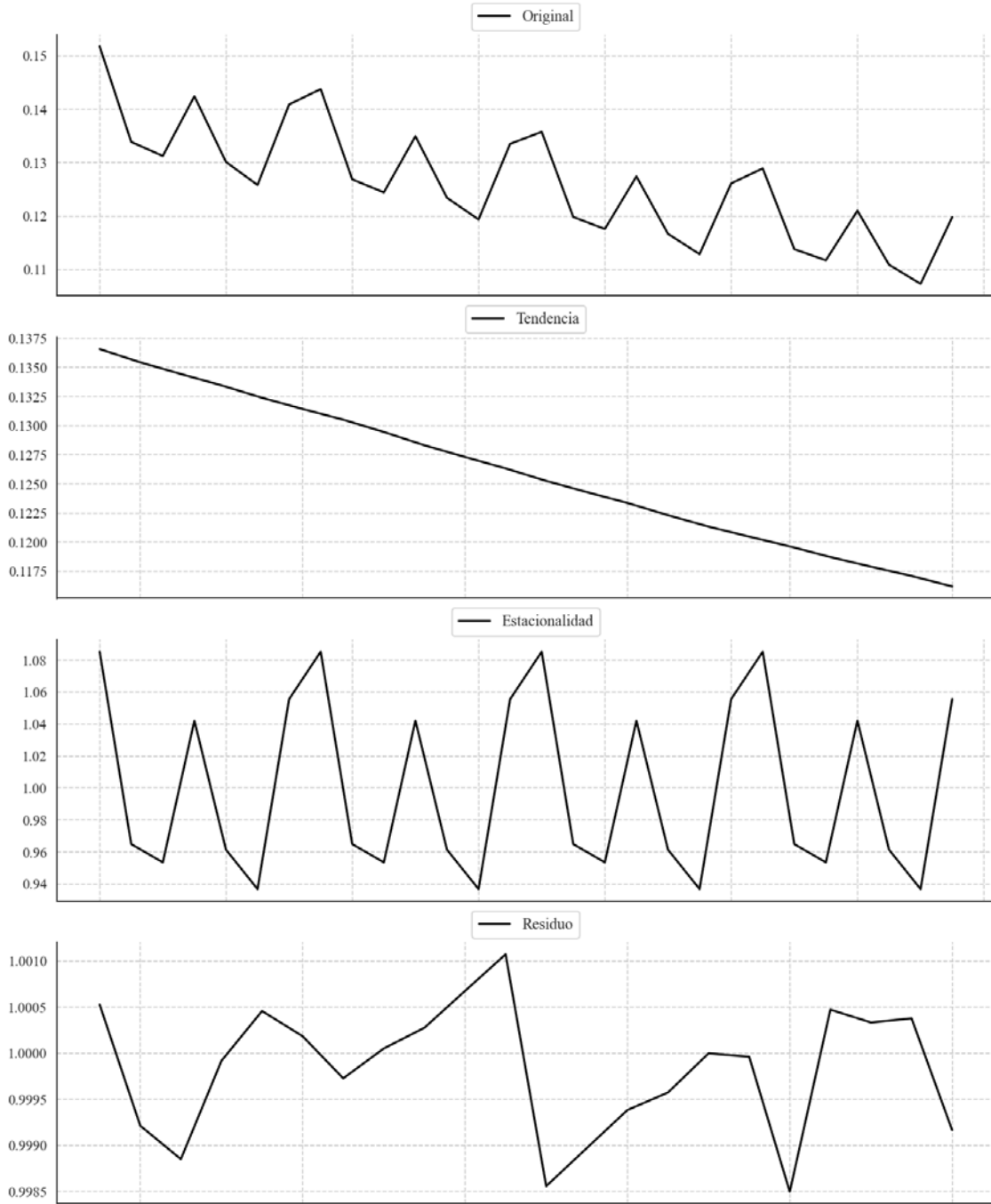
Estacionariedad: Estacionario

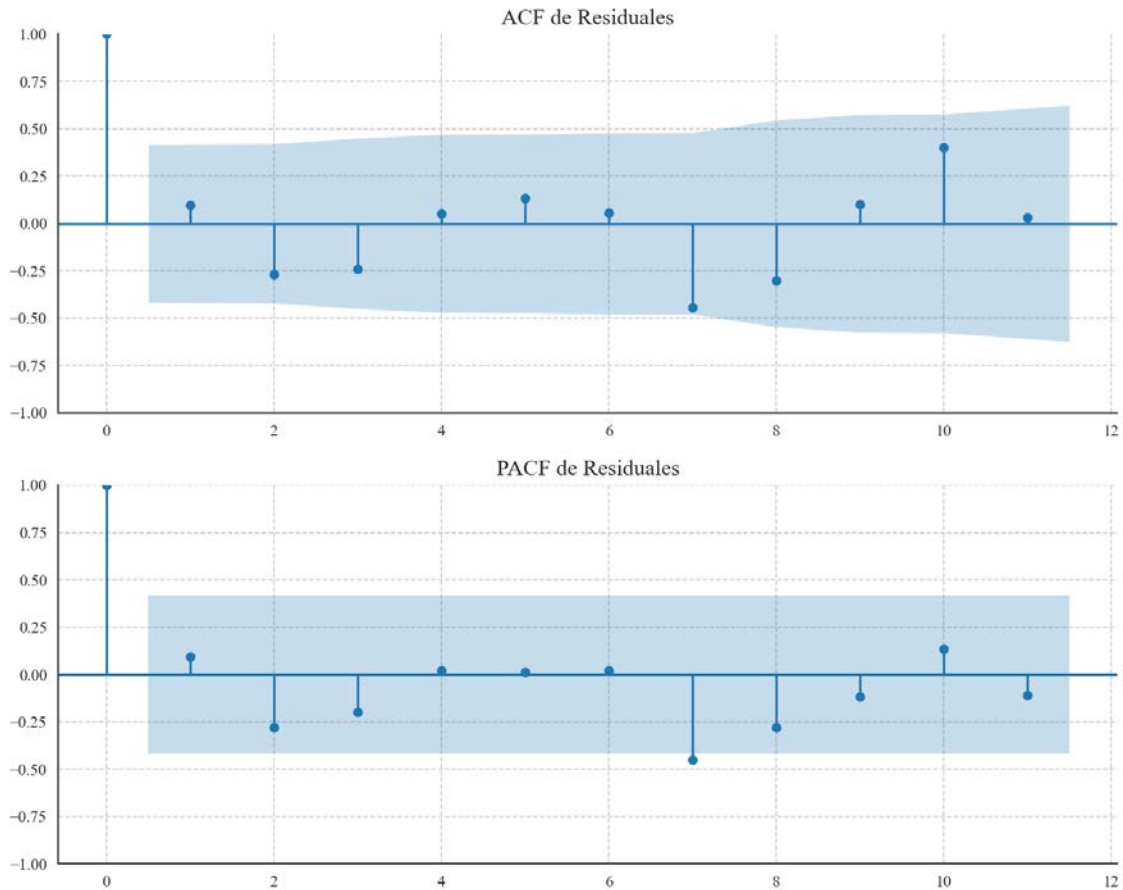
No se detectó heterocedasticidad significativa en los residuos.

Los residuales no son aleatorios.

## Análisis de la Dinámica de Inercia Pasada para UPN

### Gráficos para UPN\_pasado





### Análisis de Aleatoriedad del Error para UPN\_pasado

Estadística de Durbin-Watson: 0.0000

Prueba de Ljung-Box:

Estadísticos: 22.2406, p-valor: 0.0139

Prueba de Shapiro-Wilk: Estadístico=0.9558, p-valor=0.4098

Prueba de Dickey-Fuller aumentada: p-valor=0.9751

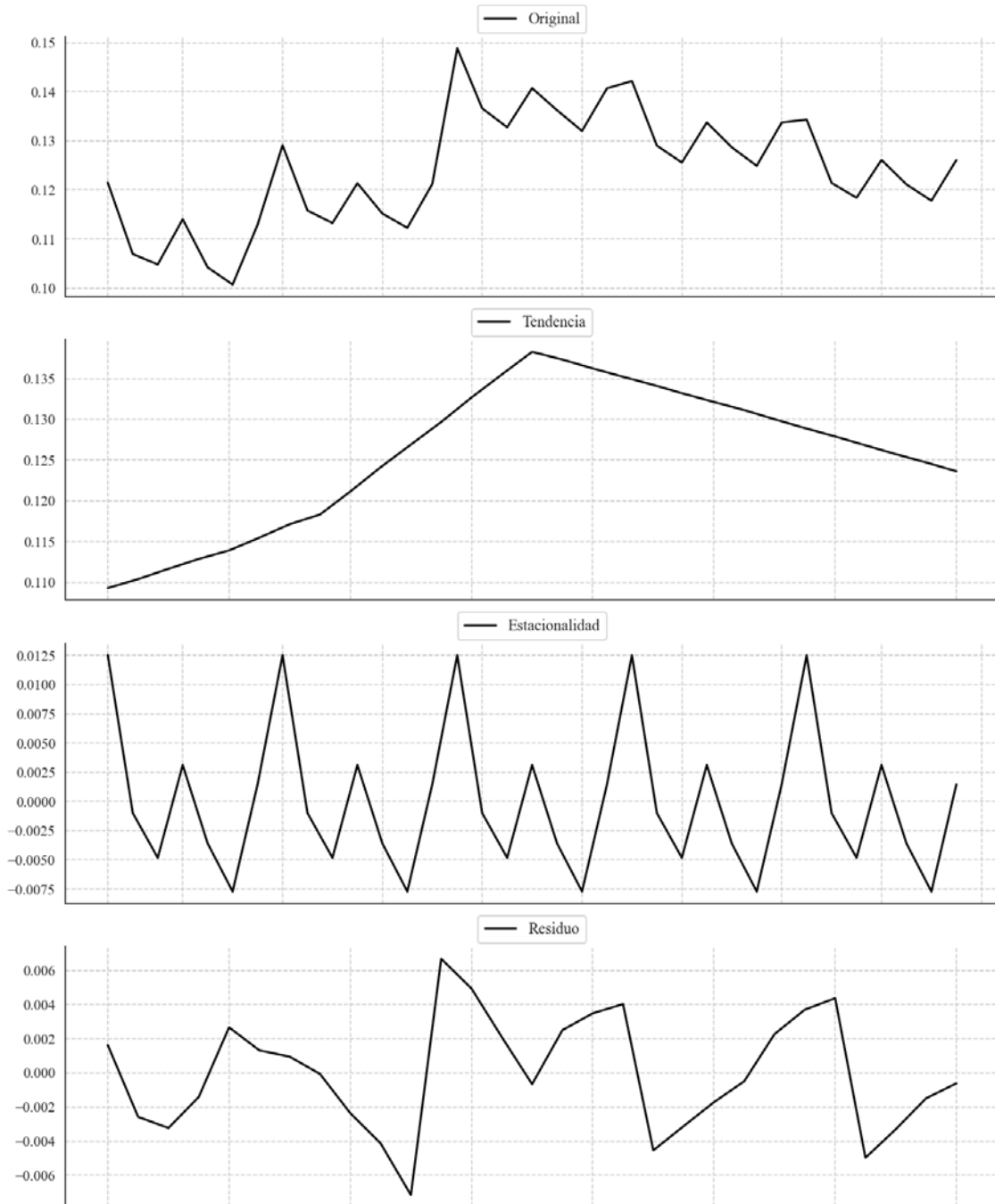
Estacionariedad: No Estacionario

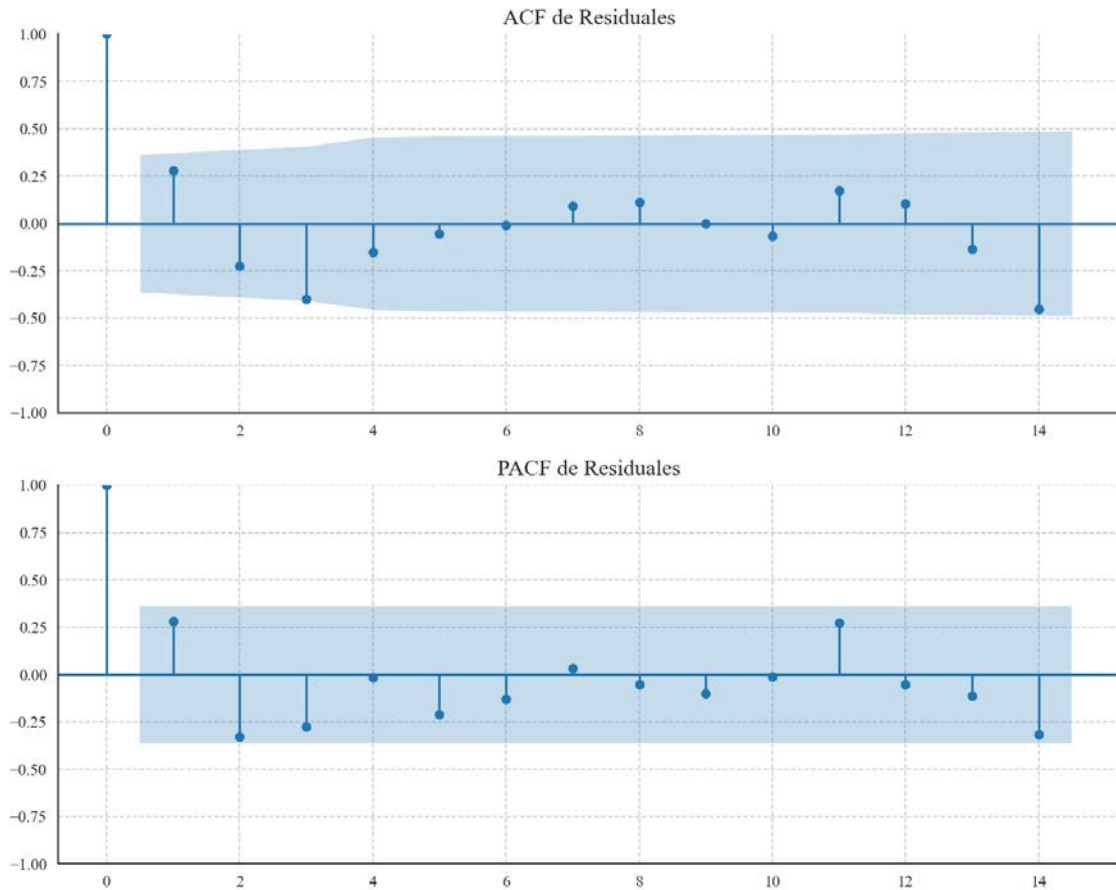
No se detectó heterocedasticidad significativa en los residuos.

Los residuales no son aleatorios.

## Análisis de la Dinámica de Inercia Presente\_Futuro para UPN

### Gráficos para UPN\_futuro





### Análisis de Aleatoriedad del Error para UPN\_futuro

Estadística de Durbin-Watson: 1.4314

Prueba de Ljung-Box:

Estadísticos: 11.7156, p-valor: 0.3045

Prueba de Shapiro-Wilk: Estadístico=0.9847, p-valor=0.9375

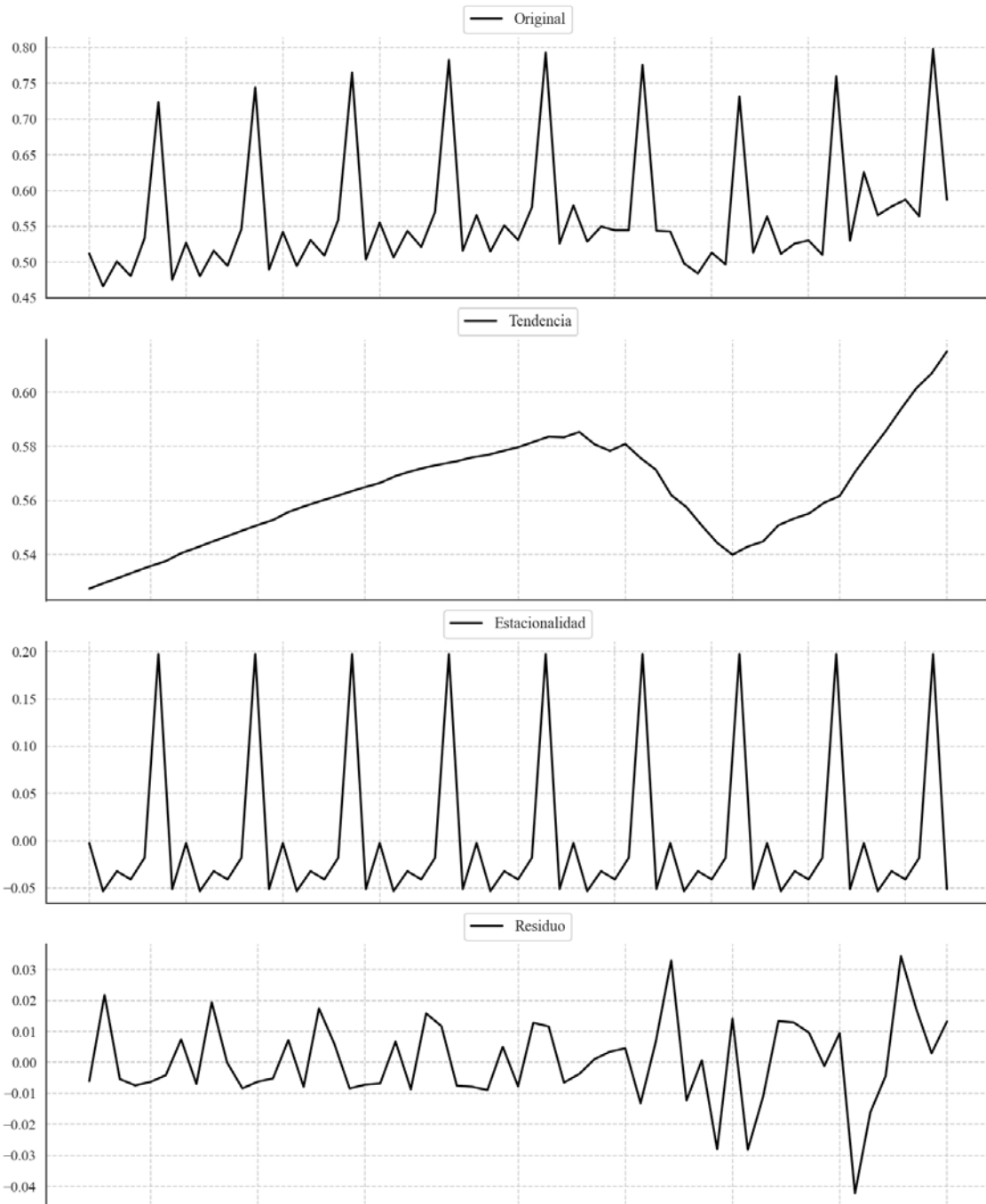
Prueba de Dickey-Fuller aumentada: p-valor=0.0025

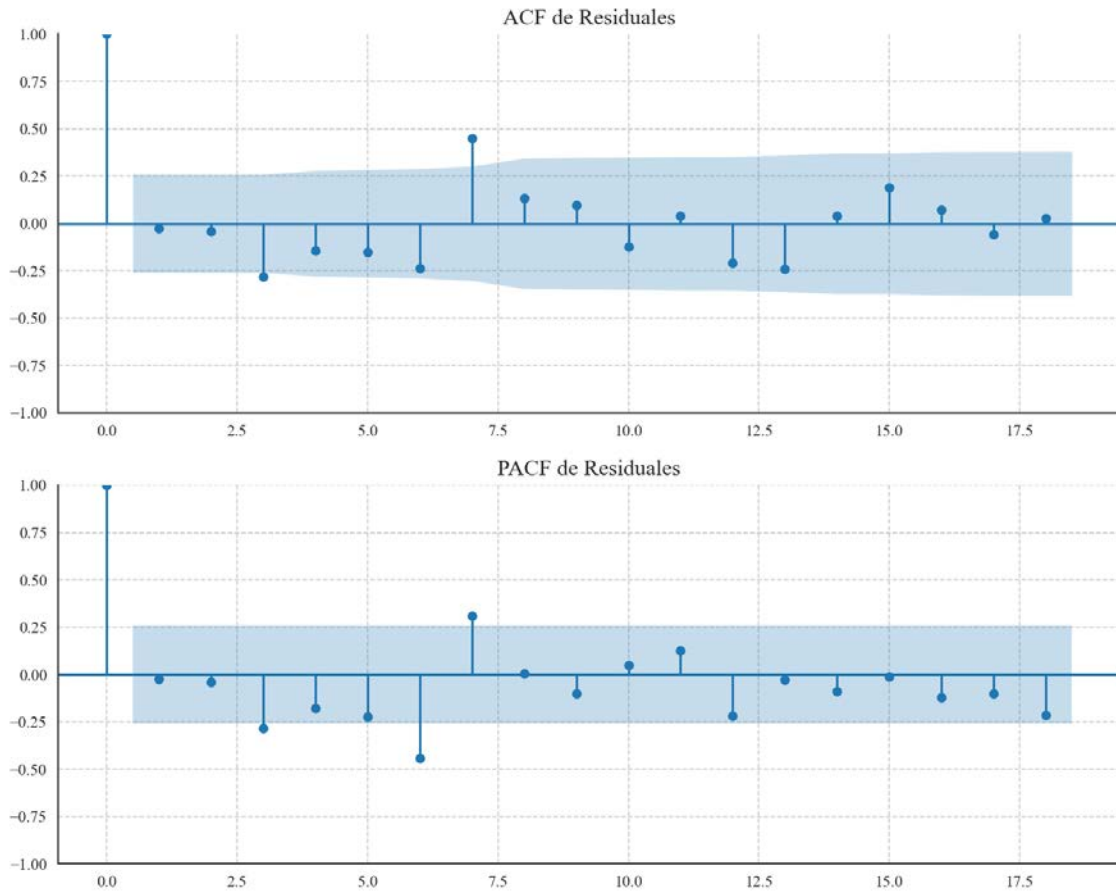
Estacionariedad: Estacionario

No se detectó heterocedasticidad significativa en los residuos.

Los residuales no son aleatorios.

### Gráficos para EAJ-PNV





### Análisis de Aleatoriedad del Error para EAJ-PNV

Estadística de Durbin-Watson: 2.0286

Prueba de Ljung-Box:

Estadísticos: 28.1786, p-valor: 0.0017

Prueba de Shapiro-Wilk: Estadístico=0.9584, p-valor=0.0481

Prueba de Dickey-Fuller aumentada: p-valor=0.0013

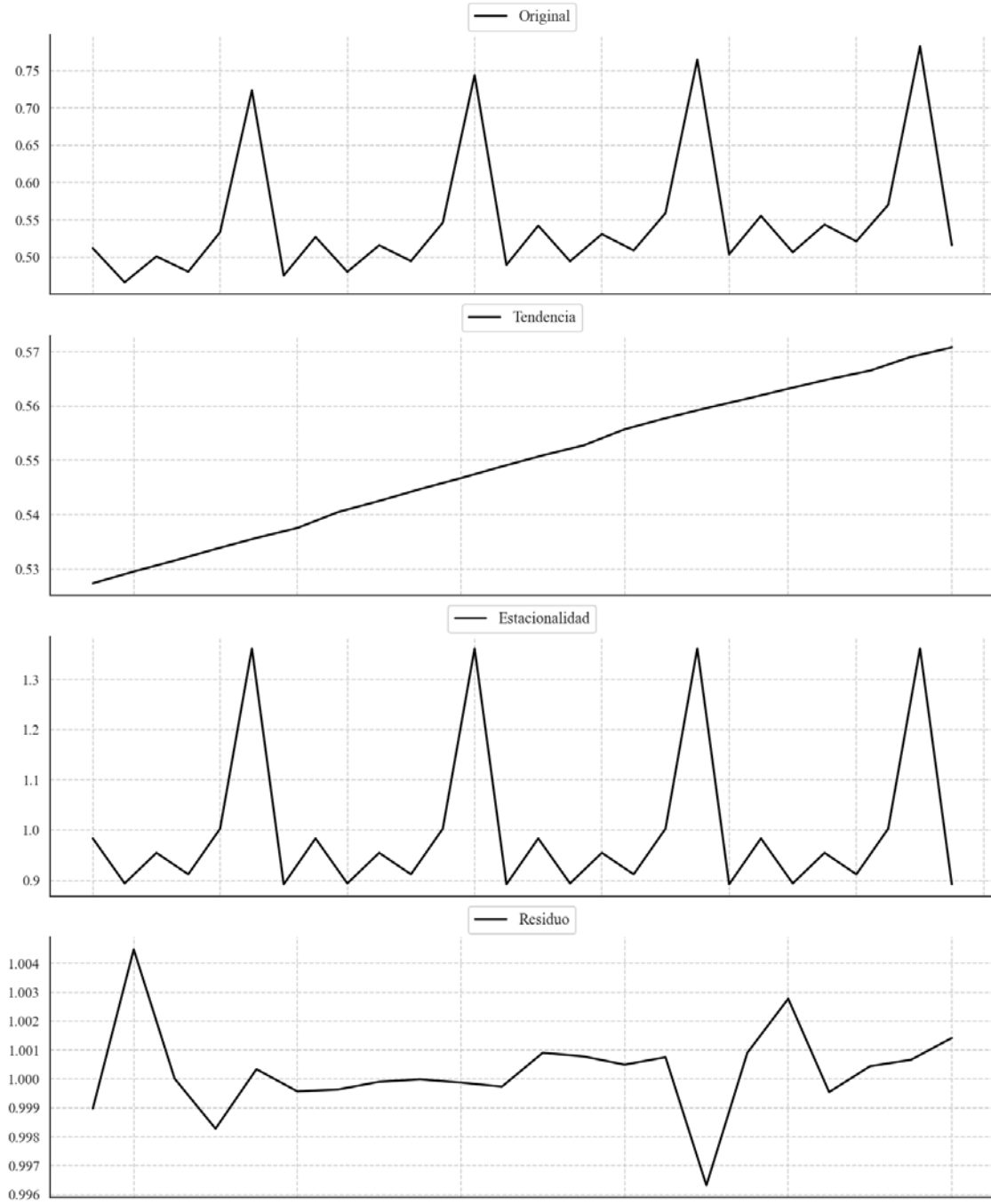
Estacionariedad: Estacionario

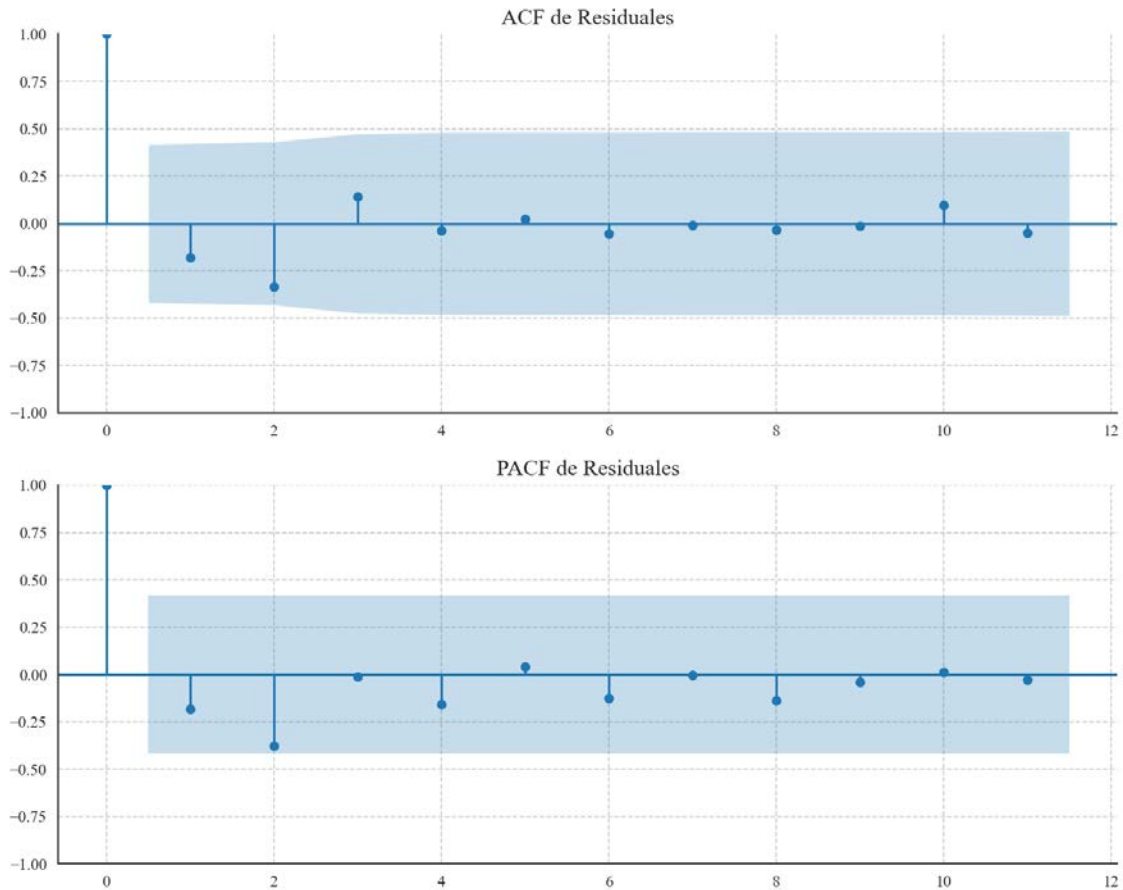
Se detectó heterocedasticidad en los residuos (Prueba de Breusch-Pagan significativa).

Los residuales no son aleatorios.

## Análisis de la Dinámica de Inercia Pasada para EAJ-PNV

### Gráficos para EAJ-PNV\_pasado





### Análisis de Aleatoriedad del Error para EAJ-PNV\_pasado

Estadística de Durbin-Watson: 0.0000

Prueba de Ljung-Box:

Estadísticos: 4.9569, p-valor: 0.8940

Prueba de Shapiro-Wilk: Estadístico=0.9023, p-valor=0.0331

Prueba de Dickey-Fuller aumentada: p-valor=0.0000

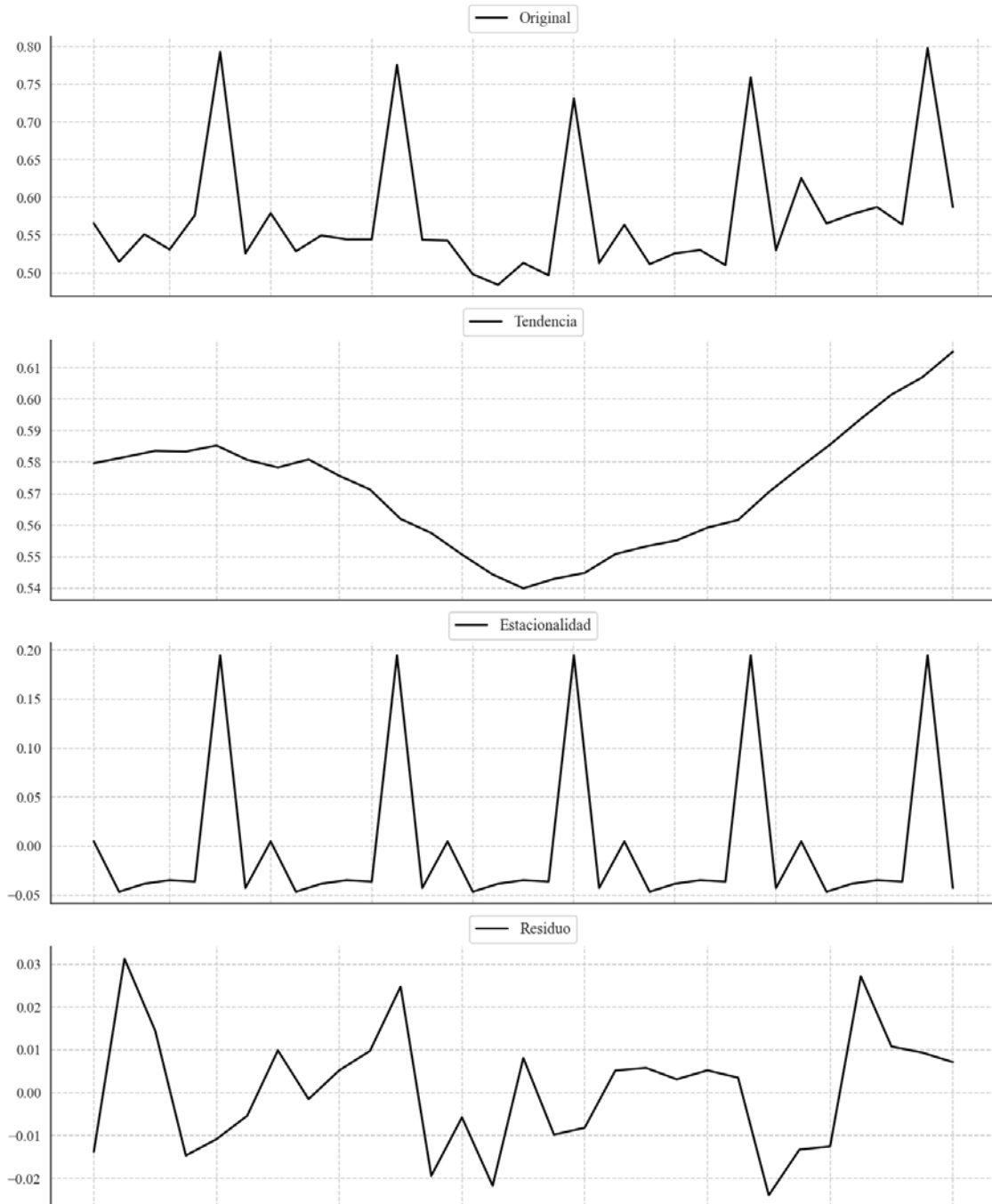
Estacionariedad: Estacionario

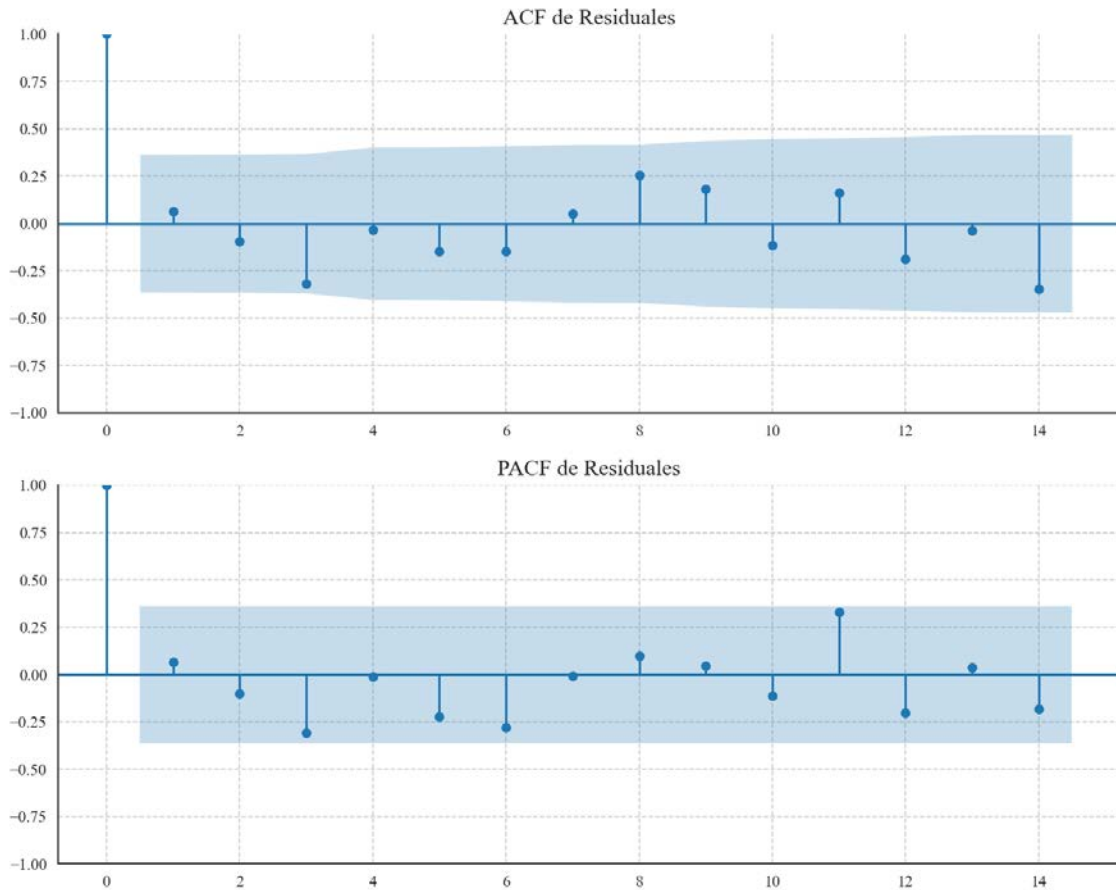
No se detectó heterocedasticidad significativa en los residuos.

Los residuales no son aleatorios.

## Análisis de la Dinámica de Inercia Presente\_Futuro para EAJ-PNV

### Gráficos para EAJ-PNV\_futuro





### Análisis de Aleatoriedad del Error para EAJ-PNV\_futuro

Estadística de Durbin-Watson: 1.8223

Prueba de Ljung-Box:

Estadísticos: 10.5537, p-valor: 0.3933

Prueba de Shapiro-Wilk: Estadístico=0.9641, p-valor=0.4133

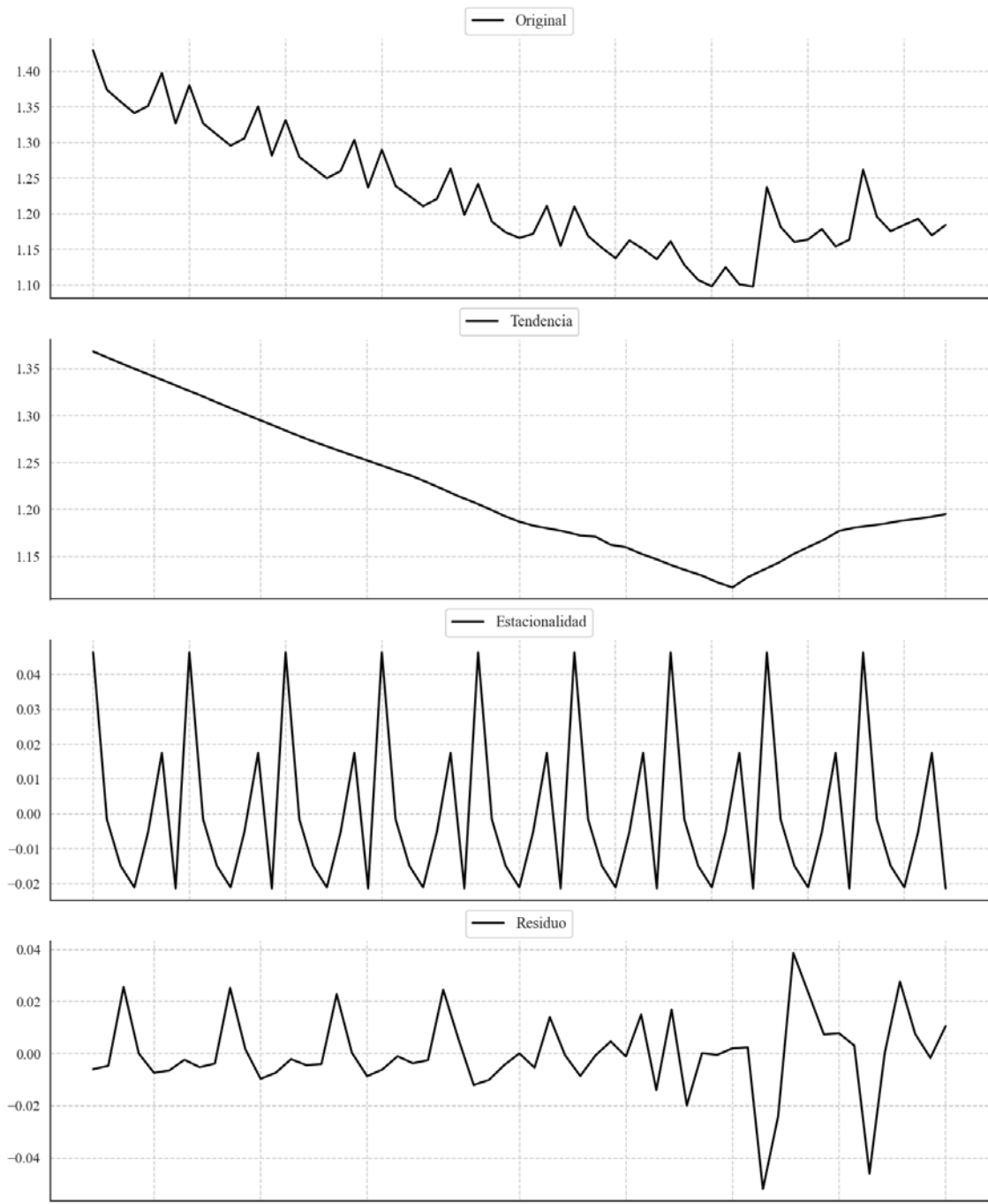
Prueba de Dickey-Fuller aumentada: p-valor=0.0042

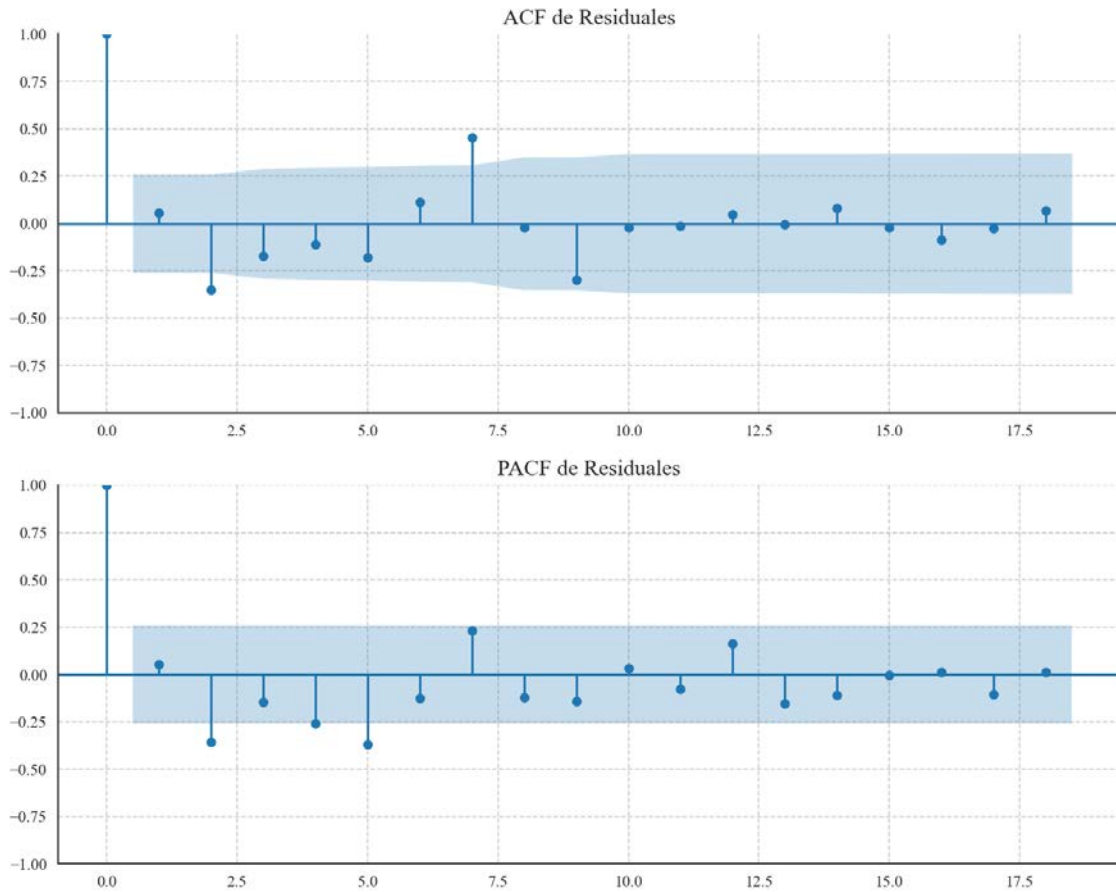
Estacionariedad: Estacionario

No se detectó heterocedasticidad significativa en los residuos.

Los residuos parecen ser aleatorios.

### Gráficos para EH Bildu





### Análisis de Aleatoriedad del Error para EH Bildu

Estadística de Durbin-Watson: 1.8811

Prueba de Ljung-Box:

Estadísticos: 33.3420, p-valor: 0.0002

Prueba de Shapiro-Wilk: Estadístico=0.9021, p-valor=0.0002

Prueba de Dickey-Fuller aumentada: p-valor=0.0338

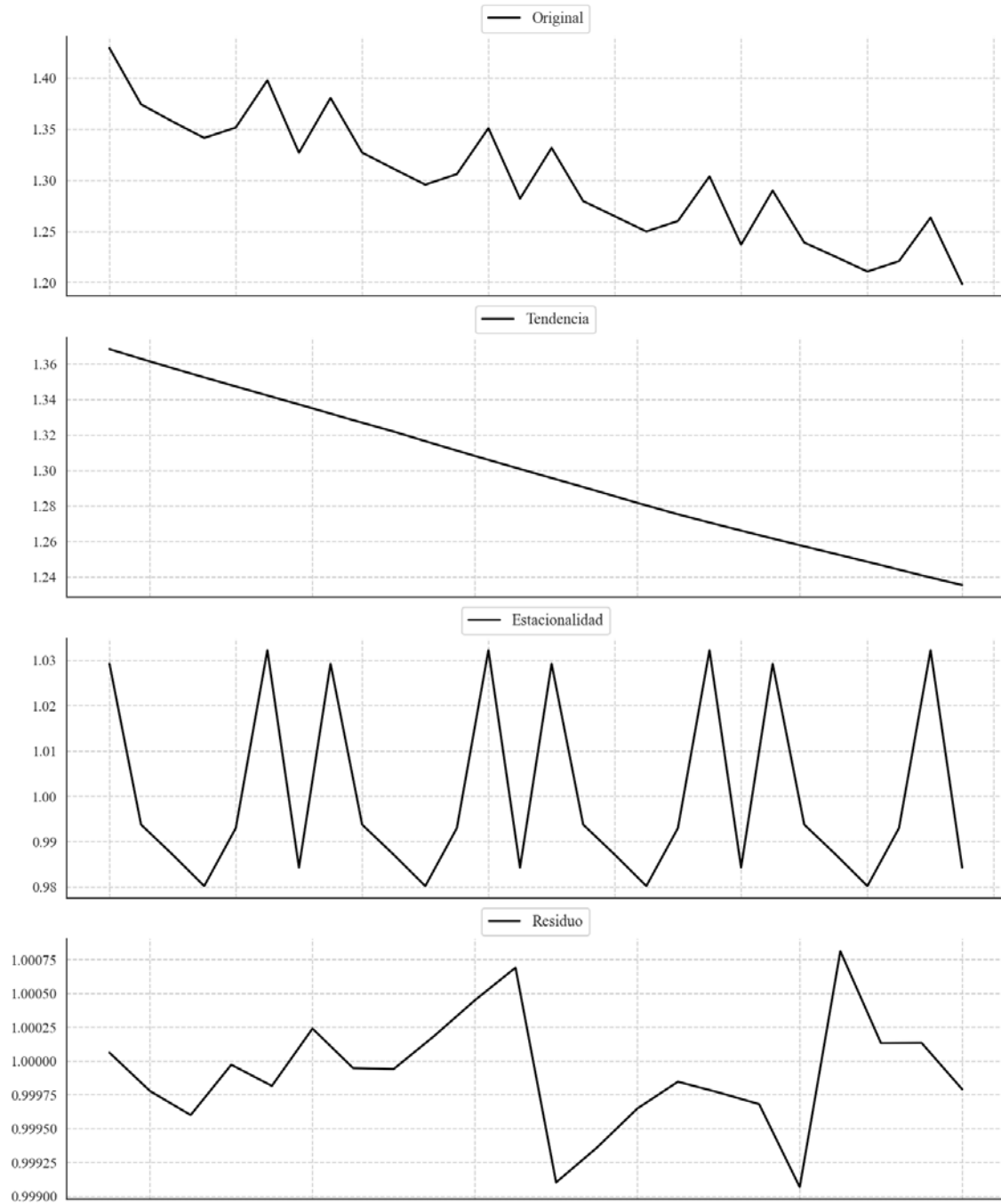
Estacionariedad: Estacionario

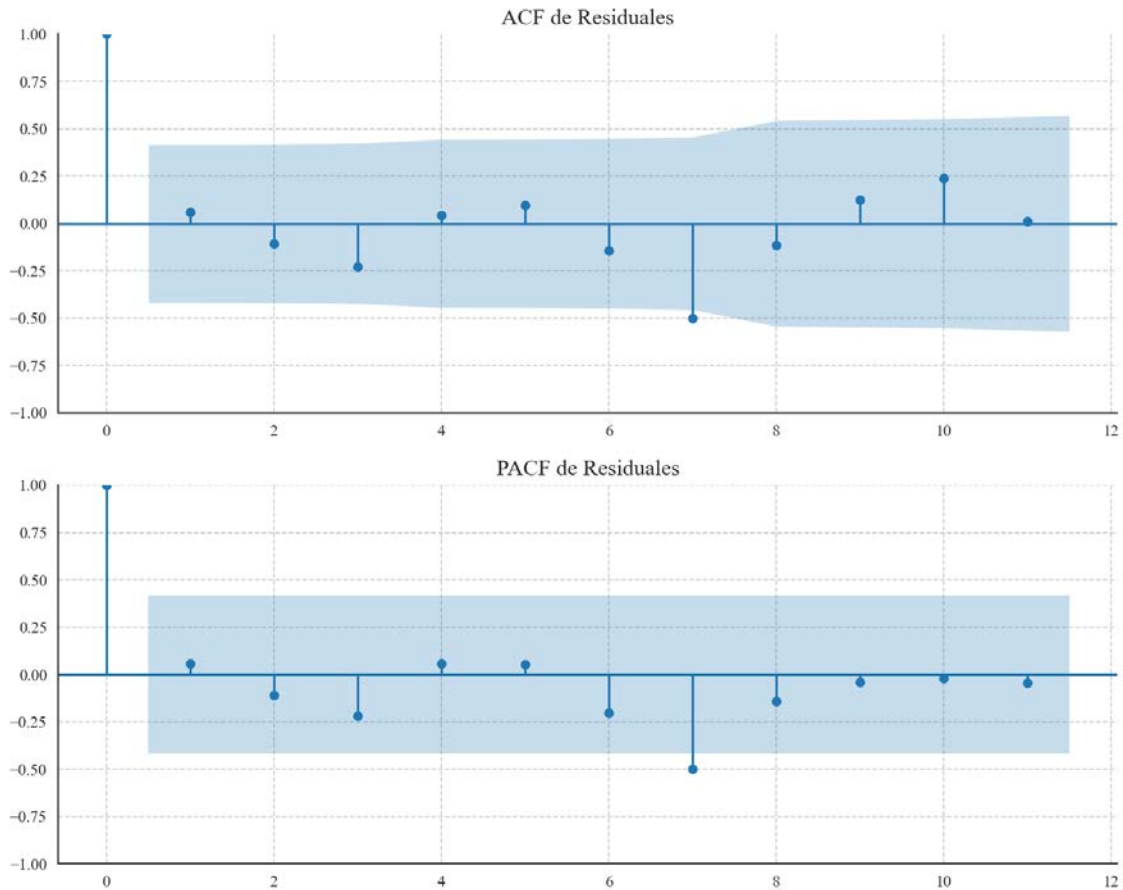
Se detectó heterocedasticidad en los residuos (Prueba de Breusch-Pagan significativa).

Los residuales no son aleatorios.

## Análisis de la Dinámica de Inercia Pasada para EH Bildu

### Gráficos para EH Bildu\_pasado





### Análisis de Aleatoriedad del Error para EH Bildu\_pasado

Estadística de Durbin-Watson: 0.0000

Prueba de Ljung-Box:

Estadísticos: 15.2602, p-valor: 0.1229

Prueba de Shapiro-Wilk: Estadístico=0.9703, p-valor=0.7173

Prueba de Dickey-Fuller aumentada: p-valor=0.0009

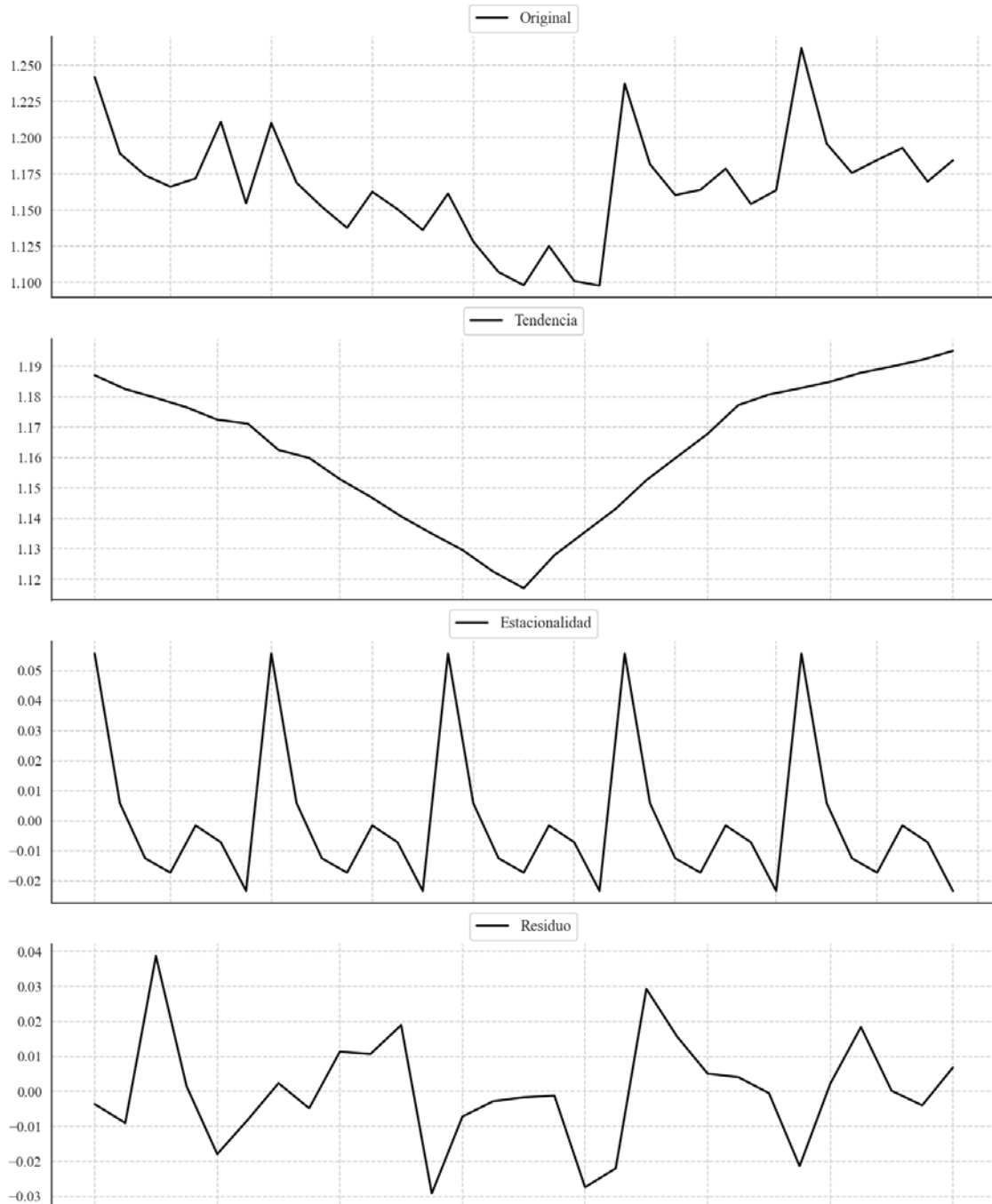
Estacionariedad: Estacionario

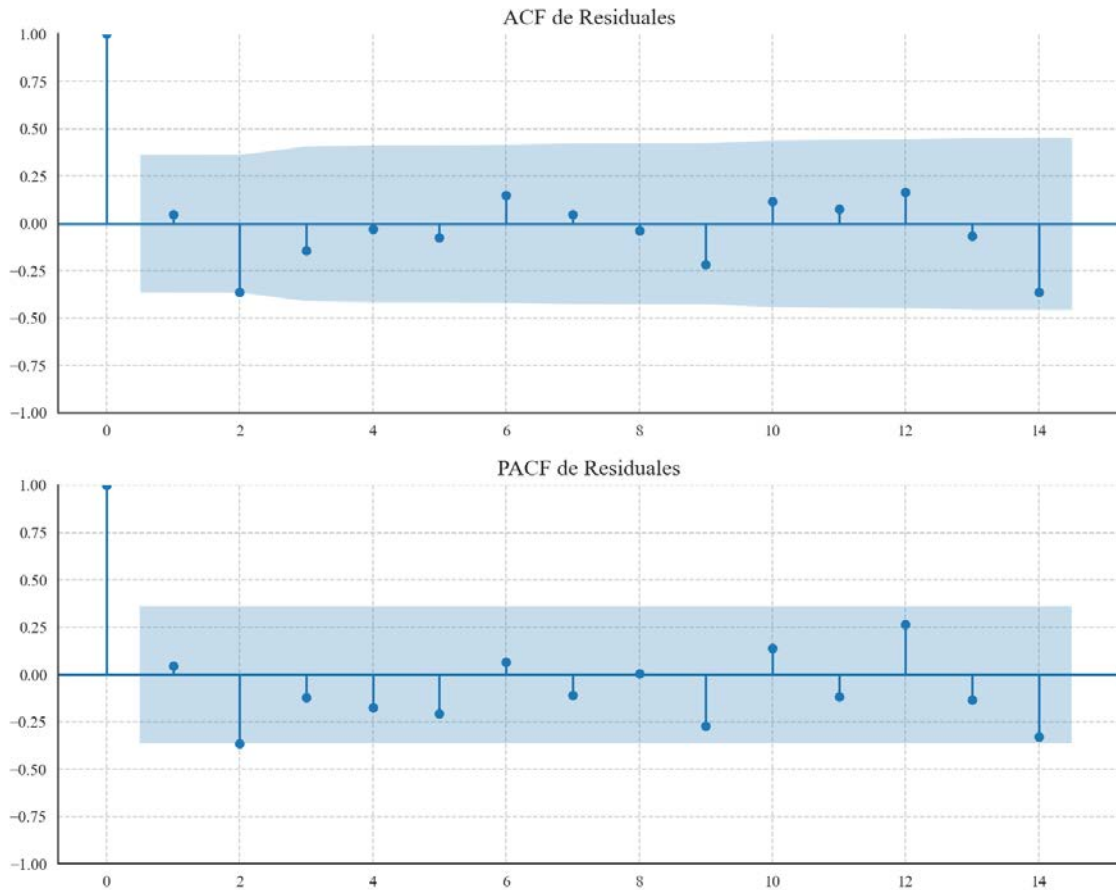
No se detectó heterocedasticidad significativa en los residuos.

Los residuales no son aleatorios.

## Análisis de la Dinámica de Inercia Presente\_Futuro para EH Bildu

### Gráficos para EH Bildu\_futuro





### Análisis de Aleatoriedad del Error para EH Bildu\_futuro

Estadística de Durbin-Watson: 1.8990

Prueba de Ljung-Box:

Estadísticos: 9.1212, p-valor: 0.5206

Prueba de Shapiro-Wilk: Estadístico=0.9696, p-valor=0.5489

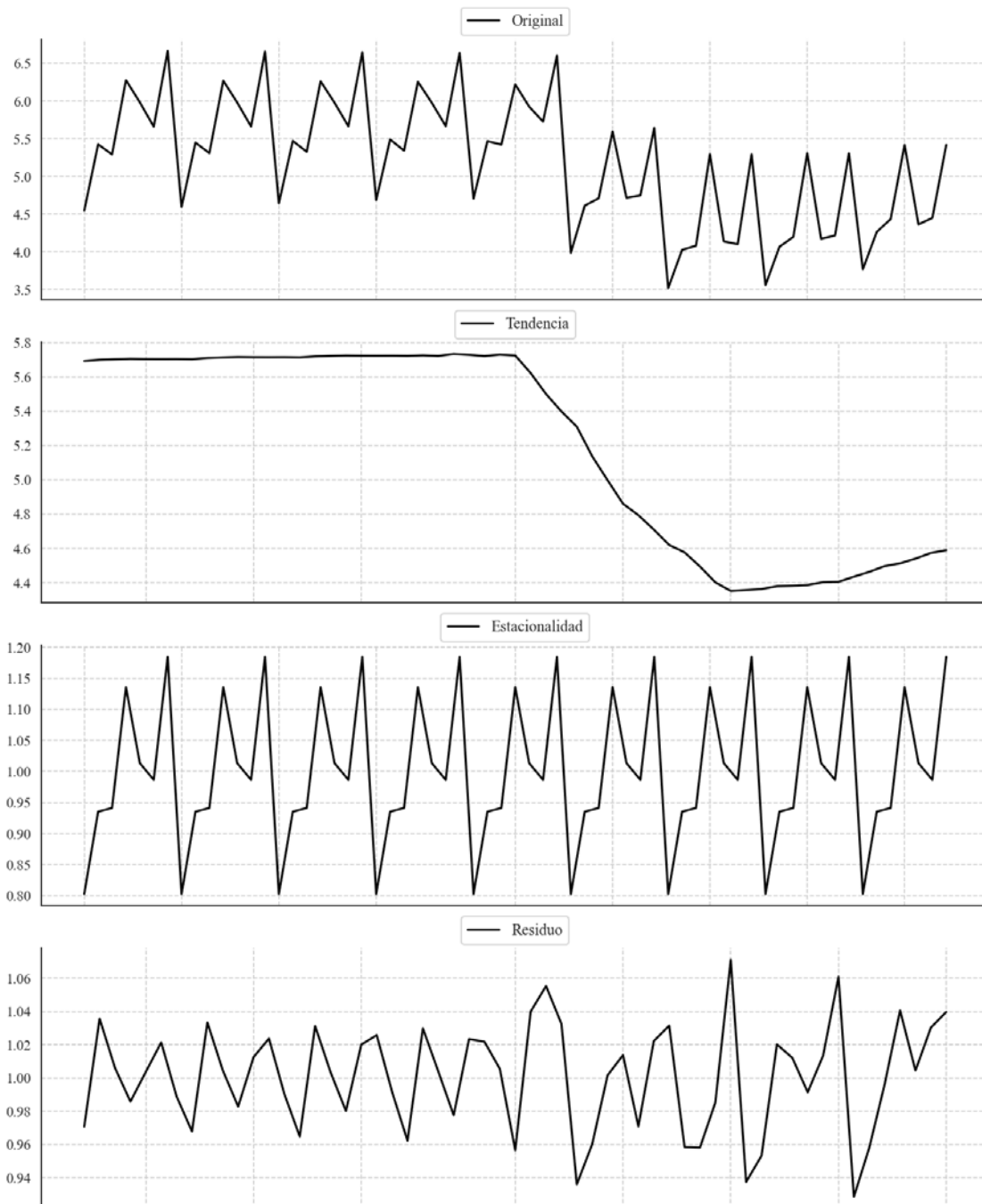
Prueba de Dickey-Fuller aumentada: p-valor=0.0000

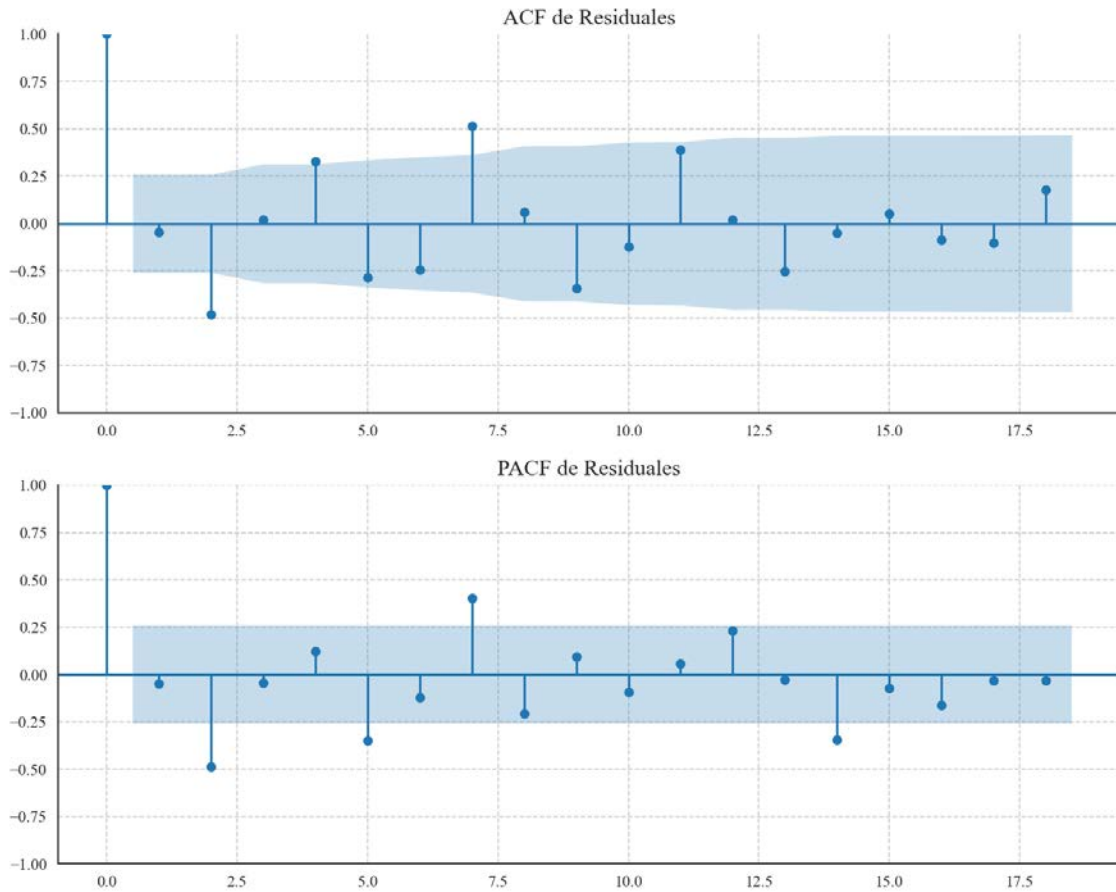
Estacionariedad: Estacionario

No se detectó heterocedasticidad significativa en los residuos.

Los residuos parecen ser aleatorios.

## Gráficos para Otros





### Análisis de Aleatoriedad del Error para Otros

Estadística de Durbin-Watson: 0.0022

Prueba de Ljung-Box:

Estadísticos: 57.8579, p-valor: 0.0000

Prueba de Shapiro-Wilk: Estadístico=0.9790, p-valor=0.4224

Prueba de Dickey-Fuller aumentada: p-valor=0.1273

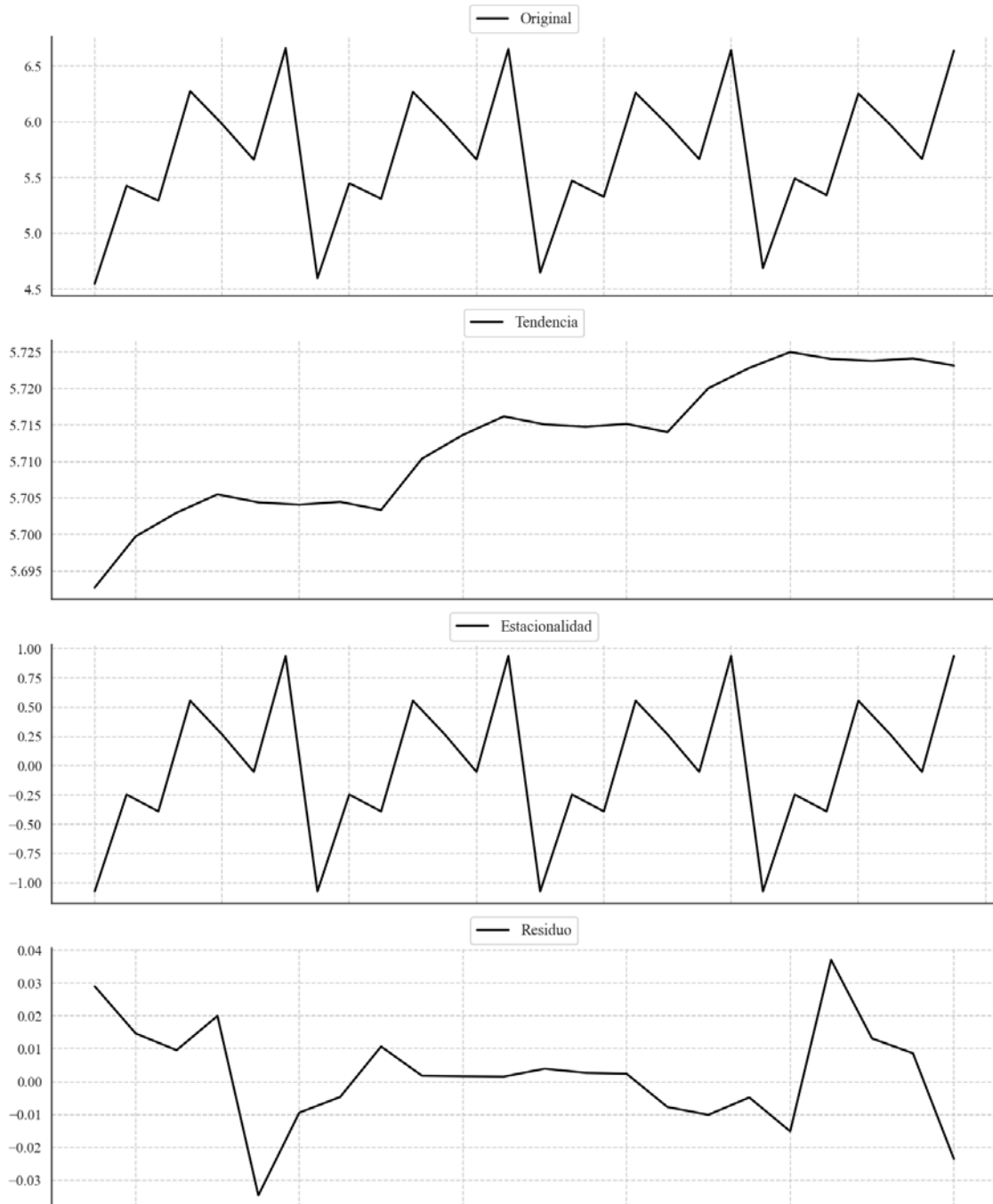
Estacionariedad: No Estacionario

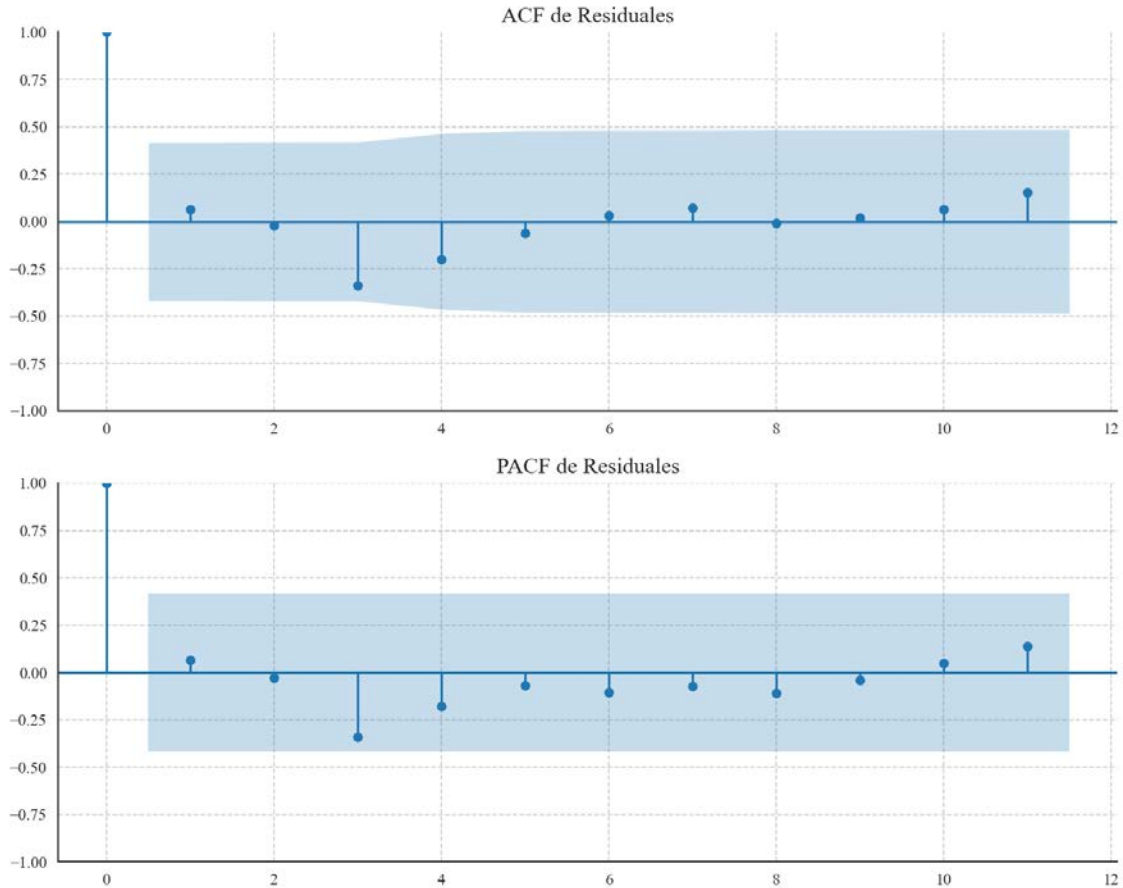
No se detectó heterocedasticidad significativa en los residuos.

Los residuales no son aleatorios.

## Análisis de la Dinámica de Inercia Pasada para Otros

### Gráficos para Otros\_pasado





### Análisis de Aleatoriedad del Error para Otros\_pasado

Estadística de Durbin-Watson: 1.5886

Prueba de Ljung-Box:

Estadísticos: 5.0353, p-valor: 0.8888

Prueba de Shapiro-Wilk: Estadístico=0.9823, p-valor=0.9481

Prueba de Dickey-Fuller aumentada: p-valor=0.7916

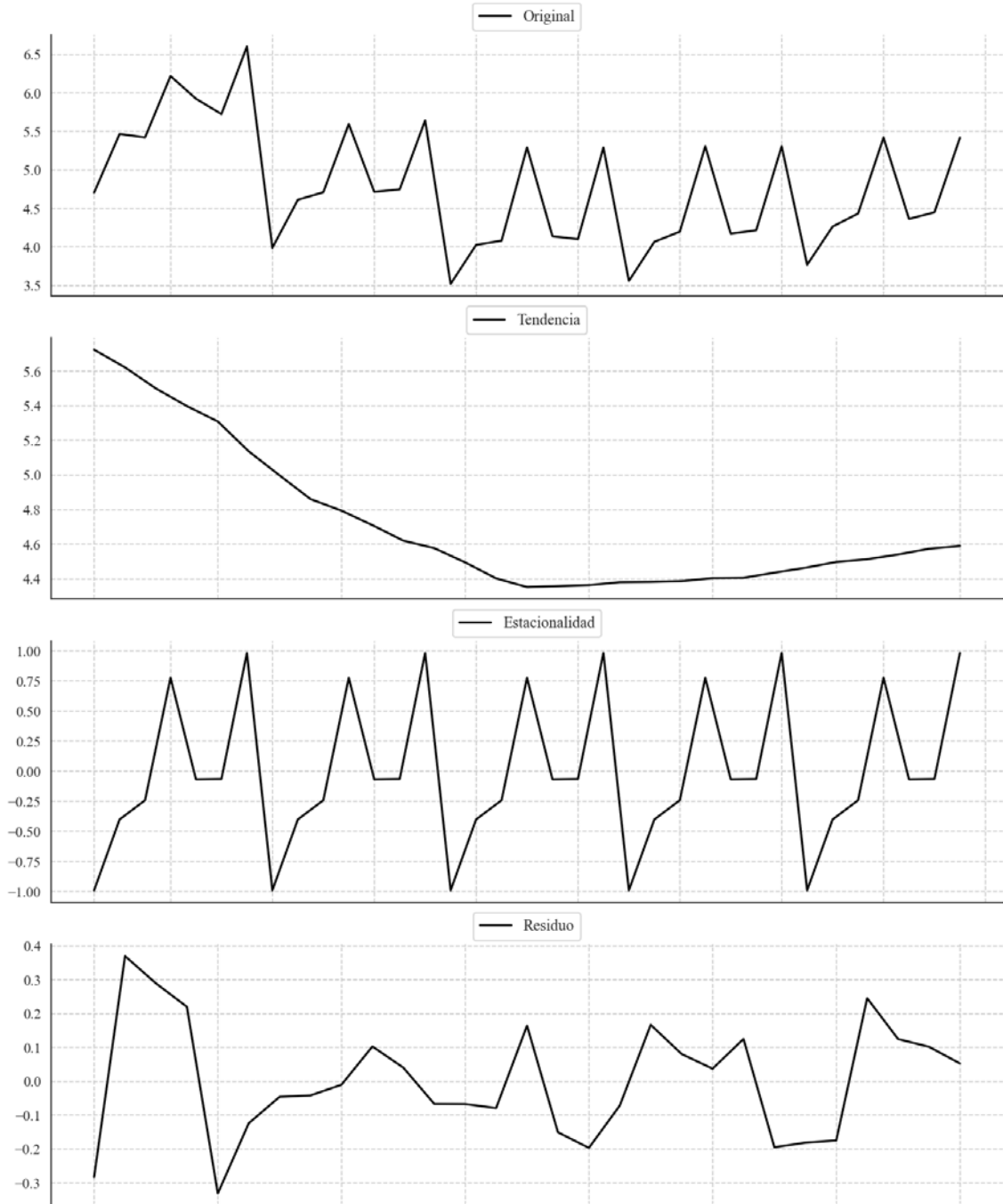
Estacionariedad: No Estacionario

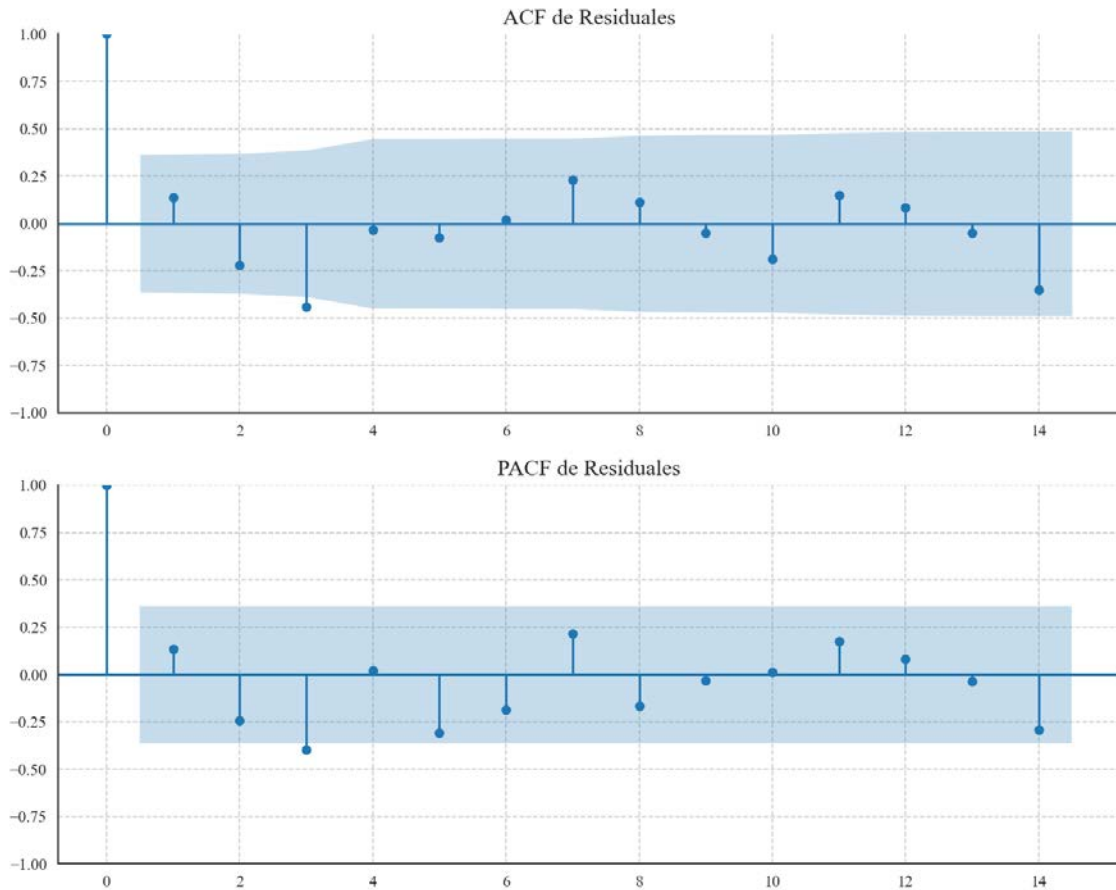
No se detectó heterocedasticidad significativa en los residuos.

Los residuales parecen ser aleatorios.

## Análisis de la Dinámica de Inercia Presente\_Futuro para Otros

### Gráficos para Otros\_futuro





### Análisis de Aleatoriedad del Error para Otros\_futuro

Estadística de Durbin-Watson: 1.6253

Prueba de Ljung-Box:

Estadísticos: 13.5999, p-valor: 0.1920

Prueba de Shapiro-Wilk: Estadístico=0.9875, p-valor=0.9749

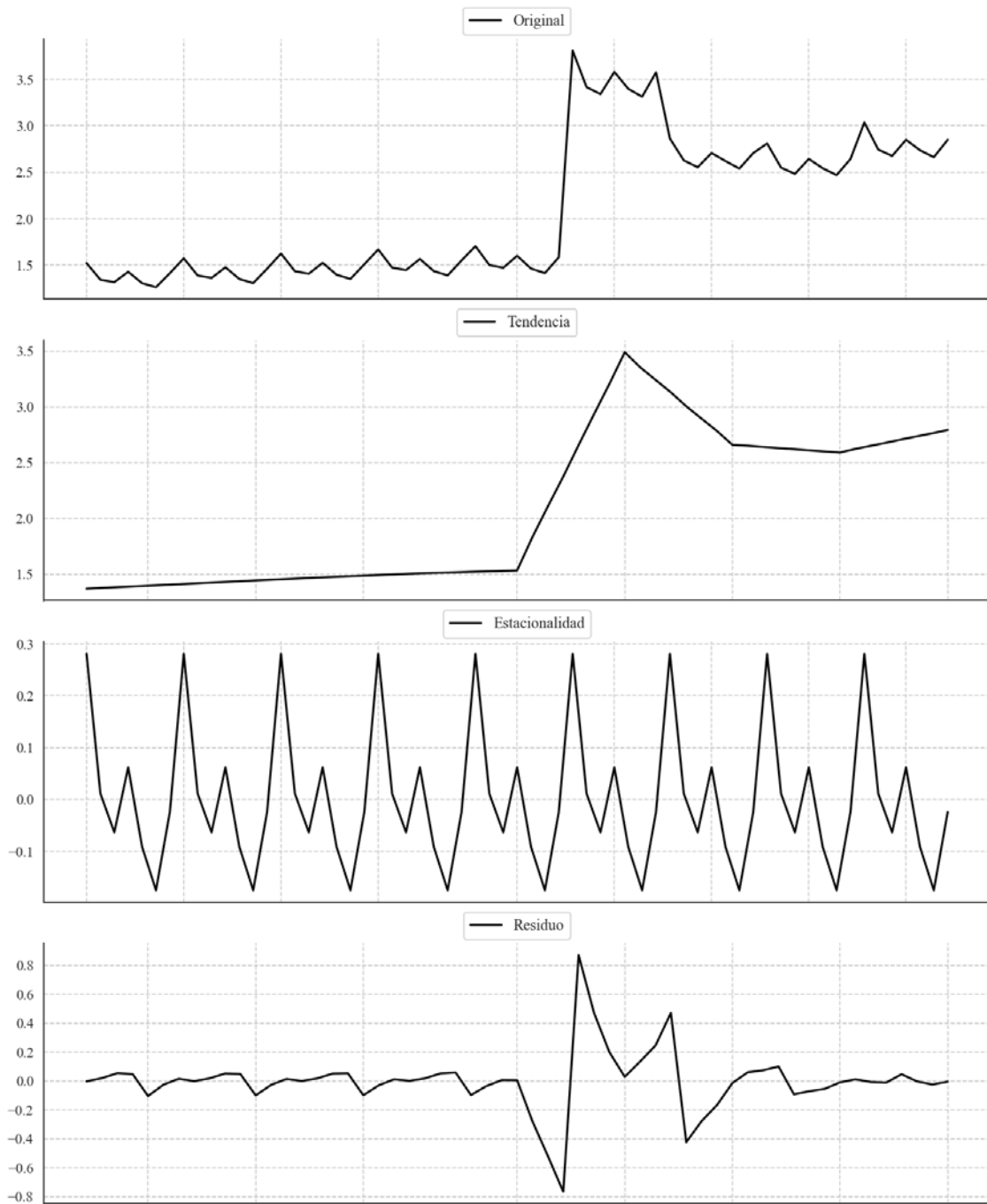
Prueba de Dickey-Fuller aumentada: p-valor=0.0014

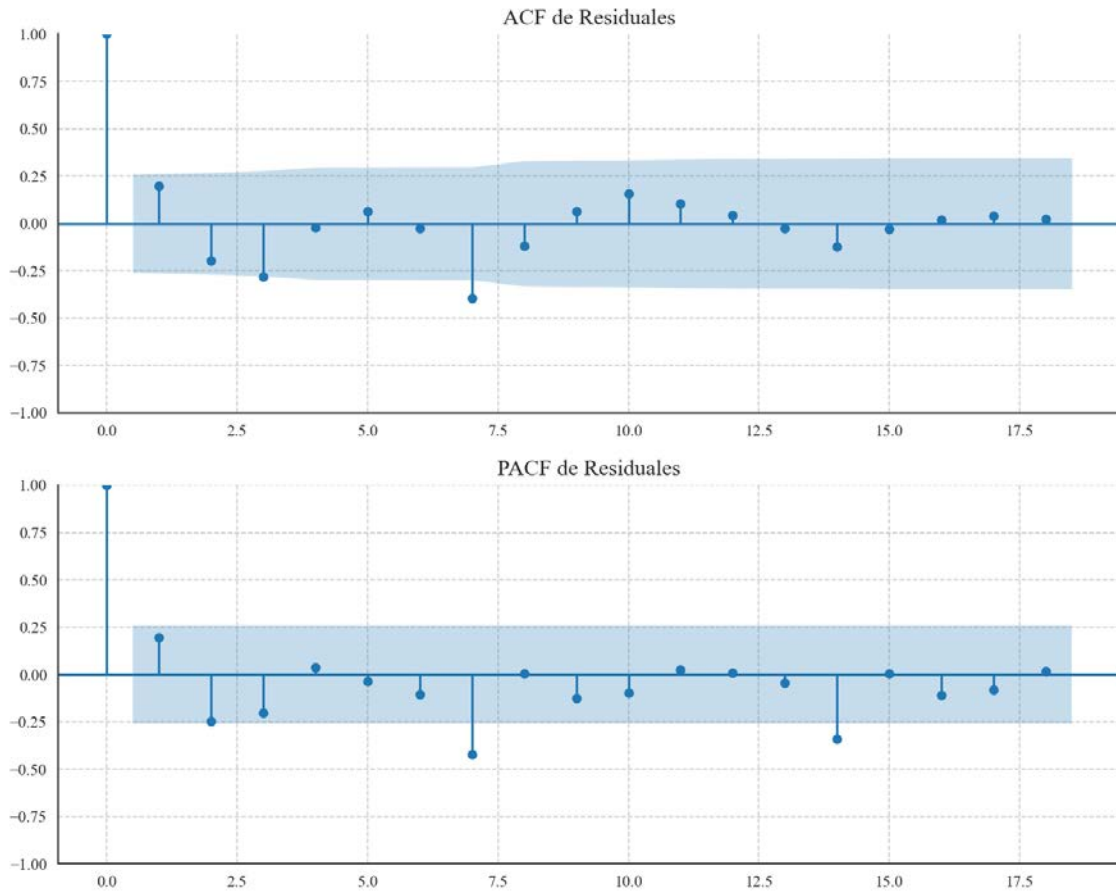
Estacionariedad: Estacionario

Se detectó heterocedasticidad en los residuos (Prueba de Breusch-Pagan significativa).

Los residuales parecen ser aleatorios.

## Gráficos para En blanco





### Análisis de Aleatoriedad del Error para En blanco

Estadística de Durbin-Watson: 1.6064

Prueba de Ljung-Box:

Estadísticos: 23.4543, p-valor: 0.0092

Prueba de Shapiro-Wilk: Estadístico=0.7761, p-valor=0.0000

Prueba de Dickey-Fuller aumentada: p-valor=0.0001

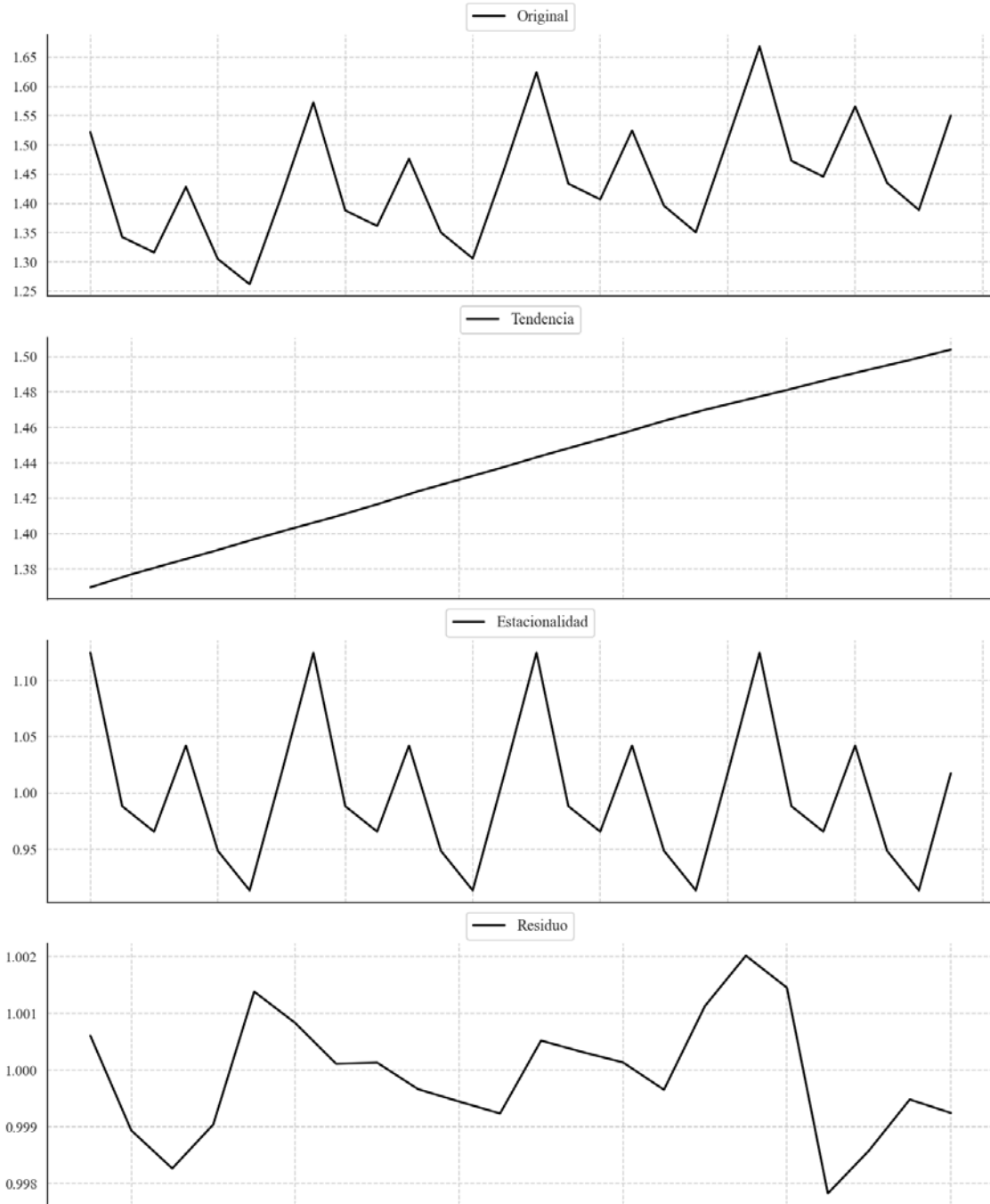
Estacionariedad: Estacionario

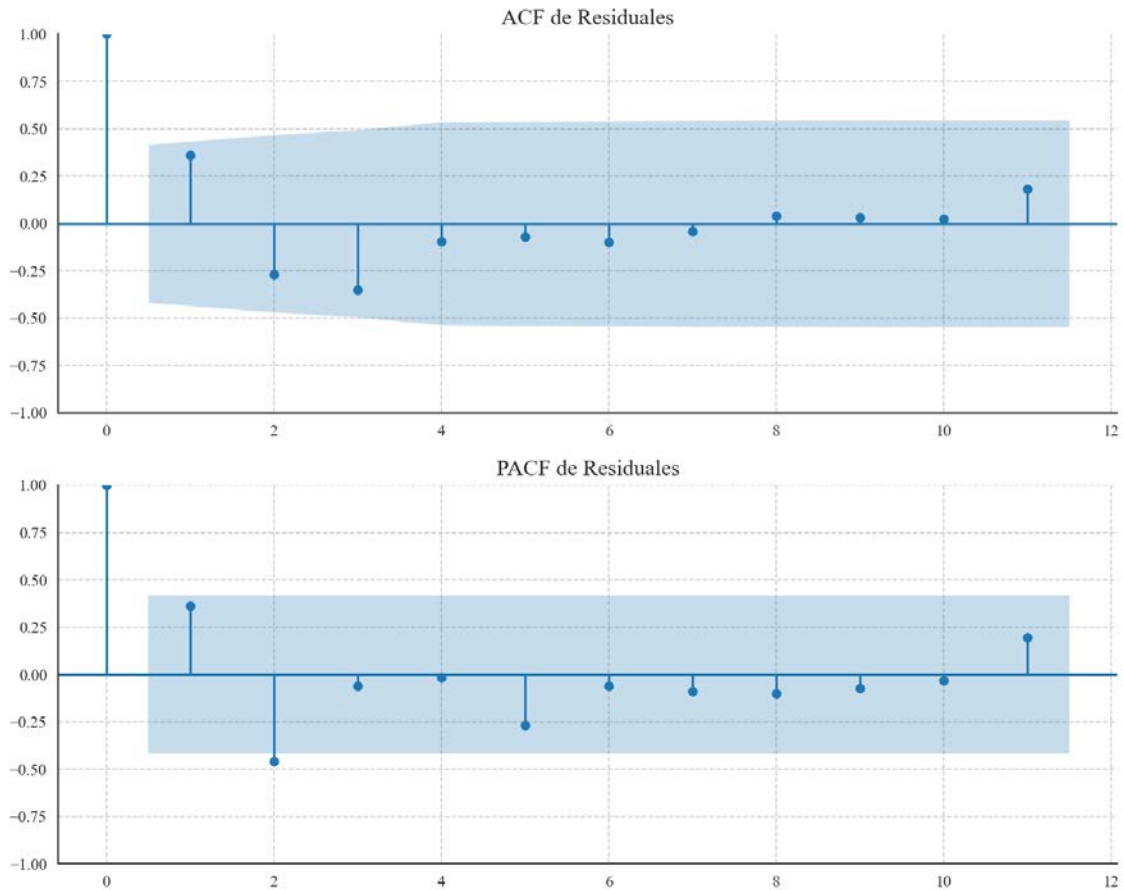
No se detectó heterocedasticidad significativa en los residuos.

Los residuales no son aleatorios.

## Análisis de la Dinámica de Inercia Pasada para En blanco

### Gráficos para En blanco\_pasado





### Análisis de Aleatoriedad del Error para En blanco\_pasado

Estadística de Durbin-Watson: 0.0000

Prueba de Ljung-Box:

Estadísticos: 9.5092, p-valor: 0.4846

Prueba de Shapiro-Wilk: Estadístico=0.9897, p-valor=0.9967

Prueba de Dickey-Fuller aumentada: p-valor=0.4545

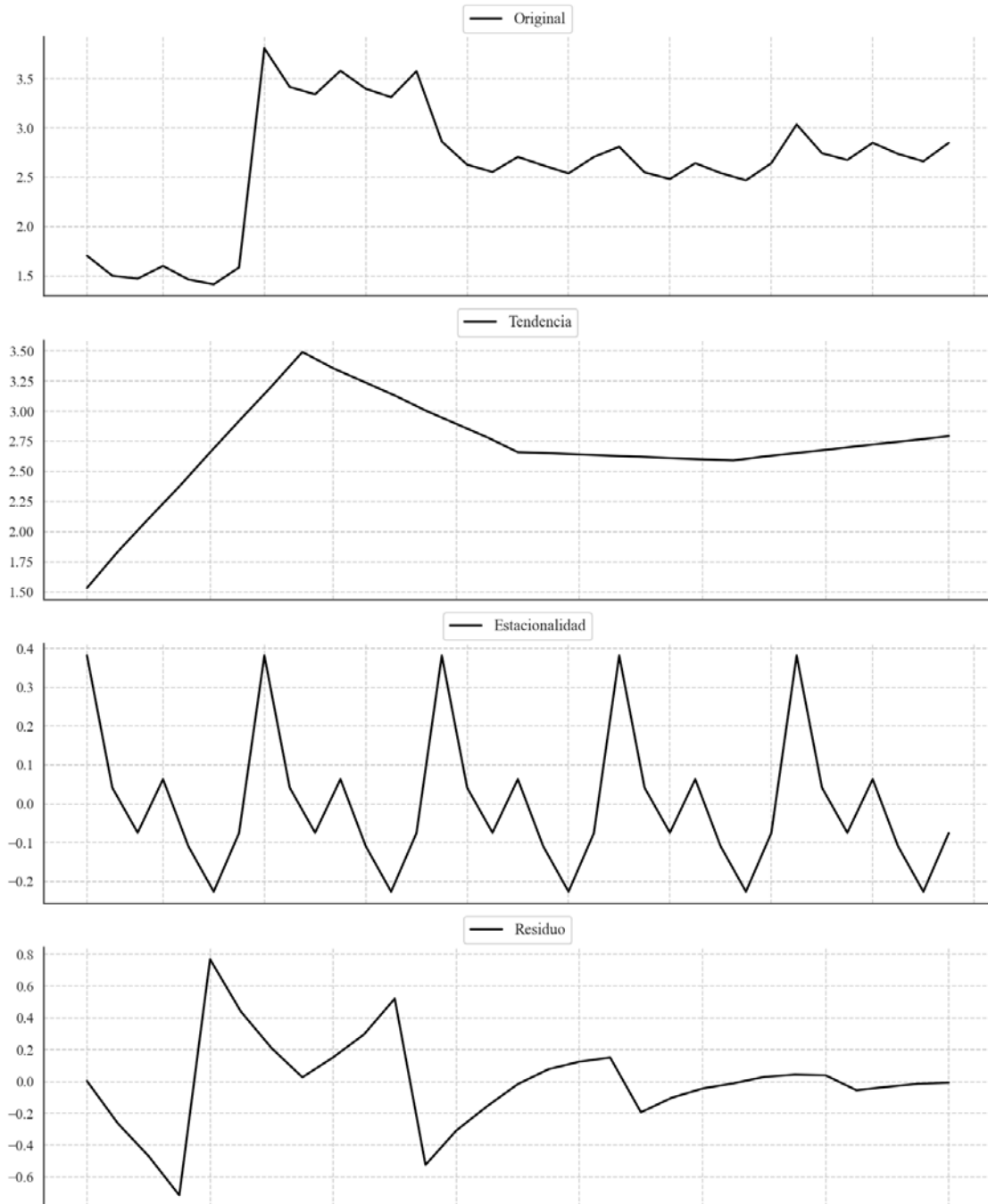
Estacionariedad: No Estacionario

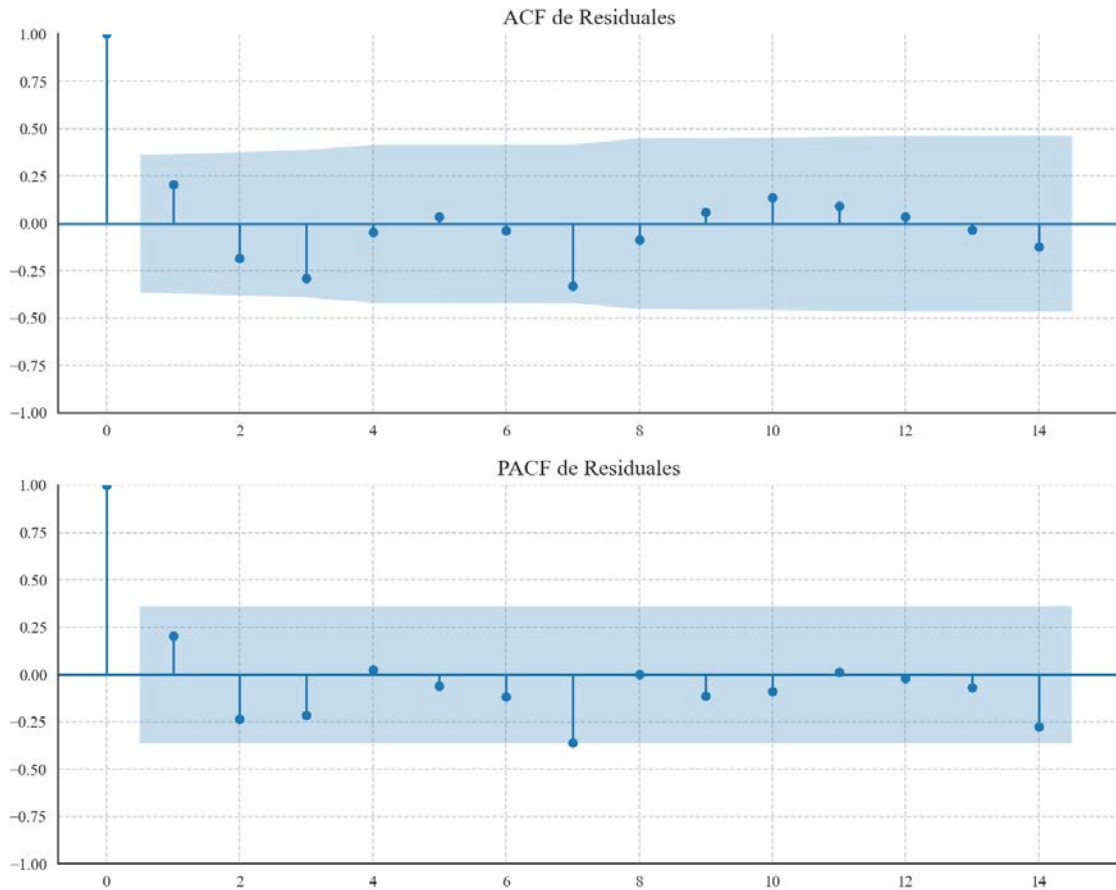
No se detectó heterocedasticidad significativa en los residuos.

Los residuales no son aleatorios.

## Análisis de la Dinámica de Inercia Presente\_Futuro para En blanco

### Gráficos para En blanco\_futuro





### Análisis de Aleatoriedad del Error para En blanco\_futuro

Estadística de Durbin-Watson: 1.5921

Prueba de Ljung-Box:

Estadísticos: 11.3435, p-valor: 0.3314

Prueba de Shapiro-Wilk: Estadístico=0.9514, p-valor=0.1993

Prueba de Dickey-Fuller aumentada: p-valor=0.0191

Estacionariedad: Estacionario

Se detectó heterocedasticidad en los residuos (Prueba de Breusch-Pagan significativa).

Los residuales parecen ser aleatorios.

## Interacción de la estructura de inercia y los patrones de incertidumbre

Escenarios	Tipo de Patrón	AIC Aditivo	BIC Aditivo	AIC Multiplicativo	BIC Multiplicativo	Inercia (Multiplicativa)
PSOE	Additive	-106.45	-87.16	-104.67	-85.38	N/A
PP	Additive	-158.74	-139.45	-156.70	-137.42	N/A
VOX	Additive	-200.91	-181.63	-199.85	-180.56	N/A
Podemos	Additive	-346.31	-327.03	-337.74	-318.45	N/A
Sumar	Multiplicative	-293.88	-274.59	-295.94	-276.66	Creciente
SALF	Multiplicative	-443.57	-424.29	-445.34	-426.05	Decreciente
CC	Additive	-512.00	-492.71	-510.35	-491.06	N/A
ERC	Multiplicative	-432.84	-413.55	-456.00	-436.71	Decreciente
JxCat	Additive	-508.65	-489.36	-503.45	-484.17	N/A
BNG	Additive	-545.90	-526.61	-541.05	-521.76	N/A
UPN	Multiplicative	-680.34	-661.06	-683.39	-664.11	Decreciente
EAJ-PNV	Additive	-493.91	-474.62	-491.99	-472.71	N/A
EH Bildu	Additive	-481.91	-462.62	-481.72	-462.43	N/A
Otros	Multiplicative	-189.86	-170.57	-197.46	-178.17	Creciente
En blanco	Additive	-142.45	-123.16	-135.69	-116.40	N/A

## Tabla de Coeficiente de Variación (CV)

Partido	CV (Inercia)	Homogeneidad (Inercia)	CV (Incertidumbre)	Homogeneidad (Incertidumbre)	CV (Estimación)	Homogeneidad (Estimación)
PSOE	6.41	Homogéneo	0.69	Homogéneo	7.10	Homogéneo
PP	6.11	Homogéneo	0.77	Homogéneo	6.88	Homogéneo
VOX	7.68	Homogéneo	0.84	Homogéneo	8.51	Homogéneo
Podemos	5.35	Homogéneo	0.84	Homogéneo	6.19	Homogéneo
Sumar	2.82	Homogéneo	3.18	Homogéneo	5.99	Homogéneo
SALF	4.72	Homogéneo	1.47	Homogéneo	6.20	Homogéneo
CC	16.73	Homogéneo	1.65	Homogéneo	18.38	Homogéneo
ERC	4.64	Homogéneo	13.87	Homogéneo	18.51	Homogéneo
JxCat	3.11	Homogéneo	2.10	Homogéneo	5.21	Homogéneo
BNG	2.61	Homogéneo	2.80	Homogéneo	5.42	Homogéneo
UPN	6.69	Homogéneo	2.30	Homogéneo	8.99	Homogéneo
EAJ-PNV	3.47	Homogéneo	12.05	Homogéneo	15.51	Homogéneo
EH Bildu	5.82	Homogéneo	0.85	Homogéneo	6.67	Homogéneo
Otros	11.13	Homogéneo	5.06	Homogéneo	16.19	Homogéneo
En blanco	32.87	No Homogéneo	3.30	Homogéneo	36.17	No Homogéneo

## 6. Referencias

1. Alaminos, Antonio y Alaminos-Fernández, Antonio Francisco (2025) *Introducción conceptual a la medición de la ideología política*. Alicante: Obets Ciencia Abierta. ISBN: 978-84-129745-1-5 <http://hdl.handle.net/10045/152661>
2. Alaminos, Antonio y Alaminos-Fernández, Antonio Francisco (2025). *Modelo Bifactorial Inercia-Incertidumbre para Dummies*. Alicante: Obets Ciencia Abierta. ISBN 978-84-129745-2-2, 372 p.
3. Alaminos, Antonio (2025) *Encuestas de opinión pública y medios de comunicación en España. Un estudio sobre saltos de fe, flogisto, quimeras tecnológicas, mercenarios y avestruces*. Alicante: Obets Ciencia Abierta. <http://hdl.handle.net/10045/151044>
4. Alaminos, Antonio (2024) *Introduction to Measuring Electoral Support Using the Scenario Method Inertia-Uncertainty Bifactorial Model*. Alicante: Obets Ciencia Abierta. <https://rua.ua.es/dspace/handle/10045/145061>
5. Alaminos, Antonio (2024) *Introduzione alla misurazione del sostegno elettorale utilizzando il metodo dello scenario Modello bifattoriale inerzia-incertezza*. Alicante: Obets Ciencia Abierta. <https://rua.ua.es/dspace/handle/10045/145078>
6. Alaminos, Antonio (2024) *Introduction à la mesure du soutien électoral à l'aide de la méthode des scénarios Modèle bifactoriel inertie-incertitude*. Alicante: Obets Ciencia Abierta. <https://rua.ua.es/dspace/handle/10045/145062>
7. Alaminos, Antonio (2024) *Introdução à Medição do Apoio Eleitoral Usando o Método do Cenário Modelo Bifatorial Inércia-Incerteza*. Alicante: Obets Ciencia Abierta. <https://rua.ua.es/dspace/handle/10045/145060>
8. Alaminos, Antonio (2024) *Einführung in die Messung der Wahlunterstützung mit der Szenario-Methode Bifaktorielles Trägheits-Unschärfe-Modell*. Alicante: Obets Ciencia Abierta. <https://rua.ua.es/dspace/handle/10045/145059>
9. Alaminos, Antonio (2024) *Introducción a la medición de apoyos electorales mediante el método de escenarios. Modelo bifactorial Inercia-Incertidumbre*. Alicante: Obets Ciencia Abierta. <https://rua.ua.es/dspace/handle/10045/147302>
10. Alaminos, Antonio (2022) El método de escenarios en la estimación de resultados electorales. Una aplicación al caso de Castilla y León. *Revista Española de Investigaciones Sociológicas* 178: 173-182. <https://doi.org/10.5477/cis/reis.178.173>
11. Alaminos, Antonio (2021) Las dinámicas de cambio en el comportamiento del electorado en España. *Sistema: revista de ciencias sociales*, N° 260, págs. 17-34
12. Alaminos, Antonio (2019) Las elecciones europeas de 2019 en España. *Temas para el debate*, N°. 295 (junio), págs. 14-15

13. Alaminos, Antonio (2018) La monitorización de la estimación de voto con modelos ponderados y no ponderados: un test empírico. *Sociologados: Revista de investigación social*, ISSN-e 2445-2661, Vol. 3, Nº. 1, págs. 145-174
14. Alaminos, Antonio (2017) La imagen de partido del Partido Popular y el Partido Socialista Obrero Español en España: 1996 al 2015. *Sociologados. Revista de Investigación Social*. 2(1): 51-79. doi:10.14198/socdos.2017.1.04
15. Alaminos, Antonio (2015) Forecasting Elections with High Volatility. *Statistica Applicata - Italian Journal of Applied Statistics*. 2015, 25(2): 165-184 <http://hdl.handle.net/10045/51768>
16. Alaminos, Antonio (1998) *Teoría y práctica de la encuesta. Aplicación en los países en vías de desarrollo*. Alicante: Editorial Club Universitario, ISBN 84-95015-10-2. <http://hdl.handle.net/10045/49236>
17. Alaminos, Antonio (1998) Las predicciones electorales en España. En: Alaminos, Antonio, et al. *Future Days. Modelos de prospectiva electoral*. Alicante: Universidad de Alicante. ISBN 978-84-7908-407-3. <http://hdl.handle.net/10045/105229>
18. Alaminos, Antonio, y Alaminos-Fernández, Antonio Francisco. (2024) Análisis de las dinámicas electorales en las elecciones autonómicas de Galicia del 18 de febrero de 2024. Modelo Bifactorial Inercia-Incertidumbre. Número 81. *Opiniones y Actitudes*. Madrid:CIS
19. Alaminos, Antonio, y Alaminos-Fernández, Antonio Francisco (2024). *Informe técnico de la estimación del Estudio 3463. Barómetro de junio 2024. Documentación técnica de la estimación electoral*. Centro de Investigaciones Sociológicas. Madrid.
20. Alaminos, Antonio, y Alaminos-Fernández, Antonio Francisco (2024). *Informe técnico de la estimación del Estudio 3460 sobre las elecciones europeas. Documentación técnica de la estimación electoral*. Centro de Investigaciones Sociológicas. Madrid.
21. Alaminos, Antonio, y Alaminos-Fernández, Antonio Francisco (2024). *Informe técnico de la estimación del Estudio 3468. Barómetro de julio 2024. Documentación técnica de la estimación electoral*. Centro de Investigaciones Sociológicas. Madrid.
22. Alaminos, Antonio, y Alaminos-Fernández, Antonio Francisco (2024). *Informe técnico de la estimación del Estudio 3474. Barómetro de septiembre 2024. Documentación técnica de la estimación electoral*. Centro de Investigaciones Sociológicas. Madrid.
23. Alaminos, Antonio, y Alaminos-Fernández, Antonio Francisco (2024). *Informe técnico de la estimación del Estudio 3478. Barómetro de octubre 2024. Documentación técnica de la estimación electoral*. Departamento de Investigación. Centro de Investigaciones Sociológicas. Madrid.
24. Alaminos, Antonio, y Alaminos-Fernández, Antonio Francisco (2024). *Informe técnico de la estimación del Estudio 3485. Barómetro de noviembre 2024. Documentación técnica de la estimación electoral*. Departamento de Investigación. Centro de Investigaciones Sociológicas. Madrid.

25. Alaminos, Antonio, y Alaminos-Fernández, Antonio Francisco. (2024). *Informe técnico de la estimación del Estudio 3489. Barómetro de diciembre 2024*. Documentación técnica de la estimación electoral. Departamento de Investigación. Centro de Investigaciones Sociológicas. Madrid.
26. Alaminos, Antonio, y Alaminos-Fernández, Antonio Francisco (2025). *Informe técnico de la estimación del Estudio ECIS3492. Barómetro de enero 2025*. Documentación técnica de la estimación electoral. Departamento de Investigación. Centro de Investigaciones Sociológicas. Madrid.
27. Alaminos, Antonio, y Alaminos-Fernández, Antonio Francisco (2025). *Informe técnico de la estimación del Estudio 3496. Barómetro de febrero 2025*. Documentación técnica de la estimación electoral. Departamento de Investigación. Centro de Investigaciones Sociológicas. Madrid.
28. Alaminos, Antonio, y Alaminos-Fernández, Antonio Francisco (2025). *Informe técnico de la estimación del Estudio 3502. Barómetro de marzo 2025*. Documentación técnica de la estimación electoral. Departamento de Investigación. Centro de Investigaciones Sociológicas. Madrid.
29. Alaminos, Antonio, y Alaminos-Fernández, Antonio Francisco (2025). *Informe técnico de la estimación del Estudio 3505 Barómetro de abril 2025*. Documentación técnica de la estimación electoral. Departamento de Investigación. Centro de Investigaciones Sociológicas. Madrid.
30. Alaminos, Antonio, y Alaminos-Fernández, Antonio Francisco (2025). *Informe técnico de la estimación del Estudio 3510 Barómetro de mayo 2025*. Documentación técnica de la estimación electoral. Departamento de Investigación. Centro de Investigaciones Sociológicas. Madrid.
31. Alaminos, Antonio y Alaminos-Fernández, Antonio Francisco (2024) *Las elecciones autonómicas del País Vasco del 21 de abril de 2024. Modelo Bifactorial Inercia-Incertidumbre*. Alicante: Obets Ciencia Abierta.
32. Alaminos, Antonio, y Alaminos-Fernández, Antonio Francisco. (2024). *Teoría de juegos y Modelo Bifactorial-Inercia Incertidumbre. Aplicación al análisis de escenarios electorales*. Alicante: Obets Ciencia Abierta
33. Alaminos, Antonio y Alaminos-Fernández, Antonio Francisco (2024) *La medición de los efectos de las campañas electorales. Aplicación del Modelo Bifactorial-Inercia Incertidumbre*. Alicante: Obets Ciencia Abierta. <https://rua.ua.es/dspace/handle/10045/147300>
34. Alaminos, Antonio y Alaminos-Fernández, Antonio Francisco (2023) *Modelo Bifactorial Inercia-Incertidumbre Alaminos-Tezanos. Aplicación al diagnóstico preelectoral y evaluación del impacto de campaña. El caso de las elecciones autonómicas de mayo de 2023. Colección Cuadernos Metodológicos vol. 63*. Madrid: Centro de Investigaciones Sociológicas
35. Alaminos, Antonio y Alaminos-Fernández, Antonio Francisco (2023) *Motivaciones de voto y estimación electoral en las elecciones generales en España. Un análisis empírico. Revista Sistema. 267, 3-37*

36. Alaminos, Antonio y Alaminos-Fernández, Antonio Francisco (2021) *Introducción práctica a la sociología electoral*. Alicante: Obets Ciencia Abierta. ISBN 978-84-124165-4-1. <http://hdl.handle.net/10045/119077>
37. Alaminos, Antonio y Alaminos-Fernández, Antonio Francisco (2021) *Ajuste funcional y exploración de patrones en series temporales*. Alicante: Obets Ciencia Abierta.
38. Alaminos, Antonio y Alaminos-Fernández, Antonio Francisco (2016) *La medición de las motivaciones de voto en las elecciones generales del 20 de diciembre de 2015*. Alicante: Obets Ciencia Abierta. Universidad de Alicante, 119 p. <http://hdl.handle.net/10045/132686>
39. Alaminos, Antonio y Alaminos-Fernández, Antonio Francisco (2012) *La medición de las motivaciones de voto en las elecciones generales del 20 de noviembre de 2011*. Alicante: Obets Ciencia Abierta. Universidad de Alicante, 121 p. <http://hdl.handle.net/10045/132566>
40. Alaminos, Antonio y Alaminos-Fernández, Paloma (2018) Las dinámicas del voto retrospectivo en España (1996-2017). *Tendencias sociales. Revista de Sociología*, 1: 39-72
41. Alaminos, Antonio y Tezanos, José Félix (2023) *Nota metodológica estimaciones de voto y escaños. Estudio E3411 preelectoral de elecciones generales*. [https://www.cis.es/documents/d/cis/3411\\_estimacion](https://www.cis.es/documents/d/cis/3411_estimacion)
42. Alaminos, Antonio y Tezanos, José Félix (2019) *Nota metodológica estimaciones de voto y escaños. Modelo coyuntura CIS V89. Estudio nº 3261*. Barómetro de septiembre 2019. [https://datos.cis.es/pdf/3261\\_Estimacion.pdf](https://datos.cis.es/pdf/3261_Estimacion.pdf)
43. Alaminos, Antonio y Tezanos, José Félix (2019) *Nota metodológica estimaciones de voto y escaños. Estudio nº 3263 Macrobarómetro Preelectoral elecciones generales 2019*. [https://datos.cis.es/pdf/3263\\_Estimacion.pdf](https://datos.cis.es/pdf/3263_Estimacion.pdf)
44. Alaminos, Antonio y Tezanos, José Félix (2019) *Nota metodológica estimaciones de voto en Comunidades Autónomas y grandes ciudades Estudio nº 3245 marzo-abril 2019*. [https://datos.cis.es/pdf/3245\\_EstimacionEAM.pdf](https://datos.cis.es/pdf/3245_EstimacionEAM.pdf)
45. Alaminos, Antonio y Tezanos, José Félix (2019) *Nota metodológica estimaciones de voto y escaños. Estudio nº 3242 Macrobarómetro de marzo. Preelectorales elecciones generales 2019. Modelo longitudinal CIS V108*. <https://www.cis.es/documents/d/cis/IM3242pdf>
46. Alaminos-Fernández, Antonio Francisco, Alaminos-Fernández, Paloma y Alaminos, Antonio (2025). La cuantificación de patrones discursivos en seis países europeos. Un estudio de caso empírico sobre las nociones de “comunidad” y “sociedad”. *Revista OBETS*, 20(1), 17-46.
47. Alaminos-Fernández, Antonio Francisco, Alaminos-Fernández, Paloma y Alaminos, Antonio (2025). Quantificazione dei modelli discorsivi in sei paesi europei: uno studio empirico sulle nozioni di "comunità" e "società". *Revista OBETS*, 20(1), 17-46.
48. Alaminos-Fernández, Antonio Francisco, Alaminos-Fernández, Paloma y Alaminos, Antonio (2025). Quantification des modèles discursifs dans six pays européens: une étude de cas empirique sur les notions de «communauté» et de «société». *Revista OBETS*, 20(1), 17-46.

49. Alaminos-Fernández, Antonio Francisco, Alaminos-Fernández, Paloma y Alaminos, Antonio (2025). Quantifying Discourse Patterns in Six European Countries: An Empirical Case Study on the Notions of "Community" and "Society". *Revista OBETS*, 20(1), 17-46.
50. Alaminos-Fernández, Antonio Francisco, Alaminos-Fernández, Paloma y Alaminos, Antonio (2025). Quantifizierung diskursiver Muster in sechs europäischen Ländern: Eine empirische Fallstudie zu den Begriffen 'Gemeinschaft' und 'Gesellschaft'. *Revista OBETS*, 20(1), 17-46.
51. Alaminos-Fernández, Antonio Francisco, Alaminos-Fernández, Paloma y Alaminos, Antonio (2025). Ποσοτικοποίηση των Δομικών Προτύπων σε Έξι Ευρωπαϊκές Χώρες: Μια Εμπειρική Μελέτη Περίπτωσης για τις Έννοιες της «Κοινότητας» και της «Κοινωνίας». *Revista OBETS*, 20(1), 17-46.
52. Alaminos-Fernández, Antonio Francisco (2023) *Introducción a la teoría de conjuntos difusos y sus aplicaciones en investigación social e IA*. Obets Ciencia Abierta. Alicante: Limencop. ISBN 978-84-09-49456-9. <http://hdl.handle.net/10045/132732>
53. Alaminos-Fernández, Antonio Francisco y Alaminos, Antonio (2023) *Métodos y Modelos para la Predicción Electoral: Una Guía Práctica*. Obets Ciencia Abierta. Alicante: Limencop. ISBN: 978-84-09-50283-7. <http://hdl.handle.net/10045/138240>
54. Alaminos-Fernández, Paloma (2025) *Diseños metodológicos para la investigación social. Del propósito a la aplicación*. Obets Ciencia Abierta. Alicante: Limencop. ISBN: 978-84-129745-3-9
55. Kahn, H., & Wiener, A. J. (1967). *The Year 2000: A Framework for Speculation on the Next Thirty-Three Years*. Nueva York: Macmillan.
56. Schwartz, P. (1996). *The Art of the Long View: Paths to Strategic Insight for Yourself and Your Company*. Nueva York: Doubleday.
57. Wack, P. (1985). *Scenarios: Uncharted Waters Ahead*. *Harvard Business Review*, 63(5), 73-89.

## Contenido

Documentación técnica de la estimación electoral .....	1
--	---

1 Modelo analítico .....	2
1.1 Modelo Bifactorial Inercia Incertidumbre .....	3
1.2 Orientaciones básicas de análisis .....	6
2 Análisis distribucional y correlacional de los escenarios.....	8
<b>Resultados para PSOE</b> .....	9
<b>Estadísticas Descriptivas para PSOE</b> .....	9
<b>Resultados para PP</b> .....	11
<b>Estadísticas Descriptivas para PP</b> .....	11
<b>Resultados para VOX</b> .....	13
<b>Estadísticas Descriptivas para VOX</b> .....	13
<b>Resultados para Podemos</b> .....	15
<b>Estadísticas Descriptivas para Podemos</b> .....	15
<b>Resultados para Sumar</b> .....	17
<b>Estadísticas Descriptivas para Sumar</b> .....	17
<b>Resultados para SALF</b> .....	19
<b>Estadísticas Descriptivas para SALF</b> .....	19
<b>Resultados para CC</b> .....	21
<b>Estadísticas Descriptivas para CC</b> .....	21
<b>Resultados para ERC</b> .....	23
<b>Estadísticas Descriptivas para ERC</b> .....	23
<b>Resultados para JxCat</b> .....	25
<b>Estadísticas Descriptivas para JxCat</b> .....	25
<b>Resultados para BNG</b> .....	27
<b>Estadísticas Descriptivas para BNG</b> .....	27
<b>Resultados para UPN</b> .....	29
<b>Estadísticas Descriptivas para UPN</b> .....	29
<b>Resultados para EAJ-PNV</b> .....	31
<b>Estadísticas Descriptivas para EAJ-PNV</b> .....	31
<b>Resultados para EH Bildu</b> .....	33
<b>Estadísticas Descriptivas para EH Bildu</b> .....	33
<b>Resultados para Otros</b> .....	35

<b>Estadísticas Descriptivas para Otros</b> .....	35
<b>Resultados para En blanco</b> .....	37
<b>Estadísticas Descriptivas para En blanco</b> .....	37
<b>Comparación entre partidos</b> .....	38
3. Análisis de los componentes de inercia e incertidumbre .....	54
Gráficos para PSOE .....	54
Análisis de Aleatoriedad del Error para PSOE .....	55
Análisis de la Dinámica de Inercia Pasada para PSOE.....	56
Gráficos para PSOE_pasado .....	56
Análisis de Aleatoriedad del Error para PSOE_pasado .....	57
Análisis de la Dinámica de Inercia Presente_Futuro para PSOE.....	58
Gráficos para PSOE_futuro .....	58
Análisis de Aleatoriedad del Error para PSOE_futuro .....	59
Gráficos para PP.....	60
Análisis de Aleatoriedad del Error para PP .....	61
Análisis de la Dinámica de Inercia Pasada para PP .....	62
Gráficos para PP_pasado .....	62
Análisis de Aleatoriedad del Error para PP_pasado .....	63
Análisis de la Dinámica de Inercia Presente_Futuro para PP .....	64
Gráficos para PP_futuro.....	64
Análisis de Aleatoriedad del Error para PP_futuro.....	65
Gráficos para VOX .....	66
Análisis de Aleatoriedad del Error para VOX .....	67
Análisis de la Dinámica de Inercia Pasada para VOX.....	68
Gráficos para VOX_pasado .....	68
Análisis de Aleatoriedad del Error para VOX_pasado .....	69
Análisis de la Dinámica de Inercia Presente_Futuro para VOX.....	70
Gráficos para VOX_futuro.....	70
Análisis de Aleatoriedad del Error para VOX_futuro .....	71
Gráficos para Podemos .....	72
Análisis de Aleatoriedad del Error para Podemos .....	73
Análisis de la Dinámica de Inercia Pasada para Podemos.....	74

Gráficos para Podemos_pasado .....	74
Análisis de Aleatoriedad del Error para Podemos_pasado .....	75
Análisis de la Dinámica de Inercia Presente_Futuro para Podemos.....	76
Gráficos para Podemos_futuro.....	76
Análisis de Aleatoriedad del Error para Podemos_futuro .....	77
Gráficos para Sumar.....	78
Análisis de Aleatoriedad del Error para Sumar .....	79
Análisis de la Dinámica de Inercia Pasada para Sumar .....	80
Gráficos para Sumar_pasado .....	80
Análisis de Aleatoriedad del Error para Sumar_pasado .....	81
Análisis de la Dinámica de Inercia Presente_Futuro para Sumar .....	82
Gráficos para Sumar_futuro.....	82
Análisis de Aleatoriedad del Error para Sumar_futuro.....	83
Gráficos para SALF .....	84
Análisis de Aleatoriedad del Error para SALF .....	85
Análisis de la Dinámica de Inercia Pasada para SALF.....	86
Gráficos para SALF_pasado .....	86
Análisis de Aleatoriedad del Error para SALF_pasado .....	87
Análisis de la Dinámica de Inercia Presente_Futuro para SALF.....	88
Gráficos para SALF_futuro .....	88
Análisis de Aleatoriedad del Error para SALF_futuro .....	89
Gráficos para CC.....	90
Análisis de Aleatoriedad del Error para CC.....	91
Análisis de la Dinámica de Inercia Pasada para CC .....	92
Gráficos para CC_pasado.....	92
Análisis de Aleatoriedad del Error para CC_pasado .....	93
Análisis de la Dinámica de Inercia Presente_Futuro para CC .....	94
Gráficos para CC_futuro .....	94
Análisis de Aleatoriedad del Error para CC_futuro.....	95
Gráficos para ERC .....	96
Análisis de Aleatoriedad del Error para ERC .....	97
Análisis de la Dinámica de Inercia Pasada para ERC.....	98

Gráficos para ERC_pasado .....	98
Análisis de Aleatoriedad del Error para ERC_pasado .....	99
Análisis de la Dinámica de Inercia Presente_Futuro para ERC.....	100
Gráficos para ERC_futuro .....	100
Análisis de Aleatoriedad del Error para ERC_futuro .....	101
Gráficos para JxCat.....	102
Análisis de Aleatoriedad del Error para JxCat.....	103
Análisis de la Dinámica de Inercia Pasada para JxCat .....	104
Gráficos para JxCat_pasado.....	104
Análisis de Aleatoriedad del Error para JxCat_pasado.....	105
Análisis de la Dinámica de Inercia Presente_Futuro para JxCat .....	106
Gráficos para JxCat_futuro .....	106
Análisis de Aleatoriedad del Error para JxCat_futuro .....	107
Gráficos para BNG.....	108
Análisis de Aleatoriedad del Error para BNG .....	109
Análisis de la Dinámica de Inercia Pasada para BNG.....	110
Gráficos para BNG_pasado .....	110
Análisis de Aleatoriedad del Error para BNG_pasado .....	111
Análisis de la Dinámica de Inercia Presente_Futuro para BNG.....	112
Gráficos para BNG_futuro.....	112
Análisis de Aleatoriedad del Error para BNG_futuro.....	113
Gráficos para UPN .....	114
Análisis de Aleatoriedad del Error para UPN.....	115
Análisis de la Dinámica de Inercia Pasada para UPN .....	116
Gráficos para UPN_pasado.....	116
Análisis de Aleatoriedad del Error para UPN_pasado.....	117
Análisis de la Dinámica de Inercia Presente_Futuro para UPN .....	118
Gráficos para UPN_futuro .....	118
Análisis de Aleatoriedad del Error para UPN_futuro .....	119
Gráficos para EAJ-PNV.....	120
Análisis de Aleatoriedad del Error para EAJ-PNV.....	121
Análisis de la Dinámica de Inercia Pasada para EAJ-PNV .....	122

Gráficos para EAJ-PNV_pasado.....	122
Análisis de Aleatoriedad del Error para EAJ-PNV_pasado.....	123
Análisis de la Dinámica de Inercia Presente_Futuro para EAJ-PNV .....	124
Gráficos para EAJ-PNV_futuro .....	124
Análisis de Aleatoriedad del Error para EAJ-PNV_futuro .....	125
Gráficos para EH Bildu.....	126
Análisis de Aleatoriedad del Error para EH Bildu.....	127
Análisis de la Dinámica de Inercia Pasada para EH Bildu .....	128
Gráficos para EH Bildu_pasado.....	128
Análisis de Aleatoriedad del Error para EH Bildu_pasado.....	129
Análisis de la Dinámica de Inercia Presente_Futuro para EH Bildu .....	130
Gráficos para EH Bildu_futuro .....	130
Análisis de Aleatoriedad del Error para EH Bildu_futuro .....	131
Gráficos para Otros .....	132
Análisis de Aleatoriedad del Error para Otros .....	133
Análisis de la Dinámica de Inercia Pasada para Otros.....	134
Gráficos para Otros_pasado .....	134
Análisis de Aleatoriedad del Error para Otros_pasado.....	135
Análisis de la Dinámica de Inercia Presente_Futuro para Otros .....	136
Gráficos para Otros_futuro .....	136
Análisis de Aleatoriedad del Error para Otros_futuro .....	137
Gráficos para En blanco .....	138
Análisis de Aleatoriedad del Error para En blanco.....	139
Análisis de la Dinámica de Inercia Pasada para En blanco .....	140
Gráficos para En blanco_pasado.....	140
Análisis de Aleatoriedad del Error para En blanco_pasado.....	141
Análisis de la Dinámica de Inercia Presente_Futuro para En blanco .....	142
Gráficos para En blanco_futuro .....	142
Análisis de Aleatoriedad del Error para En blanco_futuro .....	143
Interacción de la estructura de inercia y los patrones de incertidumbre .....	144
Tabla de Coeficiente de Variación (CV).....	144
6. Referencias.....	145

